



**CONSTANTIN AMARIEI  
MIHAI BUDESCU  
MIHAELA-ANCA CIUPALA**

# **STATICĂ CONSTRUCȚILOR STRUCTURAL ANALYSIS**

CONSTANTIN AMARIEI  
MIHAI BUDESCU  
MIHAELA-ANCA CIUPALA

STATICĂ CONSTRUCTIILOR  
STRUCTURAL ANALYSIS



**Editura Societății Academice „Matei-Teiu Botez” IASI**

**Descrierea CIP a Bibliotecii Naționale a României**  
**AMARIEI, CONSTANTIN**

**Statica construcțiilor = Structural analysis / C.**

Amariei, M.

Budescu, M. A. Ciupală. - Iași : Editura Societății Academice "Matei-Teiu Botez", 2003

Bibliogr.

ISBN 973-7962-29-X

I. Budescu, Mihai

II. Ciupală, Mihaela-Anca

## **PREFATĂ**

Lucrarea, redactată în sistem bilingv (română – engleză), cuprinde atât aspectele teoretice și metodele de bază cât și aplicații privind calculul de rezistență și de rigiditate al principalelor tipuri de structuri static determinate (grinzi, cadre, arce, structuri cu zăbrele) supuse la încărcări fixe și la încărcări mobile și la alte acțiuni.

Lucrarea este structurată pe cinci capitole și se adresează studenților de la secțiile cu predare în limba română și în limba engleză.

Autorii mulțumesc prof. dr. ing. Ioan Ciongradi și prof. dr. ing. Adrian Vulpe pentru recenzarea lucrării și pentru sugestiile făcute cu acest prilej.

*Autorii*

# 1

## PROBLEME GENERALE

### GENERAL PRINCIPLES

Statica construcțiilor este o disciplină importantă a **Mecanicii solidului deformabil** și face parte din **Mecanica construcțiilor**.

Alte discipline ale Mecanicii construcțiilor: Mecanica teoretică, Rezistența materialelor, Dinamica construcțiilor, Stabilitatea construcțiilor, Ingineria seismică, Mecanica pământurilor, Teoria elasticității și plasticității, Calculul postelastic al structurilor, Calculul automat al structurilor, Incercarea construcțiilor.

**Obiectul Staticii construcțiilor** este studiul principiilor și metodelor de analiză pentru structurile de rezistență supuse la acțiuni statice în vederea stabilirii următoarelor două grupe de elemente necesare cerințelor de siguranță și eficiență ale construcțiilor:

- **eforturile** necesare pentru stabilirea dimensiunilor secțiunilor transversale (calculul de rezistență al structurilor);
- **deplasările** structurii, pentru ca acestea deplasări să rămână în limitele admisibile (calculul de rigiditate al structurii).

Statics is an important discipline of the **Deformable-Solid Mechanics** and forms part of the **Structural Mechanics**.

Other disciplines of Structural Mechanics are: Theoretical Mechanics, Strength of Materials, Structural Dynamics, Structural Stability, Earthquake Engineering, Soil Mechanics, Theory of Elasticity and Plasticity, Postelastic Analysis of Structures, Computer Aided Design, Testing of Structures.

The object of Statics is the study of principles and methods of analysis of structures subjected to loads in order to determine the following two groups of information required for the safety and efficiency of structures:

- **internal forces** required to determine the dimensions of the cross sections (ultimate limit state);
- **displacements** of the structure, in order to be maintained within the permissible limits (serviceability limit state).

## 1.1 IPOTEZELE STATICII CONSTRUCȚIILOR

Pentru a construi o teorie a Staticii construcțiilor, se consideră următoarele ipoteze:

- **continuitatea materialului** - se presupune că materialul umple întreg volumul pe care îl ocupă;
- **omogeneitatea** - se presupune că proprietățile materialului sunt identice în toate punctele;
- **izotropia** - se presupune că proprietățile materialului sunt identice în toate direcțiile;
- **elasticitatea perfectă a materialului** - comportarea materialului este perfect liniară - **legea lui Hooke**;
- **deformații mici** - se presupune că formațiile sunt mici în raport cu dimensiunile elementelor deformate, astfel încât ecuațiile de echilibru se scriu ca pentru un element nedeformat;
- deformarea structurii se produce instantaneu și nu variază în timp;
- **dependența liniară între deplasări și încărcări** - se presupune că există o dependență direct proporțională între formații și acțiuni;
- **secțiuni plane** - se presupune că secțiunile plane imaginare realizate perpendicular pe axa barei rămân plane și perpendicular pe bară în timpul deformării (**ipoteza lui Bernoulli**).

**Observație:** Ipotezele formațiilor mici, a elasticității perfecte a materialului și a dependenței liniare între deplasări și acțiuni permit considerarea valabilității principiului suprapunerii efectelor.

## 1.1 ASSUMPTIONS OF STATICS

In order to develop the theory of Statics, the following assumptions are made:

- **material continuity** - it is assumed that the material fills the whole occupied volume ;
- **homogeneity** - it is assumed that the material properties are the same at all points;
- **isotropy** - it is assumed that the material properties are the same in all directions;
- **perfect elasticity of material** - the material has a perfectly linear behaviour - **Hooke's law**;
- **small deformations** - it is assumed that the deformations are small compared to the dimensions of the deformed members, thus the equilibrium equations are written for an undeformed member;
- deformation of the structure takes place instantaneously and does not vary with time;
- **linear relationship between displacements and loads** - it is assumed that there is a direct proportional relationship between deformations and loads;
- **plane sections** - it is assumed that the imaginary plane sections considered perpendicular to the axis of the member remain plane and perpendicular to the member during deformation (**Bernoulli's assumption**).

**Note:** The principle of the superposition of effects is valid if the assumptions of small deformations, perfect elasticity of the material and linear relationship between displacements and loads are considered.

## 1.2 STRUCTURI DE REZISTENTA PENTRU CONSTRUCTII

Structura de rezistență este un ansamblu de **elemente de construcții**, cuplate între ele prin **legături interioare** rigide sau articulații și fixat la teren sau pe un alt suport prin reazeme (**legături exterioare**).

Se vor reaminti în continuare unele cunoștințe privind elementele de construcții și reazemele (aceste probleme au fost tratate la disciplina Rezistență materialelor).

### 1.2.1 Elemente de construcții

Părțile componente ale unei structuri sunt numite elemente de construcții. Există trei tipuri de elemente:

- **bară** - element care are o dimensiune (**lungimea**) mai mare în raport cu celelalte două (dimensiunile secțiunii transversale); barele se clasifică în raport cu forma secțiunii, forma axei (drepte, curbe, poligonale sau frânte) sau mărimea secțiunii transversale în lungul axei (bare cu secțiune constantă sau cu secțiune variabilă);
- **placă** (dală) - element având două dimensiuni (**lățimea și lungimea**) mai mari în raport cu cea de a treia dimensiune care este grosimea plăcii; plăcile pot fi plane sau curbe (după forma suprafeței mediane), cu grosime constantă sau variabilă;
- **bloc** (masiv) - element având cele trei dimensiuni apropriate ca mărime (de exemplu: fundații izolate, ziduri de sprijin, culee de poduri).

### 1.2.2 Reazeme și reacțiuni

Pentru structurile plane, încărcate în planul lor, există următoarele tipuri de reazeme:

## 1.2 STRUCTURES FOR CONSTRUCTION

A structure is an assemblage of structural members, linked to each other by rigid or pin **internal connections** and fixed to the ground or other bearing surface by supports (**external connections**).

The following paragraphs will remind the reader of some of the knowledge studied at Strength of Materials regarding the structural members and supports.

### 1.2.1 Structural members

The components of a structure are called structural elements or members. There are three types of members:

- **bar** - member with one dimension (**length**) larger than the other two (dimensions of the cross section); bars can be classified according to the shape of the cross section, the shape of the axis (straight, curved, polygonal or folded) or the size of the cross section along the axis (bars with constant or with variable cross section);
- **plate** - member with two dimensions (**length and width**) larger than the third one which is the depth or thickness of the plate; plates can be plane or curved (depending on the shape of the median surface), with constant or variable depth;
- **block** - member with all the three dimensions close in size (i.e: isolated foundations, bridge abutments, retaining walls).

### 1.2.2 Supports and reactions

For plane structures, loaded in their plane, the following types of supports exist:

- **reazemul simplu** (reazemul mobil), legătură care împiedică numai deplasarea normală pe suprafața de rezemare și care introduce în calcul o singură necunoscută, fig.1.1;
- **articulația plană** (reazemul fix), legătură care împiedică deplasările, permitând numai rotirea și care introduce în calcul două necunoscute (o forță care are necunoscute mărimea și direcția, sau cele două componente V, H), fig.1.2 și 1.3;
- **încastrarea**, legătură completă care împiedică deplasările și rotirea și care introduce în calcul trei necunoscute (de obicei componentele V și H ale reacțiunii și momentul reactiv M ) fig.1.4;
- **roller support** prevents only the translation perpendicular to the supporting surface and introduces only one unknown in calculations, fig.1.1;
- **pin support** prevents the translations and allows only the rotation; it introduces two unknowns in calculations (one force whose magnitude and direction are unknown or the two components V, H), fig.1.2 and 1.3;
- **built-in support (clamped support)** prevents the translations and the rotation and introduces three unknowns in calculations (usually the components V and H of the reaction and the moment M), fig.1.4;

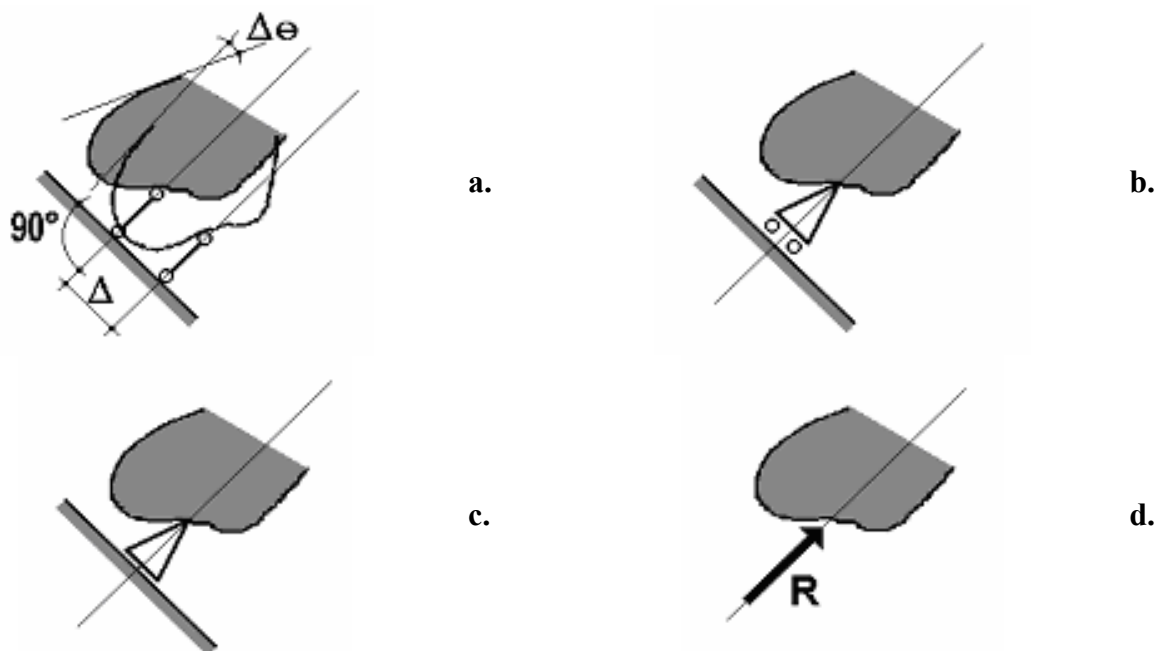


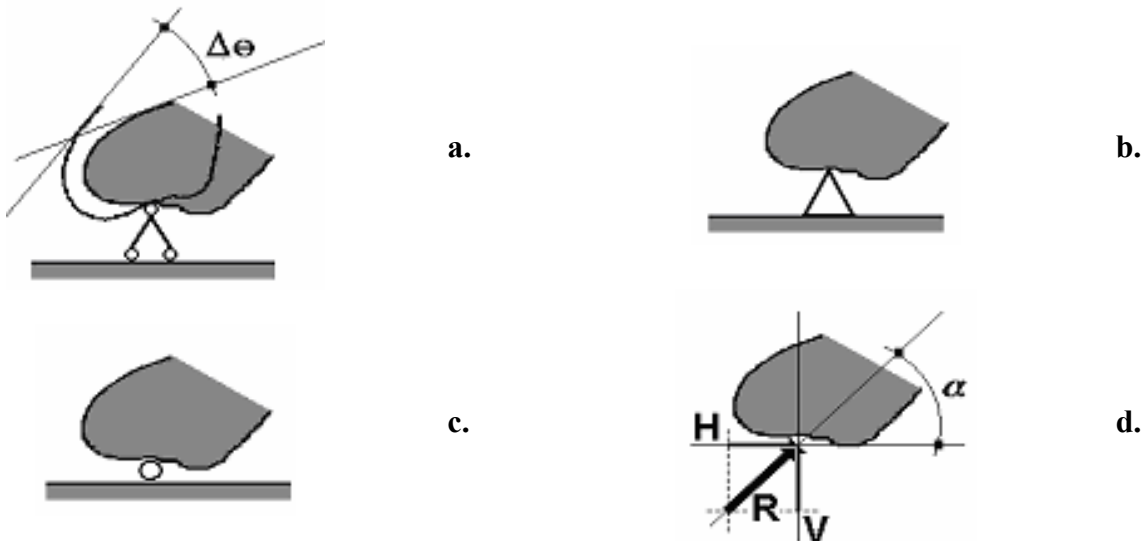
Fig.1.1

**Reazemul simplu.**

a., b. și c. - reprezentarea reazemului simplu, d. - forța de legătură (reacțiunea) și dreapta suport

**Roller support.**

a., b. and c. - pin support, d. - reactive force (reaction) and line of action



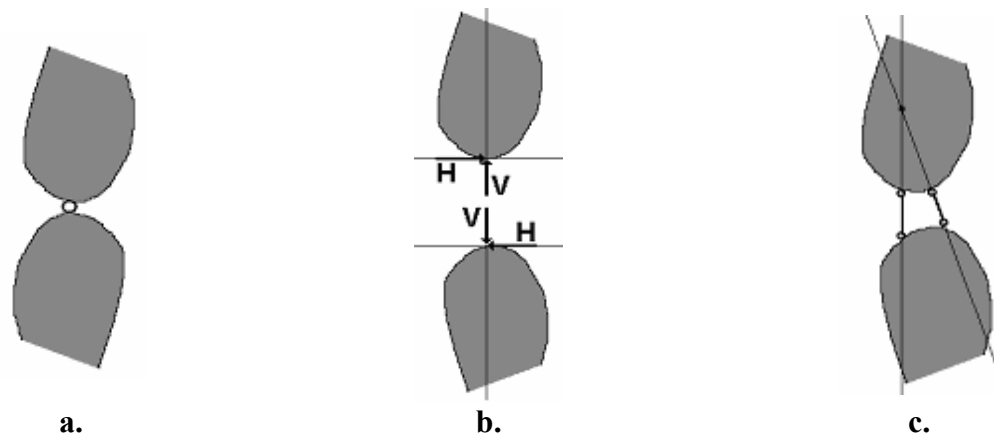
**Fig.1.2**

**Articulația plană - legătură exterioară.**

a., b. și c. - reprezentarea articulației plane,  
d. - forța de legătură și componente sale

**Pin support - external connection.**

a., b. and c. - representation of the pin support, d. - reaction and its components



**Fig.1.3**

**Articulația plană - legătură interioară.**

a. și c. - reprezentarea articulației plane,  
b. - componentele forței de legătură

**Hinge - internal connection.**

a. and c. - hinge, b. - components of the reaction

- **încastrarea glisantă plană**, legătură care împiedică deplasarea normală pe suprafața de rezemare și rotirea și introduce în calcul două necunoscute (reacțiunea normală N pe suprafața de rezemare și momentul reactiv M), fig.1.5;

- **guided roller** prevents the translation perpendicular to the supporting surface and the rotation and introduces two unknowns in calculations (reaction N perpendicular to the supporting surface and the reactive moment M), fig. 1.5;

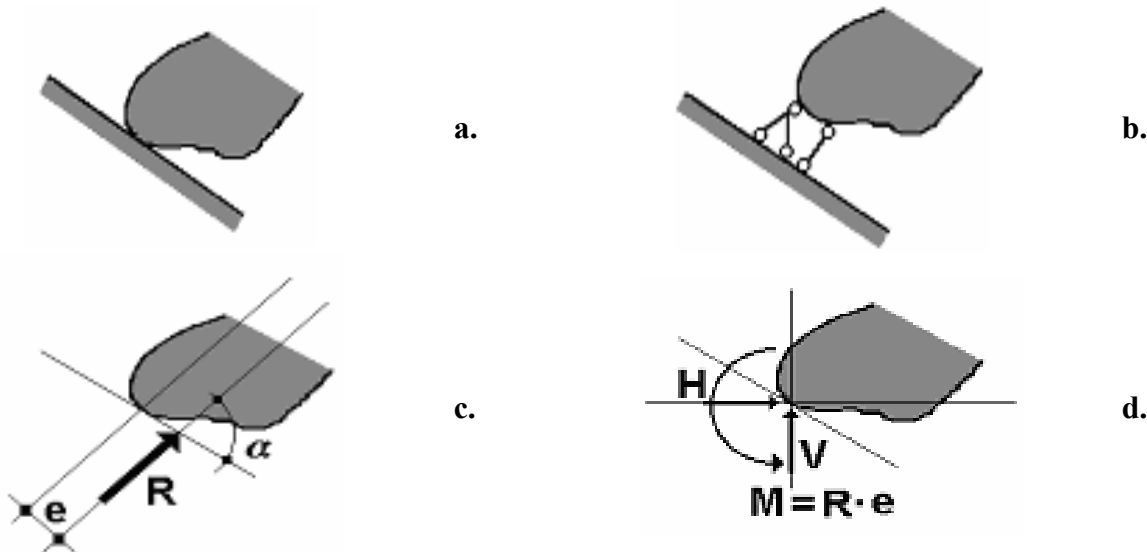


Fig.1.4

**Incastrarea plană.**

a. și b. - reprezentarea încastrării, c. - forța de legătură, d. - componentele forței de legătură

**Built-in support.**

a. and b. - fixed support, c. - reaction, d. - components of the reaction

- **reazemul tasabil**, legătură care împiedică parțial deplasarea normală pe suprafața de rezemare și introduce în calcul o singură necunoscută, fig.1.6, (unde  $k$  este **rigiditatea** reazemului);
- **încastrarea elastică**, legătură care împiedică deplasările și parțial rotirea și introduce în calcul trei necunoscute (componentele  $V$  și  $H$  ale reacțiunii și momentul reactiv  $M$ ), fig.1.7.

• **spring support** partially prevents the displacement perpendicular to the supporting surface and introduces only one unknown in calculations, fig. 1.6 (where  $k$  is the **spring constant**);

• **rotational spring support** prevents the displacements and partially the rotation and introduces three unknowns in calculations (components  $V$  and  $H$  of the reaction and the reactive moment  $M$ ), fig. 1.7.

### 1.2.3 Stabilitate geometrică și analiză statică

O structură este formată din elemente cuplate prin legături. În funcție de numărul de legături dintre elemente și cu terenul, structurile pot fi:

- **geometric stable** - dacă pentru orice deplasare impusă se dezvoltă o rezistență care o împiedică;

### 1.2.3 Geometric stability and static analysis

A structure is composed of members linked to each other by connections. Depending on the number of connections between members and to the ground, structures can be:

- **geometrically stable** - if for any imposed displacement there is a resistance to constrain it;

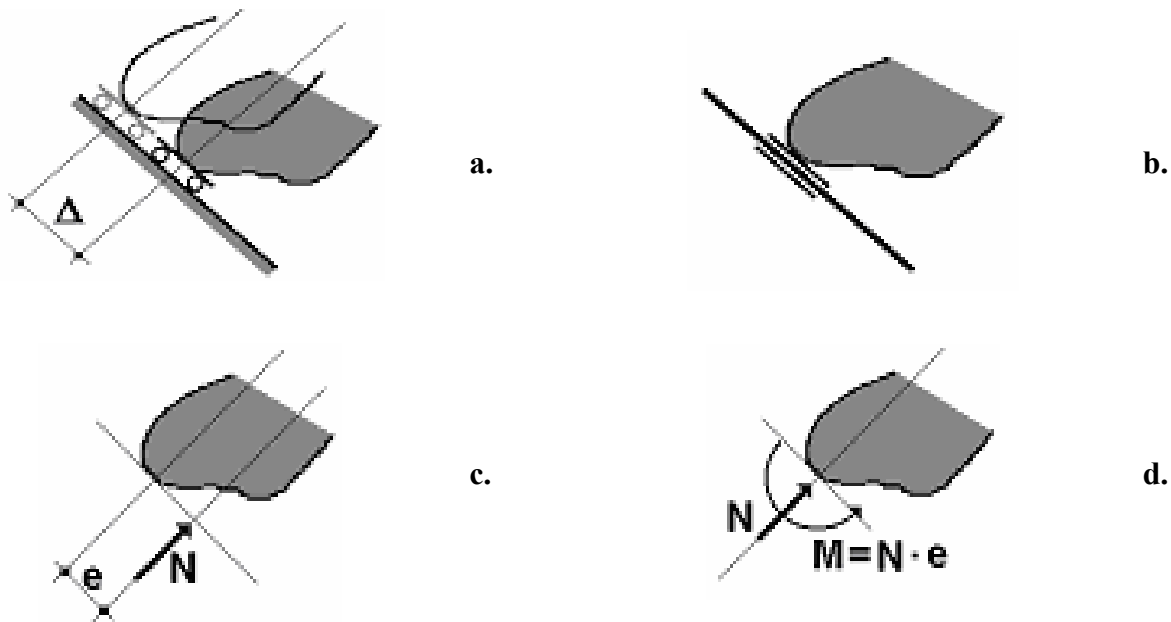


Fig.1.5

**Incastrarea glisantă plană.**

a. și b. - reprezentarea încastrării , c. - forța de legătură, d. - componentele forței de legătură

**Slider (guide).**

a. and b. - slider, c. - reaction, d. - components of the reaction

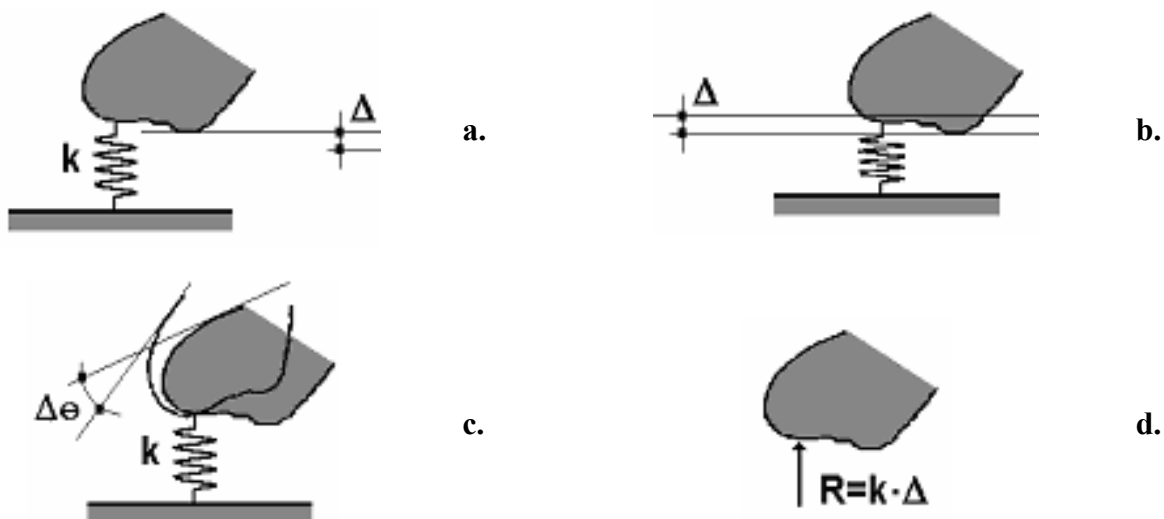


Fig.1.6

**Reazemul tasabil.**

a., b. și c. - reprezentarea reazemului, d. - forța de legătură (reacțiunea)

**Spring support.**

a., b. and c. - spring support, d. - reaction

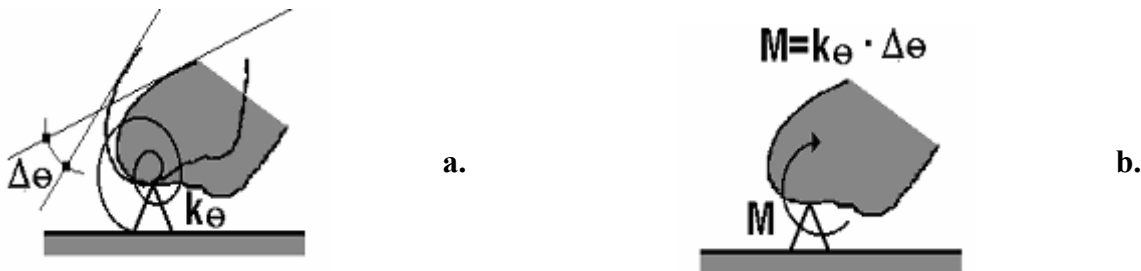


Fig.1.7

**Incastrarea elastică.**

- a.- reprezentarea încastrării elastice,  
b. - momentul reactiv

$$M = k_e \cdot \Delta\theta$$

b.

**Rotational spring support.**

- a. - representation of the rotational spring support, b. - reactive moment

- **geometric instabile** - dacă pentru orice deplasare impusă nu se dezvoltă o rezistență care o împiedică, ceea ce înseamnă că sistemul nu are un număr suficient de legături sau că legăturile sunt incorect amplasate, fig.1.8.a și b;
- **static determinate** - dacă numărul de legături simple este minim necesar pentru fixarea structurii, fig.1.8.c;
- **static nedeterminate** - dacă numărul de legături simple este mai mare decât cel minim necesar pentru fixarea structurii, fig.1.8.d.

**O structură este fixă în plan când condițiile de fixare din fig.1.8. c și d sunt respectate.**

Se fac, în general, notațiile următoare:

- c - este **numărul de coruri deschise** (ansambluri de bare legate rigid între ele) care compun structura;
- I - **numărul de legături simple interioare** care există între cele c coruri;
- r - **numărul de legături simple exterioare** (numărul de reacții necunoscute) ale structurii;

- **geometrically unstable** - if for any imposed displacement, there is no resistance to constrain it. It means that the system doesn't have a minimum number of connections or that the connections are incorrectly located, fig. 1.8.a and b;
- **statically determinate** - if the number of simple connections is the minimum necessary to constrain the structure, fig.1.8.c;
- **statically indeterminate or redundant** - if the number of simple connections is greater than the minimum necessary to constrain the structure, fig.1.8.d.

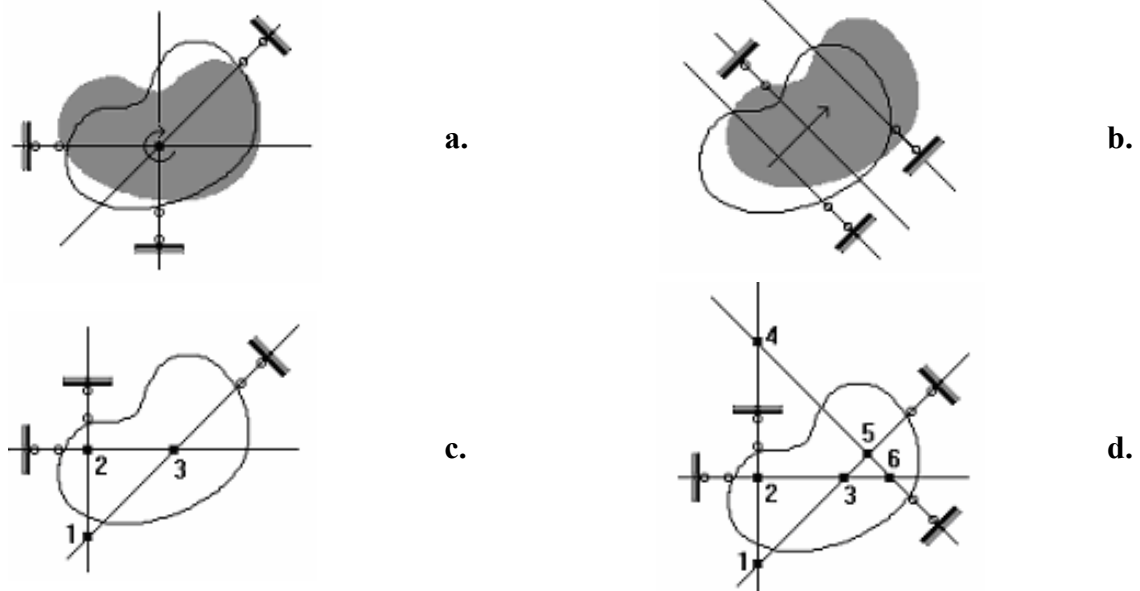
**A structure is constrained in plane when the constraining conditions shown in fig. 1.8c and d are satisfied.**

Generally, the following notations are made:

- c - **is the number of open bodies** (assemblage of bars rigidly connected between them) which compose the structure;
- I - **number of simple internal connections** which exist between the c bodies;
- r - **number of external simple connections** (number of the unknown reactions) of the structure;

- n - **numărul total de legături simple** sau numărul de necunoscute exterioare și interioare (numărul forțelor de legătură) care trebuie determinate pentru rezolvarea structurii;
- e - **numărul de ecuații distincte de echilibru static** care se pot scrie pentru structură;
- h - **gradul de nedeterminare statică** al structurii.

- n - **total number of simple connections** or number of external and internal unknowns (number of reactive forces) to be calculated;
- e - **number of distinct equations of static equilibrium** which can be written for the structure;
- h - **degree of indeterminacy** of the structure.



**Fig.1.8**

**Legăturile unui sistem.**  
 a. și b. - hipostatic (mecanism),  
 c. - static determinat, d. - static nedeterminat

**Connections of a system.**  
 a. and b. - hypostatic (mechanism),  
 c. - statically determinate,  
 d. - statically indeterminate (hyperstatic)

Există relațiile următoare:

The following relationships exist:

$$e = c \cdot 3 \quad (1.1)$$

$$n = l + r \quad (1.2)$$

$$h = n - e = (l + r) - 3 \cdot c \quad (1.3)$$

Pentru un sistem există trei posibilități :

There are three types of systems:

- $h = 0$  sau / or  $n = e$  - static determinat / statically determinate;
- $h > 0$  sau / or  $n > e$  - static nedeterminat / statically indeterminate;
- $h < 0$  sau / or  $n < e$  - mecanism / mechanism.

Pentru a face analiza statică a unei structuri, se pot folosi procedeele indicate în fig.1.9.

Se știe că un contur perfect închis (de exemplu structura din fig.1.9) are un grad de nedeterminare statică egal cu trei.

In order to perform the static analysis of a structure, the procedures shown in fig. 1.9 can be used.

It is known that a perfectly closed loop (for example the structure in fig.1.9) has a degree of indeterminacy equal to three.

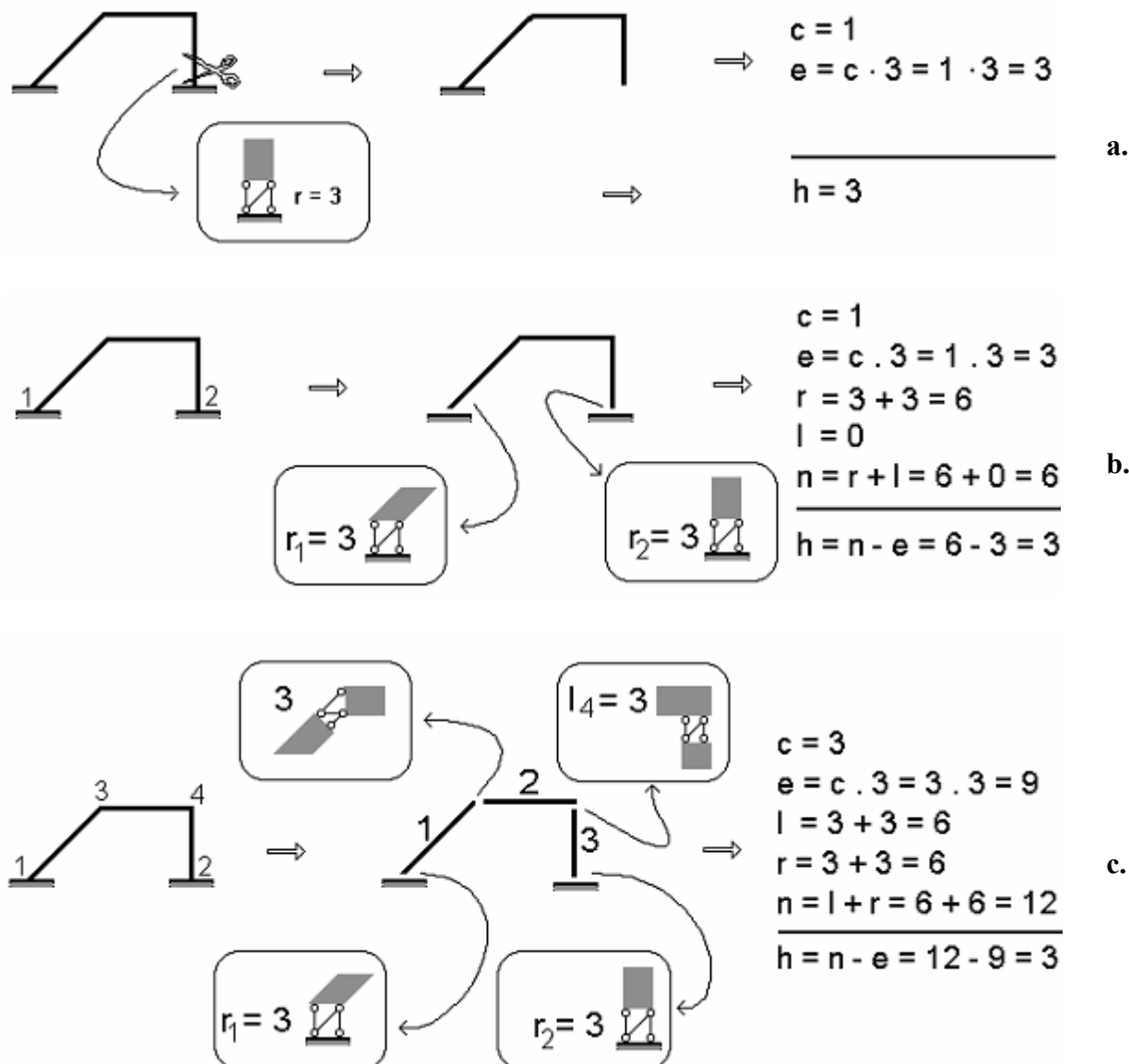


Fig.1.9

#### Procedee de analiză statică a unei structuri.

- a. - prin eliminarea legăturilor suplimentare,  
b. și c. - prin analiza elementelor structurii

Procedures for the static analysis of a structure.  
a. - releasing the redundancies, b. and c. - by the analysis of the structural members

Pentru **structurile compuse din contururi închise**, unde  $k$  este numărul contururilor închise, se poate scrie relația:

$$h = k \cdot 3 \quad (1.4)$$

Relația 1.4 este valabilă când toate contururile sunt perfect închise (nodurile sunt rigide și legăturile exterioare sunt încastrări).

In cazul în care există contururi imperfecte, și fiind numărul legăturilor care lipsesc, relația 1.4 devine:

$$h = k \cdot 3 - s \quad (1.4.a)$$

In figurile 1.10 ... 1.12 se prezintă analiza statică a unei structuri.

For the **structures composed of closed loops**, the following relationship can be written ( $k$  is the number of closed loops):

The relationship 1.4 is valid when all the loops are perfectly closed (the joints are rigid and the external connections are fixed supports).

In the case when there are imperfect loops, the relationship 1.4 becomes ( $s$  is the number of missing connections):

Figures 1.10 ... 1.12 show the static analysis of a structure.

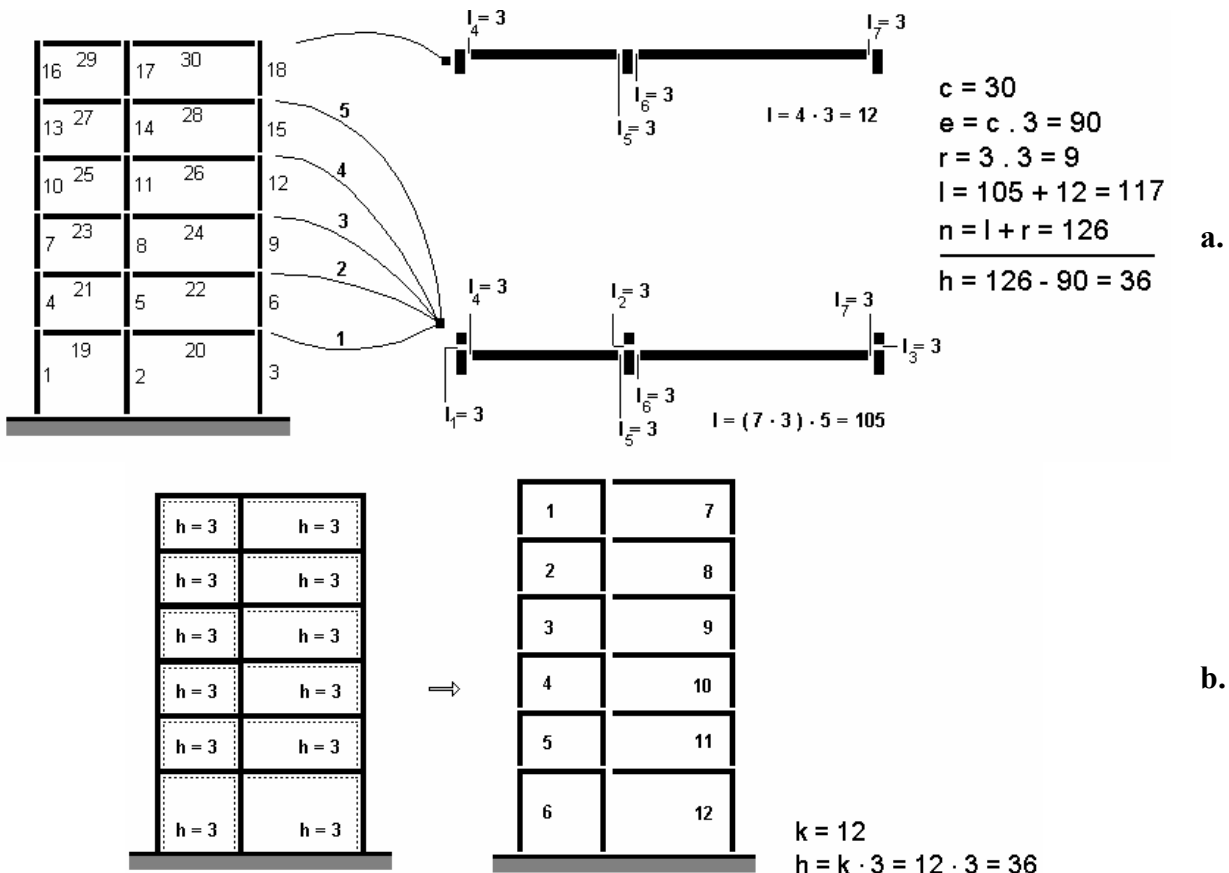


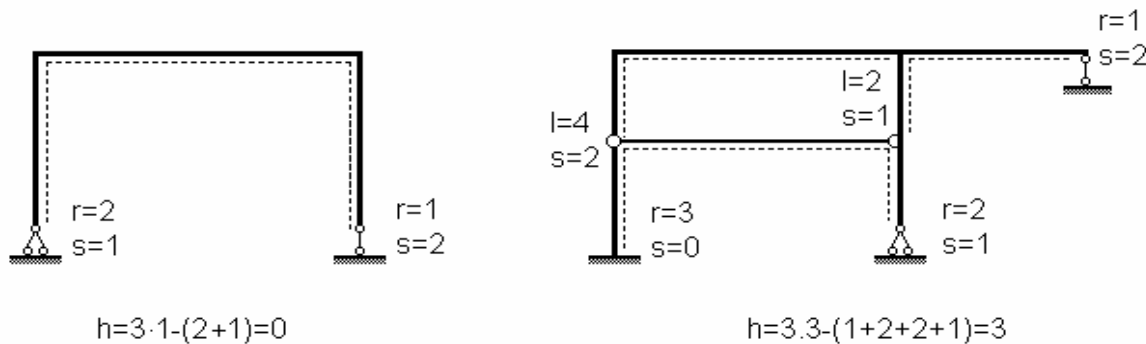
Fig.1.10

#### Analiza statică a unei structuri.

a. - prin elementele componente, b. - prin contururi închise

#### Static analysis of a structure.

a. - by the component members, b. - by closed loops



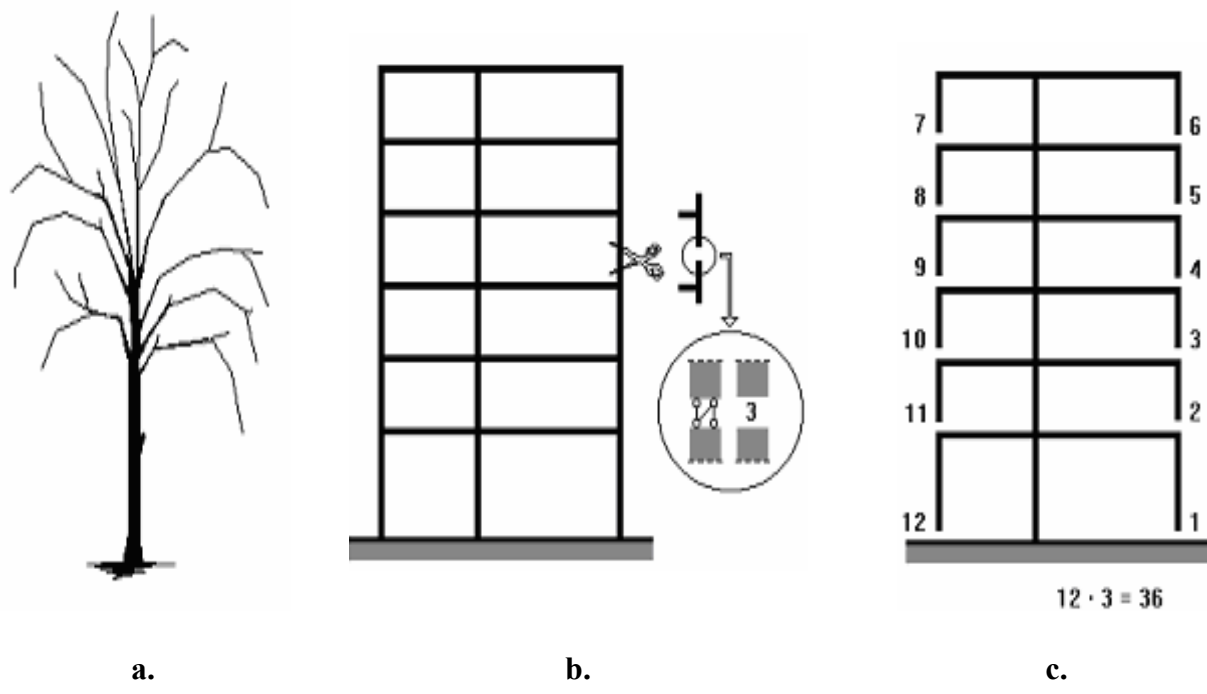
**Analiza statică a unei structuri prin contururi închise.**

**Fig.1.11**

**Static analysis of a structure by closed loops.**

In fig.1.11 sunt indicate valorile pentru  $l$ ,  $r$ , și  $s$  pentru structuri cu diverse tipuri de legături interioare și exterioare iar în fig.1.12 este prezentată analiza statică a unei structuri prin analogia cu un arbore.

Fig.1.11 shows the values for  $l$ ,  $r$  and  $s$  for structures with different types of internal and external connections. Fig.1.12 shows the static analysis of a structure by analogy to a tree.



**Analiza statică a unei structuri prin analogie.**

**Fig. 1.12**

**Static analysis of a structure by analogy.**

- a. - un arbore este o structură static determinată.,
- b. - o structură static nedeterminată, c. - analiza statică prin analogie cu un arbore

- a. - tree as a statically determinate structure,
- b. - statically indeterminate structure,
- c. - static analysis by analogy to a tree

### 1.2.4 Structuri de rezistență

Principalele tipuri de structuri utilizate în construcții sunt:

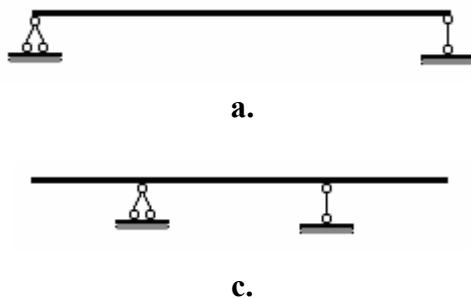
- **grinzi simple,**
- **grinzi continue,**
- **cadre,**
- **arce,**
- **structuri mixte pentru poduri,**
- **structuri suspendate,**
- **structuri cu zăbrele,**
- **structuri cu diafragme și mixte.**

#### 1.2.4.a Grinzi

Grinzelile sunt structuri cu axa rectilinie, având una sau mai multe deschideri, solicitate în special la încovoiere. Ele sunt utilizate pentru planșee, acoperișuri, poduri, căi de rulare, fundații, etc.

Se utilizează:

- **grinzi drepte simple** (cu o deschidere) - grinda simplu rezemată cu sau fără console, grinda încastrată, grinda dublu articulată, grinda dublu încastrată, grinda încastrată - articulată, fig.1.13 - 1.14;



**Grinzi static determinante.**  
a.- grinda simplu rezemată, b. și c. - grinzi simplu rezemate cu una și două console,  
d. - grinda încastrată

### 1.2.4 Structures

The main types of structures used in construction are:

- **simple beams,**
- **continuous beams,**
- **frames,**
- **arches,**
- **mixed structures for bridges,**
- **suspended structures,**
- **trusses,**
- **diaphragm wall and mixed structures.**

#### 1.2.4.a Beams

Beams are structures with straight axis, having one or more spans, being subjected mainly to bending. Beams are used for slabs, roofs, bridges, gantry girders, foundations, etc.

There are:

- **simple straight beams** (with one span) - simply supported beams with or without cantilever, cantilever beams, double-pinned beams, beams with built-in support at both ends, beams with built-in support at one end and pin support at the other end, fig. 1.13 - 1.14;

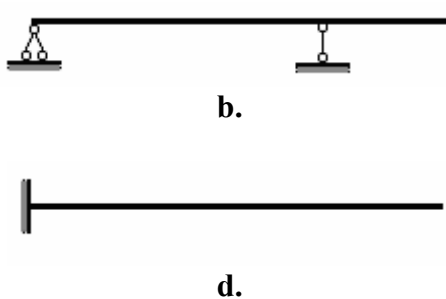
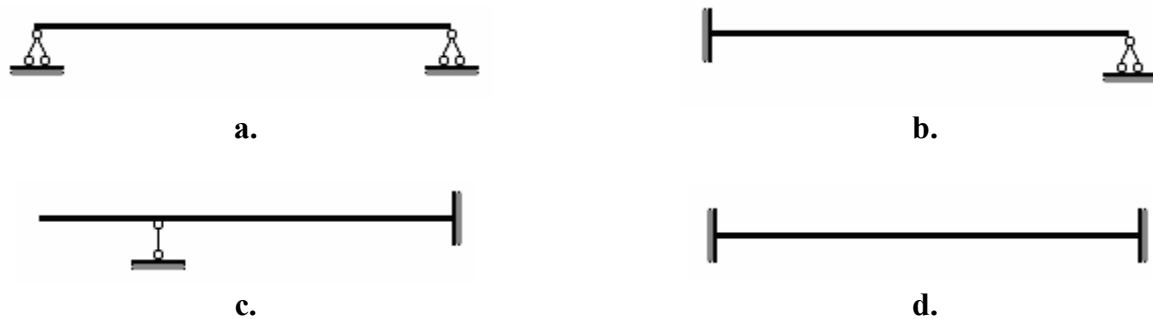


Fig. 1.13

#### Statically determinate beams.

a. - simply supported beam, b. and c. - simply supported beams with one or two overhangs, d. - cantilever beam



**Fig. 1.14**

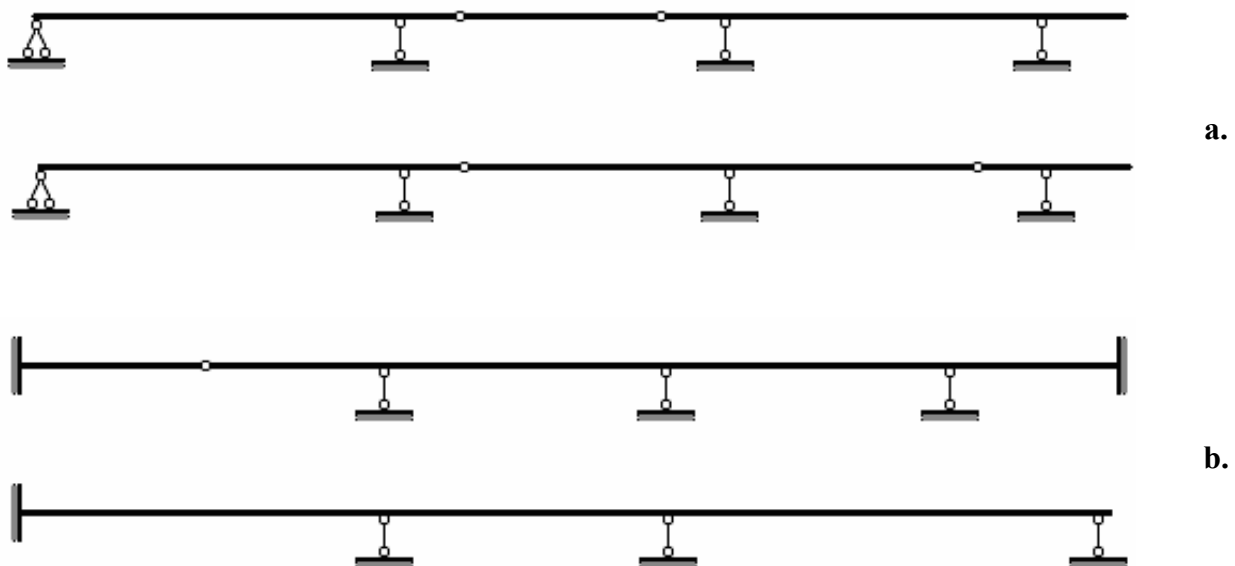
**Grinzi static neterminate.**

- a.- grindă dublu articulată,
- b.- grindă încastrată-articulată,
- c. - grindă încastrată-simplu rezemată,
- d - grindă dublu încastrată

**Statically indeterminate beams.**

- a. - double-pinned beam, b.- beam with built-in support at one end and pin support at the other end, c. - beam with built-in support at one end and roller support at the other end, d - beam with built-in support at both ends

- **grinzi continue** (cu două sau mai multe deschideri) care pot fi static determinate (grinzi de tip Gerber) sau static nedeterminate, fig.1.15;
- **continuous beams** (with two or more spans) - they can be statically determinate (Gerber beams) or statically indeterminate, fig. 1.15;



**Fig.1.15**

**Grinzi continue.**

- a. - grinzi Gerber (static determinate),
- b. - grinzi static nedeterminate

**Continuous beams.**

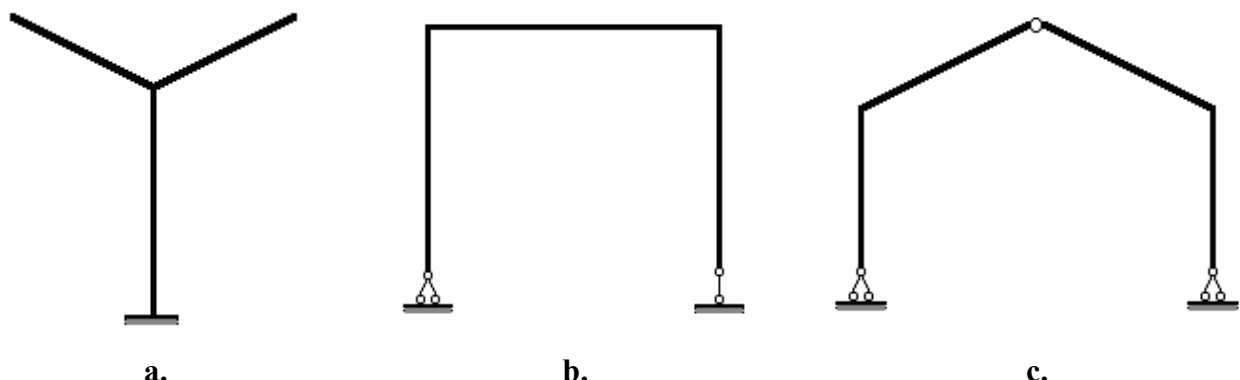
- a. - Gerber beams (statically determinate),
- b. - statically indeterminate beams

### 1.2.4.b Cadre

Cadrele sunt structuri alcătuite din două sau mai multe bare drepte sau curbe (grinzi și stâlpi) legate în noduri rigide sau articulate, fig.1.16 ... 1.20. Cadrele sunt utilizate în construcții civile, industriale, la structuri de poduri, etc.

### 1.2.4.b Frames

Frames are structures composed of two or more straight or curved members (beams and columns), connected by rigid or pin joints, fig.1.16 ... 1.20. Frames are used in civil and industrial buildings, bridges, etc.



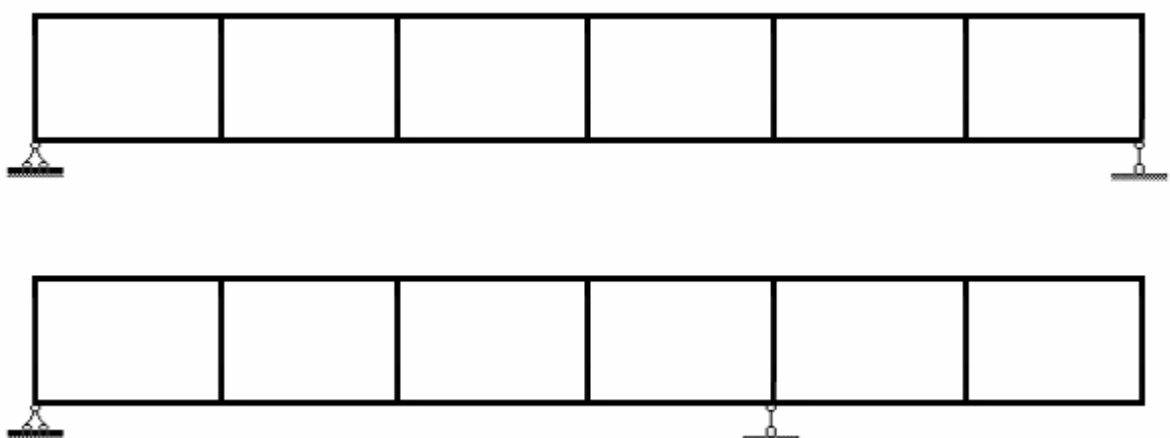
**Fig.1.16**

#### Cadre static determinate.

- a. - cadru peron,
- b. - cadru simplu rezemat,
- c. - cadru cu trei articulații

#### Statically determinate structures.

- a. - platform frame,
- b. - simply supported frame,
- c. - three pinned frame



**Fig.1.17**

#### Cadru static determinat exterior și static nedeterminat interior (grindă Vierendeel).

#### Externally statically determinate and internally statically indeterminate frame (Vierendeel girder).

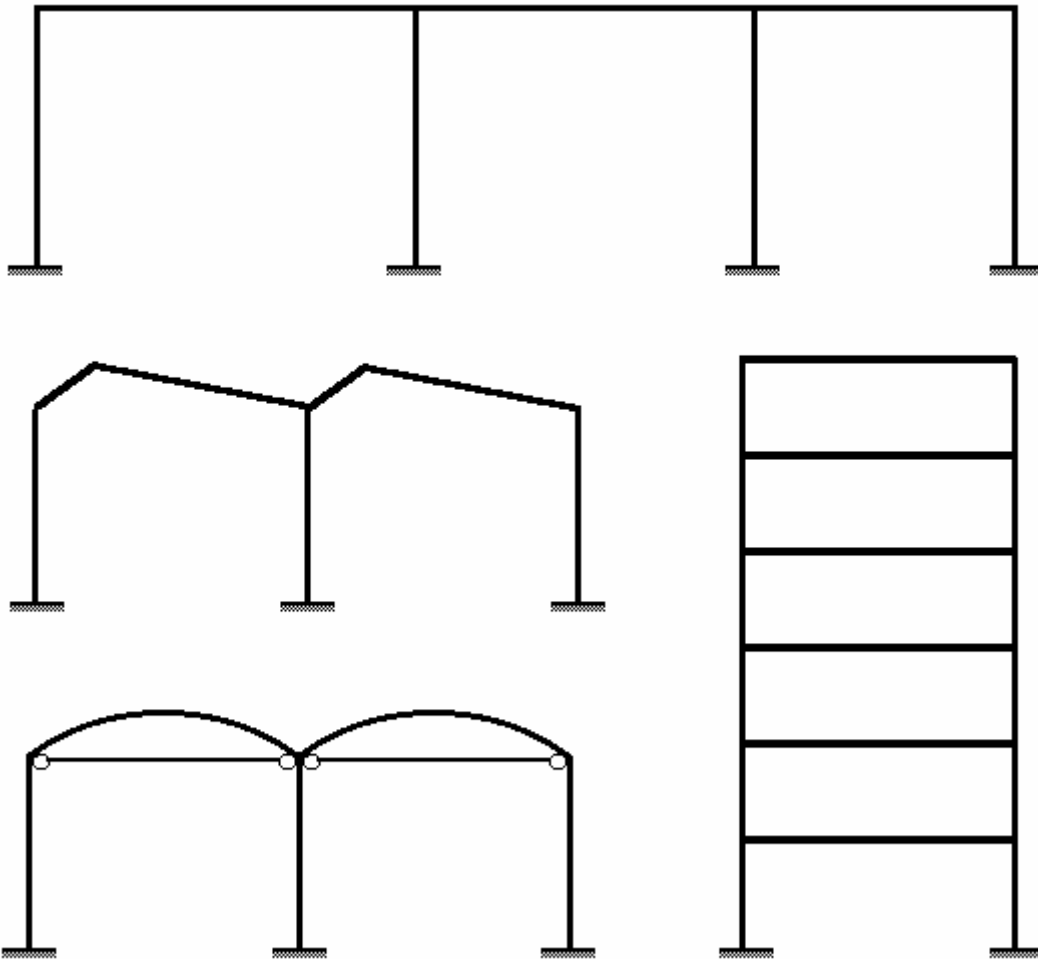


Fig.1.18

Cadre plane static nedeterminate.

Statically indeterminate frames.

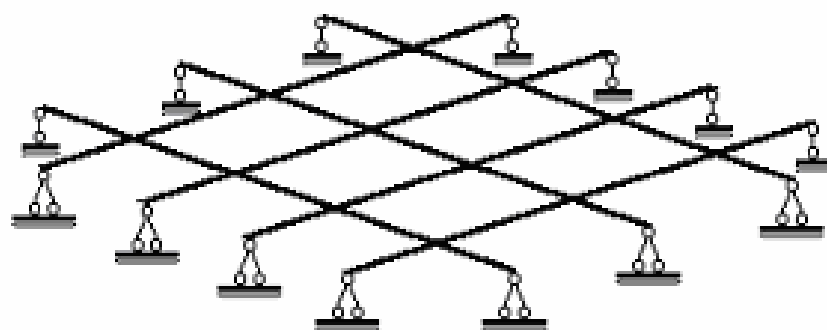
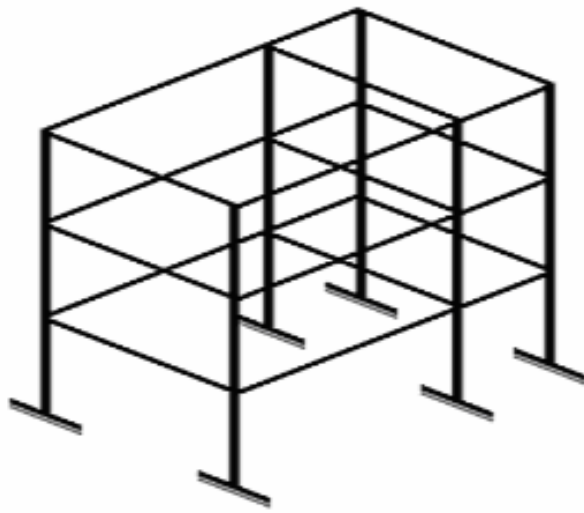


Fig.1.19

Rețea de grinzi.

Grillage of beams.

**Fig.1.20**

**Structură spațială în cadre.**

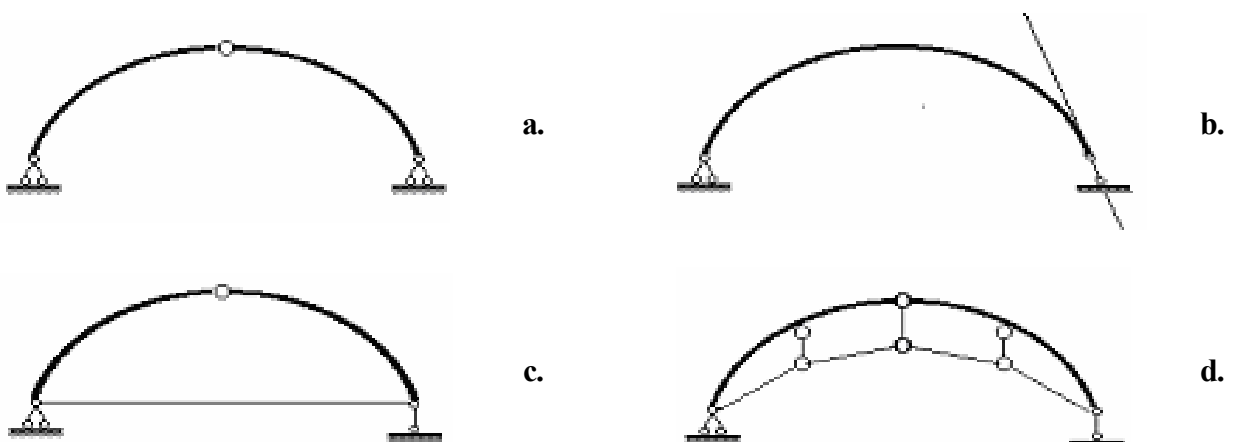
**Spatial frame.**

#### 1.2.4.c Arce

Arcele sunt structuri cu axa curbă, încărcate în planul lor și în reazemele cărora apar reacțiuni orizontale (împingeri), chiar dacă încărcările exterioare sunt verticale.

#### 1.2.4.c Arches

Arches are structures with curved axis, loaded in their plane. Horizontal reactions (thrusts) develop at supports even in the case of vertical loads.

**Fig. 1.21**

**Arce static determinate.**

a. - arc cu trei articulații, b. - arc simplu rezemat, c. - arc cu tirant, d. - arc cu tirant suspendat

**Statically determinate arches.**

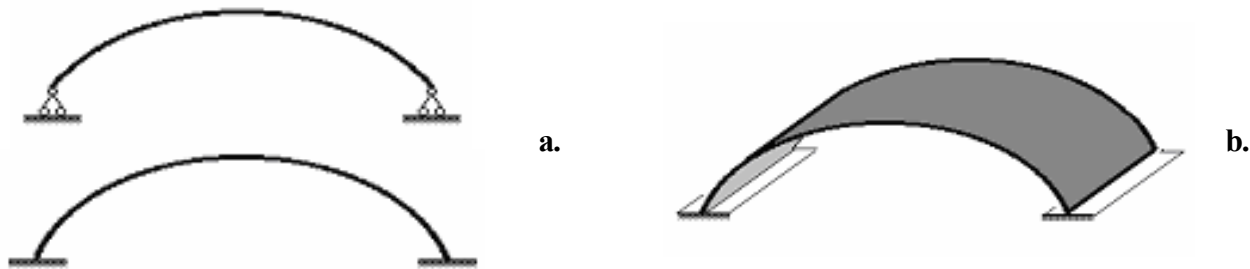
a. - three-pinned arch, b. - simply supported arch, c. - tied arch, d. - elevated tied arch

Arcele sunt utilizate în construcții industriale și social culturale, structuri de poduri, construcții hidrotehnice etc., fig.1.21. și 1.22.

Bolțile sunt arce cu o lățime foarte dezvoltată.

Arches are used in the industrial and socio-cultural buildings, bridge structures, hydro technical constructions etc., fig.1.21 and 1.22.

Vaults are arches with very large span.



**Fig.1.22**

a. – arce static nedeterminate, b. - boltă

a. - statically indeterminate arches,  
b. - vault

#### 1.2.4.d Structuri mixte pentru poduri

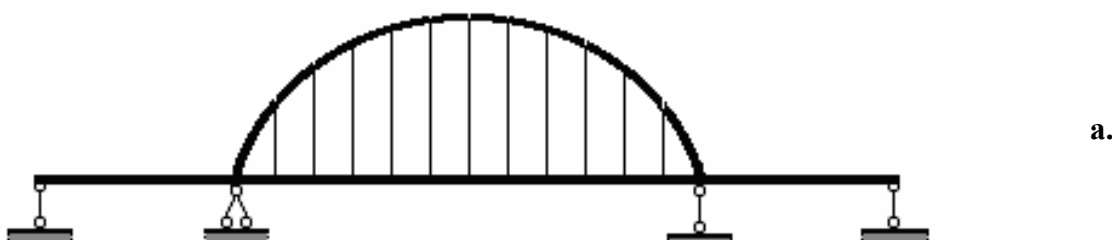
Structurile mixte pentru poduri sunt construcții realizate prin combinarea unor grinzi și arce, legate între ele prin montanți.

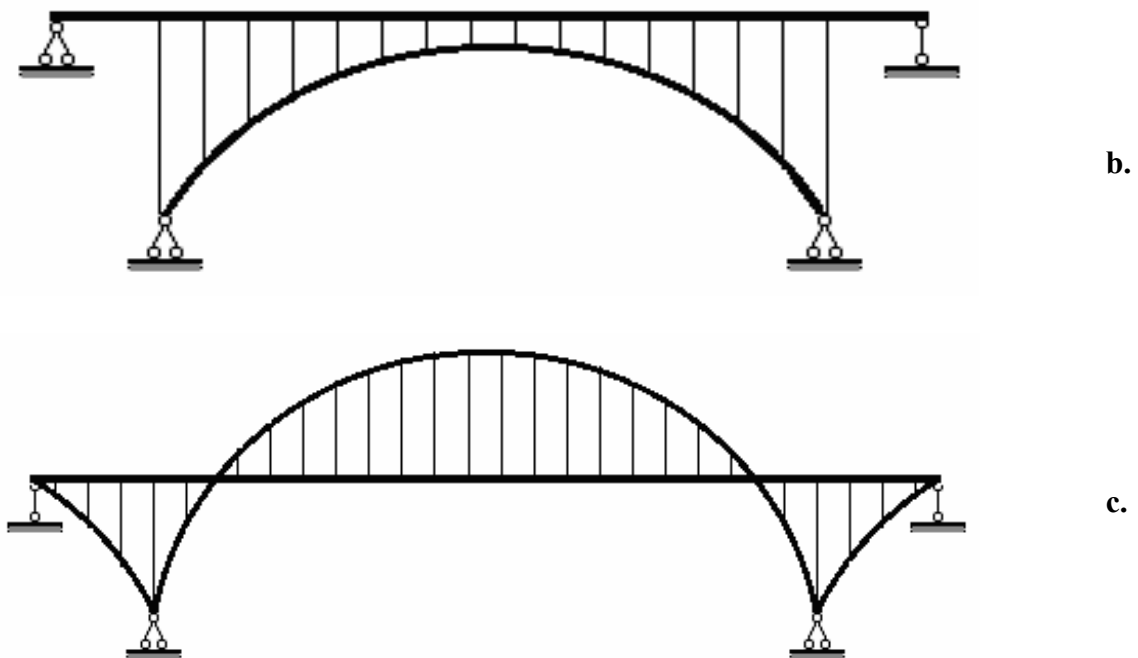
Structurile mixte pot fi: cu calea inferioară, cu calea superioară sau cu calea la mijloc, fig.1.23.

#### 1.2.4.d Mixed structures for bridges

Mixed structures for bridges are structures obtained from the combination of beams and arches, connected to each other by verticals.

The mixed structures can have lower deck, upper deck or middle deck, fig.1.23.



**Fig.1.23****Structuri mixte.**

a. - cu calea inferioară, b. - cu calea superioară, c. - cu calea la mijloc

**Mixed structures.**

a. - lower deck, b. - upper deck, c. - middle deck

#### **1.2.4.e Structuri suspendate**

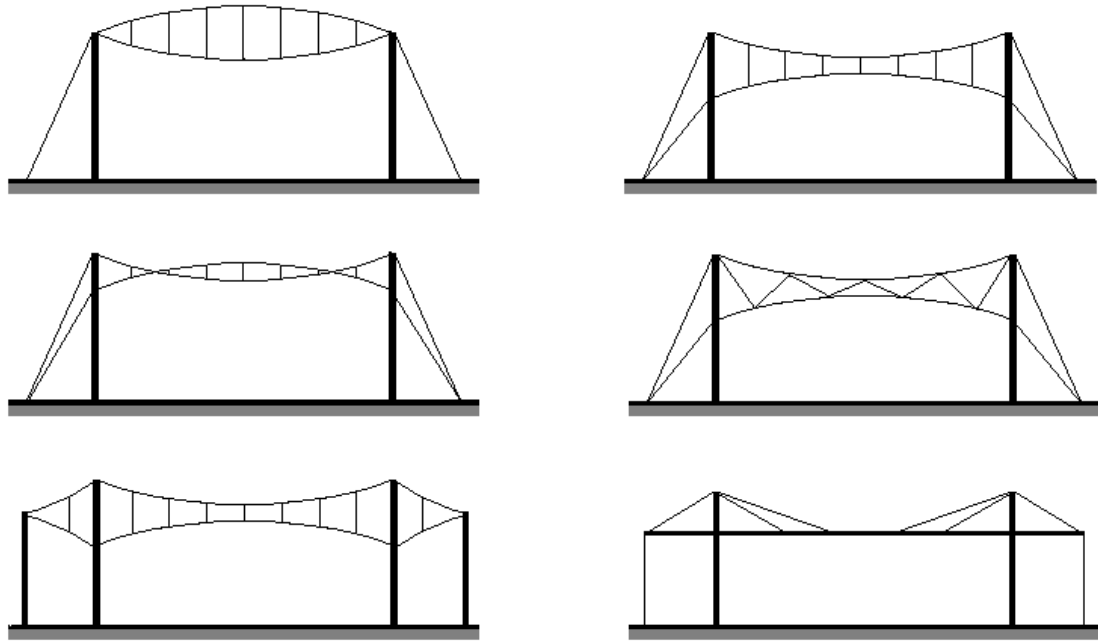
Structurile suspendate sunt structuri ale căror elemente principale sunt cablurile de înaltă rezistență și care permit realizarea de deschideri foarte mari. Există două tipuri de structuri suspendate:

- pentru construcții industriale și social culturale, fig.1.24,
- pentru poduri, fig.1.25.

#### **1.2.4.e Suspended structures**

Suspended structures are structures whose main elements are high strength cables. They allow the construction of very large spans. There are two types of suspended structures:

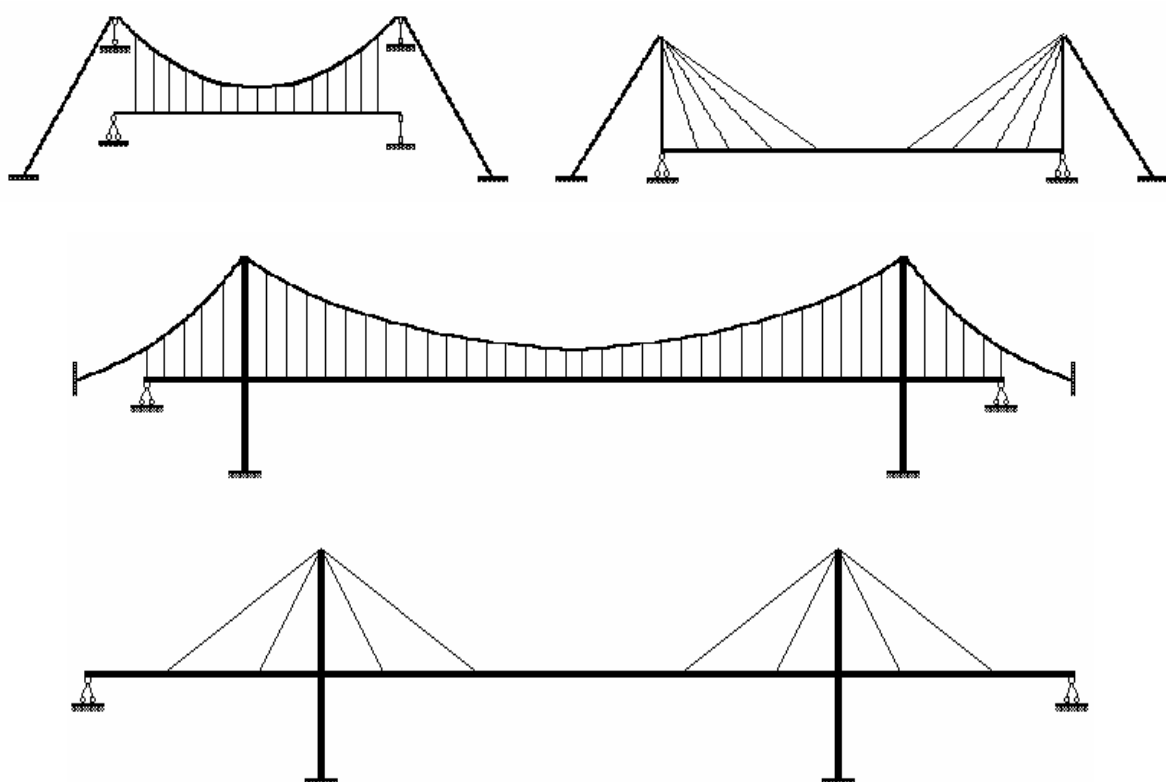
- for industrial and socio-cultural buildings, fig. 1.24,
- for bridges, fig.1.25.



**Fig.1.24**

**Structuri suspendate pentru construcții industriale și social culturale.**

**Suspended structures for industrial and socio-cultural constructions.**



**Fig.1.25**

**Structuri suspendate pentru poduri.**

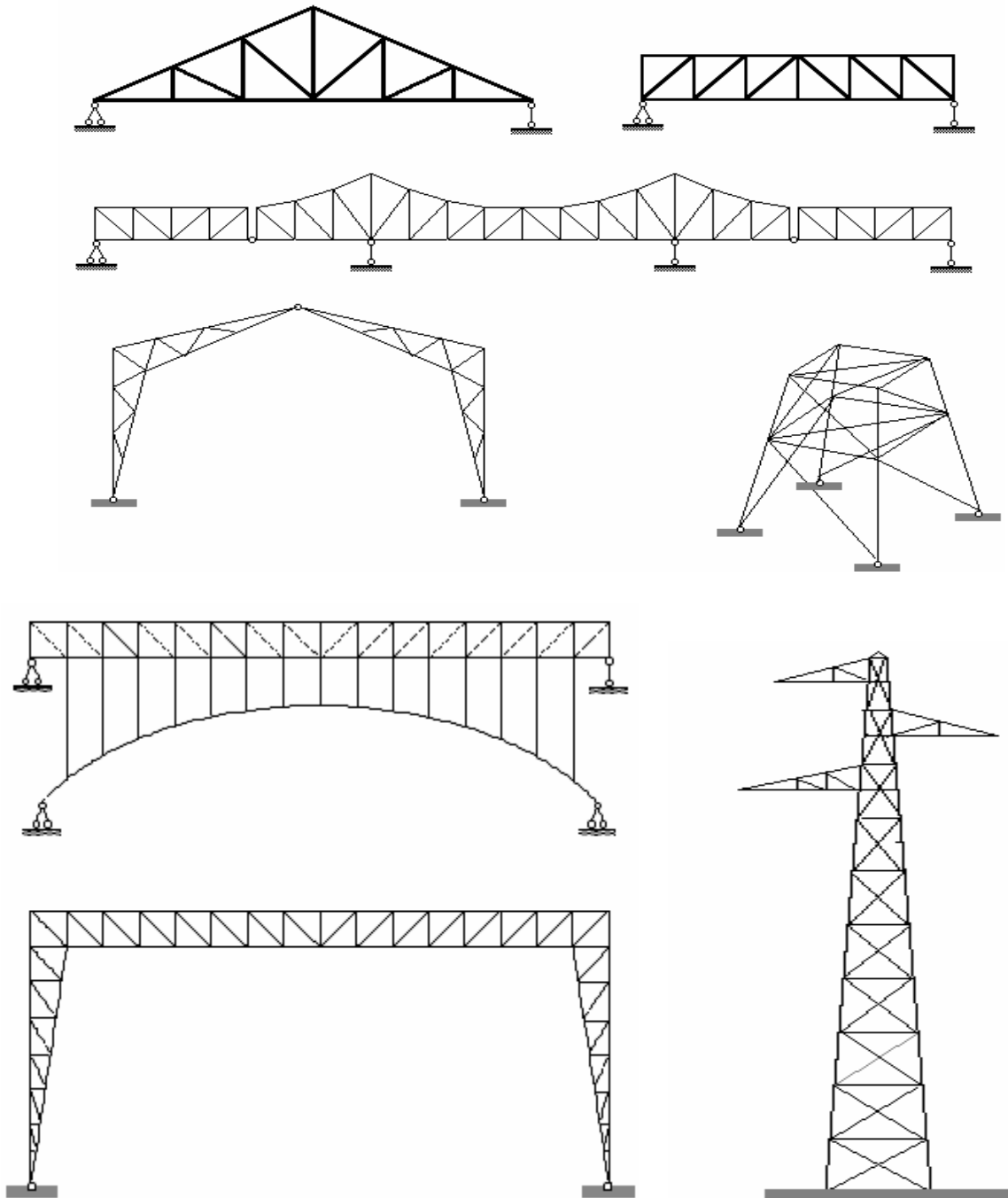
**Suspended structures for bridges.**

**1.2.4.f Structuri cu zăbrele**

Structurile cu zăbrele sunt structuri care, prin schematizare, se reduc la sisteme geometric indeformabile când nodurile se consideră articulații perfecte, fig.1.26.

**1.2.4.f Trusses**

Trusses are structures which, by virtue of their structural form, are reduced to geometric undeformable systems with the joints considered as perfect pins, fig. 1.26.

**Structuri cu zăbrele.****Fig.1.26****Trusses.**

Aceste structuri pot fi realizate în totalitate sau parțial pentru orice schemă din cele prezentate anterior (grinzi, arce, structuri mixte). Ele sunt utilizate în construcții industriale, social culturale, poduri, construcții speciale.

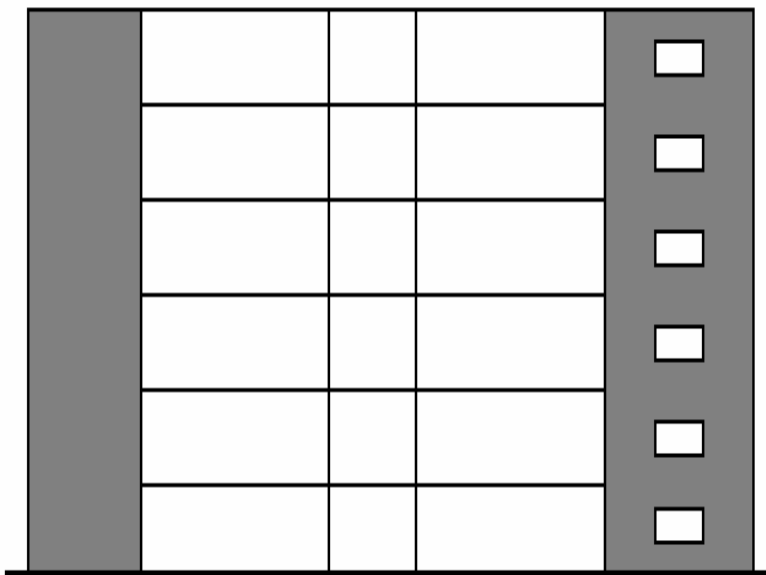
Trusses can be totally or partially produced for any structural scheme previously presented (beams, arches, mixed structures). They are used in industrial and socio-cultural buildings, bridges, special constructions.

#### **1.2.4.g Structuri din diafragme și mixte**

Structurile din diafragme (pline sau cu goluri) și mixte (diafragme-cadre) sunt utilizate în construcții de locuințe, social culturale, administrative, fig.1.27.

#### **1.2.4.g Diaphragm wall and mixed structures**

Diaphragm wall structures (solid or with holes) and mixed structures (diaphragms-frames) are used in domestic buildings, socio-cultural buildings, administrative buildings, fig.1.27.



**Structuri mixte cadre-diafragme.**

**Fig.1.27**

**Mixed structures frame-diaphragms.**

### **1.3 ACTIUNI IN CONSTRUCTII**

Acțiunile sunt cauzele care produc eforturi și deplasări în elementele de construcții și în structuri.

### **1.3 LOADS IN CONSTRUCTION**

Loads are the causes which produce internal forces and deformations in structural members.

Intensitatea acțiunii în Sistemul Internațional de unități este exprimată în newton (N).

**Newtonul este forța care produce o acceleratie egală cu  $1 \text{ m/s}^2$  unui corp în repaus cu masa de un Kg.**

In funcție de modelarea pentru calcul, există două tipuri de acțiuni:

- **încărcări** - acțiuni care pot fi schematizate ca forțe sau momente;
- **alte tipuri de acțiuni** - variații de temperatură, contracția betonului, cedări de rezemă, etc.

#### Incărcările se pot clasifica:

- a. după **modul de aplicare** pe elementul de construcție:
  - **forțe concentrate** (punctuale) - acestea sunt încărcări repartizate pe o porțiune foarte mică din suprafața elementului, înlocuite prin rezultantă (*o încărcare concentrată sau forță care este caracterizată printr-un punct de aplicare, o dreaptă suport, un sens de acțiune și intensitatea încărcării - intensitatea este exprimată în N și multiplii săi daN, kN, etc.*), fig.1.28;
  - **cupluri (punctuale)** - sunt momente concentrate (*cuplul este caracterizat printr-un punct de aplicare, un sens de acțiune și o intensitate - intensitatea este exprimată în Nm și multiplii săi daNm, kNm, etc.*), fig.1.29;

The magnitude of the load in the International System of Units is expressed in Newton (N).

**Newton is the force required to impart an acceleration of  $1 \text{ m/s}^2$  to a body at rest of mass 1kg.**

Depending on modelling in calculations, there are two types of loads:

- **loads** - actions expressed in terms of forces and moments;
- **other types of actions** - changes in temperature, concrete contraction, settlements, etc.

#### Loads can be divided into:

- a. depending on **the way in which they are applied** on the structural member:
  - **concentrated (point) loads** - they are loads applied over a very small area of the member, being replaced by the resultant (*a point load or force which is defined by a point of application, line of action, sense of application and intensity of the load - the intensity is expressed in N and its multiples daN, kN, etc.*), fig.1.28;
  - **couples** - they are couple moments (*the couple is defined by a point of application, sense of application and intensity – the intensity is expressed in Nm and its multiples daNm, kNm, etc.*), fig.1.29;

- **încărcări distribuite** (constante, liniare, parabolice sau după o lege oarecare) - valoarea încărcării se exprimă pe unitatea de arie sau pe unitatea de lungime și poartă numele de intensitatea încărcării (intensitatea se reprezintă în mod curent prin litera **p** și se exprimă în unitate de forță pe unitate de suprafață iar pentru elementele liniare, în unitate de forță pe unitate de lungime - exemple:  $N/m^2$  sau  $N/m$  și multiplii lor), fig.1.30.

b. după poziția pe structură:

- **încărcări fixe;**
- **încărcări mobile** (poduri rulante, vehicule pe drumuri sau pe căile ferate).

- **distributed loads** (constant, linear, parabolic or any other law of variation) - the magnitude of the load is given per unit of area or unit of length and is called intensity of the load (the intensity is usually represented by the letter **p** and is expressed in unit of force per unit of area or, for linear members, in unit of force per unit of length – examples:  $N/m^2$  or  $N/m$  and their multiples), fig.1.30.

b. depending on the position on the structure:

- **fixed loads;**
- **moving loads** (travelling cranes, vehicles on highways or railways).

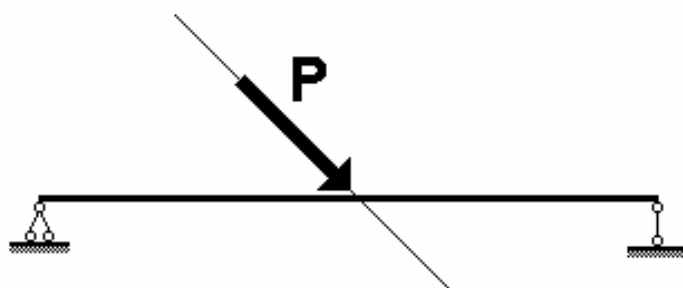


Fig.1.28

Incărcare concentrată - forță.

Point load - force.

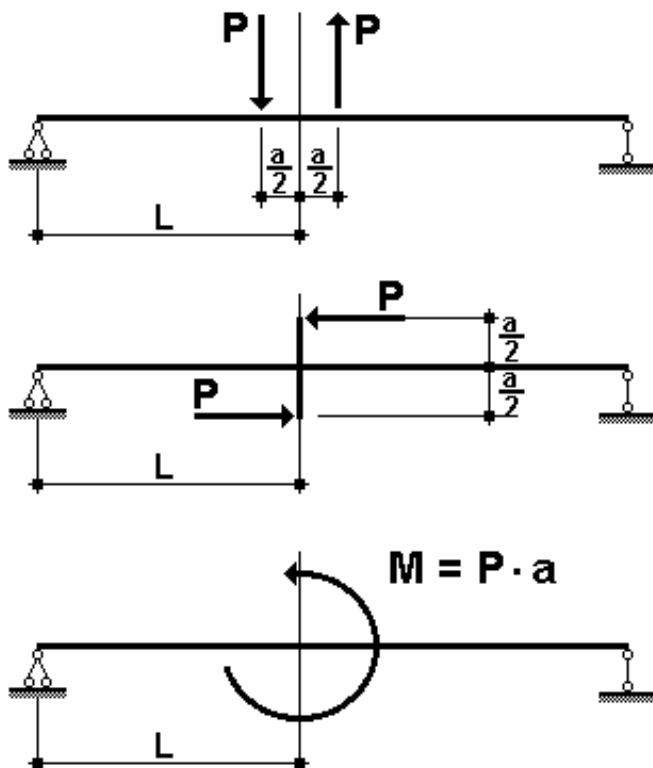


Fig.1.29

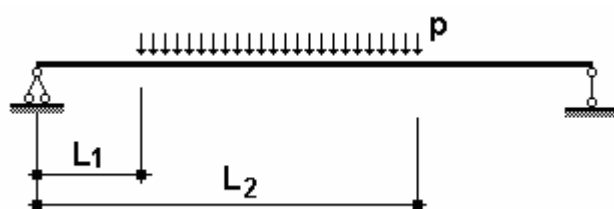
**Momente concentrate, cupluri.**

c. după variația intensității în timp:

- **încărcări statice** - se spune că o încărcare este statică dacă este lentă, continuă și putem neglija forțele de inerție;
- **încărcări dinamice** - sunt încărcări instantanee, în aceste condiții neputându-se neglija forțele de inerție.

**Couple moments.**

- c. depending on the variation of the intensity with time:
- **static loads** - a load is called static if this is slow, continuous and the inertia forces can be neglected;
- **dynamic loads** - they are instantaneous loads, in this case the inertia forces can not be neglected.



a.

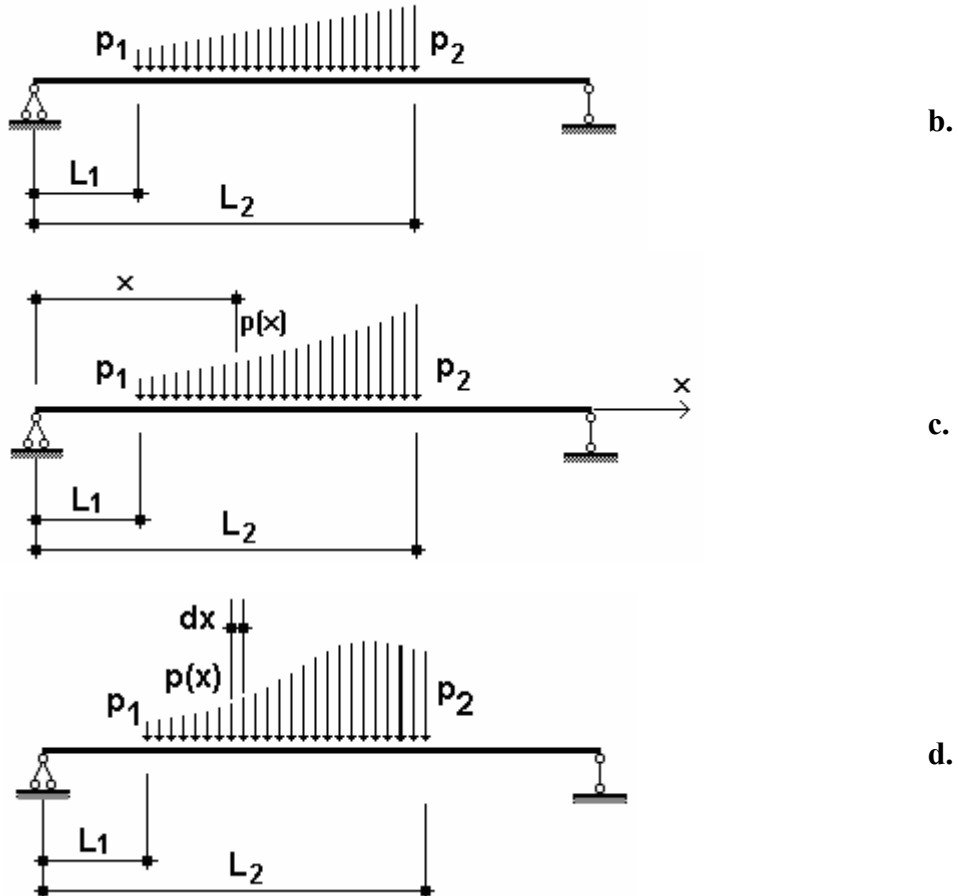


Fig.1.30

**Încărcări distribuite.**

- a. - constant, b. - liniar, c. - parabolic,  
 d. - după o lege oarecare  
 d. după elementul pe care acționează:

- încărcări directe;
- încărcări indirecte.

O încărcare poate fi descompusă, în raport cu o axă, într-o încărcare simetrică și o încărcare antisimetrică, fig.1.31. Se poate utiliza principiul suprapunerii efectelor în ceea ce privește acțiunile.

**Distributed loads.**

- a. - constant, b. - linear, c. - parabolic,  
 d. - certain law of variation  
 d. depending on the member on which they are acting:

- direct loads;
- indirect loads.

A load can be resolved into a symmetrical load and an antisymmetrical load with regard to an axis, fig.1.31. The principle of the superposition of effects can be used in this case.

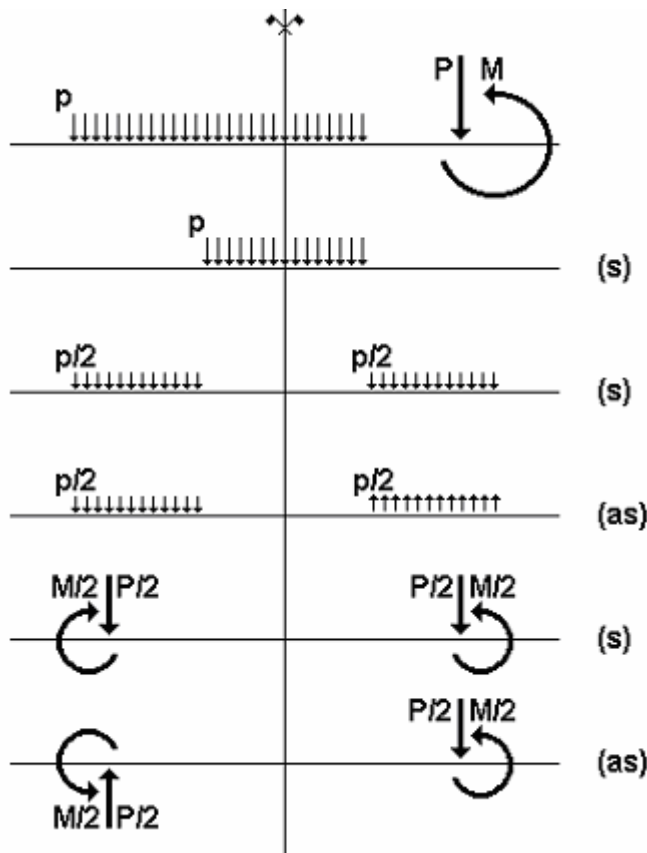


Fig.1.31

**Descompunerea încărcărilor în raport cu o axă.**

**Resolution of loads with regard to an axis.**

## 1.4 CONDITII DE ECHILIBRU

Datorită acțiunilor exterioare, în reazemele structurilor apar forțe de legătură (reacțiuni). Pentru a determina aceste mărimi statice, se utilizează două tipuri de ecuații:

- **ecuații de echilibru static** pentru structurile static determinate;
- **ecuații de echilibru static și ecuații de echilibru elastic** pentru structurile static nedeterminate.

Deplasarea unui sistem plan dintr-o poziție în alta este compusă din trei mișcări. Aceste mișcări pot fi trei rotații sau două translații și o rotație, fig.1.32.

## 1.4 EQUILIBRIUM CONDITIONS

Due to the external loads, reactive forces (reactions) will occur at the supports of the structure. In order to determine these static quantities, two types of equations are used:

- **equations of static equilibrium** for the statically determinate structures;
- **equations of static equilibrium and equations of elastic equilibrium** for the statically indeterminate structures.

The displacement of a plane system from one position to another is composed of three movements. These movements can be three rotations or two translations and one rotation, fig.1.32.

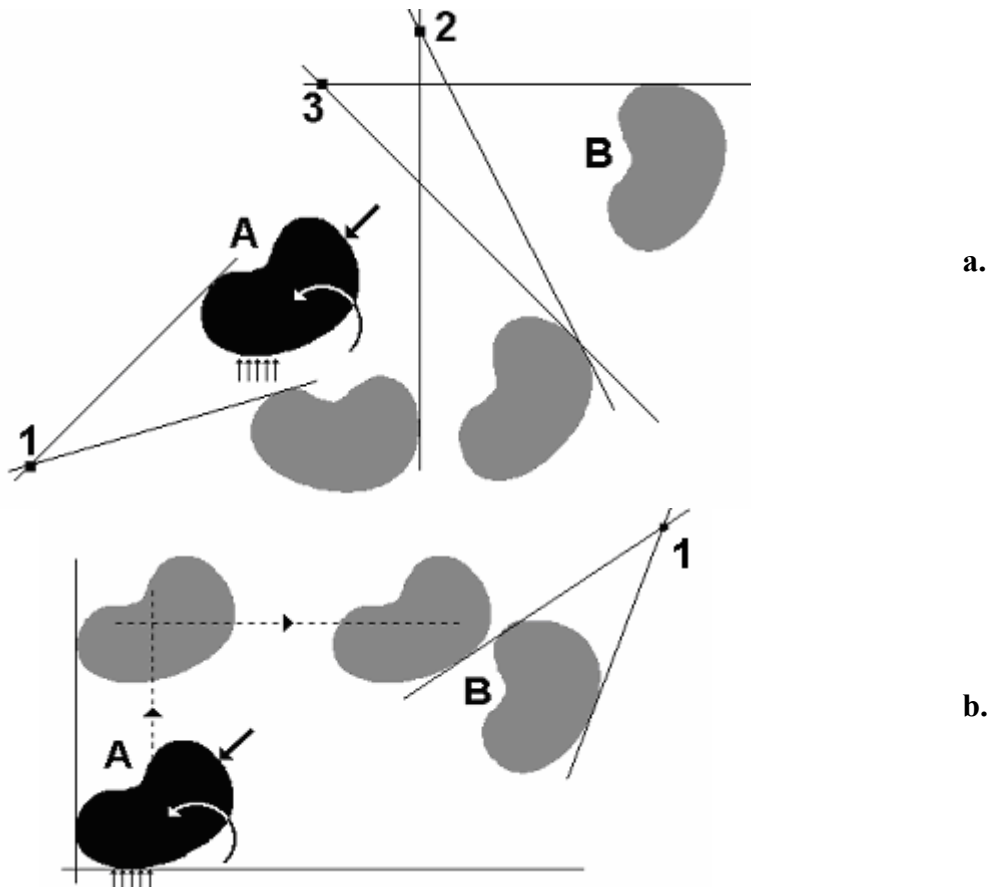


Fig.1.32

**Deplasările posibile ale unui sistem.**

a. - prin trei rotații, b. - prin două translații și o rotație

**Observație:**

**O translație este echivalentă cu o rotație în raport cu un punct situat la infinit.**

Pentru a evita deplasarea, este necesar ca rezultanta tuturor acțiunilor (ca forță și moment) să fie nulă, ceea ce reprezintă tocmai condițiile de echilibru static.

**Pentru structurile plane, echilibrul static poate fi exprimat:**

- a. prin ecuații obișnuite de proiecție sau moment, în trei variante:

$$\sum F_x = 0 \quad \sum F_y = 0 \quad \sum M_i = 0 \quad (1.5)$$

$$\sum M_i = 0 \quad \sum M_j = 0 \quad \sum F_x = 0 \quad (\sum F_y = 0) \quad (1.6)$$

**Likely displacements of a system.**

a. - through three rotations, b. - through two translations and one rotation

**Note:**

**A translation is equivalent to a rotation with respect to a point located at infinity.**

In order to prevent the displacement, it is necessary that the resultant of all the actions (as force and moment) be zero, which represents the conditions of static equilibrium.

**For plane structures, the static equilibrium can be expressed:**

- a. by usual equations of forces or moment, in three versions:

$$\sum M_i = 0 \quad \sum M_j = 0 \quad \sum M_k = 0 \quad (1.7)$$

unde i, j și k sunt trei puncte necoliniare;

where i, j and k are three noncollinear points;

- b. utilizând principiul lucrului mecanic virtual:

- b. by using the virtual work:

$$\sum F_x \cdot \bar{\delta}_x + \sum F_y \cdot \bar{\delta}_y + \sum M_i \cdot \bar{\theta}_i = 0 \quad (1.8)$$

unde  $\bar{\delta}_x, \bar{\delta}_y, \bar{\theta}_i$  sunt deplasări virtuale, ceea ce conduce la (1.5);

where  $\bar{\delta}_x, \bar{\delta}_y, \bar{\theta}_i$  are virtual displacements, resulting in (1.5);

- c. grafic - poligonul forțelor și poligonul funicular să fie închise.

- c. graphically - the polygon of forces and the funicular polygon have to be closed.

#### Observație:

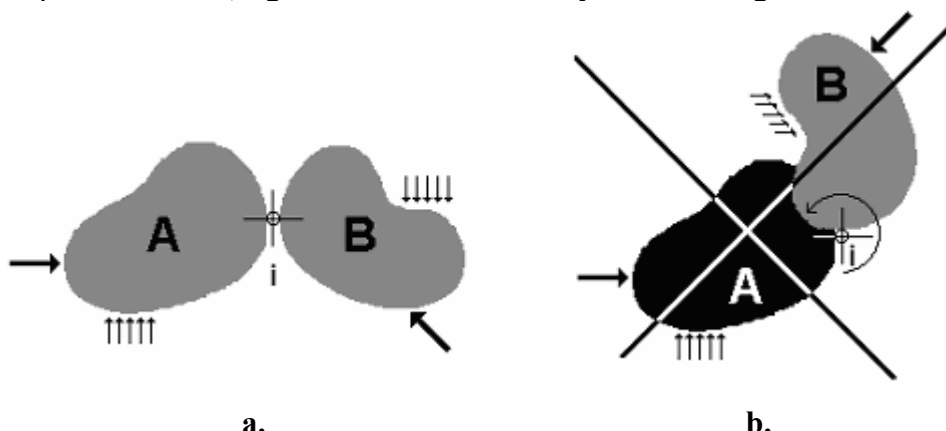
Ecuatiile de echilibru elastic vor fi analizate la calculul structurilor static nedeterminate.

Dacă sistemul este realizat din elemente legate cu articulații, echilibrul trebuie realizat pe ansamblu și pentru fiecare subsistem în raport cu celălalt, fig.1.33.

#### Note:

The elastic equations of equilibrium will be studied at the analysis of statically indeterminate structures.

If the system is composed of members connected by pins, the equilibrium has to be achieved for the whole system and for each subsystem with regard to each other, fig.1.33.



**Rotirea relativă între sistemele A și B nu există dacă ansamblul este în echilibru.**  
a.- sistem, b. - rotirea relativă posibilă

Fig.1.33

No relative rotation between subsystems A and B if the whole system is in equilibrium.  
a. - system, b. - likely relative rotation

In acest caz avem următoarea ecuație de echilibru:

$$\sum M_{i-B} = 0 \quad \text{sau / or} \quad \sum M_{i-A} = 0 \quad (1.9)$$

## 1.5 EFORTURI

Se consideră o bară oarecare, care face parte dintr-o structură plană, încărcată în planul său, fig.1.34.

In this case, the following equation can be written:

## 1.5 INTERNAL FORCES

Consider a bar which is part of a plane structure, loaded in its plane, fig.1.34.

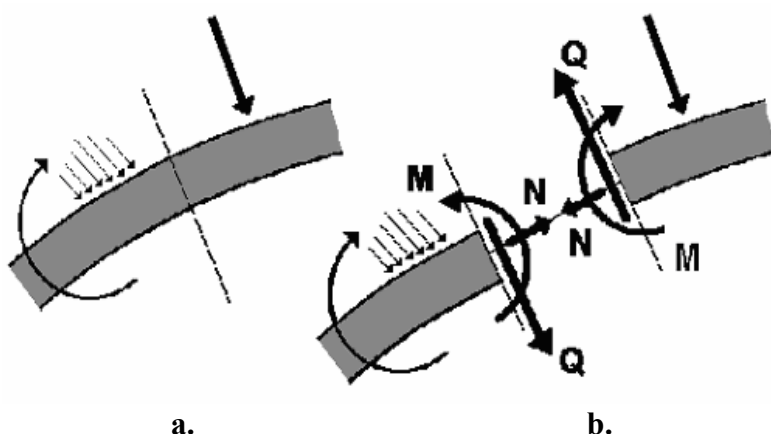


Fig.1.34

### Eforturi.

a. - o bară, b. - echilibrul tronsoanelor barei  
Ne vom imagina tăierea barei solicitată în două părți, cu ajutorul unui plan perpendicular pe axă. Pentru ca fiecare din aceste părți să se găsească în echilibru sub acțiunea încărcărilor exterioare aplicate, se înlocuiește efectul părții îndepărtate printr-un sistem de forțe interioare ce acționează pe secțiune, fig.1.35. Aceste forțe se numesc **eforturi**:

**Efortul axial N:** într-o secțiune oarecare a unei bare este egal cu suma algebrică a proiecțiilor pe tangentă la axa barei a tuturor forțelor exterioare (concentrate sau distribuite) ce se găsesc pe bară de o parte a secțiunii considerate.

### Internal forces.

a. - bar, b. - equilibrium of parts of the bar  
The bar is imaginarily cut into two parts by a plane perpendicular to its axis. In order to have the equilibrium of each part under the applied external loads, the effect of the removed part is replaced by a system of internal forces which are acting over the cut cross section, fig.1.35. These forces are called **internal forces**:

**Axial force N:** at a certain section of a bar is equal to the algebraic sum of the projections on the tangent to the axis of the bar of all the external forces (concentrated or distributed) acting on the bar, on one side or the other of the considered cross section.

**Forța tăietoare Q:** într-o secțiune oarecare a unei bare este egală cu suma algebrică a proiecțiilor pe normală la tangentă la axa barei a tuturor forțelor exterioare (concentrate sau distribuite) ce se găsesc pe bară de o parte a secțiunii considerate.

**Momentul încovoiator M:** într-o secțiune oarecare a unei bare este egal cu suma algebrică a momentelor în raport cu centrul de greutate al secțiunii barei ale tuturor forțelor exterioare, ce se găsesc pe bară de o parte a secțiunii considerate.

#### Observație:

**Pentru a defini semnul eforturilor, se consideră convenția din fig.1.36, pentru un tronson infinit mic de bară.**

Se consideră un tronson infinit mic dintr-o bară curbă, fig.1.37, având raza de curbură  $r$ , centrul în  $O$  și lungimea  $ds$ . Acesta este supus la o încărcare oarecare ale cărei rezultante, situate în centrul tronsonului, sunt:

$p_t \cdot ds$  - pe direcția tangentei la axa barei / in the direction of the tangent to the axis of the bar;  
și /and  
 $p_n \cdot ds$  - pe direcția normalei la tangentă la axa barei / in the direction of the perpendicular to the tangent to the axis of the bar.

**Shear force Q:** at a certain section of a bar is equal to the algebraic sum of the projections on the perpendicular to the tangent to the axis of the bar of all the external forces (concentrated or distributed) acting on the bar, on one side of the considered cross section.

**Bending moment M:** at a certain section of a bar is equal to the algebraic sum of moments of all the external forces acting on the bar on one side of the considered cross section, with regard to the centroid of the section.

#### Note:

**In order to define the sign of the internal forces, the sign convention shown in fig.1.36 is used for an infinitesimally small element of bar.**

Consider an infinitesimally small element of a curved bar, fig.1.37, having the curvature radius  $r$ , the center at  $O$ , the length  $ds$ . This is subjected to a certain load whose resultants, at the centre of the segment, are:

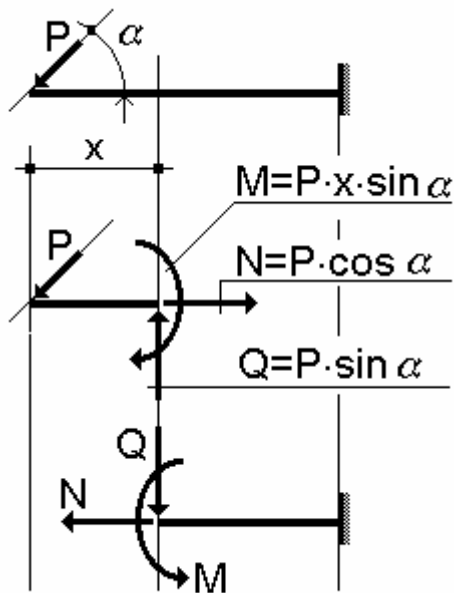


Fig.1.35

Semnificația eforturilor pentru bara dreaptă.

Meaning of the internal forces for the straight bar.

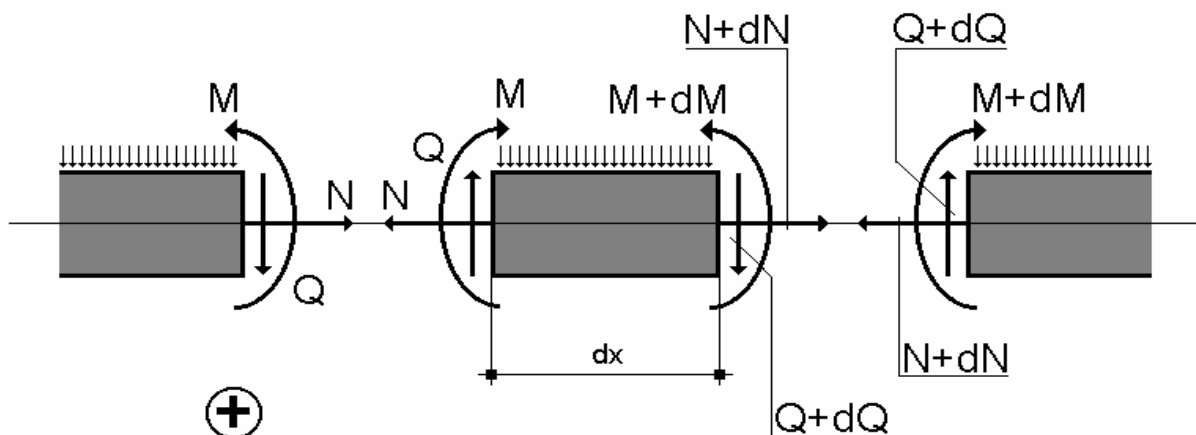


Fig.1.36

Convenția pozitivă a eforturilor.

Positive sign convention for the internal forces.

Unghiul corespunzător la centru, notat cu  $d\omega$ , este considerat infinit mic, astfel că:

The corresponding angle at centre, denoted by  $d\omega$ , is considered infinitesimally small so that:

$$\sin d\omega = d\omega$$

și / and

$$\cos d\omega = 1$$

Pe cele două fețe ale trosonului se consideră efectul părții îndepărtate: N, Q și M pe fața din stânga și N+dN, Q+dQ și M+dM pe fața din dreapta.

The effect of the removed part is considered on the two end sides of the segment: N, Q and M on the left hand side and N+dN, Q+dQ and M+dM on the right hand side.

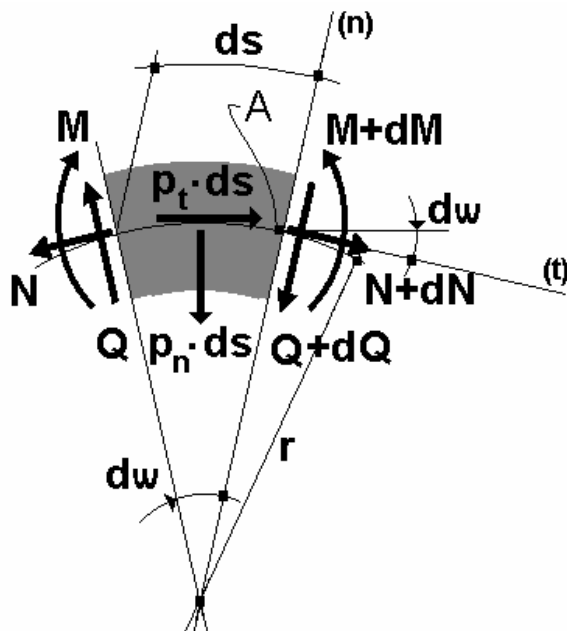


Fig.1.37

**Echilibrul unui tronson infinit mic dintr-o bară curbă.**

Tronsonul fiind în echilibru, se scriu următoarele ecuații în raport cu punctul A situat pe axa tronsonului:

- suma proiecțiilor pe tangentă în A:

$$N + dN - N \cdot \cos d\omega - Q \cdot \sin d\omega + p_n \cdot ds \cdot \sin \frac{d\omega}{2} + p_t \cdot ds \cdot \cos \frac{d\omega}{2} = 0 \quad (1.10)$$

- suma proiecțiilor pe normală în A:

$$Q + dQ + N \cdot \sin d\omega - Q \cdot \cos d\omega + p_n \cdot ds \cdot \cos \frac{d\omega}{2} - p_t \cdot ds \cdot \sin \frac{d\omega}{2} = 0 \quad (1.11)$$

- suma momentelor în raport cu A:

**Equilibrium of an infinitesimally small element of a curved bar.**

The segment being in equilibrium, the following equations can be written with regard to point A located on the axis of the segment:

- summation of projections on the tangent at A:

$$N + dN - N \cdot \cos d\omega - Q \cdot \sin d\omega + p_n \cdot ds \cdot \sin \frac{d\omega}{2} + p_t \cdot ds \cdot \cos \frac{d\omega}{2} = 0 \quad (1.10)$$

- summation of projections on the perpendicular at A:

$$Q + dQ + N \cdot \sin d\omega - Q \cdot \cos d\omega + p_n \cdot ds \cdot \cos \frac{d\omega}{2} - p_t \cdot ds \cdot \sin \frac{d\omega}{2} = 0 \quad (1.11)$$

- summation of moments about A:

$$M + dM - M + N \cdot ds \cdot \sin d\omega - Q \cdot ds \cdot \cos d\omega + p_n \cdot ds \cdot \frac{ds}{2} \cdot \cos \frac{d\omega}{2} - p_t \cdot ds \cdot \frac{ds}{2} \cdot \sin \frac{d\omega}{2} = 0 \quad (1.12)$$

Dacă se negligează infiniții mici de gradul doi și se notează  $ds = r \cdot d\omega$ , atunci relațiile (1.10), (1.11) și (1.12) devin:

$$\frac{dN}{ds} = -p_t + \frac{Q}{r} \quad (1.13)$$

$$\frac{dQ}{ds} = -p_n - \frac{N}{r} \quad (1.14)$$

$$\frac{dM}{ds} = Q \quad (1.15)$$

Pentru bara dreaptă, cu  $r$  tinzând la infinit, se obțin următoarele relații diferențiale:

If the second order terms are neglected and  $ds = r \cdot d\omega$ , then the relationships (1.10), (1.11) and (1.12) become:

For the straight bar, with  $r$  tending towards infinity, the following differential relationships are obtained:

$$\frac{dN}{dx} = -p_t \quad (1.16)$$

$$\frac{dQ}{dx} = -p_n \quad (1.17)$$

$$\frac{dM}{dx} = Q \quad (1.18)$$

Aceste relații permit stabilirea corespondenței între eforturi și încărcările exterioare.

These relationships make the connection between the internal loadings and external loads.

## 1.6 DIAGRAME DE EFORȚURI

Diagramele de eforturi sunt **reprezentarea grafică a variației eforturilor în lungul axei barei**.

Trasarea diagramelor de eforturi poate fi realizată prin definirea funcțiilor eforturilor  $N(x)$ ,  $Q(x)$  și  $M(x)$  pe domeniile care au aceeași lege de variație a încărcării.

## 1.6 INTERNAL FORCES' DIAGRAMS

The internal forces' diagrams are the **graphical representations of the variation of the internal forces along the axis of the bar**.

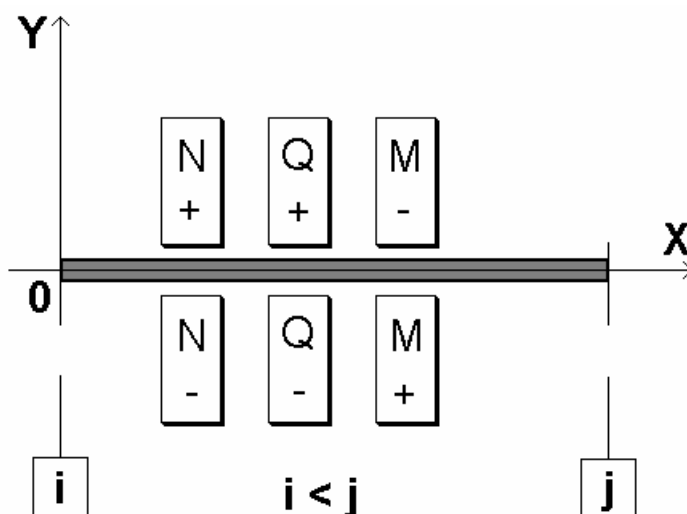
The internal loadings' diagrams can be drawn by defining the functions for the internal forces  $N(x)$ ,  $Q(x)$  and  $M(x)$  over regions with the **same law of variation of the load**.

Un alt procedeu este **metoda secțiunilor**, care constă în calculul valorilor acestor funcții în extremitățile unor intervale și reprezentarea legii de variație pe aceste intervale în funcție de relațiile diferențiale. Intervalele pot fi domenii care au o lege continuă de variație a încărcărilor sau subintervale ale acestor domenii.

Pentru a trasa diagramele de eforturi pe o bară oarecare a unei structuri care are extremitățile notate  $(i, j)$ , se consideră un sistem de axe **XOY** atașat acesteia. Originea sistemului de axe este situată în  $(i)$ , respectând condiția  $i < j$ , fig.1.38.

Another method is the **section method**, which consists of the calculation of values of these functions at the end of certain intervals and the drawing of their law of variation over those intervals as a function of the differential relationships. These intervals can be regions that have a continuous law of variation of the loads or subintervals of these regions.

In order to draw the internal forces' diagrams for a certain bar of a structure that has the ends denoted by  $(i, j)$ , a system of axes **XOY**, attached to it, is considered. The origin of the system of axes is located at  $(i)$ , satisfying the condition  $i < j$ , fig.1.38.



**Sistemul de axe XOY atașat unei bare și semnul eforturilor.**

**Fig.1.38**

**System of axes XOY attached to a bar and the sign of the internal forces.**

#### Observație:

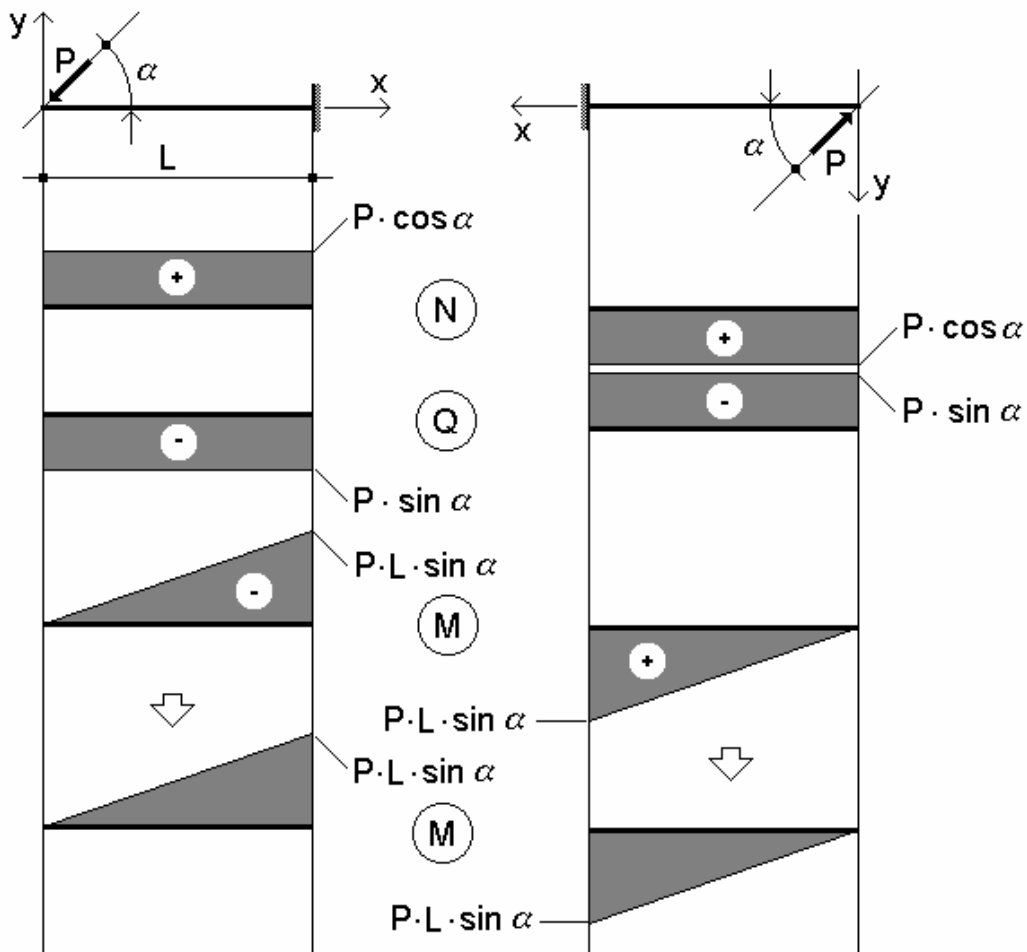
Se face convenția că diagramele **N** și **Q** pozitive sunt trasate în cadrul y pozitiv și diagramele negative în cadrul y negativ, fig.1.38, iar diagramele de moment sunt trasate pentru valorile pozitive în cadrul y negativ și valorile negative în cadrul y pozitiv, pe partea fibrei intinse a barei, fig.1.38.

#### Note:

We make the convention that the positive **N** and **Q** diagrams are drawn in the positive y quadrant and the negative diagrams in the negative y quadrant, fig.1.38, while the positive values of the bending moment diagrams are drawn in the negative y quadrant and the negative values in the positive y quadrant, on the tensile side of the bar, fig.1.38.

Analizând structura prezentată în fig.1.39, rezultă că pentru diagramele de moment încovoietor nu este necesar semnul.

From the analysis of the structure in fig.1.39, it can be noticed that the sign of the bending moment diagram is not required.



**Semnul diagrameelor de eforturi.**

**Fig.1.39**

**Sign of the internal forces' diagrams.**

Pentru structurile static determinate, simetrice în raport cu încărcările și tipurile de legături, diagramele de forță tăietoare sunt antisimetrice iar diagramele de moment încovoietor sunt simetrice, fig.1.40.

Pentru structurile static determinate, simetrice în raport cu legăturile dar antisimetrice în raport cu încărcările, diagramele de forță tăietoare sunt simetrice iar diagramele de moment încovoietor sunt antisimetrice, fig.1.41.

For the statically determinate structures, symmetrical with regard to the loads and types of supports, the shear force diagrams are antisymmetric and the bending moment diagrams are symmetric, fig.1.40.

For the statically determinate structures, symmetrical with regard to the supports but antisymmetric with respect to the loads, the shear force diagrams are symmetric and the bending moment diagrams are antisymmetric, fig.1.41.

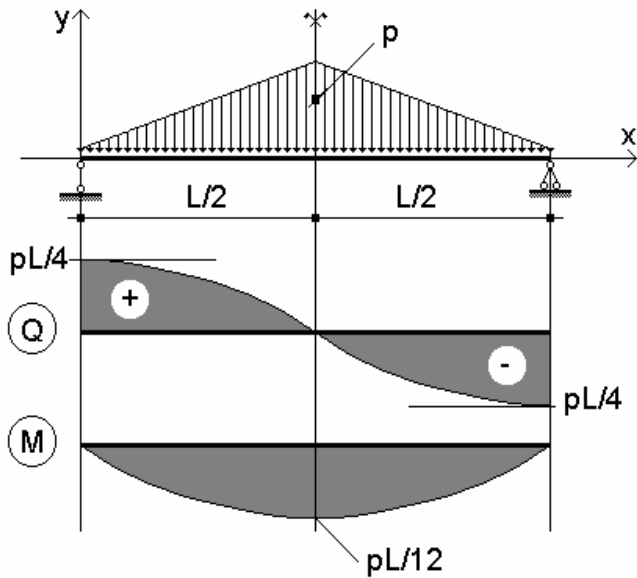


Fig.1.40

**Diagramme de eforturi pentru acțiuni simetrice.**

**Internal forces' diagrams for symmetric loads.**

Plecând de la definiția lui Q, rezultă că, într-o secțiune unde este aplicată o forță concentrată, diagrama de forță tăietoare trebuie să aibă un salt de discontinuitate de aceeași mărime cu această forță, fig.1.41.

Starting from the definition of Q, at a section with a point force, the shear force diagram must have a sudden change in value equal to the magnitude of that force, fig.1.41.

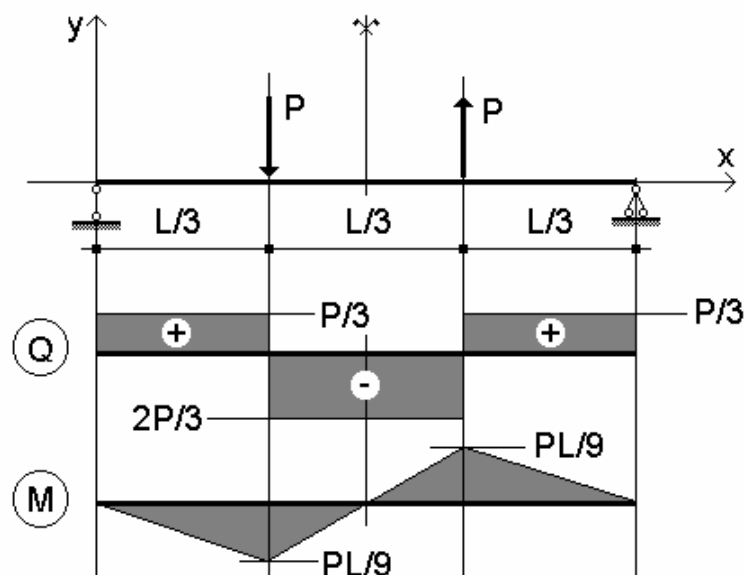


Fig.1.41

**Diagramme de eforturi pentru acțiuni antisimetrice.**

**Internal loadings diagrams for antisymmetric loads.**

Plecând de la definiția lui  $M$ , rezultă că, într-o secțiune supusă la un cuplu, diagrama de moment încovoietor trebuie să aibă un salt de discontinuitate de aceeași marime cu a momentului concentrat, fig.1.42.

Starting from the definition of  $M$ , at a section with a moment, the bending moment diagram must have a sudden change in value equal to the magnitude of that moment, fig.1.42.

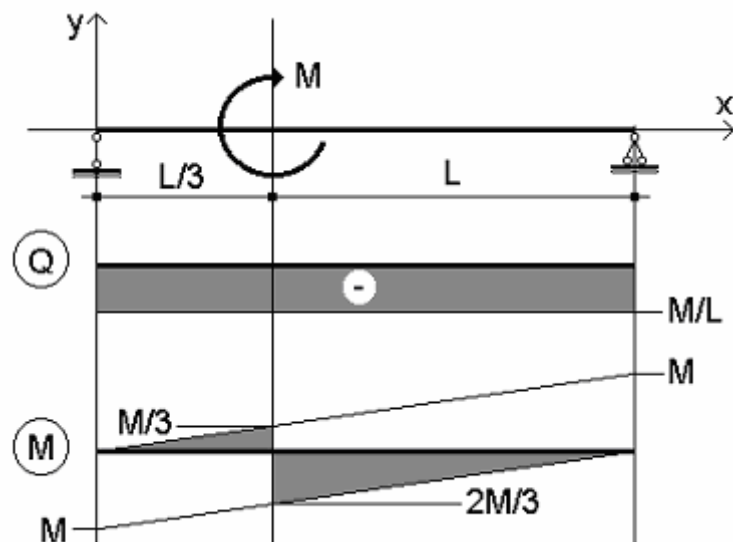


Fig.1.42

### Diagrame de eforturi pentru un moment concentrat.

Pentru elementele cu axa dreaptă, nesupuse la cupluri distribuite care produc încovoieri, construcția diagramelor  $Q$  și  $M$ , la fel ca și controlul corectitudinii lor, se efectuează cu ajutorul relațiilor diferențiale (1.17) și (1.18) între  $M$ ,  $Q$  și  $p$  și al consecințelor care rezultă din acestea:

$$\frac{dM}{dx} = Q \quad (1.19)$$

$$\frac{d^2M}{dx^2} = \frac{dQ}{dx} = -p \quad (1.20)$$

### Principalele observații care rezultă din relațiile (1.19) și (1.20):

- geometric, forța tăietoare este interpretată ca tangentă unghiului format de tangentă la diagrama de moment încovoietor la nivelul secțiunii considerate cu axa x a elementului;

### Internal forces' diagrams for a concentrated moment.

For members with straight axis, which are not subjected to distributed moments that produce bending, the drawing and check of  $Q$  and  $M$  diagrams are carried out using the differential relationships (1.17) and (1.18) between  $M$ ,  $Q$  and  $p$  and their relationships:

The main corollaries that result from (1.19) and (1.20) are:

- the shear force is geometrically interpreted as the tangent of the angle formed by the tangent to the bending moment diagram at the considered section and the x axis of the member ;

- intensitatea încărcării este interpretată ca tangenta unghiului format de această axă cu tangentă la diagrama de forță tăietoare;
  - dacă forțele care descriu variația încărcării distribuite sunt funcții algebrice pe fiecare porțiune a elementului, gradul funcției forței tăietoare este superior cu o unitate față de gradul funcției încărcării distribuite pe aceeași zonă a elementului iar gradul funcției moment este mai mare cu o unitate față de gradul funcției forță tăietoare (vezi tab.1);
  - în secțiunile elementului unde forță tăietoare este nulă, momentul încovoietor are o valoare extremă, tangentă la această diagramă fiind paralelă la axa și în secțiunea unde forță tăietoare trece prin zero discontinuu, diagrama de moment încovoietor își schimbă alura monotonă;
  - în secțiunea elementului unde diagrama de forță tăietoare are un salt, diagrama de moment încovoietor are un punct de schimbare a pantei;
  - dacă pe toată lungimea elementului sau pe o porțiune a acestuia diagrama de forță tăietoare este antisimetrică, pe aceeași zonă diagrama de moment încovoietor este simetrică și invers;
  - concavitatea diagramei curbilinii de moment încovoietor este îndreptată în sensul intensității încărcării.
- the intensity of the load is interpreted as the tangent of the angle formed by the x axis of the member and the tangent to the shear force diagram;
  - if the forces which describe the variation of the distributed load are algebraic functions on each region of the member, the shear force function is one order higher than the distributed load function over the same zone of the member and the bending moment function is one order higher than the shear force diagram, (see Table.1);
  - at the sections of the member where the shear force is zero, the bending moment has an extreme value, the tangent to this diagram being parallel to the axis; at the section where the shear force passes discontinuously through zero, the bending moment diagram changes its monotonous shape;
  - at the section of the member where the shear force diagram has a sudden change in value, the bending moment diagram has a point with a change in the slope;
  - if the shear force diagram is antisymmetric over the entire length of the member or over a region of the member, the bending moment diagram is symmetric over the same zone and vice-versa;
  - the concavity of the bending moment diagram is in the sense of the intensity of the load.

**Etapele de calcul al structurilor static determinate sunt următoarele:**

- i. **analiza statică a structurii;**
- ii. **descompunerea în structuri simple** (în cazul unei structuri compuse) și realizarea schemei statice a structurii sau a modelului de calcul;

**The steps for the analysis of a statically determinate structure are:**

- i. **static analysis of the structure;**
- ii. **division in simple structures** (in the case of a compound structure) and identification of the structural scheme or model;

- iii. **calculul reacțiunilor sau al forțelor de legătură** - se utilizează de obicei ecuațiile de echilibru static;
- iv. **calculul eforturilor;**
- v. **reprezentarea diagramelor de eforturi;**
- vi. **verificarea diagramelor** - îndeplinirea relațiilor diferențiale și a consecințelor acestora (tabelul 1), compatibilitatea între diagramele de eforturi și legăturile interioare și exterioare ale structurii, echilibrul nodurilor, echilibrul prin lucru mecanic virtual.
- iii. **calculation of reactions or reactive forces** - static equilibrium equations are usually used;
- iv. **calculation of the internal loadings**
- v. **drawing of the internal forces' diagrams;**
- vi. **verifications of diagrams** - satisfaction of the differential relationships and their consequences (Table 1), the compatibility between the internal forces' diagrams and internal and external connections of the structure, joint equilibrium, virtual work equilibrium.

**Tabel / Table 1**

<b>INCARCARE / LOAD</b>	<b>p(x)</b>	<b>Q(x)</b>	<b>M(x)</b>
	0	<b>constant / constant</b>	$f(x)$
	<b>constant / constant</b>	$f(x)$	$f(x^2)$
	$f(x)$	$f(x^2)$	$f(x^3)$
	$f(x^2)$	$f(x^3)$	$f(x^4)$

In fig. 1.43 ... 1.51 sunt prezentate diagramele de eforturi pentru câteva tipuri de grinzi cu diverse încărcări.

Figures 1.43 ... 1.51 show the internal forces' diagrams for certain types of beams subjected to different loads.

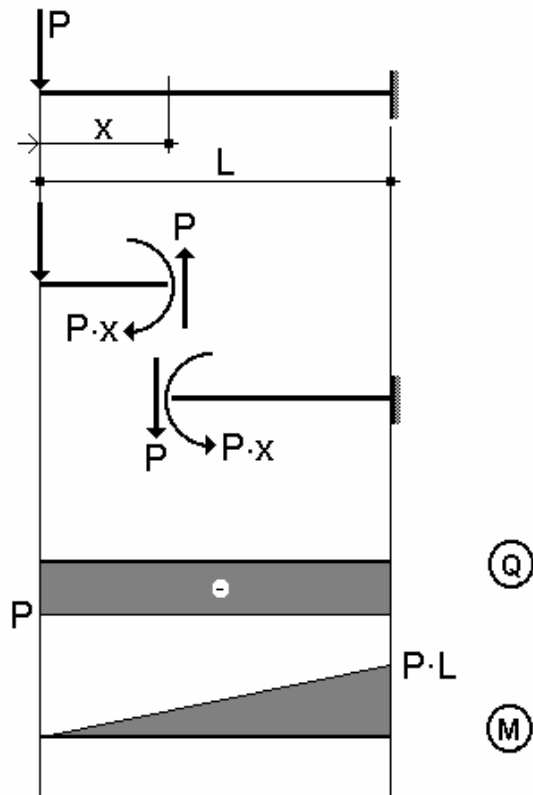


Fig.1.43

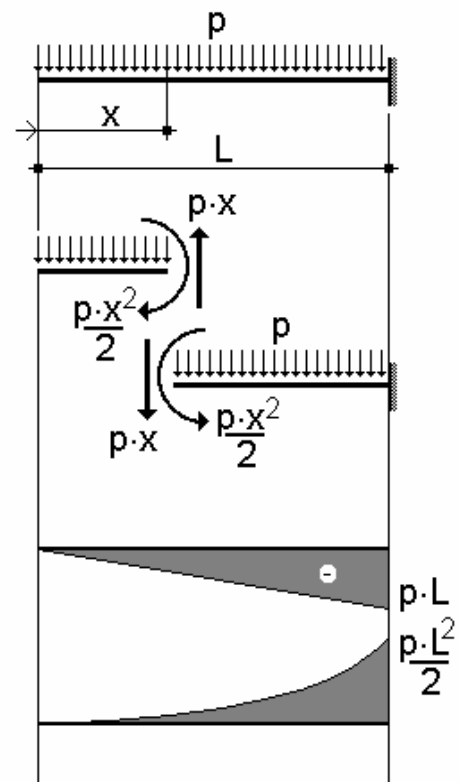


Fig.1.44

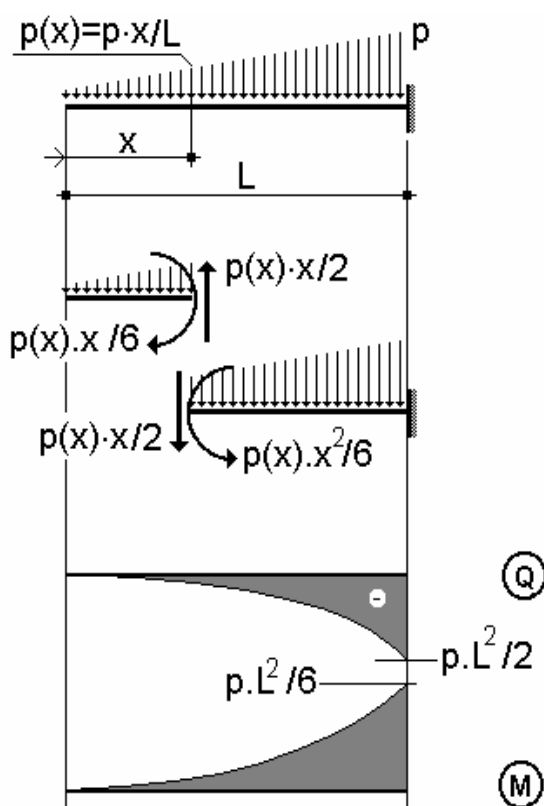


Fig.1.45

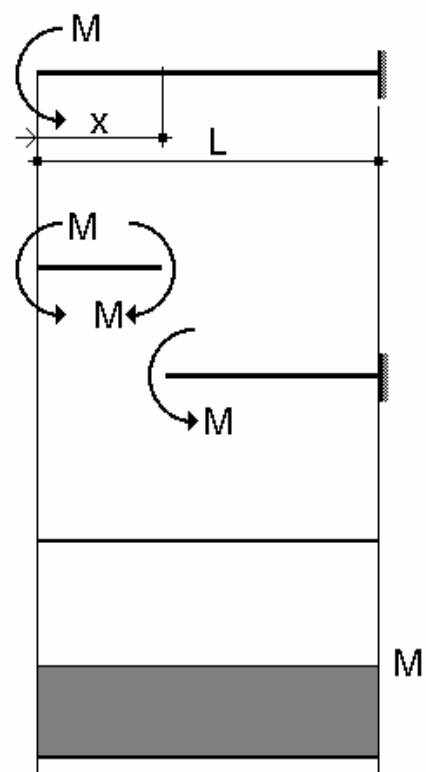


Fig.1.46

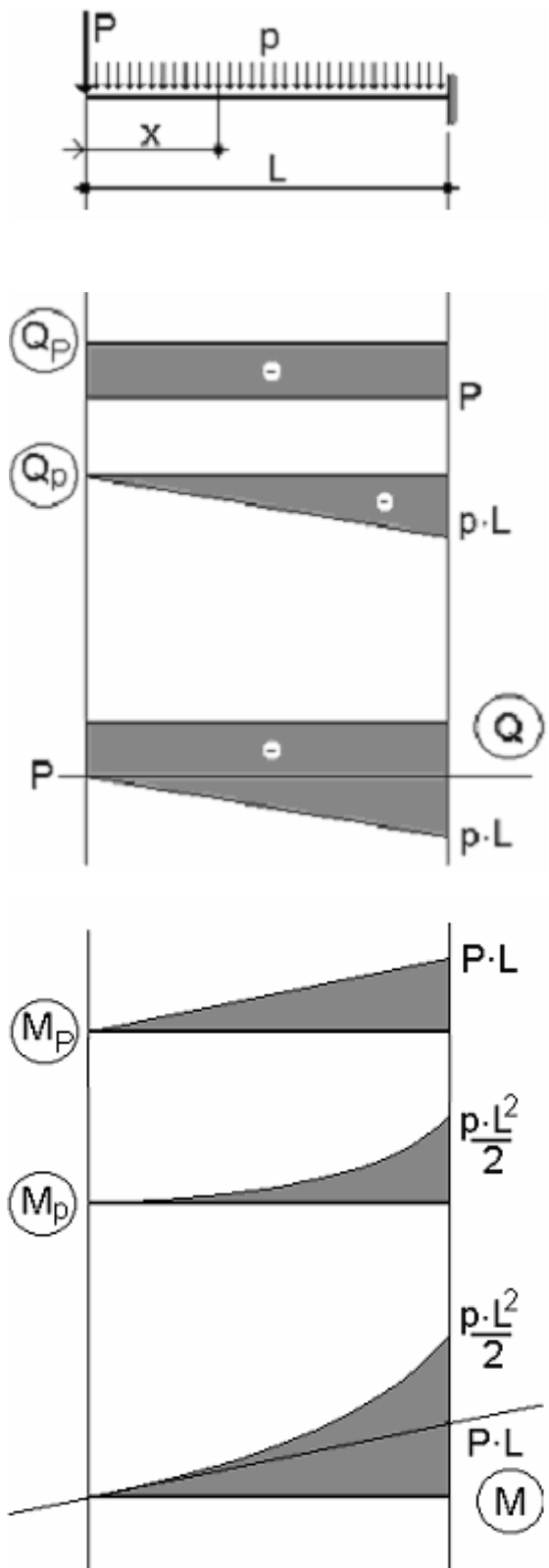


Fig.1.47

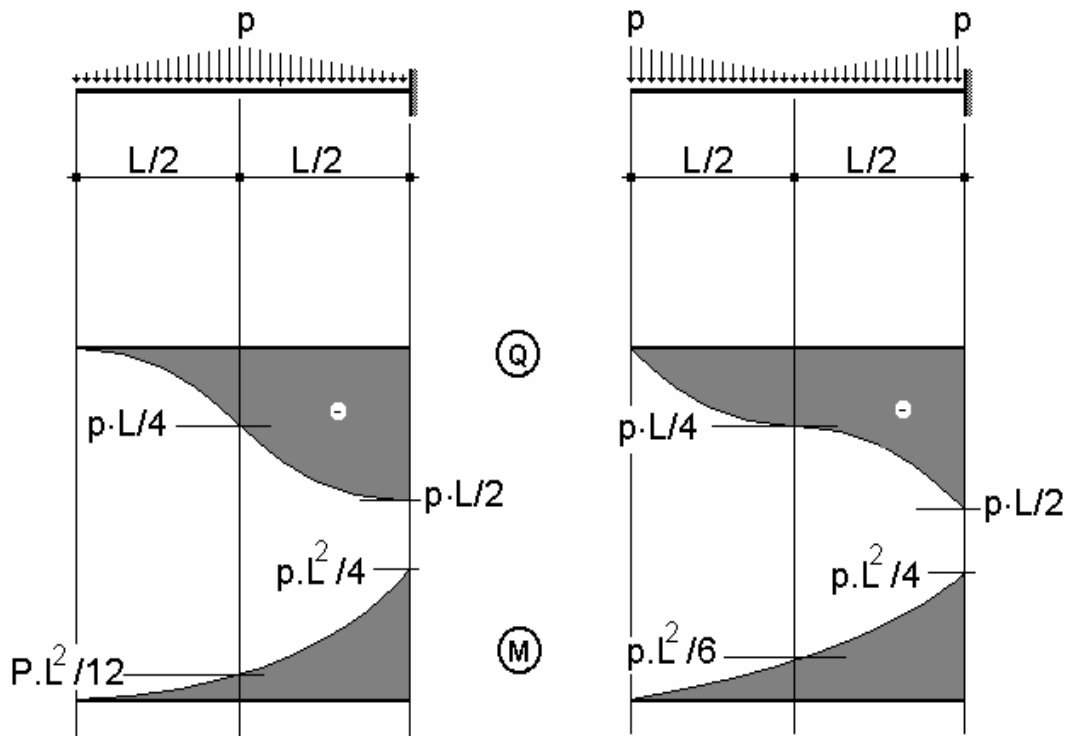


Fig.1.48

Fig.1.49

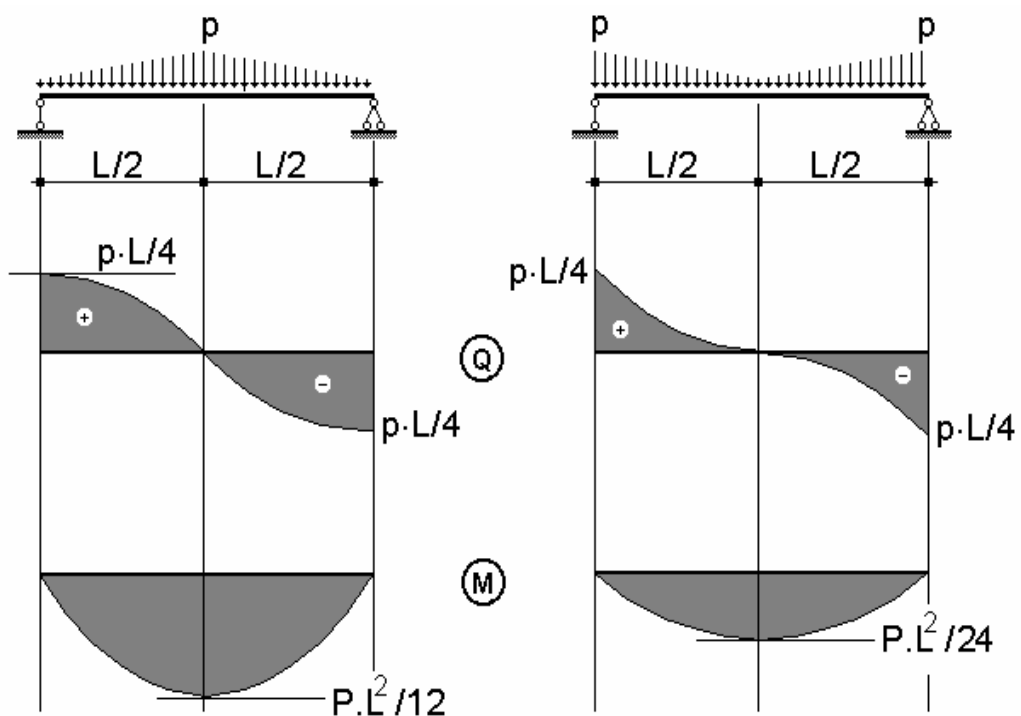


Fig.1.50

Fig.1.51

## 1.7 SCURT ISTORIC

Stadiul actual al cunoștințelor în domeniul Mecanicii construcțiilor reprezintă rezultatul activității de mai multe secole a numeroși ingineri, cercetători și alți specialiști. Aceasta se datorează dezvoltării Matematicii aplicate la problemele de calcul al elementelor și structurilor de rezistență, ca și experienței acumulate în proiectarea și tehnologiile de execuție a lucrărilor pentru diverse tipuri de construcții.

Incepând cu primele reguli elaborate de Léonardo da Vinci (1452-1519) privind rezistența grinziilor, remarcabile contribuții au fost aduse succesiv de: Galileo Galilei, Robert Hooke, J. Bernoulli, M.V. Lomonosov, L. Euler, C.A. Coulomb, J.L. Lagrange, L. Navier, P.E. Clapeyron, E. Betti, J.C. Maxwell, O. Mohr, A. Castigliano, L. Cremona etc.

In calculul propriu-zis al structurilor au adus contribuții importante: S. Timoshenko, H. Müller-Breslau, A. Vierendeel, H. Cross, I.P. Prokofiev, A.F. Smirnov și apoi L. Grinter, O.H. Pilkey, Von Haller, R. Kranl, G. Kani, P.Csonka, V. Dasek, F. Stüssi, A.V. Darkov, J. Courbon, P. Charon etc., ca și J.F. Baker, B.G. Neal, M.R. Horne, J. Heyman, J.D. Foulkes, L.S. Beedle, P.G. Hodge, Ch. Massonnet etc., ultimii în domeniul calculului postelastic al structurilor.

In țara noastră, dezvoltarea teoriei și practicii construcțiilor este legată de activitatea științifică și didactică a numeroși specialiști, dintre care majoritatea au fost și profesori: **A. Saligny** (1854-1925), **Elie Radu** (1853-1931), **A.G. Ioachimescu** (1868-1943), **Ion Ionescu** (1870-1946), **Gh.E. Filipescu** (1882-1947) iar în ultimile decenii **A.A. Beles**, **C.C. Teodorescu**, **M. Hangan**, **St. Balan**, **A. Sesan**, **C. Avram**, **P. Mazilu**, **Al. Gheorghiu**, **D. Mateescu**, **Al. Negoita**, etc.

## 1.7 HISTORICAL REVIEW

The actual level of knowledge in the Structural Mechanics field is the result of the work carried out for centuries by numerous engineers, researchers and other scientists. This is due to developments in the Applied Mathematics and their use in the analysis of members and structures and due to experience acquired in the design and construction technology of works for different types of constructions.

Starting from the first rules developed by Léonardo da Vinci (1452-1519) regarding the strength of beams, remarkable contributions were successively made by: Galileo Galilei, Robert Hooke, J. Bernoulli, M.V. Lomonosov, L. Euler, C.A. Coulomb, J.L. Lagrange, L. Navier, P.E. Clapeyron, E. Betti, J.C. Maxwell, O. Mohr, A. Castigliano, L. Cremona etc.

In the analysis of structures, important contributions were brought by: S. Timoshenko, H. Müller-Breslau, A. Vierendeel, H. Cross, I.P. Prokofiev, A.F. Smirnov et puis L. Grinter, O.H. Pilkey, Von Haller, R. Kranl, G. Kani, P.Csonka, V. Dasek, F. Stüssi, A.V. Darkov, J. Courbon, P. Charon etc., ainsi que J. F. Baker, B.G. Neal, M.R. Horne, J. Heyman, J.D. Foulkes, L.S. Beedle, P.G. Hodge, Ch. Massonnet etc., the last ones in the postelastic analysis of structures.

In our country, the development of the theory and practice in construction is linked to the scientific and teaching activity of numerous engineers, the majority of them being also professors: **A. Saligny** (1854-1925), **Elie Radu** (1853-1931), **A.G. Ioachimescu** (1868-1943), **Ion Ionescu** (1870-1946), **Gh.E. Filipescu** (1882-1947), and in the last decades **A.A. Beles**, **C.C. Teodorescu**, **M. Hangan**, **St. Balan**, **A. Sesan**, **C. Avram**, **P. Mazilu**, **Al. Gheorghiu**, **D. Mateescu**, **Al. Negoita**, etc.

Astăzi, în centrele universitare Bucureşti, Iaşi, Cluj şi Timişoara, există puternice şcoli superioare cu o tradiţie prestigioasă în domeniul calculului şi execuţiei construcţiilor, care pregătesc specialişti pentru toate activităţile din acest sector important al societăţii actuale şi viitoare.

Nowadays, at Bucharest, Iasi, Cluj and Timisoara university centres, there are strong schools with a well-known tradition in the analysis of structures and execution in constructions. They are training specialists for all the activities in this important sector of the present and future society.

# 2

## EFORTURI STRUCTURI STATIC DETERMINATE INCARCARI FIXE

### INTERNAL FORCES DETERMINATE STRUCTURES FIXED LOADS

Geometria unei structuri compuse din bare poate fi exprimată astfel:

- explicit / explicitly:

$$\begin{aligned}y &= F(x) \\r &= F(\omega)\end{aligned}\tag{2.1}$$

- implicit / implicitly:

$$\begin{aligned}F(x,y) &= 0 \\F(r,w) &= 0\end{aligned}\tag{2.2}$$

- parametric / parametrically:

$$\begin{aligned}x &= x(C) ; y = y(C) \\r &= r(C) ; \omega = \omega(C)\end{aligned}\tag{2.3}$$

unde (fig.2.1):

**x** și **y** sunt coordonatele într-un sistem de axe XOY, atașat ansamblului;

**r** și **ω** sunt raza și respectiv unghiul în cazul coordonatelor polare;

**C** este un parametru.

In fig.2.2 este indicată reprezentarea explicită și implicită a unui arc parabolic.

The geometry of a structure composed of bars can be expressed as follows :

where (fig.2.1):

**x** and **y** are the coordinates in a coordinate system XOY, attached to the structure;

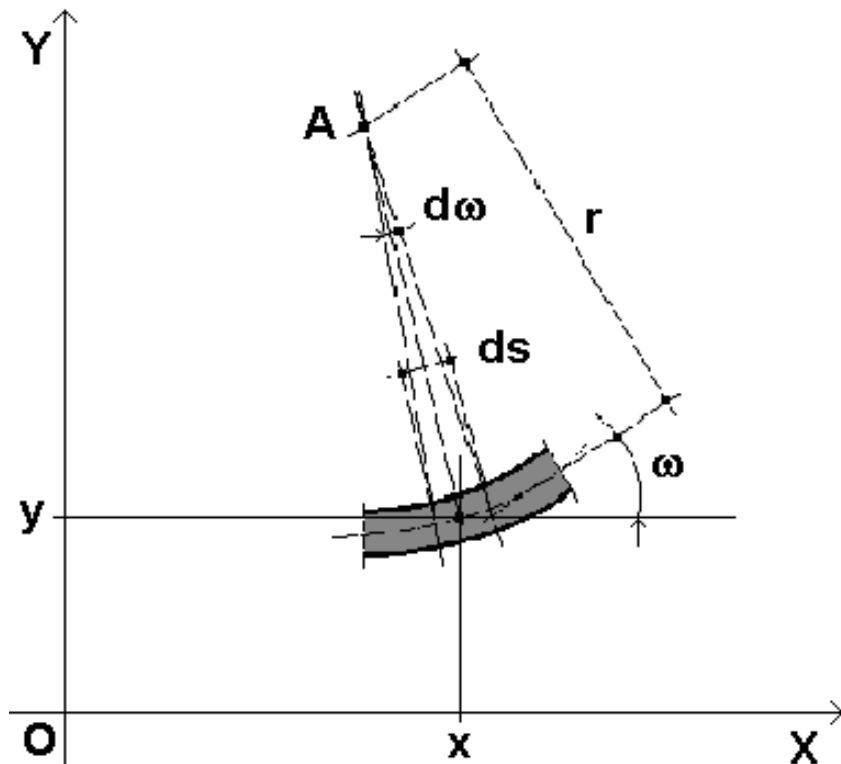
**r** and **ω** are the radius and the angle in polar coordinates, respectively;

**C** is a parameter.

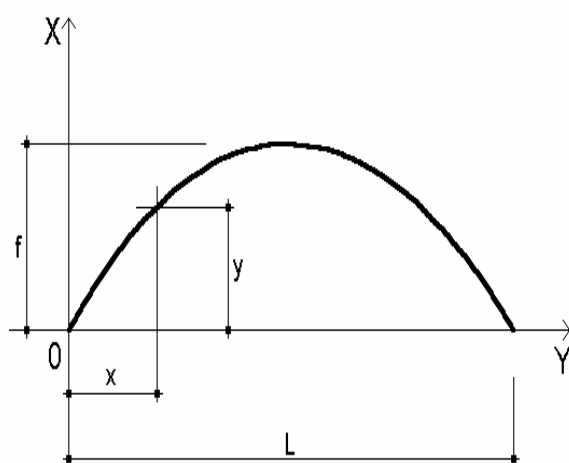
Figure 2.2 shows the explicit and implicit representation of a parabolic arch.

In fig.2.3 este indicată reprezentarea explicită a unui arc de cerc în coordonate polare.

Figure 2.3 shows the explicit representation of an arc of a circle in polar coordinates.



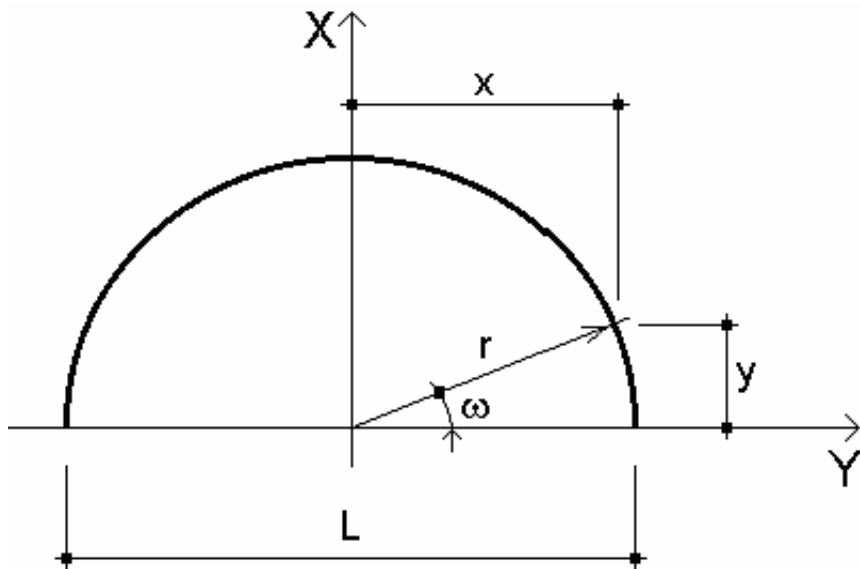
**Fig.2.1**  
Reprezentarea geometrică a unei bare. Geometrical representation of a bar.



**Fig.2.2**  
Reprezentarea explicită și implicită a unui arc parabolic.

$$\begin{aligned} &\text{explicit / explicite:} \\ &y = \frac{4 \cdot f}{L^2} \cdot x(L - x) \\ &\text{implicit / implicite:} \\ &\frac{4 \cdot f}{L} \cdot x - \frac{4 \cdot f}{L^2} \cdot x^2 - y = 0 \end{aligned}$$

Explicit and implicit representation of a parabolic arch.



**explicit / explicite:**  
 $x = r \cdot \cos \omega$   
 $y = r \cdot \sin \omega$   
 $r = \sqrt{x^2 + y^2}$   
 $\omega = \text{atg}(y/x)$

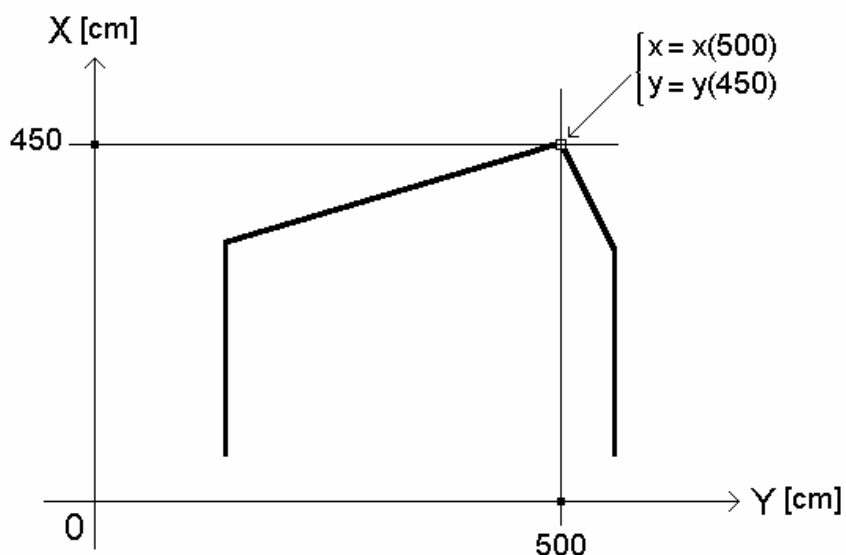
**Fig.2.3**

**Reprezentarea explicită a unui arc de cerc în coordonate polare.**

**Explicit representation of an arc of a circle in polar coordinates.**

Reprezentarea parametrică a unui cadru este realizată în fig.2.4. Această modalitate de reprezentare este frecvent utilizată în calculul structurilor.

Figure 2.4 shows the parametric representation of a frame. This representation is frequently used in the structural analysis.



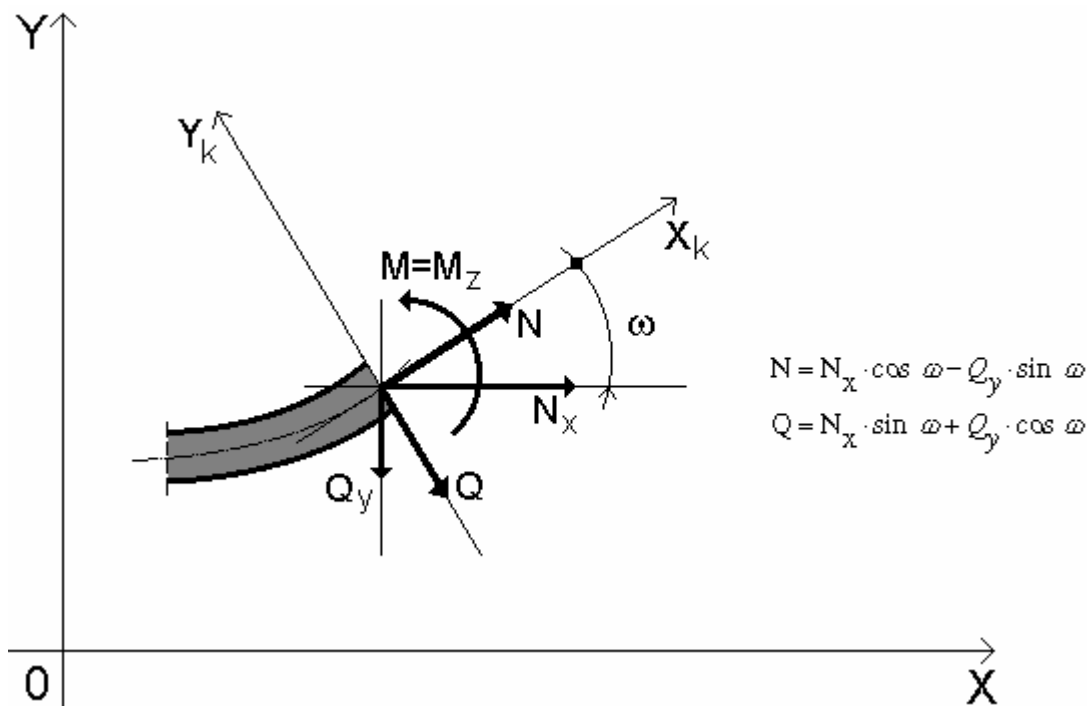
**Fig.2.4**

**Reprezentarea parametrică a unui cadru.**

**Parametric representation of a frame.**

Se consideră un sistem de axe **XOY** atașat unei structuri. În fiecare punct **k** al unei bare oarecare se poate atașa un sistem de axe **xoy**, unde axele sunt dirijate pe direcția tangentei și normalei la tangentă în punctul respectiv, fig.2.5. Vom nota cu  $\omega$  unghiul între axa **OX** și **ox**.

Consider a coordinate system **XOY** attached to a structure. A coordinate system **xoy** can be attached to each point **k** of a bar, where the axes of this system are orientated in the direction of the tangent and the perpendicular to the tangent to that point, fig.2.5. The angle between the axis **OX** and **ox** is denoted by  $\omega$ .



**Sistemul de axe xoy atașat într-un punct k a unei bare.**

Vom nota de asemenea:

**Coordinate system xoy attached to a point k of a bar.**

The following notations are also made:

$$\{e\}_k = \{N, Q, M\}_k \quad (2.4)$$

vectorul eforturilor în secțiunea **k**, în sistemul de axe **xoy** și:

the vector of the internal forces at the section **k** in the coordinate system **xoy** and:

$$\{E\}_k = \{N_x, Q_y, M_z\}_k \quad (2.5)$$

vectorul componentelor eforturilor, raportate la sistemul de axe **XOY** în aceeași secțiune.

the vector of the components of the internal forces, with regard to the coordinate system **XOY** at the same section.

Intre acești doi vectori există relațiile următoare:

$$\begin{Bmatrix} \mathbf{N}_x \\ \mathbf{Q}_y \\ \mathbf{M}_z \end{Bmatrix} = [\mathbf{t}]_{ko} \cdot \begin{Bmatrix} \mathbf{N} \\ \mathbf{Q} \\ \mathbf{M} \end{Bmatrix} \quad (2.6)$$

$$\begin{Bmatrix} \mathbf{N} \\ \mathbf{Q} \\ \mathbf{M} \end{Bmatrix} = [\mathbf{t}]_{ok} \cdot \begin{Bmatrix} \mathbf{N}_x \\ \mathbf{Q}_y \\ \mathbf{M}_z \end{Bmatrix} \quad (2.7)$$

unde:

where:

$$[\mathbf{t}]_{ko} = \begin{bmatrix} \cos \omega & \sin \omega & 0 \\ -\sin \omega & \cos \omega & 0 \\ 0 & 0 & 1 \end{bmatrix} \quad (2.8)$$

se numește **matricea de transformare unghiulară** a eforturilor din sistemul local de axe **xoy** în sistemul general **XOY** și:

is called the **angular transformation matrix** of the internal forces in the local coordinate system **xoy** into the global coordinate system **XOY** and:

$$[\mathbf{t}]_{ok} = \begin{bmatrix} \cos w & -\sin w & 0 \\ \sin w & \cos w & 0 \\ 0 & 0 & 1 \end{bmatrix} \quad (2.9)$$

reprezintă **matricea de transformare unghiulară** a eforturilor din sistemul general **XOY** în sistemul local **xoy**. Intre matricile (2.8) și (2.9) există relația:

represents the **angular transformation matrix** of the internal forces in the global coordinate system **XOY** into the local one **xoy**. Between the matrices (2.8) and (2.9) exists the relationship:

$$\begin{aligned} \{\mathbf{t}\}_{ko} &= \{\mathbf{t}\}_{ok}^T \\ \{\mathbf{t}\}_{ok} &= \{\mathbf{t}\}_{ko}^T \end{aligned} \quad (2.10)$$

Una este transpusa celeilalte.

One is the transpose of the other.

Cu ajutorul matricei de transformare putem determina eforturile în toate secțiunile unei structuri, dacă cunoaștem componentele eforturilor în secțiunile respective, raportate la sistemul general de axe **XOY**.

By using the transformation matrix, the internal forces at all the sections of a structure can be calculated, provided that the components of the internal forces at those sections, with respect to the global coordinate system **XOY**, are known.

## 2.1 GRINZI INCLINATE

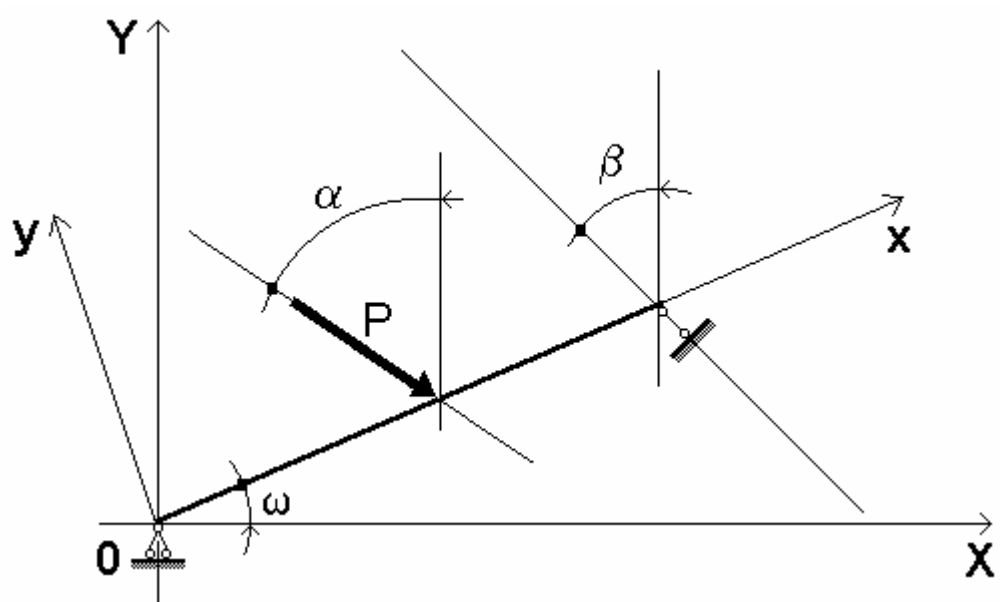
Există situații unde grinziile nu au axa orizontală dar inclinată sub un unghi oarecare  $\omega$ . Alte componente, reazemele și încărcările pot avea de asemenea orientări diferite în plan.

In fig.2.6 sunt prezentate orientările posibile ale unei grinzi, reazemele și încărcările.

## 2.1 INCLINED BEAMS

There are situations when the beams don't have a horizontal axis but an inclined one at a certain angle  $\omega$ . Other components, supports and loads can also have different orientations in plane.

Figure 2.6 shows the likely orientations of a beam, the supports and the loads.



**Grindă înclinată.**

**Fig.2.6**

**Inclined beam.**

Determinarea reacțiunilor și reprezentarea diagramelor de eforturi nu prezintă diferențe importante în raport cu cele ale grinziilor orizontale.

**Etapele de calcul pentru o grindă înclinată sunt următoarele:**

- se înlocuiesc reazemele prin forțele de legătură corespunzătoare;
- se scriu ecuațiile de echilibru pentru a calcula reacțiunile;

The calculation of the reactions at supports and the representation of internal forces' diagrams are not too different from those obtained for the horizontal beams.

**The steps in the analysis of an inclined beam are the following:**

- the supports are replaced by the corresponding reactions;
- the equations of equilibrium are written in order to calculate the reactions;

- se verifică forțele de legătură prin alte ecuații de echilibru, de obicei ecuațiile de proiecție pe direcțiile axelor **OX** și **OY**;
- pentru grinziile încărcate cu forțele exterioare și forțele de legătură, vom scrie expresiile eforturilor și vom reprezenta diagramele de eforturi;
- vom verifica diagramele de eforturi utilizând relațiile diferențiale.

In exemplele următoare vom ilustra etapele de calcul pentru determinarea reacțiunilor, calculul și reprezentarea diagramelor de eforturi.

- the reactions are checked through other equations of equilibrium, usually by writing equations of force equilibrium in the **OX** and **OY** direction;
- for the beams subjected to external forces and reactions, the expressions of the internal forces are written and the internal forces' diagrams are drawn;
- the internal forces' diagrams are checked by using the differential relationships.

The steps for the calculation of reactions, calculation and drawing of internal forces' diagrams are presented in the following examples.

### Exemplu / Example 2.1

Să se determine starea de eforturi pentru grinda inclinată din fig.2.7, solicitată de o încărcare uniformă distribuită, normală pe axa barei.

Determine the internal forces in the inclined beam shown in fig.2.7, subjected to a uniformly distributed load, perpendicular to the axis of the beam.

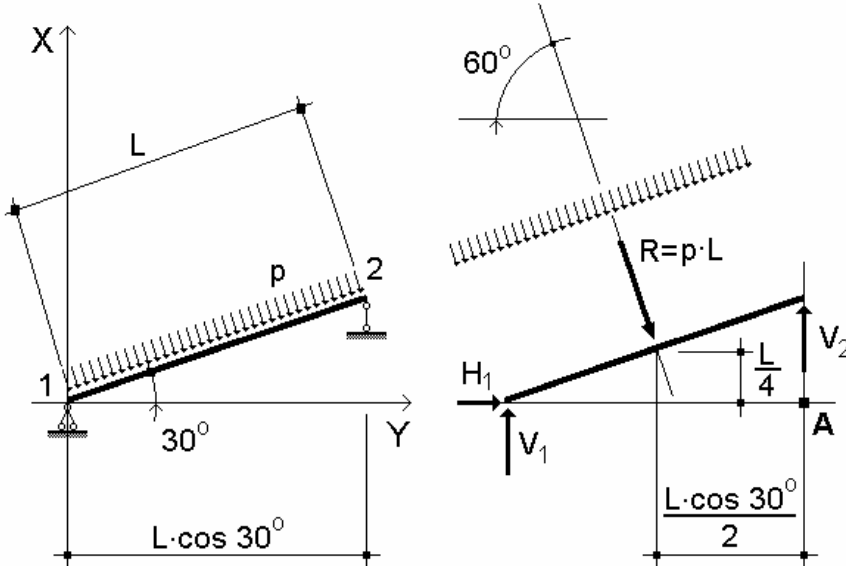


Fig.2.7

**Grindă înclinată rezemată vertical și încărcată normal pe axa barei.**  
a. calculul rezultantelor încărcării:

**Inclined beam, vertically supported and loaded perpendicular to the axis of the beam.**  
a. calculation of the resultant forces of the load:

$$R = p \cdot L$$

$$R_x = R \cdot \cos 60^\circ = 0.50000 p \cdot L$$

$$R_y = R \cdot \cos 30^\circ = 0.86603 p \cdot L$$

**b.** calculul reacțiunilor:

$$\begin{aligned}\sum M_1 = 0 : \quad & -R \cdot L/2 + V_2 \cdot L \cdot \cos 30^\circ = 0 \\ & V_2 = 0.57735 p \cdot L\end{aligned}$$

$$\begin{aligned}\sum M_A = 0 : \quad & -V_1 \cdot L \cdot \cos 30^\circ - R_x \cdot L/4 + R_y \cdot L \cdot \cos 30^\circ = 0 \\ & V_1 = 0.28868 p \cdot L\end{aligned}$$

$$\begin{aligned}\sum F_x = 0 : \quad & H_1 + R_x = 0 \\ & H_1 = -0.50000 p \cdot L\end{aligned}$$

**c.** verificarea reacțiunilor:

$$\sum F_y = 0.57735 p \cdot L + 0.28868 p \cdot L - R_y = 0 \quad (!)$$

**d.** calculul eforturilor (se va ține seama de sensul real al reacțiunilor, fig.2.8):

**d.** calculation of the internal forces (the actual direction of the reactions will be taken into account, fig.2.8):

$$N_{12} = -0.28868 \cdot p \cdot L \cdot \cos 60^\circ + 0.50000 \cdot p \cdot L \cdot \cos 30^\circ = 0.28867 p \cdot L$$

$$N_{21} = 0.28868 \cdot p \cdot L \cdot \cos 60^\circ = 0.28867 p \cdot L$$

$$Q_{12} = 0.28868 \cdot p \cdot L \cdot \cos 30^\circ + 0.50000 \cdot p \cdot L \cdot \cos 60^\circ = 0.50000 p \cdot L$$

$$Q_{21} = -0.57735 \cdot p \cdot L \cdot \cos 30^\circ = -0.50000 p \cdot L$$

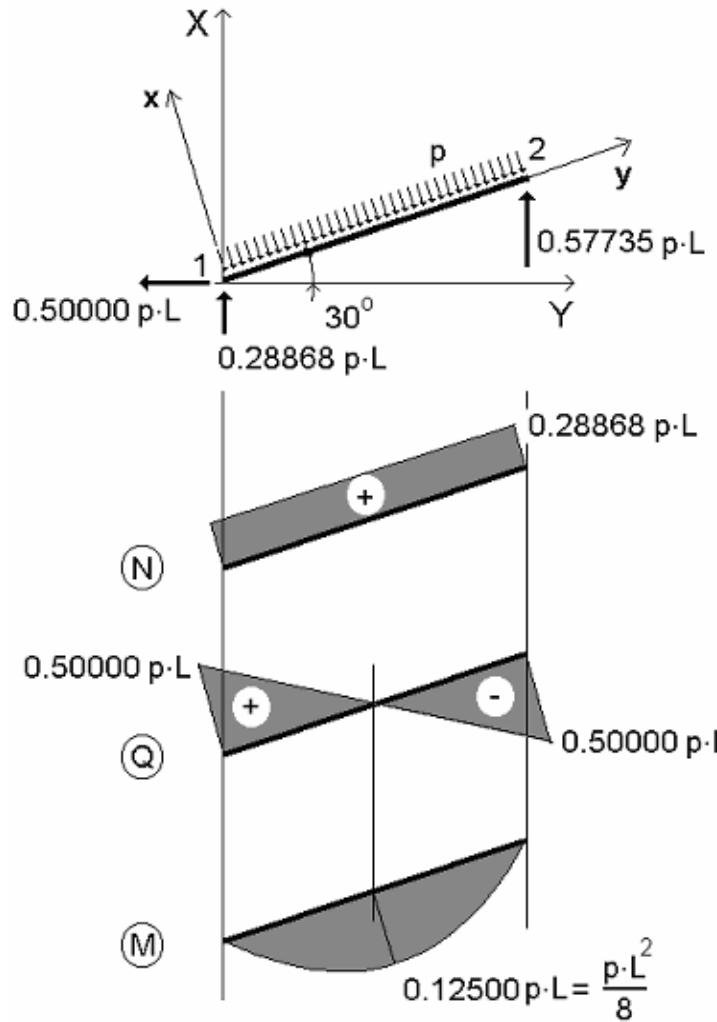
$$M_{12} = 0$$

$$M_{21} = 0$$

**e.** momentul încovoiector maxim:

**e.** maximum bending moment:

$$M_{max} = M(L/2) = 0.57735 \cdot p \cdot L \cdot L \cdot \cos 30^\circ / 2 - p \cdot L/2 \cdot L/4 = p \cdot L^2 / 8$$



**Fig.2.8**

**Diagramele de eforturi ale structurii din fig.2.7.**

**Internal forces' diagrams of the structure in fig.2.7.**

Utilizând matricele de transformare, vom determina eforturile la extremitățile grinzelor după cum urmează:

f. matricea de transformare pentru  $\omega=30^\circ$ :

$$[t]_{01} = \begin{bmatrix} 0.86603 & -0.50000 & 0 \\ 0.50000 & 0.86603 & 0 \\ 0 & 0 & 1 \end{bmatrix}$$

și:

By using the transformation matrices, the internal forces at the ends of the beam are calculated as follows:

f. transformation matrix for  $\omega=30^\circ$ :

and:

$$[t]_{02} = [t]_{01}$$

**g.** vectorii eforturilor în raport cu sistemul XOY:

$$\{E\}_1 = \begin{Bmatrix} 0.50000 p \cdot L \\ 0.28868 p \cdot L \\ 0 \end{Bmatrix}$$

**g.** vectors of the internal forces with respect to coordinate system XOY:

$$\{E\}_2 = \begin{Bmatrix} 0 \\ -0.57735 p \cdot L \\ 0 \end{Bmatrix}$$

**h.** vectorii eforturilor la extremitățile grinzelii:

$$\{e\}_1 = [t]_{01} \cdot \{E\}_1 = \begin{Bmatrix} 0.28868 p \cdot L \\ 0.50000 p \cdot L \\ 0 \end{Bmatrix}$$

**h.** vectors of the internal forces at the ends of the beam:

$$\{e\}_2 = [t]_{02} \cdot \{E\}_2 = \begin{Bmatrix} 0.28868 p \cdot L \\ -0.50000 p \cdot L \\ 0 \end{Bmatrix}$$

### E 2.1 ↗

#### Exemplu / Example 2.2

Să se determine starea de eforturi pentru grinda înclinață din fig.2.9, având un reazem simplu normal pe axa barei și solicitată de o încarcare uniform distribuită, perpendiculară pe axa acesteia.

**a.** calculul rezultantei încărcărilor este același ca cel din exemplul 2.1 ;

**b.** calculul reacțiunilor:

$$\sum M_1 = 0 : \quad -R \cdot L/2 + R_2 \cdot L = 0 \\ R_2 = 0.50000 p \cdot L$$

$$\sum M_A = 0 : \quad -V_1 \cdot L / \cos 30^\circ - R \cdot L/2 = 0 \\ V_1 = 0.43301 p \cdot L$$

$$\sum F_x = 0 : \quad H_1 + R \cdot \cos 60^\circ - R_2 \cdot \cos 60^\circ = 0 \\ H_1 = -0.25000 p \cdot L$$

**c.** verificarea reacțiunilor:

$$\sum F_y = 0.43301 p \cdot L + 0.50000 p \cdot L \cdot \cos 30^\circ - R_y = 0 \quad (!)$$

**d.** momentul încovoiector maxim:

Determine the internal forces in the inclined beam shown in fig.2.9, having a roller support normal to the axis of the beam and subjected to a uniformly distributed load perpendicular to its axis.

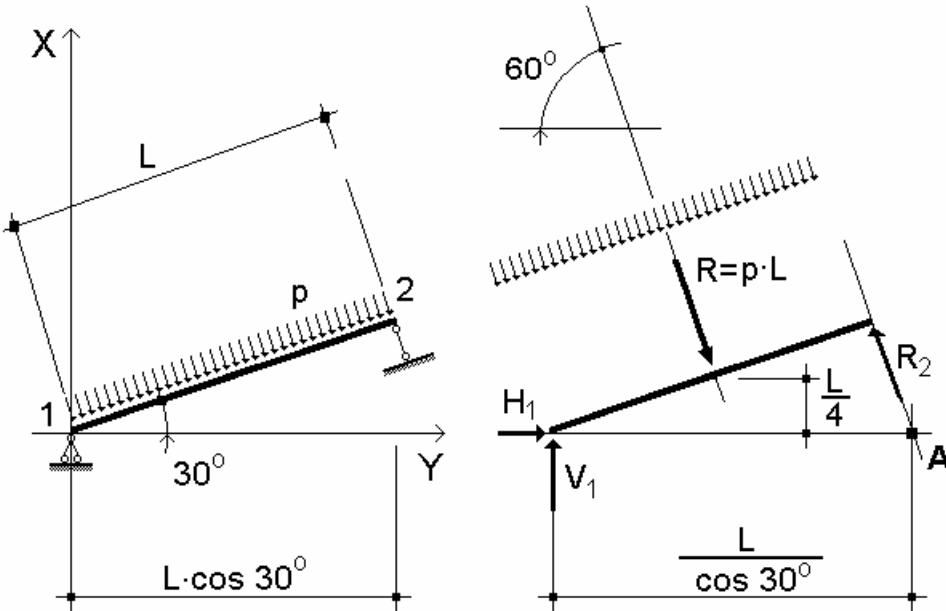
**a.** calculation of the resultant forces of the load is the same as in the example 2.1 ;

**b.** calculation of the reactions:

**c.** verification of the reactions:

**d.** maximum bending moment:

$$M_{\max} = M(L/2) = 0.50000 \cdot p \cdot L \cdot L/2 - p \cdot L/2 \cdot L/4 = p \cdot L^2 / 8$$



**Fig.2.9**

**Grindă înclinată având un reazem simplu normal pe axa barei.**

Utilizând matricele de transformare, vom determina eforturile la extremitățile grinzelii după cum urmează:

e. vectorii eforturilor în raport cu sistemul  $XOY$ :

$$\{E\}_1 = \begin{Bmatrix} 0.25000 p \cdot L \\ 0.43301 p \cdot L \\ 0 \end{Bmatrix}$$

f. matricele de transformare sunt aceleași ca la exemplul 2.1;

g. vectorii eforturilor la extremitățile grinzelii:

$$\{e\}_1 = [t]_{01} \cdot \{E\}_1 = \begin{Bmatrix} 0 \\ 0.50000 p \cdot L \\ 0 \end{Bmatrix}$$

By using the transformation matrices, the internal forces at the ends of the beam will be calculated as follows:

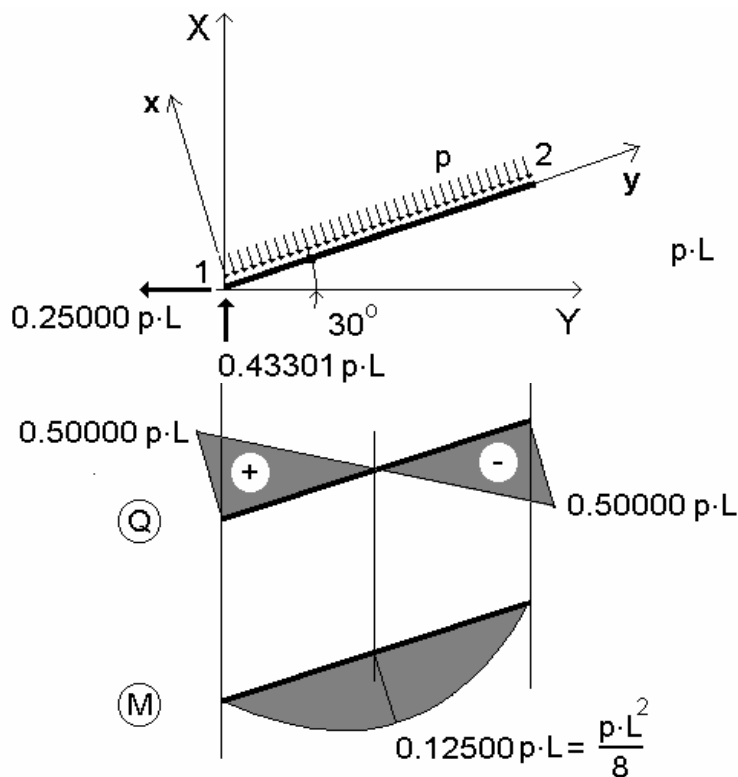
e. vectors of the internal forces with respect to the coordinate system  $XOY$ :

$$\{E\}_2 = \begin{Bmatrix} -0.25000 p \cdot L \\ -0.43301 p \cdot L \\ 0 \end{Bmatrix}$$

f. transformation matrices are the same as in the example 2.1;

g. vectors of the internal forces at the ends of the beam:

$$\{e\}_2 = [t]_{02} \cdot \{E\}_2 = \begin{Bmatrix} 0 \\ -0.50000 p \cdot L \\ 0 \end{Bmatrix}$$



**Fig.2.10**

**Diagramele de eforturi ale structurii din fig.2.9.**

**Internal forces' diagrams of the structure in fig.2.9.**

**Observație:** comparând diagramele de eforturi obținute în cele două cazuri (exemplile 2.1 și 2.2), rezultă că eforturile  $N$  din exemplu 2.2 sunt nule și că eforturile  $Q$  și  $M$  sunt identice.

**Note:** by comparing the internal forces' diagrams obtained in the last two cases (examples 2.1 and 2.2), it is noticed that the axial force  $N$  in the example 2.2. is zero and the internal forces  $Q$  and  $M$  are identical.

### E 2.2 ↗

#### Exemplu / Example 2.3

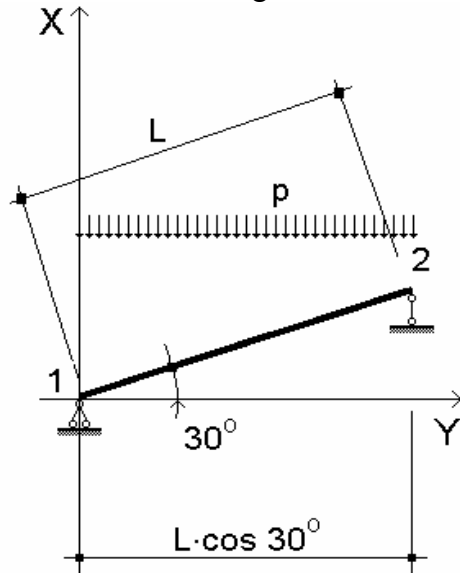
Să se determine starea de eforturi pentru grinda înclinață din fig.2.11, rezemată vertical și solicitată de o sarcină uniform distribuită vertical.

a. calculul reacțiunilor:

Determine the internal forces for the inclined beam shown in fig.2.11, vertically supported and subjected to a vertical uniformly distributed load.

a. calculation of the reactions:

Intrucât rezemul 2 este vertical și încărcarea este de asemenea verticală, reacțiunile orizontale vor fi nule și cele două reacții verticale vor fi egale.



**Grindă înclinață rezemată vertical și solicitată de o încărcare uniformă distribuită vertical.**

$$H_1 = 0$$

$$V_1 = V_2 = p \cdot L / 2 \cdot \cos 30^\circ = 0.43301 p \cdot L$$

**b.** vectorii eforturilor in raport cu sistemul XOY:

$$\{E\}_1 = \begin{Bmatrix} 0 \\ 0.43301 p \cdot L \\ 0 \end{Bmatrix}$$

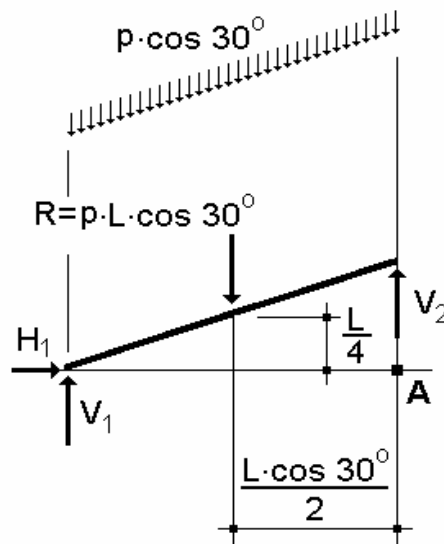
**c.** matricele de transformare sunt aceleași ca în exemplele 2.1 și 2.2;

**d.** vectorii eforturilor la extremitățile grinzi:

$$\{e\}_1 = [t]_{01} \cdot \{E\}_1 = \begin{Bmatrix} -0.21650 p \cdot L \\ 0.37499 p \cdot L \\ 0 \end{Bmatrix}$$

**e.** momentul încovoiator maxim:

Because the support 2 is vertical and the load is also vertical, the horizontal reactions are zero and the two vertical reactions are equal.



**Fig.2.11**

**Inclined beam, vertically supported and subjected to a vertical uniformly distributed load.**

**b.** vectors of the internal forces with respect to coordinate system XOY:

$$\{E\}_2 = \begin{Bmatrix} 0 \\ -0.43301 p \cdot L \\ 0 \end{Bmatrix}$$

**c.** transformation matrices are the same as in the examples 2.1 and 2.2;

**d.** vectors of the internal forces at the ends of the beam:

$$\{e\}_2 = [t]_{02} \cdot \{E\}_2 = \begin{Bmatrix} 0.21650 p \cdot L \\ -0.37499 p \cdot L \\ 0 \end{Bmatrix}$$

**e.** maximum bending moment:

$$M_{\max} = M(L/2) = 0.43301 p \cdot L \cdot L \cdot \cos 30^\circ / 2 - p \cdot L \cdot \cos 30^\circ / 2 \cdot L \cdot \cos 30^\circ / 4 = 0.09375 p \cdot L^2$$

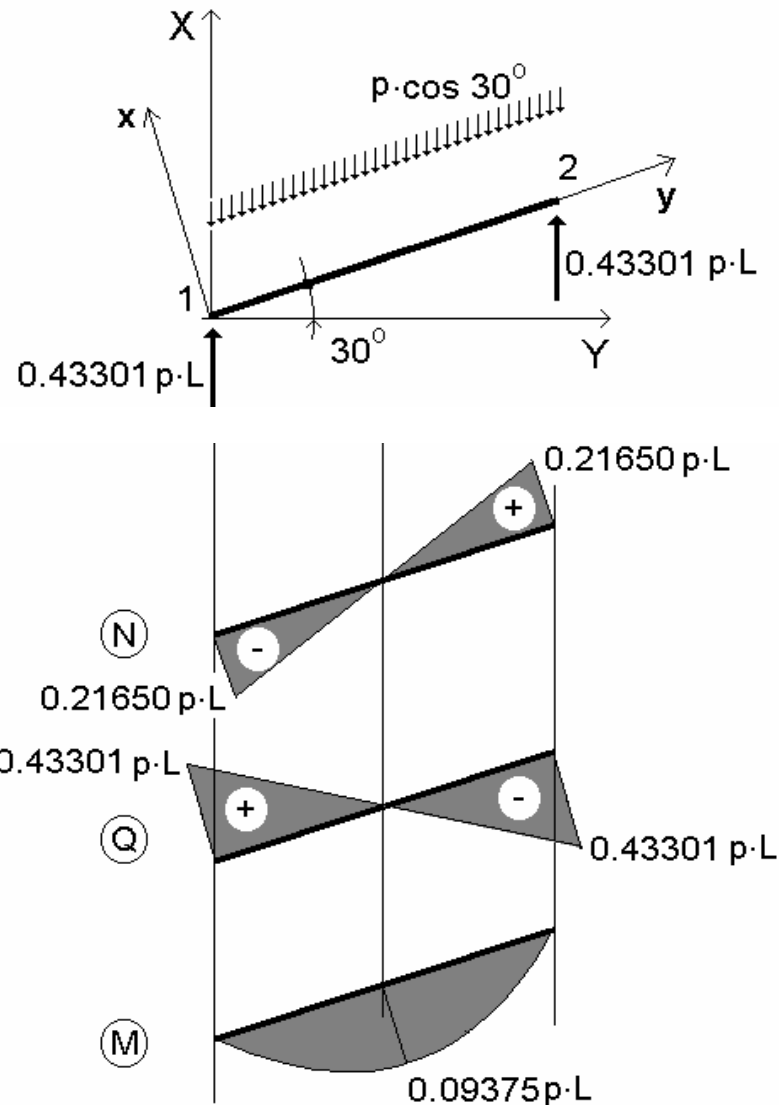


Fig.2.12

Diagrammele de eforturi ale structurii din  
fig.2.11.

Internal forces' diagrams of the  
structure in fig.2.11.

**Observație:** Intrucât încărcarea este verticală și grinda este înclinată, rezultă două componente ale încărcării: una pe direcția paralelă cu axa grinzelii și alta perpendiculară pe aceasta - componenta ce urmărește axa barei produce efort normal în grindă.

**Note:** Because the load is vertical and the beam is inclined, there are two components of the loading; one parallel to the axis of the beam and the other one perpendicular to the axis of the beam - the component following the axis of the beam will produce the axial force in the beam.

**E 2.3 ↗**

**Exemplu / Example 2.4**

Să se determine starea de eforturi pentru grinda înclinată din fig.2.13, rezemată normal pe axa barei și solicitată de o încărcare uniform repartizată vertical.

Determine the internal forces in the inclined beam in fig.2.13, supported perpendicular to the axis of the beam and subjected to a vertical uniformly distributed load.

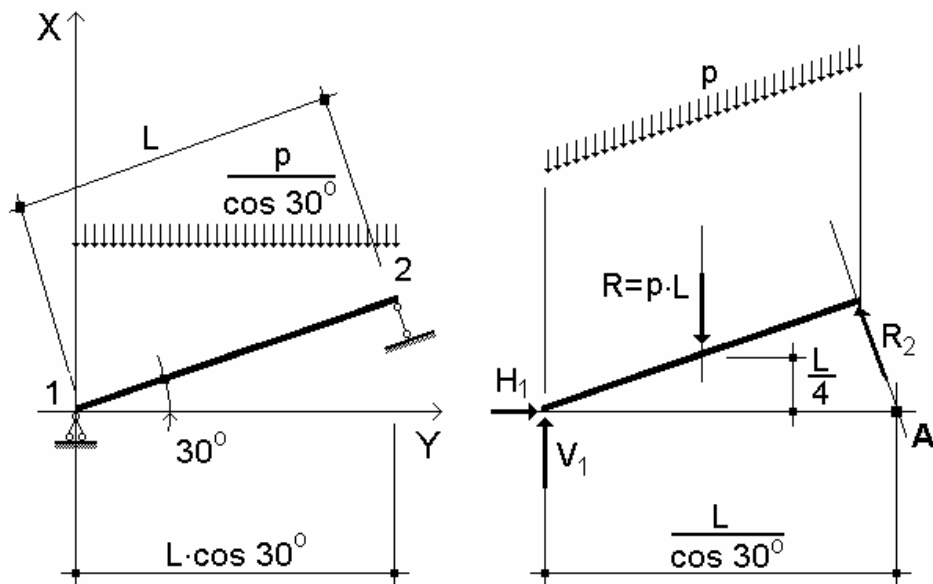


Fig.2.13

Grindă înclinată rezemată normal pe axă și solicitată de o sarcină verticală.

Inclined beam, supported perpendicular to the axis and subjected to a vertical load.

a. calculul reacțiunilor:

$$\sum M_1 = 0 :$$

$$R_2 \cdot L - p \cdot L \cdot L/2 \cdot \cos 30^\circ = 0$$

$$R_2 = 0.43301 p \cdot L$$

$$\sum M_A = 0 :$$

$$V_1 \cdot L/\cos 30^\circ - p \cdot L \cdot (L/\cos 30^\circ - L/2 \cdot \cos 30^\circ) = 0$$

$$V_1 = 0.62500 p \cdot L$$

a. calculation of the reactions:

$$\sum F_x = 0 : \quad H_1 - R_2 \cdot \cos 60^\circ = 0 \\ H_1 = -0.21650 p \cdot L$$

**b.** verificarea reacțiunilor:

$$\sum F_y = 0.62500 p \cdot L - p \cdot L + 0.43301 p \cdot L \cdot \cos 30^\circ = 0 \quad (!)$$

**c.** vectorii eforturilor în raport cu sistemul XOY :

$$\{E\}_1 = \begin{Bmatrix} -0.21651 p \cdot L \\ 0.62500 p \cdot L \\ 0 \end{Bmatrix}$$

$$\{E\}_2 = \begin{Bmatrix} -0.21651 p \cdot L \\ -0.37500 p \cdot L \\ 0 \end{Bmatrix}$$

**d.** matricele de transformare sunt aceleasi ca în exemplele 2.1 și 2.2;

**b.** verification of the reactions:

**c.** vectors of the internal forces with respect to the coordinate system XOY:

**d.** transformation matrices are the same as in the examples 2.1 and 2.2;

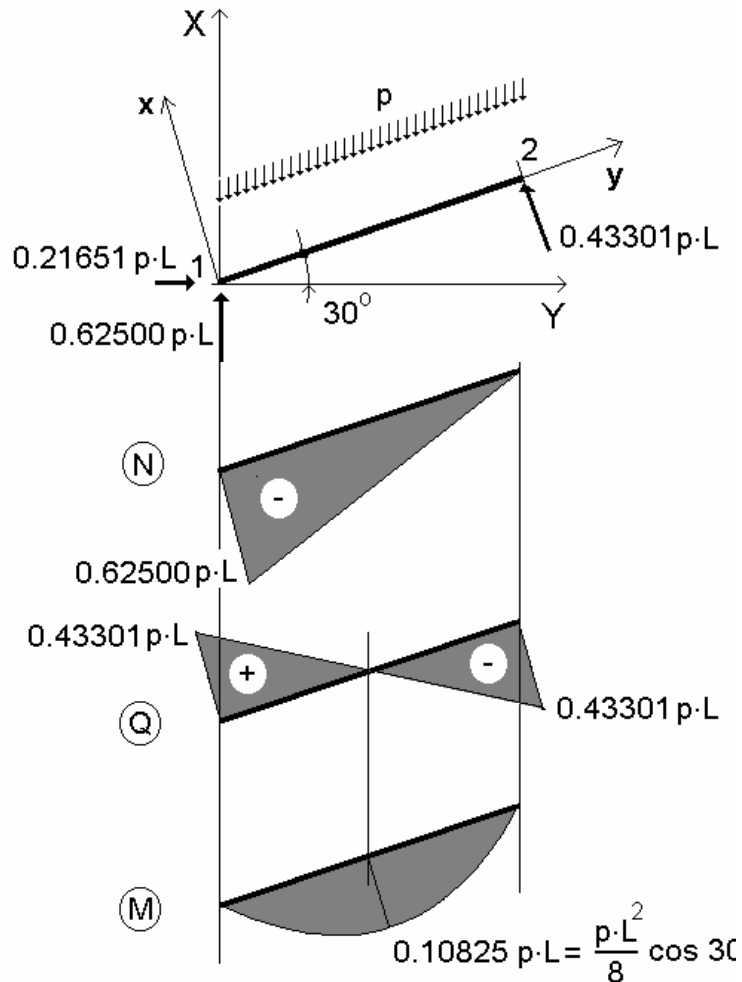


Fig.2.14

Eforturile din grinda din fig.2.13.

Internal forces in the beam in fig.2.13.

e. vectorii eforturilor la extremitățile grinzi:

$$\{e\}_1 = [t]_{01} \cdot \{E\}_1 = \begin{Bmatrix} -0.50000 p \cdot L \\ 0.43301 p \cdot L \\ 0 \end{Bmatrix}$$

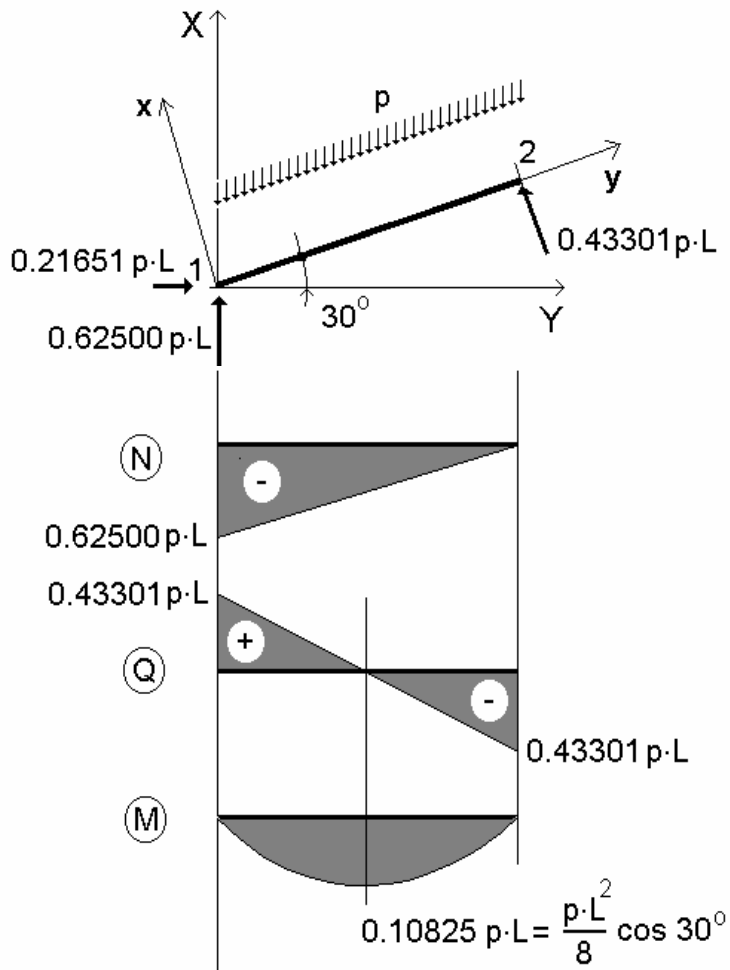
f. momentul încovoiector maxim:

$$M_{\max} = M(L/2) = 0.43301 p \cdot L \cdot L/2 - p \cdot L/2 \cdot L/4 \cos 30^\circ = 0.10825 p \cdot L^2 = p \cdot L^2 / 8 \cdot \cos 30^\circ$$

e. vectors of the internal forces at the ends of the beam:

$$\{e\}_2 = [t]_{02} \cdot \{E\}_2 = \begin{Bmatrix} 0 \\ -0.43301 p \cdot L \\ 0 \end{Bmatrix}$$

f. maximum bending moment:



**Fig.2.15**

**Eforturile din grindă reprezentate în raport cu axa OY.**

**Internal forces in the beam with respect to the OY axis.**

**Observație:** există, de asemenea, posibilitatea de a reprezenta diagramele de eforturi în raport cu o altă axă decât cea a barei, fig.2.15.

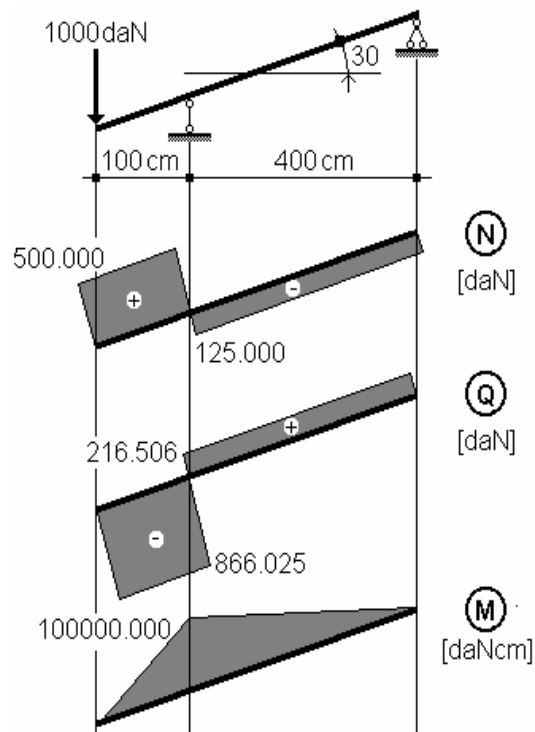
**Note:** it is also possible to draw the internal forces' diagrams with respect to an axis different from the axis of the beam, fig.2.15.

**E 2.4 ↗**

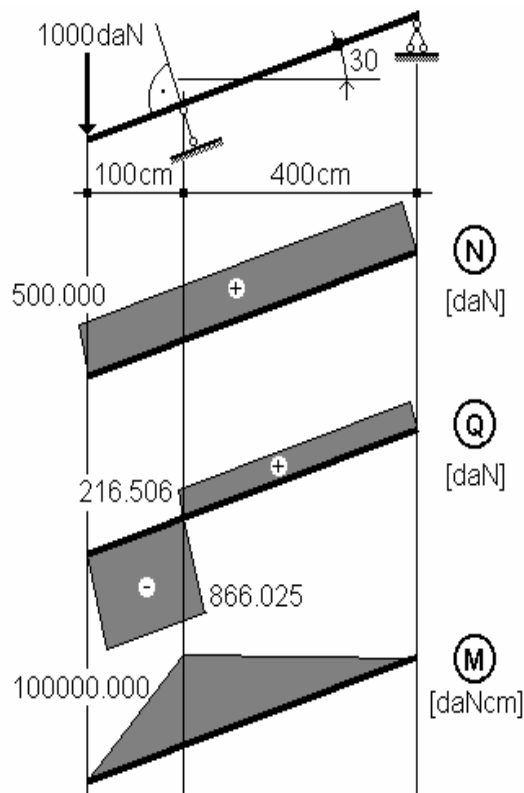
In figurile următoare sunt prezentate diagramele de eforturi pentru alte grinzi inclinate cu diferite situații de încărcate.

The internal forces for other inclined beams subjected to different loads are shown in the following figures.

EFORȚURI STRUCTUROI STATIC DETERMINATE / INTERNAL FORCES STATICALLY  
DETERMINATE STRUCTURES



**Fig.2.16.**



**Fig.2.17.**

EFORȚURI STRUCTUROI STATIC DETERMINATE / INTERNAL FORCES STATICALLY DETERMINATE STRUCTURES

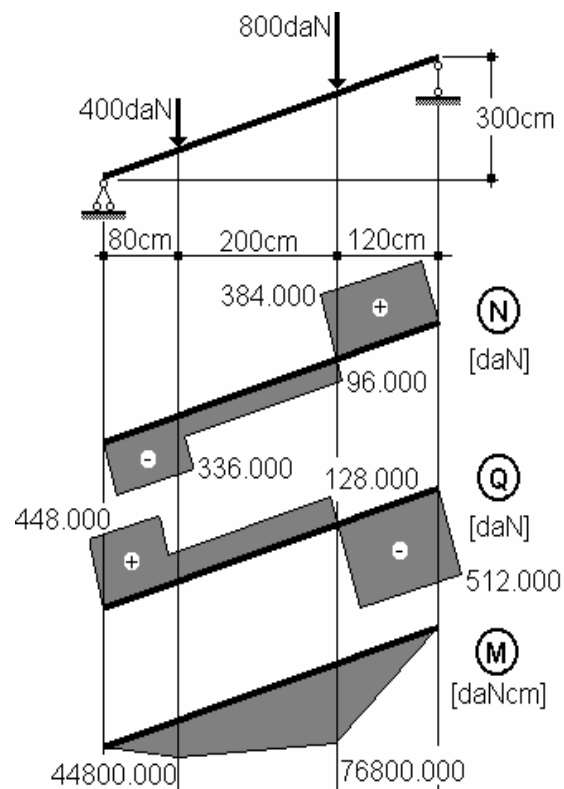


Fig.2.18.

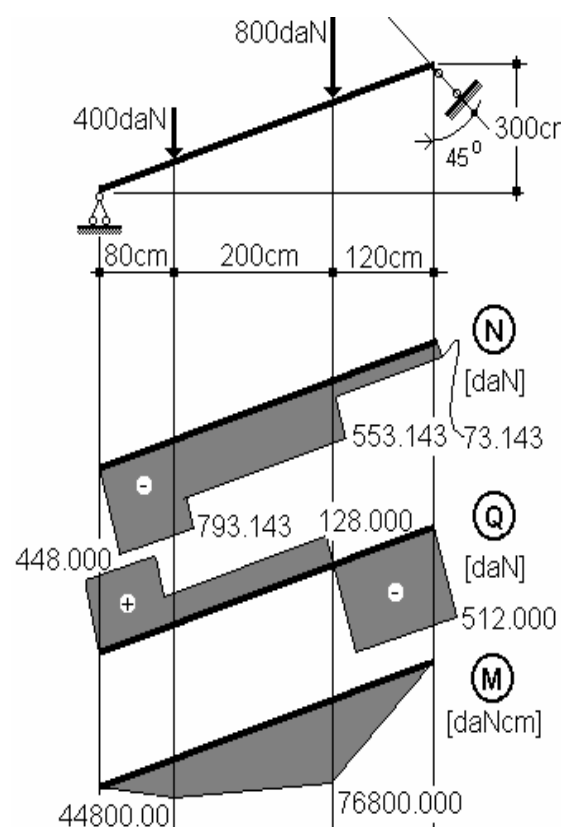


Fig.2.19.

## 2.2 GRINZI GERBER

Aceste grinzi se mai numesc și **grinzi cu console și articulații**. Acestea sunt de fapt grinzi continue, având un număr de articulații interioare în aşa fel că devin structuri static determinante, fig.2.20.

## 2.2 GERBER BEAMS

These beams are also called **beams with overhangs and hinges (internal pins)**. These are in fact continuous beams, having a number of hinges located such that the beams become statically determinate structures, fig.2.20.

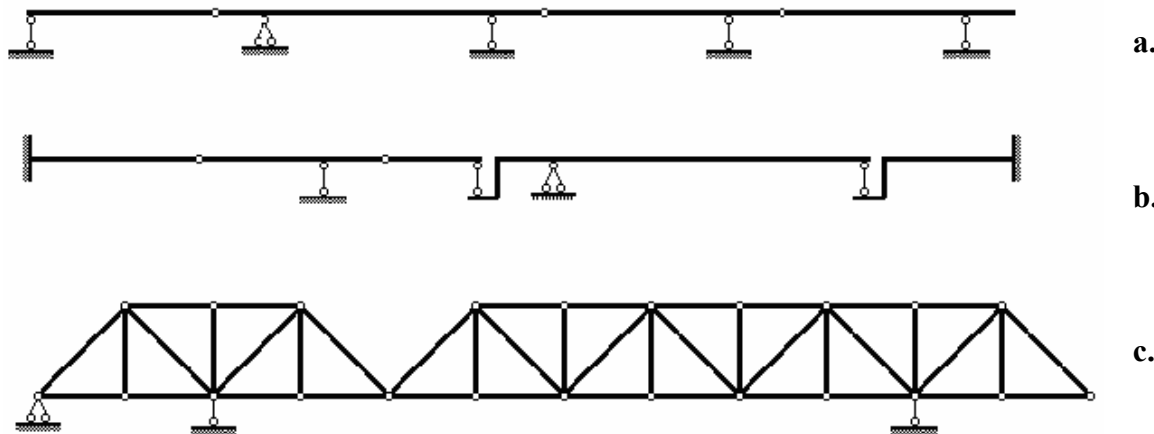


Fig.2.20

**Grinzi Gerber.** a. - grindă simplu rezemată,  
b. - grindă încastrată, c. - grindă cu zăbrele

**Gerber beams.** a. - simply supported beam,  
b. - encastré beam, c. - truss

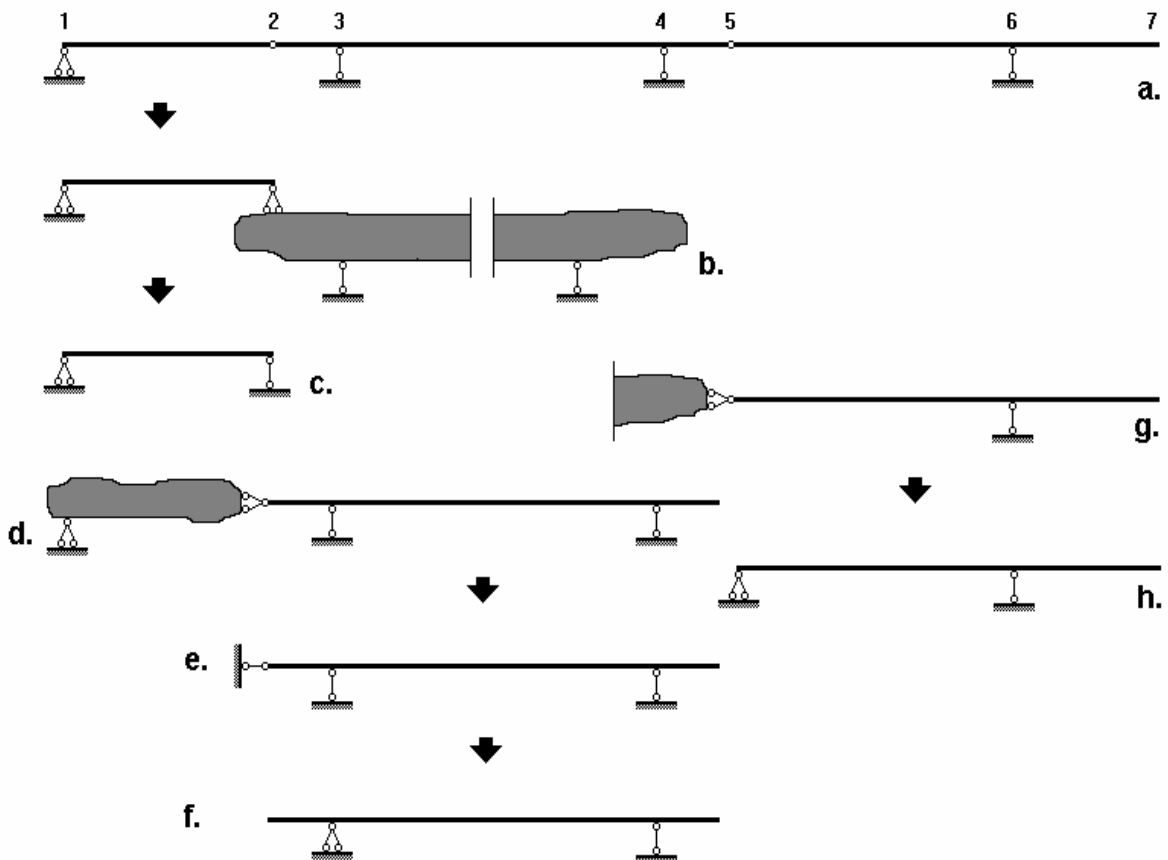
Vom considera grinda Gerber din fig.2.20.a și o vom descompune în elementele componente, fig.2.21.

- grinda **1-2** poate fi considerată simplu rezemată, fiind legată de ansamblul **2-7**, care este fixat numai pe reazeme simple, fig.2.21.b și c;
- grinda **2-5** este simplu rezemată în **3** și **4** și are o legătură pe direcția orizontală dată de grinda **1-2**, fig.2.21.d, ceea ce ne permite să o considerăm simplu rezemată, fig.2.21.e.; dacă încărcarea este numai verticală, atunci efortul normal este nul, deci din punct de vedere static vom putea considera varianta prezentată în fig.2.21.f;

Consider the Gerber beam shown in fig. 2.20.a. This is broken down into the main components, fig.2.21.

- beam **1-2** can be considered as simply supported, being connected to the system **2-7** which is fixed to the ground only by simple supports, fig.2.21.b and c;
- beam **2-5** is simply supported at **3** and **4** and has a connection in the horizontal direction given by the beam **1-2**, fig.2.21.d which allows us to consider it as simply supported, fig.2.21.e.; if there is only vertical load, then the axial force is zero, consequently, from the statical point of view, the structural scheme shown in fig. 2.21.f can be considered;

- grinda **5-7** este articulată în **5** de un sistem fix în plan și simplu rezemată în **6**, fig.2.21.g ; din punct de vedere static, aceasta se poate considera ca o grindă simplu rezemată, fig.2.21.h.
- beam **5-7** is pinned connected at **5** to a system fixed in plan and simply supported at **6**, fig.2.21.g ; from the statical point of view, this beam can be considered as simply supported, fig.2.21.h.



**Fig.2.21**  
Elementele componente ale unei grinzi  
Gerber. Components of a Gerber beam.

#### Observație:

Grinzelile care transmit efectul încărcărilor direct la teren se numesc **sisteme principale** iar grinzelile care transmit efectul încărcărilor cu ajutorul altor grinzi se numesc **sisteme secundare**.

#### Note:

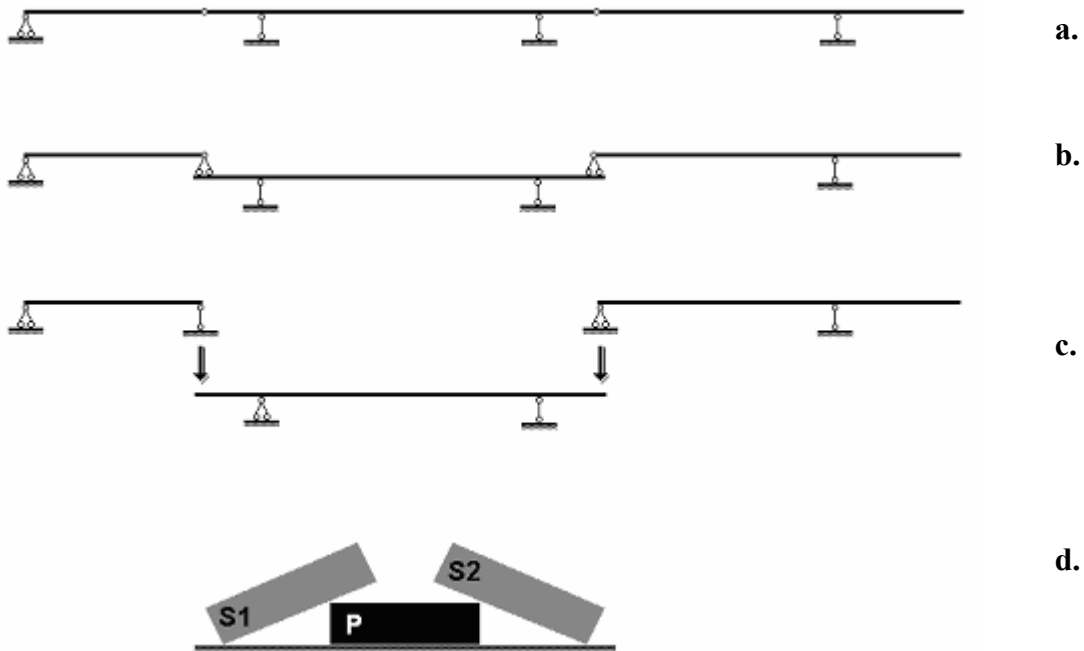
The beams which transfer the effect of the loads directly to the ground are called **main systems** and the beams which transfer the effect of the loads through other beams are called **secondary systems**.

Prin descompunerea grinzi din fig.2.21, vom obține două sisteme secundare **1-2**, **5-7** și un sistem principal **2-5**. În fig.2.22 este prezentată schema evolutivă de calcul.

Intrucât cele două sisteme secundare se rezemă pe un sistem principal, va trebui să determinăm reacțiunile sistemelor secundare produse de încărcările care acționează pe ele. Aceste reacții sunt în continuare aplicate ca încărcări pe sistemul principal împreună cu cele care sunt aplicate direct pe acest sistem, fig.2.22.c.

By breaking down the beam in fig.2.21, two secondary systems **1-2**, **5-7** and one main system **2-5** are obtained. Fig. 2.22 shows the structural scheme of the beam.

Since the two secondary systems are supported by the main system, the reactions of the secondary systems produced by the loads acting on them have to be calculated first. These reactions are afterwards applied as loads to the main system in conjunction with those directly applied to this system, fig.2.22.c.



**Fig.2.22**

**Schema de calcul evolutivă a unei grinzi Gerber.**

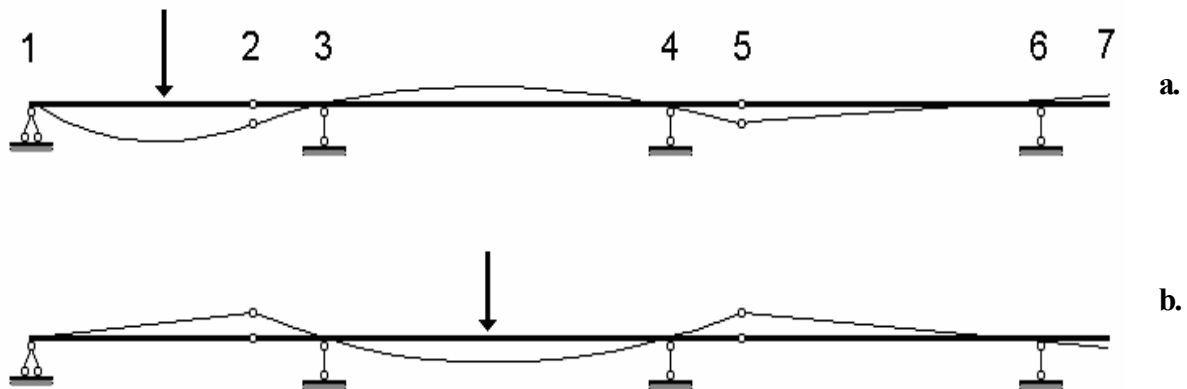
**Structural scheme of a Gerber beam.**

O încărcare pe grinda **1-2**, care este un sistem secundar, produce deformarea acestei grinzi, fig.2.23.a. Ea transmite eforturi sistemului principal, grinda **2-5**, care are de asemenea o deformare. În această situație grinda **5-7** nu are deformații, ea are numai deplasări fără eforturi în structură, fig.2.23.a.

One load applied to the beam **1-2**, which is a secondary system, will produce the deformation of this system, fig.2.23.a. This beam will transfer forces to the main system **2-5**, which will also deflect. In this case, the beam **5-7** does not have any deformations, it has only displacements without internal forces, fig.2.23.a.

In cazul unei încărcări a sistemului principal, grinda 2-5, celelalte sisteme secundare, 1-2 și 5-7, sunt numai deplasate fără a avea eforturi în structurile lor, fig.2.23.b.

In the case of a load applied to the main system, beam 2-5, the other secondary systems, 1-2 and 5-7, have only displacements without internal forces, fig.2.23.b.



**Fig.2.23**

**Efectul unei încărcări pe o grindă Gerber.**

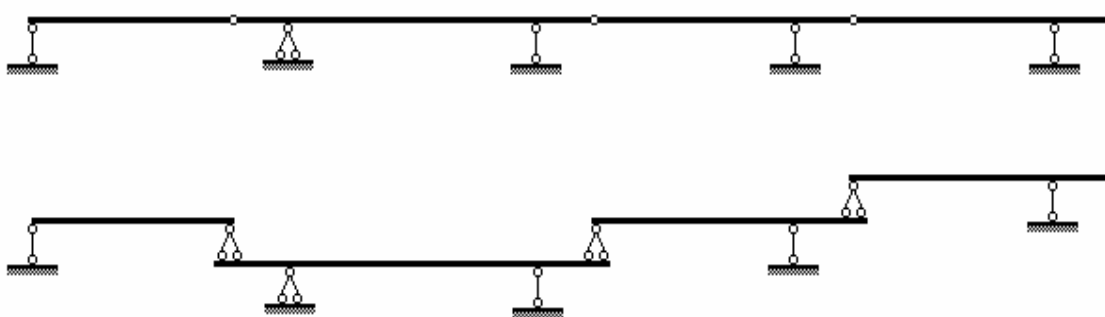
- a. - încărcarea pe sistemul secundar,
- b. - încărcarea pe sistemul principal

**Effect of loding on a Gerber beam.**

- a. - load on the secondary system,
- b. - load on the main system

Elementele componente ale grinzelor Gerber simple din fig.2.20 sunt reprezentate în fig.2.24 ... 2.26.

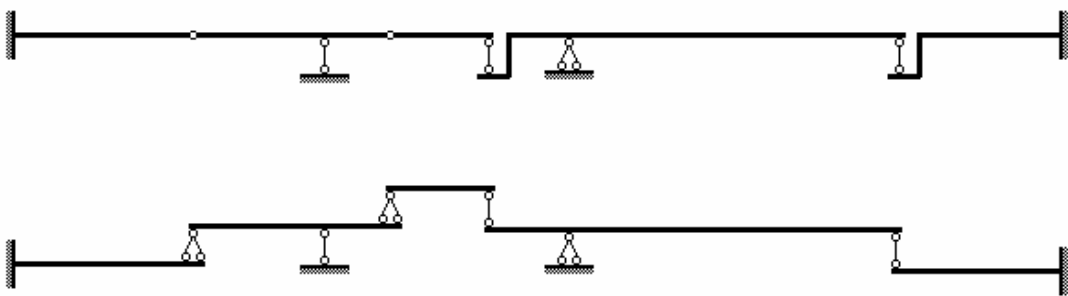
The main components of the simple Gerber beams in fig.2.20 are presented in fig.2.24 ... 2.26.



**Fig.2.24**

**Elementele componente ale grinzelii Gerber din fig.2.20.a.**

**Components of the Gerber beam in fig.2.20.a.**



**Fig.2.25**

**Elementele componente ale grinzi Gerber din fig.2.20.b.**

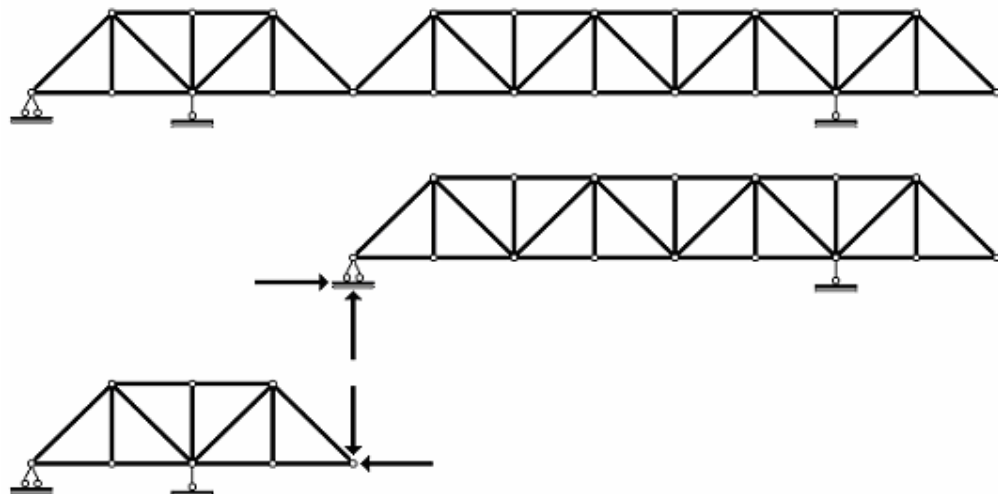
**Components of the Gerber beam in fig.2.20.b**

Pentru realizarea unei grinzi Gerber, plecând de la o grindă continuă static nedeterminată, fig.2.27.a, vom efectua etapele următoare:

- determinarea gradului de nedeterminare statică, care este egal cu numărul legăturilor suplimentare în raport cu grinda simplu rezemată, fig.2.27.a;
- eliminarea legăturilor suplimentare, prin introducerea unui număr de articulații egal cu gradul de nedeterminare statică, obținând un sistem geometric invariabil - eliminarea incorectă a legăturilor conduce la apariția de sisteme static nedeterminate sau de mecanisme, fig.2.27.b;
- verificarea că structura întreagă și fiecare sistem simplu este static determinat;
- numărul sistemelor principale trebuie să fie cât mai mare posibil, fig.2.27.c - dacă există un singur sistem principal, în cazul unui accident a acestuia, întregul ansamblu va fi distrus, fig.2.27.d;

In order to obtain a Gerber beam from a statically indeterminate continuous beam, fig.2.27.a, the next steps have to be followed:

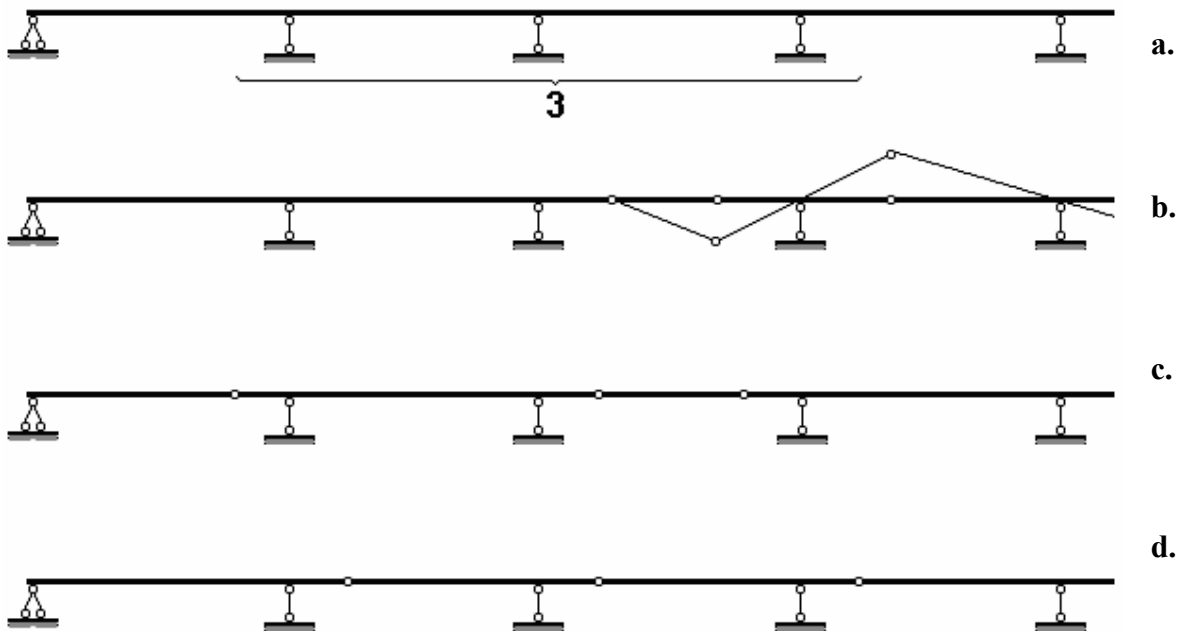
- calculation of the degree of statical indeterminacy, which is equal to the number of additional connections with respect to the simply supported beam, fig.2.27.a;
- release of the additional connections by introducing a number of hinges equal to the degree of statical indeterminacy, thus obtaining a geometrically invariable system - the incorrect release of connections leads to statically indeterminate systems or mechanisms, fig.2.27.b;
- check if the whole structure and each simple system is statically determinate;
- the number of main systems has to be as large as possible, fig.2.27.c - if there is only one main system, in the case when it is damaged, the whole system will fail, fig.2.27.d;



**Fig.2.26**

**Elementele componente ale unei grinzi Gerber cu zăbrele.**

**Components of a Gerber truss.**



**Fig.2.27**

**Realizarea unei grinzi Gerber.**

**Formation of a Gerber beam.**

**Etapele de calcul pentru grinziile Gerber sunt următoarele:**

- stabilirea elementelor componente - sisteme principale, secundare și schema evolutivă de calcul;

**The steps in the analysis of Gerber beams are the following:**

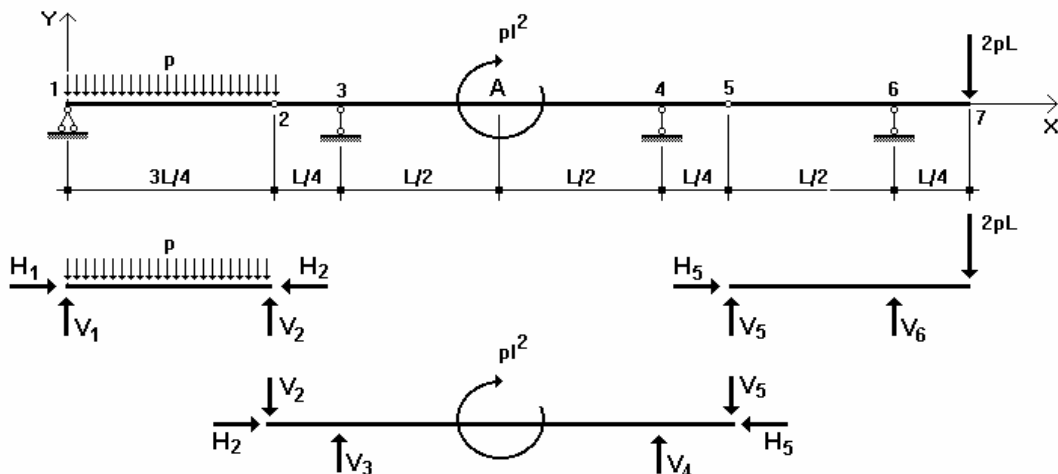
- identify the main components - the main and secondary systems and the structural scheme ;

- ii. calculul reacțiunilor grinzelor pe care nu se reazemă alte grinzi și apoi aplicarea acestora ca încărcări pe sistemele pe care reazemă;
- iii. calculul evolutiv al reacțiunilor sistemelor încărcate cu încărcările proprii și cele produse de sistemele care reazemă pe ele;
- iv. calculul eforturilor;
- v. reprezentarea diagramelelor de eforturi pentru fiecare sistem, pe o singură axă de referință.
- ii. calculation of the reactions of the beams which do not support other beams; these reactions are then applied as loads to the systems which support them;
- iii. calculation of the reactions of the systems subjected to their own loads and those produced by the systems they support;
- iv. calculation of the internal forces;
- v. drawing of the internal forces' diagrams for each system, with respect to a single reference axis.

**Exemplu / Example 2.5**

Să se determine starea de eforturi pentru grinda Gerber din fig.2.28, ale cărei componente au fost analizate în fig.2.21.

Determine the internal forces for the Gerber beam shown in fig.2.28, whose components were analysed in fig.2.21.



**Fig.2.28**

**Grindă Gerber și componentele sale.**

**Gerber beam and its components.**

- a. calculul reacțiunilor orizontale pentru grinzelile 5-7, 2-5, 1-2:

$$\sum F_x = 0 : \quad H_5 = 0$$

$$H_2 = 0 \quad H_1 = 0$$

- a. calculation of the horizontal reactions for the beams 5-7, 2-5, 1-2:

EFORTURI STRUCTURI STATIC DETERMINATE / INTERNAL FORCES STATICALLY  
DETERMINATE STRUCTURES

**b. calculul reacțiunilor pentru grinda 1-2:**

$$\sum M_1 = 0 : \quad V_2 \cdot 3 \cdot L/4 - p \cdot 3 \cdot L/4 \cdot 3 \cdot L/8 = 0 \quad V_2 = 0.37500 p \cdot L$$

$$\sum M_2 = 0 : \quad -V_1 \cdot 3 \cdot L/4 + p \cdot 3 \cdot L/4 \cdot 3 \cdot L/8 = 0 \quad V_1 = 0.37500 p \cdot L$$

**c. verificarea reacțiunilor pentru grinda 1-2:**

**c. verification of the reactions for beam 1-2:**

$$\sum F_y = p \cdot 3 \cdot L/4 - 0.37500 p \cdot L - 0.37500 p \cdot L = 0 \quad (!)$$

**d. calculul reacțiunilor pentru grinda 5-7:**

**d. calculation of the reactions for beam 5-7:**

$$\sum M_5 = 0 : \quad V_6 \cdot 2 \cdot L / 4 - 2 \cdot p \cdot L \cdot 3 \cdot L / 4 = 0 \quad V_6 = 3.00000 p \cdot L$$

$$\sum M_6 = 0 : \quad -V_5 \cdot 2 \cdot L / 4 - 2 \cdot p \cdot L \cdot L / 4 = 0 \quad V_5 = -1.00000 p \cdot L$$

**e. verificarea reacțiunilor pentru grinda 5-7:**

**e. verification of the reactions for beam 5-7:**

$$\sum F_y = -2 \cdot p \cdot L - 1.00000 p \cdot L + 3.00000 p \cdot L = 0 \quad (!)$$

**f. calculul reacțiunilor pentru grinda 2-5:**

**f. calculation of the reactions for beam 2-5:**

$$\sum M_3 = 0 : \quad 0.37500 p \cdot L \cdot L / 4 - p \cdot L^2 + V_4 \cdot L - 1.00000 p \cdot L \cdot 5 \cdot L / 4 = 0$$

$$V_4 = -0.34375 p \cdot L$$

$$\sum M_4 = 0 : \quad 0.37500 p \cdot L \cdot 5 \cdot L / 4 - V_3 \cdot L - p \cdot L^2 - 1.00000 p \cdot L \cdot L / 4 = 0$$

$$V_3 = -0.28125 p \cdot L$$

**g. verificarea reacțiunilor pentru grinda 2-5:**

**g. verification of the reactions for beam 2-5:**

$$\sum F_y = -0.37500 p \cdot L - 0.28125 p \cdot L - 0.34375 p \cdot L + 1.00000 p \cdot L = 0 \quad (!)$$

**h. calculul eforturilor în grinda 1-2:**

**h. calculation of the internal forces in beam 1-2:**

$$Q_{12} = 0.37500 p \cdot L$$

$$Q_{21} = 0.37500 p \cdot L - p \cdot 3 \cdot L / 4 = -0.37500 p \cdot L$$

$$M_{12} = 0$$

$$M_{21} = 0$$

$$M_{\max} = 0.37500 p \cdot L \cdot 3 \cdot L / 8 - p \cdot 3 \cdot L / 8 \cdot 3 \cdot L / 16 = 0.07031 p \cdot L^2$$

EFORTURI STRUCTURI STATIC DETERMINATE / INTERNAL FORCES STATICALLY  
DETERMINATE STRUCTURES

**i. calculul eforturilor în grinda 5-7:**

$$Q_{56} = -1.00000 \text{ p} \cdot \text{L}$$

$$Q_{65} = -1.00000 \text{ p} \cdot \text{L}$$

$$Q_{67} = -1.00000 \text{ p} \cdot \text{L} + 3.00000 \text{ p} \cdot \text{L} = 2.00000 \text{ p} \cdot \text{L}$$

$$Q_{76} = 2.00000 \text{ p} \cdot \text{L}$$

$$M_{56} = 0$$

$$M_{65} = -1.00000 \text{ p} \cdot \text{L} \cdot 2 \cdot \text{L}/4 = -0.50000 \text{ p} \cdot \text{L}^2$$

$$M_{67} = -0.50000 \text{ p} \cdot \text{L}^2$$

$$M_{76} = 0$$

**j. calculul eforturilor în grinda 2-5:**

$$Q_{23} = -0.37500 \text{ p} \cdot \text{L}$$

$$Q_{32} = -0.37500 \text{ p} \cdot \text{L}$$

$$Q_{34} = -0.37500 \text{ p} \cdot \text{L} - 0.28125 \text{ p} \cdot \text{L} = -0.65625 \text{ p} \cdot \text{L}$$

$$Q_{43} = -0.65625 \text{ p} \cdot \text{L}$$

$$Q_{45} = -0.65625 \text{ p} \cdot \text{L} - 0.34375 \text{ p} \cdot \text{L} = -1.00000 \text{ p} \cdot \text{L}$$

$$Q_{54} = -1.00000 \text{ p} \cdot \text{L}$$

$$M_{23} = 0$$

$$M_{32} = -0.37500 \text{ p} \cdot \text{L} \cdot \text{L}/4 = -0.09375 \text{ p} \cdot \text{L}^2$$

$$M_{A32} = -0.37500 \text{ p} \cdot \text{L} \cdot (\text{L}/4 + \text{L}/2) - 0.28125 \text{ p} \cdot \text{L} \cdot \text{L}/2 = -0.42188 \text{ p} \cdot \text{L}^2$$

$$M_{A43} = -0.42188 \text{ p} \cdot \text{L}^2 + \text{p} \cdot \text{L}^2 = -0.57813 \text{ p} \cdot \text{L}^2$$

$$M_{54} = 0$$

$$M_{45} = 1.00000 \text{ p} \cdot \text{L} \cdot 1/4 = 0.25000 \text{ p} \cdot \text{L}^2$$

Diagramele de eforturi sunt prezentate în fig.2.29.

**i. calculation of the internal forces in beam 5-7:**

**j. calculation of the internal forces in beam 2-5:**

The internal forces' diagrams are presented in fig.2.29.

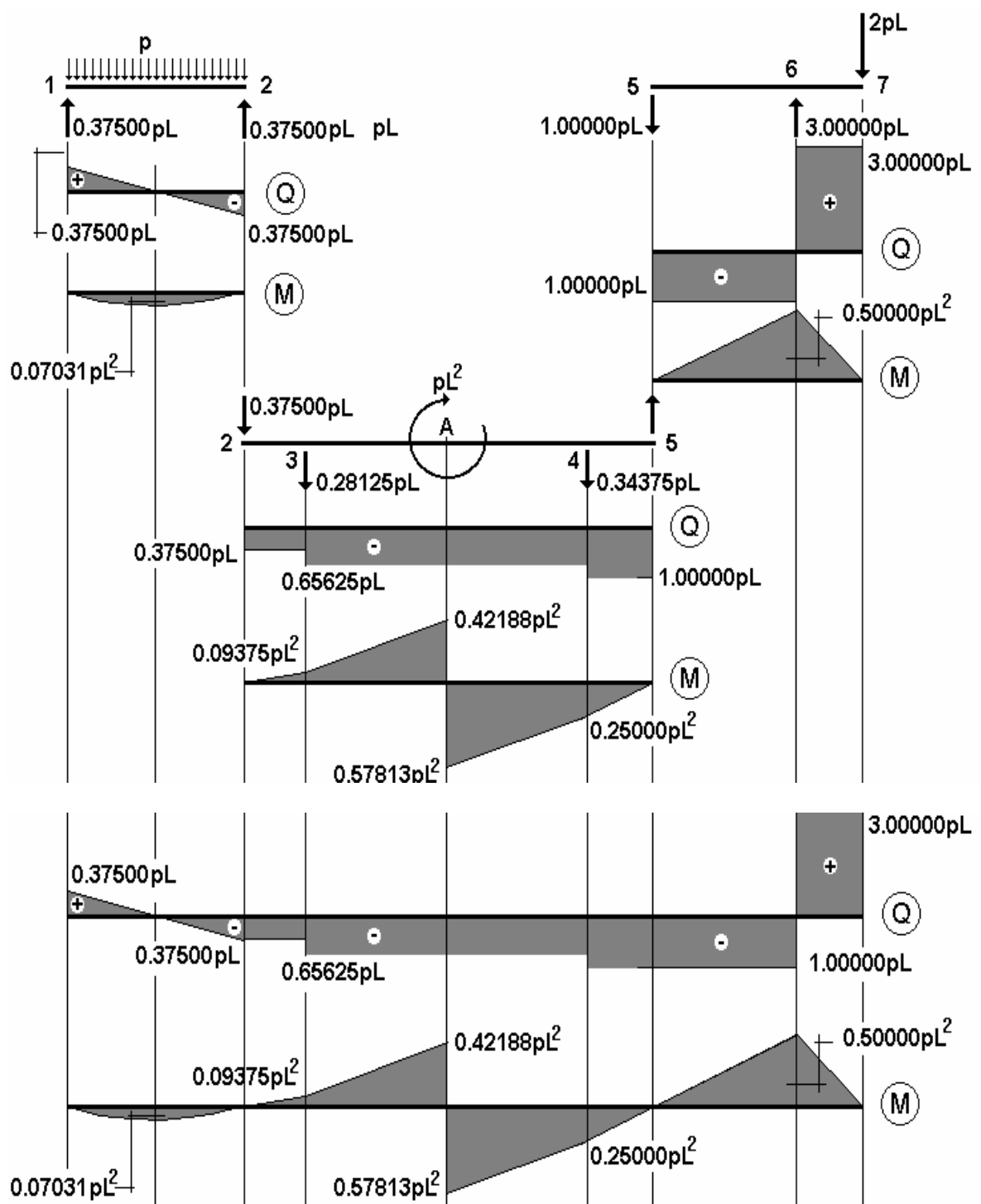


Fig.2.29

Eforturile din grinda Gerber din  
fig.2.28.

Internal forces in the Gerber beam  
shown in fig.2.28.

Pentru grinziile Gerber există, de asemenea, posibilitatea de a calcula reacțiunile fără descompunerea în sisteme secundare și principale. În consecință, putem utiliza schema prezentată în fig.2.30 pentru a calcula reacțiunile pentru structura din fig.2.28.

Această modalitate de calcul este posibilă încât fiecare tronson legat de o structură prin articulații trebuie să fie în echilibru. De asemenea, nu este posibilă rotirea în raport cu articulația pentru fiecare tronson individual.

Calculul reacțiunii  $V_6$ , fig.2.30.a:

$$\sum M_s = 0 : \quad V_6 \cdot 2 \cdot L/4 - 2 \cdot p \cdot L \cdot 3 \cdot L/4 = 0 \\ V_6 = 3.00000 p \cdot L$$

The calculation of the reactions for Gerber beams can also be carried out without breaking them down in main and secondary systems. Consequently, in order to calculate the reactions of the structure shown in fig.2.28, the structural scheme shown in fig.2.30 can be used.

This procedure can be used due to the fact that each system connected to a structure by hinges must be in equilibrium. At the same time, each individual system will have no rotation with respect to the hinge.

Calculation of the reaction  $V_6$ , fig.2.30.a:

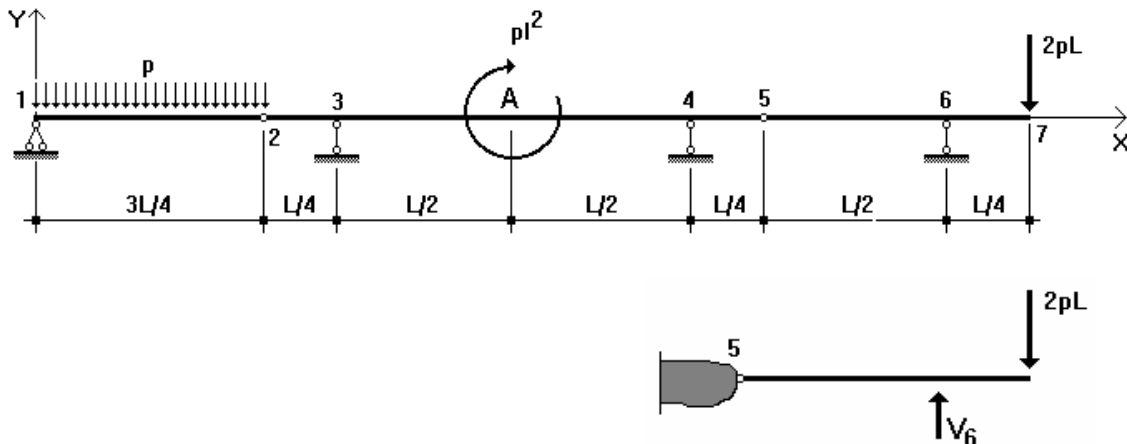


Fig.2.30.a

Calculul reacțiunilor pentru grinda Gerber din fig.2.28.

Calculation of the reactions for the Gerber beam in fig.2.28.

Calculul reacțiunilor  $V_3$  și  $V_4$ , fig.2.30.b și c:

Calculation of the reactions  $V_3$  and  $V_4$ , fig.2.30.b and c:

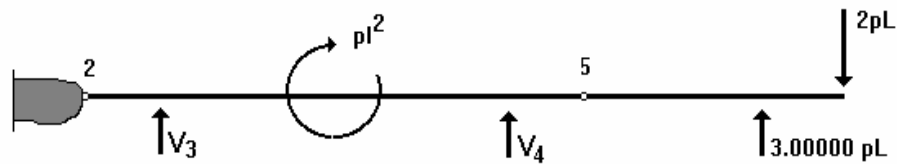
$$\sum M_2 = 0 : \quad -2 \cdot p \cdot L \cdot 9 \cdot L/4 + 3.00000 \cdot p \cdot L \cdot 8 \cdot L/4 + V_4 \cdot 5 \cdot L/4 + V_3 \cdot L/4 = 0$$

EFORȚURI STRUCTURI STATIC DETERMINATE / INTERNAL FORCES STATICALLY DETERMINATE STRUCTURES

$$\sum M_1 = 0 : -2 \cdot p \cdot L \cdot 12 \cdot L/4 + 3.00000 \cdot p \cdot L \cdot 11 \cdot L/4 + V_4 \cdot 8 \cdot L/4 + V_3 \cdot 4 \cdot L/4 = 0$$

$$V_3 = -0.28125 p \cdot L$$

$$V_4 = -0.34375 p \cdot L$$



**Fig.2.30.b**

**Calculul reacțiunilor pentru grinda Gerber din fig.2.28.**

**Calculation of the reactions for the Gerber beam in fig.2.28.**

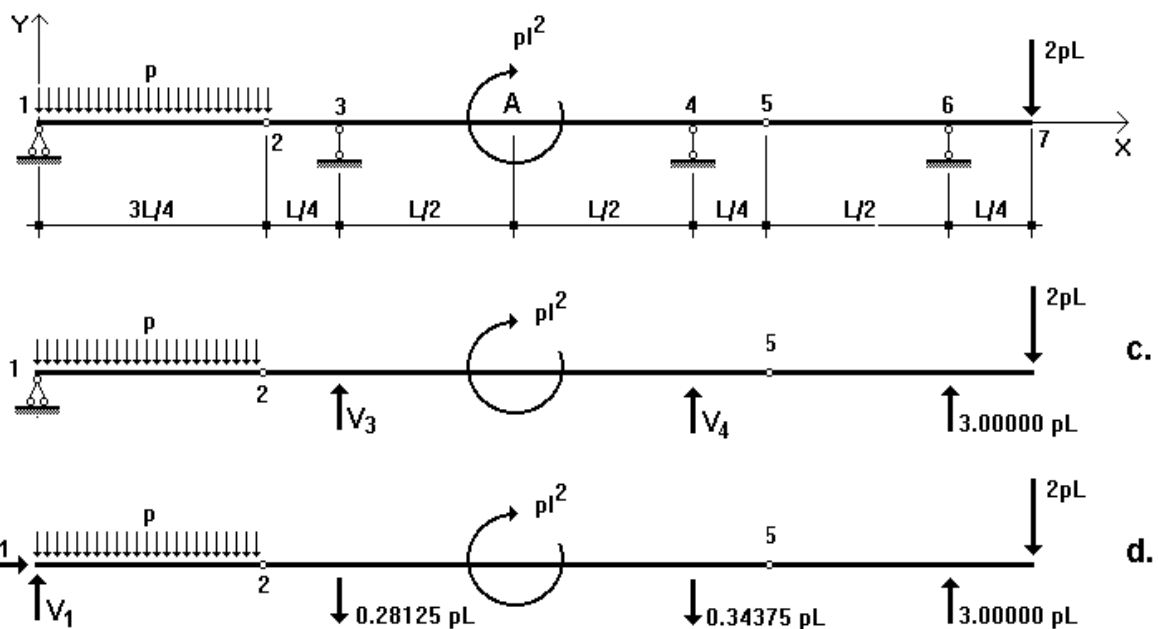
Calculul reacțiunilor  $V_1$  și  $H_1$ :

Calculation of the reactions  $V_1$  and  $H_1$ :

$$\sum F_y = 0 : V_1 - p \cdot L - 0.28125 p \cdot L - 0.34375 p \cdot L + 3.00000 p \cdot L - 2 \cdot p \cdot L = 0$$

$$V_1 = 0.37500 p \cdot L$$

$$\sum F_x = 0 : H_1 = 0$$



**Fig.2.30.c**

**Calculul reacțiunilor pentru grinda Gerber din fig.2.28.**

**Calculation of the reactions for Gerber beam in fig.2.28.**

## 2.3 CADRE STATIC DETERMINATE

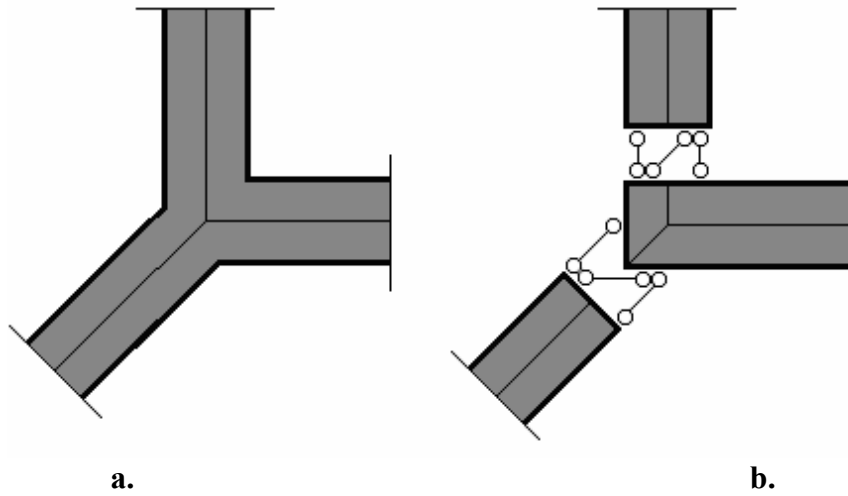
Cadrele sunt structuri de rezistență compuse din combinații de **bare**, grinzi și stâlpi, legate în **noduri**. Numărul de legături într-un nod este în funcție de tipul de cuplaj și de numărul barelor.

Cuplajul rigid al barelor este reprezentat în fig.2.31, cel articulat în fig.2.32 și cel parțial articulat în fig.2.33.

## 2.3 STATICALLY DETERMINATE FRAMES

Frames are structures composed of a combination of **bars**, beams and columns, connected at joints. The number of connections at a joint depends on the type of connection and the number of bars.

A rigid connection of bars is shown in fig.2.31, a pinned connection is shown in fig.2.32 and a semirigid connection is shown in fig.2.33.



**Fig.2.31**

**Cuplajul rigid al barelor.**

a. - nodul, b. - legăturile necesare

Intr-un nod rigid, barele sunt încastrate unele în altele și unghiul dintre bare rămâne același după deformarea structurii.

Intr-un nod articulat, există posibilitatea unei rotiri relative între bare.

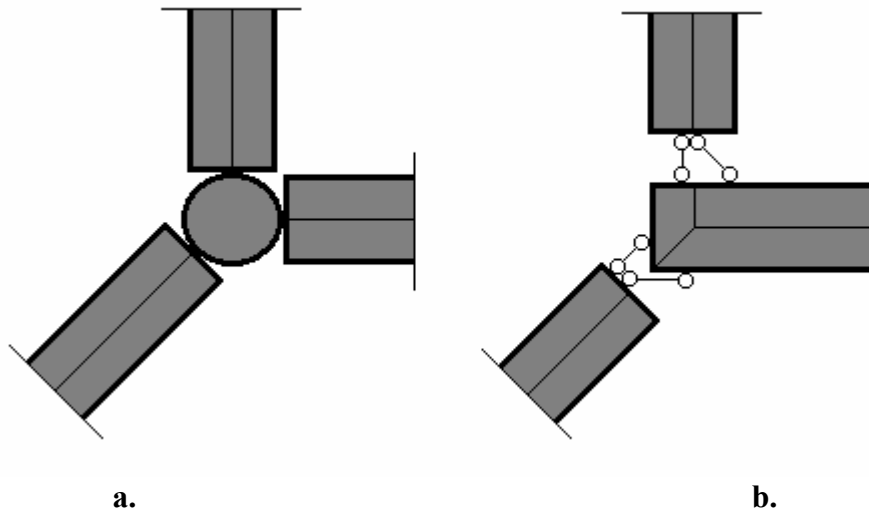
**Numărul de legături dintr-un nod unde concură n bare este egal cu:**

- **nod rigid / rigid joint:**  $(n-1) \cdot 3$
- **nod articulat / pinned joint:**  $(n-1) \cdot 2$

At a rigid joint, the bars are fully fixed connected to each other and the angle between bars remains the same after the deformation of the structure.

At a pinned joint, there is a relative rotation between bars.

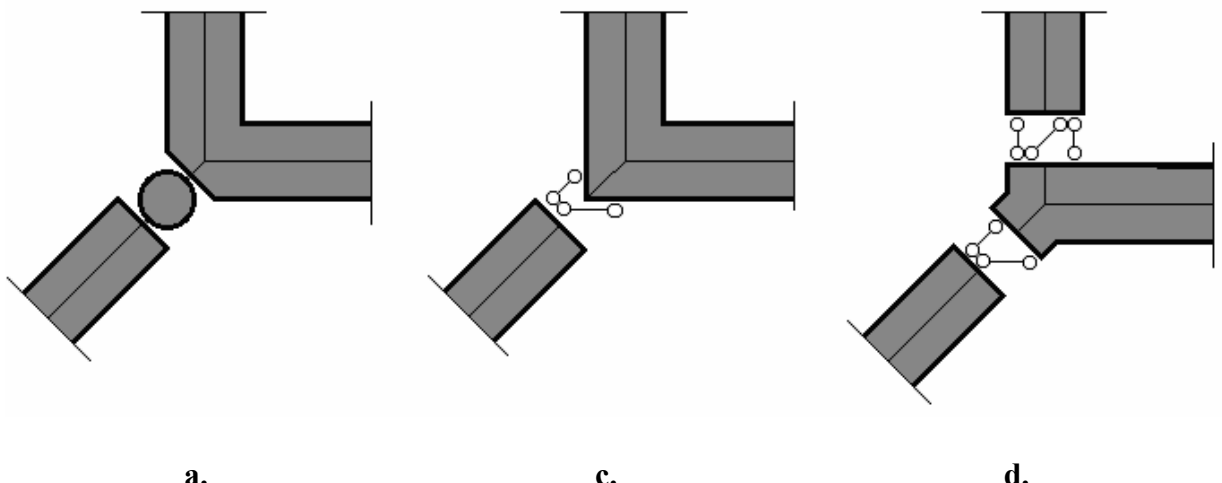
**The number of connections at a joint with n bars is equal to :**



**Fig.2.32**

**Cuplaj articulat al barelor.**  
a. - nodul, b. - legăturile necesare

**Pinned connection of bars.**  
a. - joint, b. - required connections



**Fig.2.33**

**Cuplaj din bare parțial articulat.**  
a. - nodul, b și c - legăturile necesare

**Semirigid connection of bars.**  
a. - joint, b. and c. - required connections

Cadrele sunt în mare parte majoritate static nedeterminate dar cunoașterea cadrelor static determinate este foarte importantă pentru studiul cadrelor static nedeterminate.

In the vast majority of cases, the frames are statically indeterminate structures but the analysis of the statically determinate frames is very important in order to understand the behaviour of the statically indeterminate frames.

Pentru a simplifica modul de rezolvare a unui cadru plan, se consideră un sistem de axe **XOY**, cu ajutorul căruia se notează barele structurii urmărind sensul pozitiv al axei OX, prin deplasare în lungul axei OY (de exemplu de la stânga la dreapta și de jos în sus).

Fiecare bară are un sistem propriu de axe **xoy**, fig.2.34, cu originea în **i** și respectând condiția **i < j**.

In order to simplify the analysis of plane frames, a coordinate system **XOY** is considered. The bars of the frame are denoted following the positive direction of the axes OX and OY, (i.e. from left to right and from bottom to top).

Each bar has its own coordinate system **xoy**, fig.2.34, with the origin at **i** and satisfying the condition **i < j**.

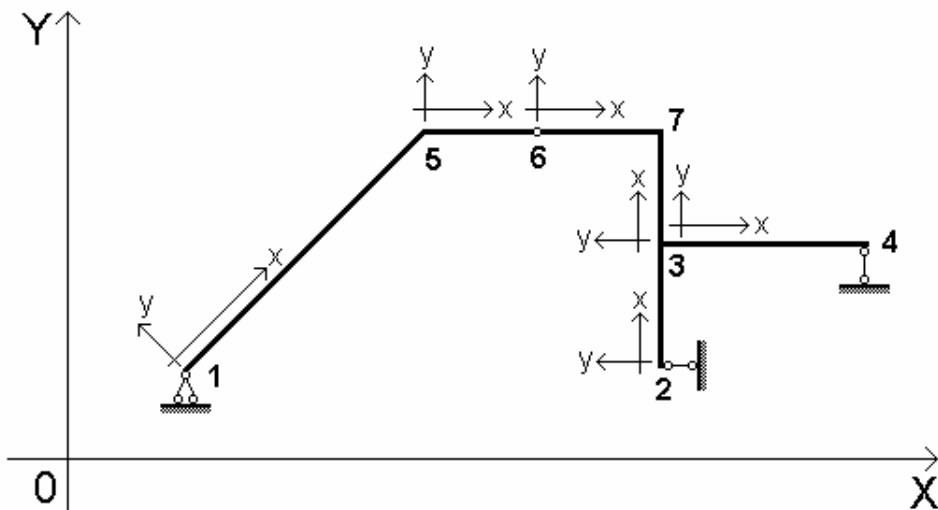


Fig.2.34

**Notarea barelor unui cadru și sistemele de axe.**

**Notation of bars of a frame and coordinate systems.**

Pentru calculul cadrelor static determinate este necesară urmărirea etapelor generale de calcul ale structurilor static determinate (cap.1.6), cu câteva particularități specifice acestor tipuri de structuri.

**Principii de calcul pentru cadrele static determinate:**

- într-un nod unde sunt două bare, valoarea momentului încovoielor calculată pentru o bară rămâne aceeași pentru cea de a doua bară (ordonata este rabătută de la o bară la alta);

For the analysis of the statically determinate frames, the general steps for the analysis of the statically determinate structures have to be followed (chap.1.6), with some particular issues, specific to this type of structures.

**Principles in the analysis of statically determinate frames :**

- at a joint with two bars, the bending moment in a bar will be equal to the bending moment in the adjacent bar (the ordinate is continuous around the joint) ;

- într-un nod **i**, cu trei sau mai multe bare, trebuie calculată valoarea momentului încovoietor pentru fiecare capăt de bară și verificat echilibrul nodului:
- at a joint **i** with three or more bars, the bending moment needs to be calculated for each end of bar and the joint equilibrium has to be checked:

$$\sum M_{ij} = 0$$

- diagramele de eforturi sunt reprezentate pe schema structurii pentru fiecare bară, în raport cu sistemul propriu de axe, respectând regulile prezentate în cap.1.6 (diagramele de moment încovoietor sunt întotdeauna dispuse pe partea întinsă a barei și diagramele de forță axială și forță tăietoare au întotdeauna semn);
- the internal forces' diagrams are drawn for each bar with respect to its own coordinate system, satisfying the rules presented in chap.1.6 (the bending moment diagram is always drawn on the tensile side of the bar and the axial force and shear force diagrams have always a sign);
- verificarea echilibrului nodurilor (dacă în noduri sunt forțe exterioare concentrate, trebuie ținut de asemenea cont de acestea);
- verification of the joints' equilibrium (if there are external forces at the joints, they have to be taken into account);
- verificarea reacțiunilor și a eforturilor utilizând lucrul mecanic virtual.
- verification of the reactions and internal forces using the virtual work.

### **Exemplu / Example 2.6**

Să se determine starea de eforturi pentru structura din fig.2.35. Pentru această structură nu este necesar să se determine forțele de legătură (ele rezultă din diagramele de eforturi).

a. calculul eforturilor:

$$N_{32} = -P \cdot \cos 30^\circ = -0.86603 P = N_{23}$$

$$N_{21} = -P = N_{12}$$

$$Q_{32} = P \cdot \cos 60^\circ = 0.50000 P = Q_{23}$$

$$Q_{21} = 0 = Q_{12}$$

$$M_{32} = 0$$

$$M_{23} = -P \cdot L \cdot \cos 60^\circ = -0.50000 P \cdot L = M_{21} = M_{12}$$

Determine the internal forces in the structure shown in fig.2.35. For this structure the reactions at the supports don't have to be calculated (they are obtained from the internal forces' diagrams).

a. calculation of the internal forces:

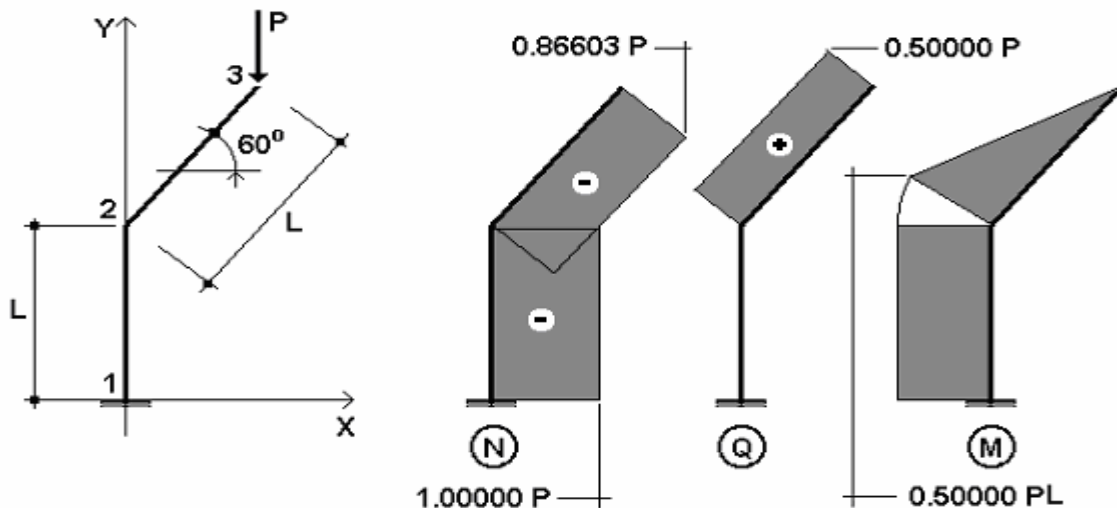


Fig.2.35

**Starea de eforturi într-o structură simplă.**

**Internal forces in a simple structure.**

Utilizând matricea de transformare, se determină eforturile la extremitățile barelor după cum urmează:

b. matricea de transformare pentru bara 1-2:

$$\omega = 90^\circ \Rightarrow [t]_{012} = [t]_{021} = \begin{bmatrix} 0 & -1 & 0 \\ 1 & 0 & 0 \\ 0 & 0 & 1 \end{bmatrix}$$

c. matricea de transformare pentru bara 2-3 :

$$\omega = 60^\circ \Rightarrow [t]_{023} = [t]_{032} = \begin{bmatrix} 0.50000 & -0.86603 & 0 \\ 0.86603 & 0.50000 & 0 \\ 0 & 0 & 1 \end{bmatrix}$$

d. vectorii eforturilor în raport cu sistemul de axe XOY :

$$\{E\}_{12} = \begin{Bmatrix} 0 \\ P \\ -P \cdot L \cdot \cos 60^\circ \end{Bmatrix} = \begin{Bmatrix} 0 \\ P \\ -0.50000 P \cdot L \end{Bmatrix} = \{E\}_{21}$$

By using the transformation matrix, the internal forces at the end of the bars can be calculated as follows:

b. transformation matrix for the bar 1-2:

$$[t]_{012} = [t]_{021} = \begin{bmatrix} 0 & -1 & 0 \\ 1 & 0 & 0 \\ 0 & 0 & 1 \end{bmatrix}$$

c. transformation matrix for the bar 2-3 :

$$[t]_{023} = [t]_{032} = \begin{bmatrix} 0.50000 & -0.86603 & 0 \\ 0.86603 & 0.50000 & 0 \\ 0 & 0 & 1 \end{bmatrix}$$

d. vectors of the internal forces with respect to the coordinate system XOY:

$$\{E\}_{23} = \begin{Bmatrix} 0 \\ P \\ -0.50000 P \cdot L \end{Bmatrix}$$

$$\{E\}_{32} = \begin{Bmatrix} 0 \\ P \\ 0 \end{Bmatrix}$$

e. vectorii eforturilor la extremitățile barelor:

e. vectors of the internal forces at the end of the bars :

$$\{e\}_{12} = [t]_{012} \cdot \{E\}_{12} = \begin{Bmatrix} -P \\ 0 \\ -0.50000 P \cdot L \end{Bmatrix} = \{e\}_{21}$$

$$\{e\}_{23} = [t]_{023} \cdot \{E\}_{23} = \begin{Bmatrix} -0.86603 P \\ 0.50000 P \\ -0.50000 P \cdot L \end{Bmatrix}$$

$$\{e\}_{32} = [t]_{032} \cdot \{E\}_{32} = \begin{Bmatrix} -0.86603 P \\ 0.50000 P \\ 0 \end{Bmatrix}$$

### E 2.6 ↗

#### Exemplu / Example 2.7

Să se determine starea de eforturi pentru structura din fig.2.36.

a. calculul reacțiunilor:

$$\sum M_1 = 0: \quad V_2 \cdot L + P \cdot L - P/L \cdot L \cdot L/2 - P \cdot L = 0 \Rightarrow V_2 = P/2$$

$$\sum M_2 = 0: \quad V_2 \cdot L + P \cdot L - P/L \cdot L \cdot L/2 - P \cdot L = 0 \Rightarrow V_2 = P/2$$

$$\sum F_x = 0: \quad P - H_1 = 0 \Rightarrow$$

Determine the internal forces for the structure shown in fig.2.36.

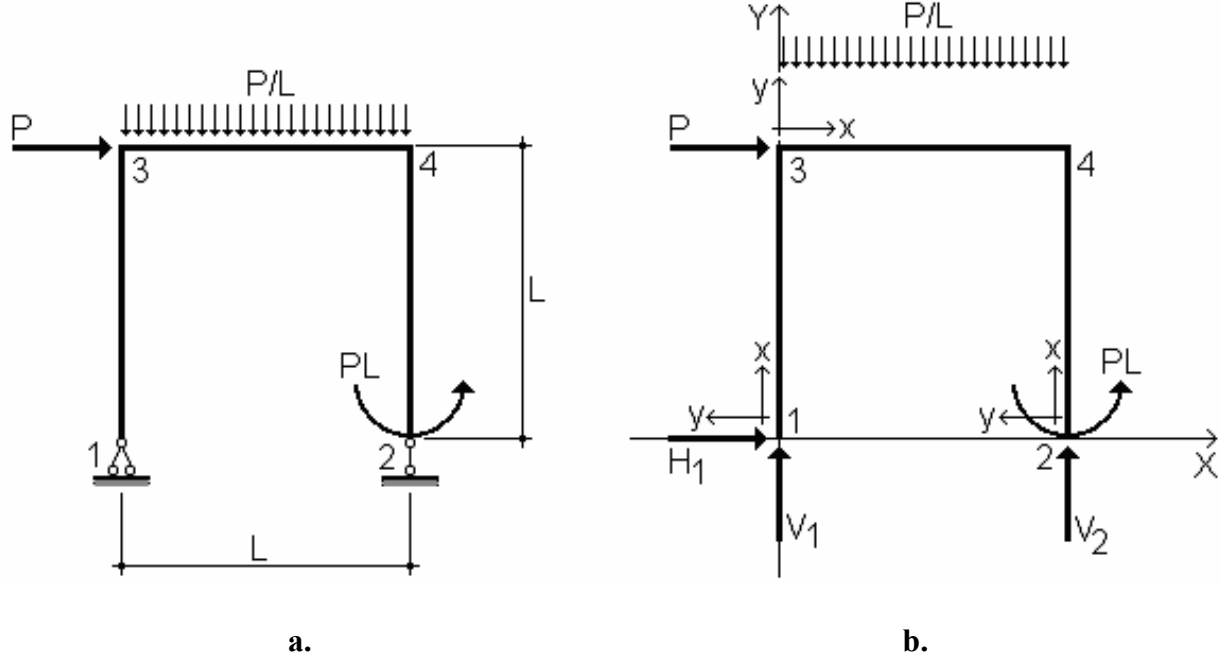
a. calculation of the reactions:

b. verificarea reacțiunilor:

$$\sum F_y = P/2 + P/2 - P/L \cdot L = 0$$

(!)

EFORȚU STRUCTURI STATIC DETERMINATE / INTERNAL FORCES STATICALLY DETERMINATE STRUCTURES



**Fig.2.36**

**Cadru simplu rezemat.**

a. - structura, b. - structura și forțele de legătură

**Simply supported frame.**

a. - structure, b. - structure and reactions at the supports

**c. calculul eforturilor**

$$N_{13} = -P/2$$

$$N_{31} = -P/2$$

$$N_{34} = 0$$

$$N_{43} = 0$$

$$N_{24} = -P/2$$

$$N_{42} = -P/2$$

$$Q_{13} = P$$

$$Q_{31} = P$$

$$Q_{34} = P/2$$

$$Q_{43} = P/2 - P/L \cdot L = -P/2$$

$$Q_{24} = 0$$

$$Q_{42} = 0$$

$$M_{13} = 0$$

$$M_{31} = P \cdot L$$

$$M_{34} = P \cdot L$$

$$M_{43} = P \cdot L - P/L \cdot L \cdot l/2 + P/2 \cdot L = P \cdot L$$

$$M_{24} = P \cdot L$$

$$M_{42} = P \cdot L$$

In fig.2.37 este prezentată starea de eforturi (diagramele de eforturi).

The internal forces' diagrams are shown in fig.2.37.

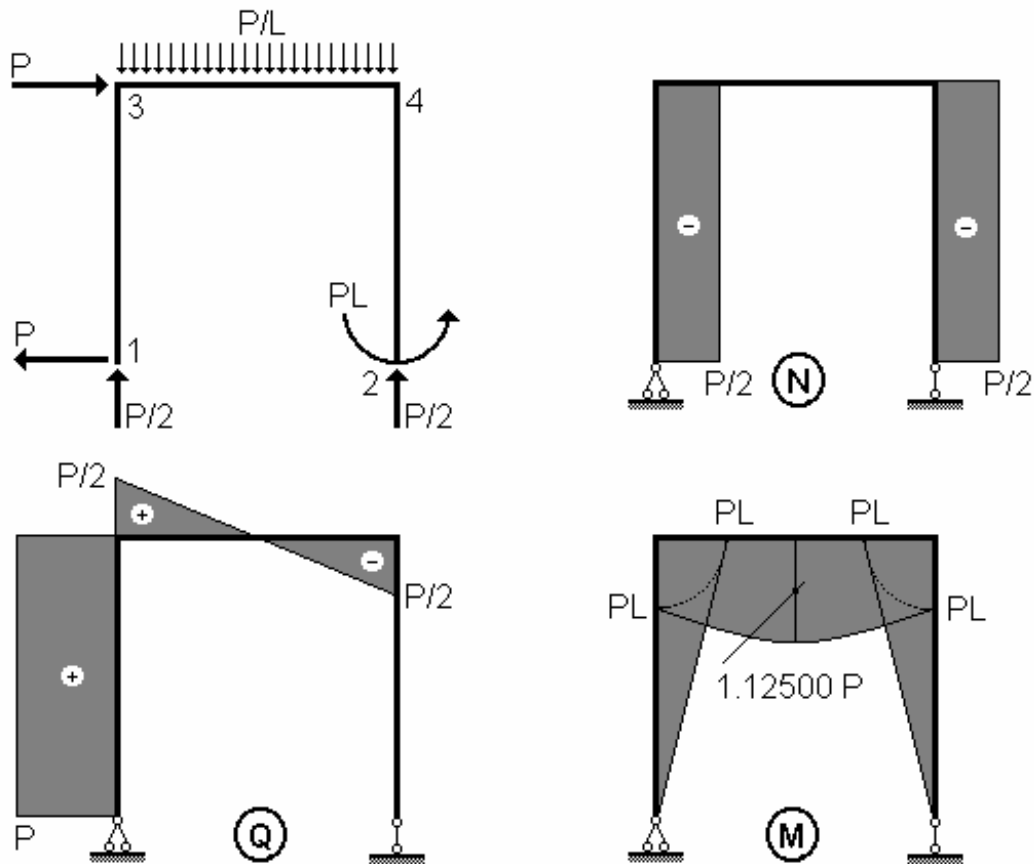


Fig.2.37

Eforturile în cadrul simplu rezemat din fig.2.36.

Internal forces in the simply supported frame in fig.2.36.

d. momentul încovoiector maxim pentru grinda 3-4:

$$M_{\max} = P/2 \cdot L/2 + P \cdot L - P/L \cdot L/2 \cdot L/4 = 1.12500 PL$$

e. verificarea nodului 3, fig.2.38:

$$\sum M_3 = P \cdot L - P \cdot L = 0 \quad (!)$$

$$\sum F_x = P - P = 0 \quad (!)$$

$$\sum F_y = P/2 - P/2 = 0 \quad (!)$$

d. maximum bending moment in the bar 3-4:

e. verification of the joint 3, fig.2.38:

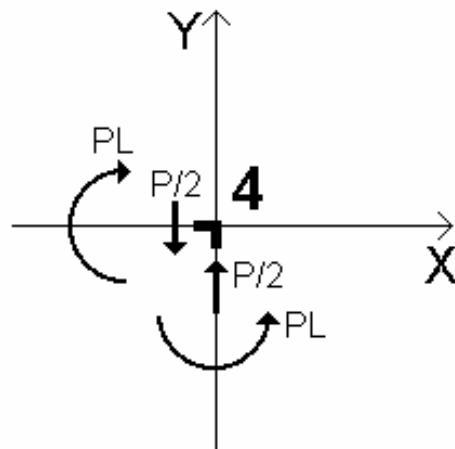
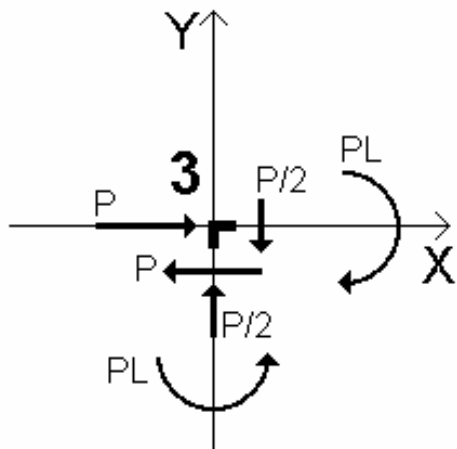
f. verificarea nodului 4, fig.3.38:

$$\sum M_4 = -P \cdot L + P \cdot L = 0 \quad (!)$$

$$\sum F_x = 0 \quad (!)$$

$$\sum F_y = P/2 - P/2 = 0 \quad (!)$$

f. verification of the joint 4, fig.2.38:



**Fig.2.38**

**Echilibrul nodurilor.**

**Joints equilibrium.**

**E 2.7 ↗**

**Exemplu / Example 2.8**

Să se determine starea de eforturi pentru structura din fig.2.39.

a. calculul reacțiunilor, fig.2.40:

$$\sum M_A = 0: R_4 \cdot (3 + 3/\cos 45^\circ) - 10 \cdot (3 + 3 \cdot \cos 45^\circ) \cdot (3 + 3 \cdot \cos 45^\circ)/2 + 50 + 30 \cdot 2 = 0 \\ R_4 = 19.48731 \text{ KN}$$

$$\sum M_B = 0: V_2 \cdot (3/\cos 45^\circ + 3)/\cos 45^\circ - 30 \cdot 2 + 50 + 10 \cdot (3 + 3/\cos 45^\circ) \cdot ((3/\cos 45^\circ + 3)/\cos 45^\circ - (3 + 3/\cos 45^\circ)) = 0 \\ V_2 = 37.43359 \text{ KN}$$

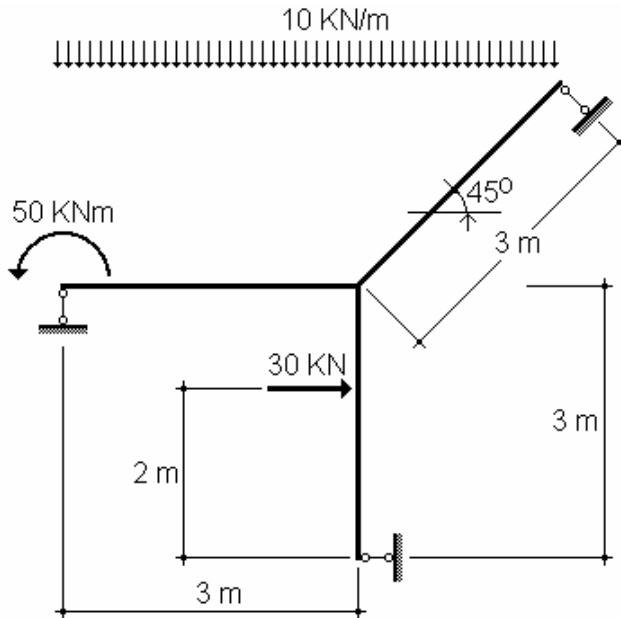
$$\sum M_C = 0: H_1 \cdot (3/\cos 45^\circ + 3)/\cos 45^\circ + 50 + 30 \cdot ((3/\cos 45^\circ + 3)/\cos 45^\circ - 2) - 10 \cdot (3 + 3 \cdot \cos 45^\circ) \cdot (3 + 3 \cdot \cos 45^\circ)/2 = 0 \\ H_1 = -16.22039 \text{ KN}$$

b. verificarea reacțiunilor:

$$\sum F_x = -16.22039 - 19.48731 \cdot \cos 45^\circ - 30 = 0 \quad (!)$$

$$\sum F_y = -10 \cdot (3 + 3/\cos 45^\circ) + 37.43359 + 19.48731 \cdot \cos 45^\circ = 0 \quad (!)$$

**Verificare:**



**Fig.2.39**

**Structură simplu rezemată.**

**Simply supported structure.**

c. calculul eforturilor, fig.2.40 și 2.41:

c. calculation of the internal forces, fig.2.40 and 2.41:

$$N_{13} = 0 = N_{31}$$

$$N_{23} = 0 = N_{32}$$

$$N_{43} = 0$$

$$N_{34} = -10 \cdot 3 \cdot \cos 45^\circ \cdot \cos 45^\circ = -15.00000 \text{ KN}$$

$$Q_{13} = 16.22039 \text{ KN} = Q_{D13}$$

$$Q_{31} = -13.77961 \text{ KN} = Q_{D31}$$

$$Q_{23} = 37.43359 \text{ KN}$$

$$Q_{32} = 37.43359 - 10 \cdot 3 = 7.43359 \text{ KN}$$

$$Q_{43} = -19.48731 \text{ KN}$$

$$Q_{34} = -19.48731 + 10 \cdot 3 \cdot \cos 45^\circ \cdot \cos 45^\circ = -4.48731 \text{ KN}$$

$$M_{13} = 0$$

$$M_{31} = 16.22039 \cdot 3 - 30 \cdot 1 = 18.66117 \text{ KN}$$

$$M_{D31} = 32.44078 \text{ KNm} = M_{D13}$$

$$M_{23} = 50.00000 \text{ KN}$$

$$M_{32} = 50.00000 + 37.43359 \cdot 3 - 10 \cdot 3 \cdot 1.5 = 17.30077 \text{ KN}$$

$$M_{43} = 0$$

EFORȚU STRUCTURI STATIC DETERMINATE / INTERNAL FORCES STATICALLY DETERMINATE STRUCTURES

$$M_{34} = 19.48731 \cdot 3 - 10 \cdot 3 \cdot \cos 45^\circ \cdot 3 \cdot \cos 45^\circ / 2 = 35.96194 \text{ KNm}$$

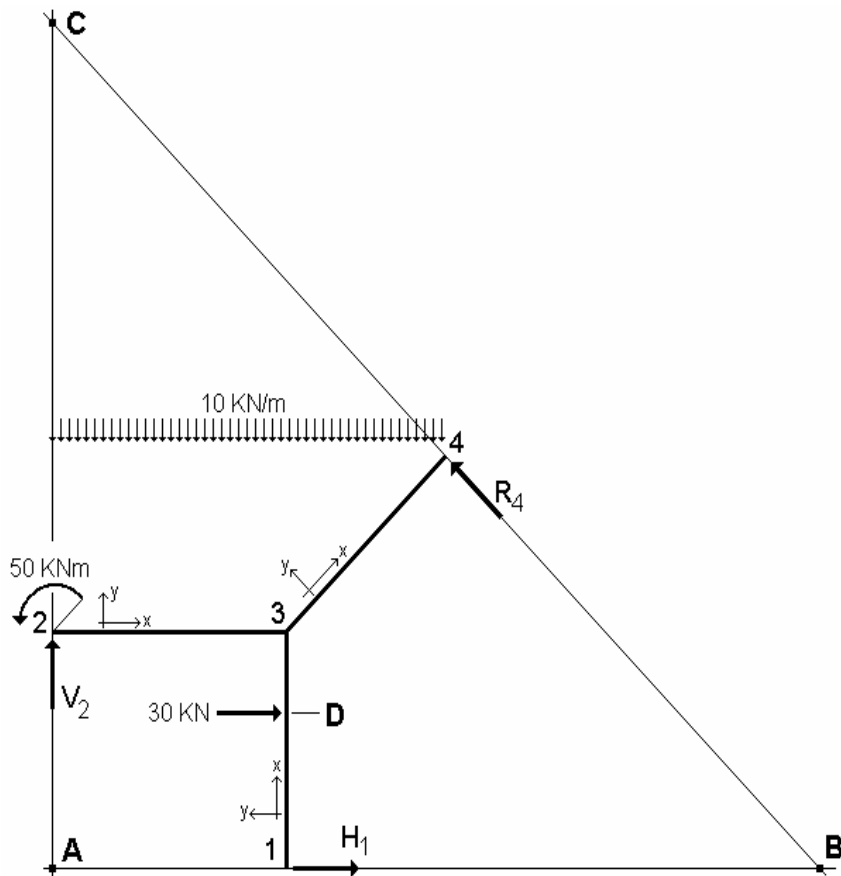


Fig.2.40

Structura, acțiunile și forțele de legătură.

Structure, loads and reactions at the supports.

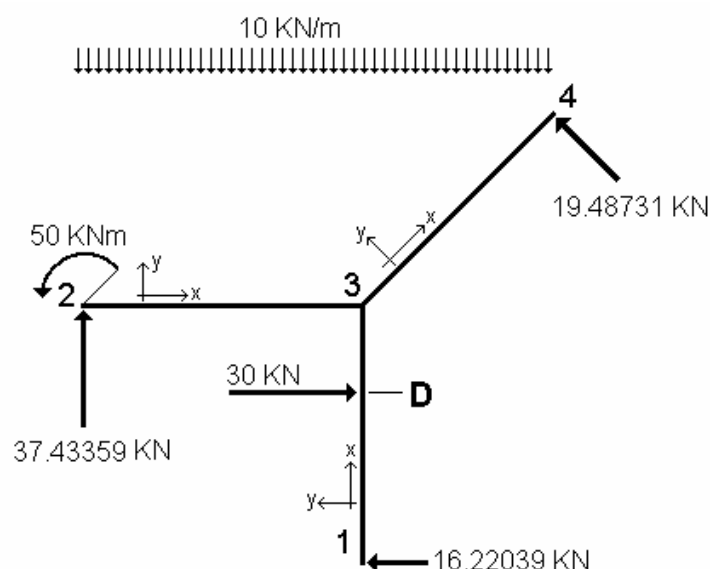


Fig.2.41

**Acțiunile și forțele de legătură.**

In figurile 2.42 și 2.43 este prezentată starea de eforturi pentru fiecare bară a structurii.

**Loads and reactions at the supports.**

Figures 2.42 and 2.43 show the internal forces for each bar of the structure.

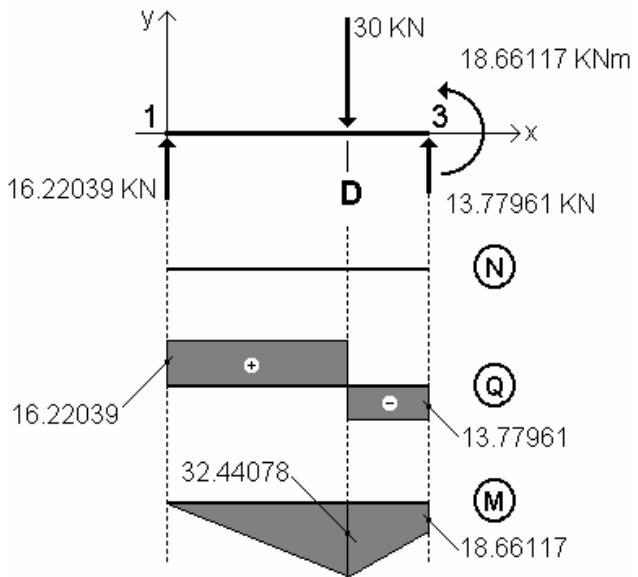
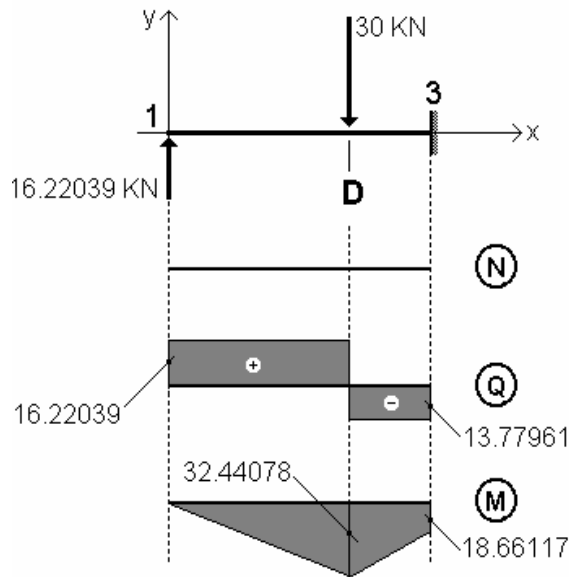


Fig.2.42

**Eforturile în bara 1-3.**

- bara considerată încastrată în structură,
- bara decupată, cu efectele structurii îndepărtate

**Internal forces in bar 1-3.**

- bar clamped to the structure,
- isolated bar with the effects of the removed structure

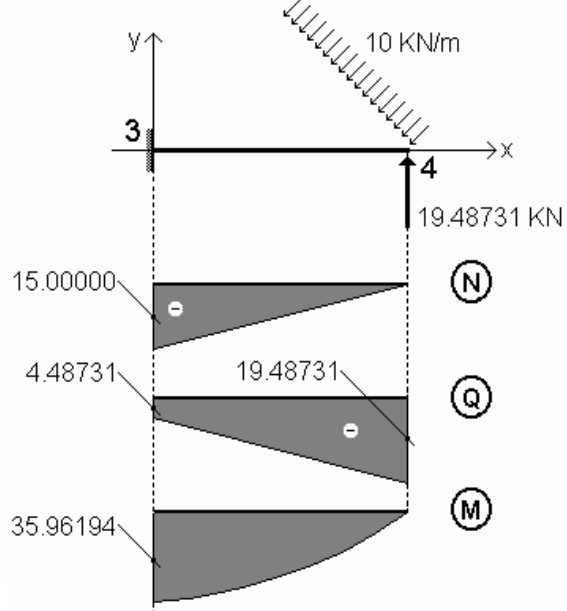
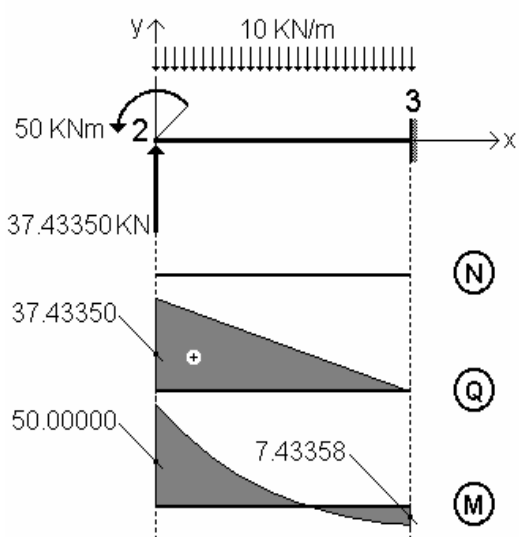


Fig.2.43

**Eforturi în barele 2-3 și 3-4.**

d. verificarea nodului 3, fig.2.44:

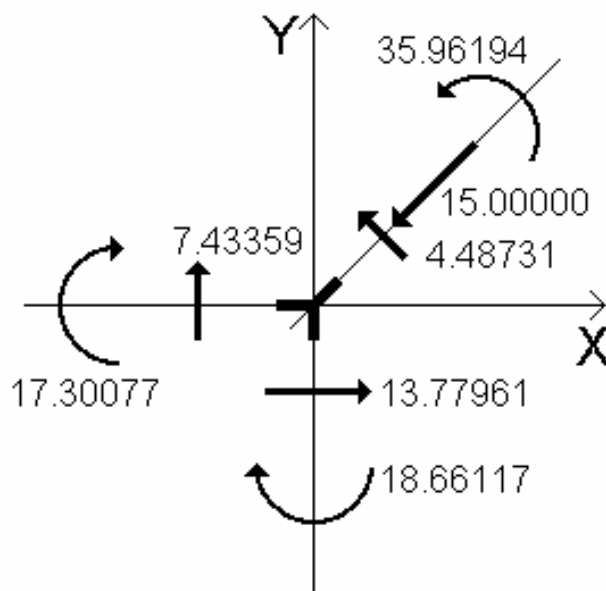
$$\sum M_3 = 17.30077 - 35.96194 + 18.66117 = 0 \quad (!)$$

$$\sum F_x = 13.77961 - 4.48731 \cdot \cos 45^\circ - 15.00000 \cdot \cos 45^\circ = 0 \quad (!)$$

$$\sum F_y = 7.43359 + 4.48731 \cdot \cos 45^\circ - 15.00000 \cdot \cos 45^\circ = 0 \quad (!)$$

**Internal forces in the bars 2-3 and 3-4.**

d. verification of joint 3, fig.2.44:



**Fig.2.44**

**Echilibrul nodului 3.**

**Equilibrium of joint 3.**

**E 2.8 ↗**

**Exemplu / Example 2.9**

Să se determine starea de eforturi pentru cadrul cu trei articulații din fig.2.45.a.

a. calculul reacțiunilor, fig.2.45.b:

$$\begin{aligned} \sum M_1 = 0: \quad V_2 \cdot 2L + pL^2 - pL \cdot 3/2L - p \cdot L \cdot L/2 - 2pL \cdot L/2 &= 0 \\ V_2 &= pL \end{aligned}$$

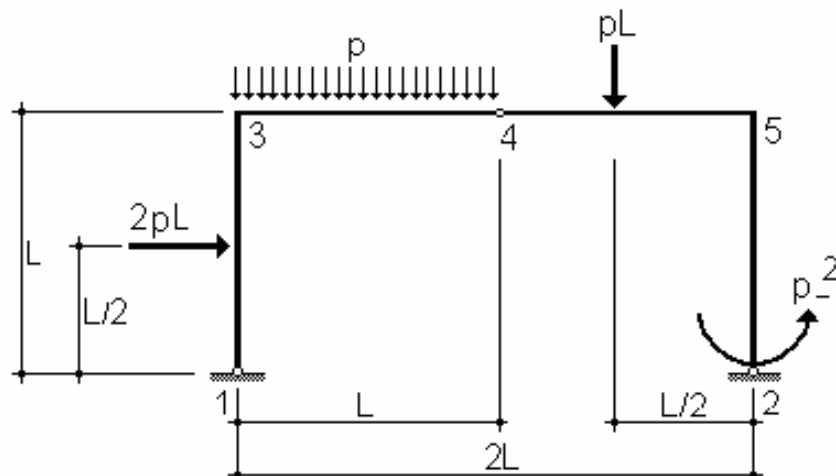
$$\begin{aligned} \sum M_2 = 0: \quad -V_1 \cdot 2L - 2pL \cdot L/2 + p \cdot L \cdot 3/2L + pL \cdot L/2 + pL^2 &= 0 \\ V_1 &= pL \end{aligned}$$

Determine the internal forces in the three-pinned frame shown in fig.2.45.a.

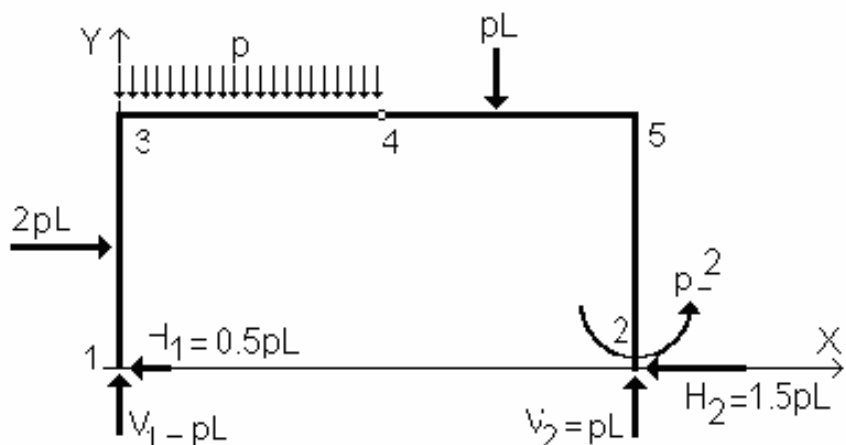
b. calculation of the reactions, fig.2.45.b:

$$\sum M_{41} = 0: \quad -H_1 \cdot L - pL \cdot L/2 + p \cdot L \cdot L/2 = 0 \\ H_1 = pL/2$$

$$\sum M_{42} = 0: \quad -H_2 \cdot L + pL \cdot L + pL^2 - pL \cdot L/2 = 0 \\ H_2 = 3/2 pL$$



a.



b.

**Fig.2.45**

**Cadru cu trei articulații.**

a.- structura, b - acțiunile și reacțiunile.

**Three pinned frame.**

a. - structure, b. - loads and reactions at supports.

**b. verificarea reacțiunilor:**

$$\sum F_x = 2pL - 0.5pL - 1.5pL = 0 \quad (!)$$

$$\sum F_y = pL + pL - p \cdot L - pL = 0 \quad (!)$$

In fig.2.46 este reprezentată starea de eforturi pentru cadrul cu trei articulații din fig.2.45.

Fig.2.46 shows the internal forces in the three pinned frame in fig 2.45.

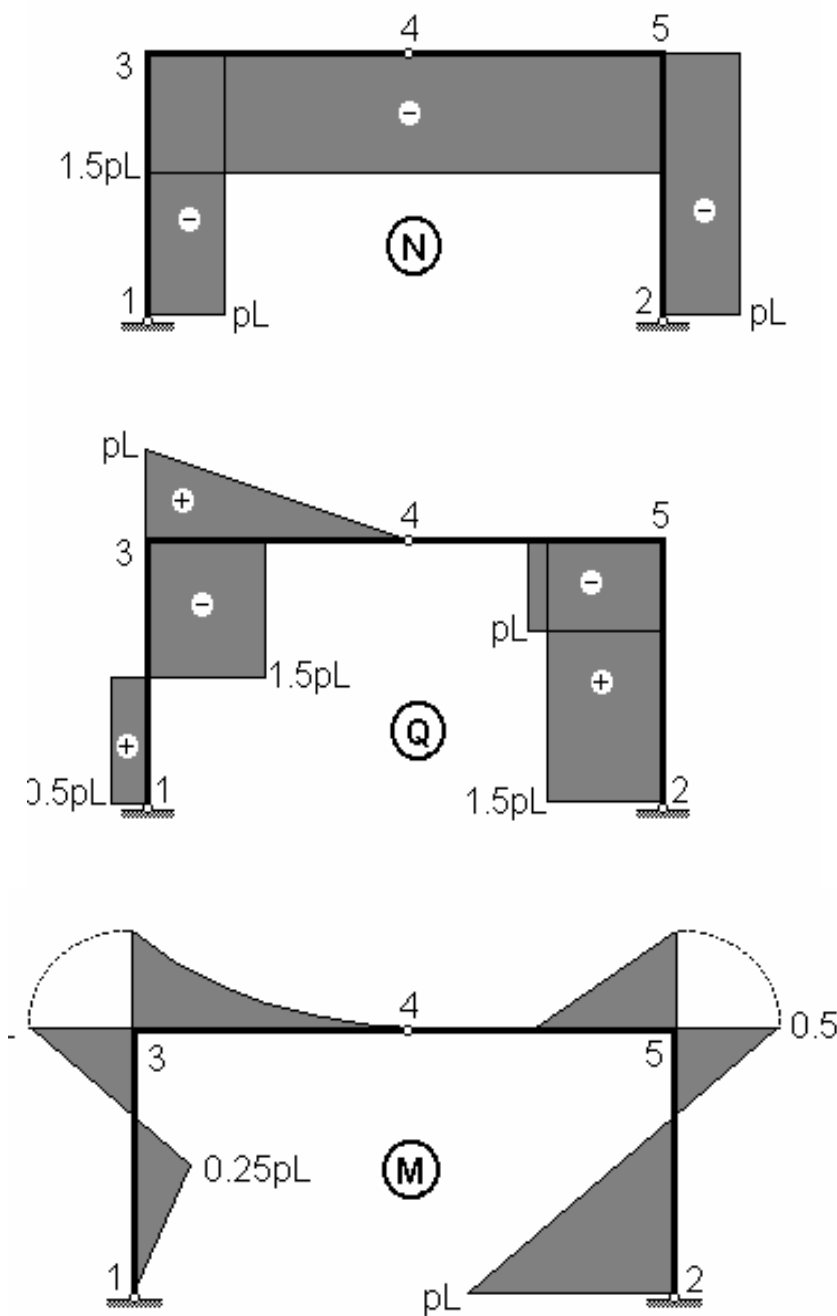


Fig.2.46

Eforturile din cadrul cu trei articulații  
din fig.2.45.

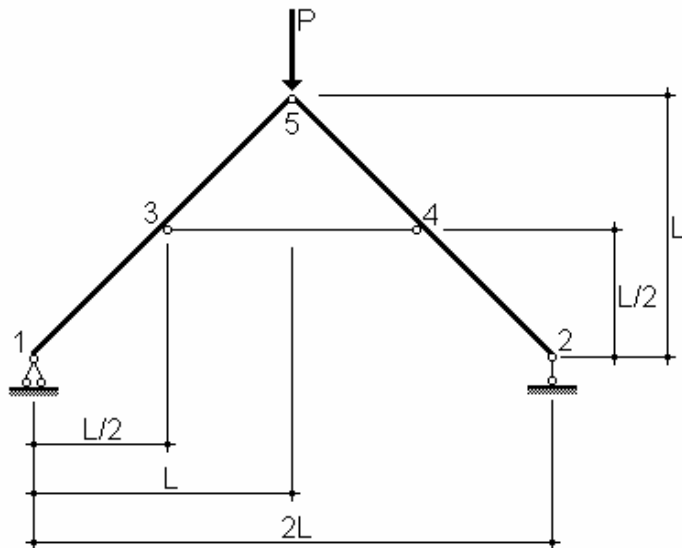
Internal forces of the three pinned frame  
in fig 2.45.

**E 2.9**

**Exemplu / Example 2.10**

Să se reprezinte starea de eforturi pentru structura cu tirant din fig.2.47.

Draw the internal forces' diagrams for the structure with a tie-rod shown in fig.2.47.



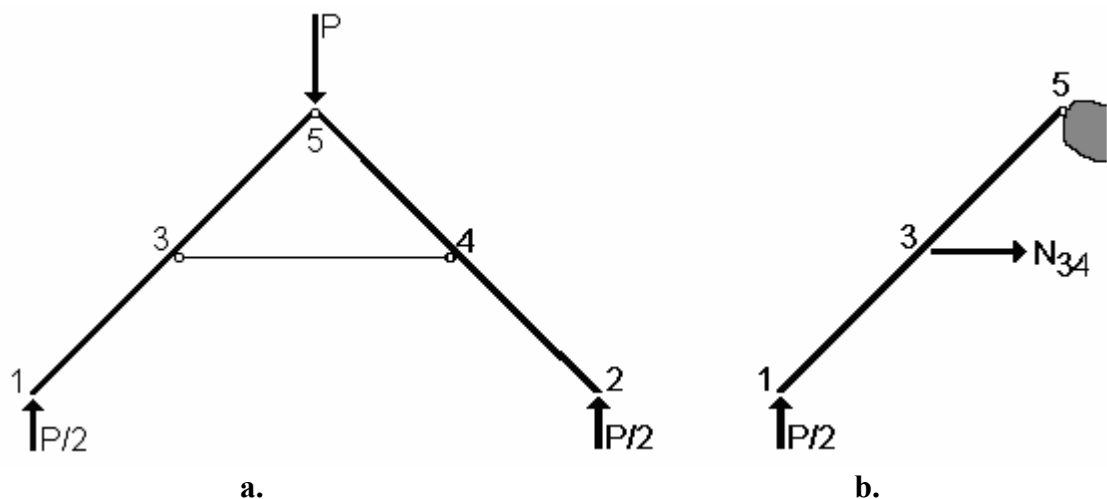
**Structură cu tirant.**

**Fig.2.47**

**Structure with a tie-rod.**

Reacțiunile structurii sunt prezentate în fig.2.48.a.

The reactions of the structure are shown in fig.2.48.a.



**Fig.2.48**

**Acțiuni, reacțiuni și efortul din tirant.**  
a. - reacțiunile din rezeme, b. - echilibru  
tronsonului 1-3-5

**Load, reactions at supports and force in  
the tie-rod.**  
a. - reactions at supports, b. - equilibrium  
of part 1-3-5

a. calculul efortului din tirant 3-4, fig.2.48.b:

$$\sum M_{5-1} = 0: \quad N_{34} \cdot L/2 - P/2 \cdot L = 0 \\ N_{34} = P$$

Pentru a determina efortul din tirantul 3-4 există, de asemenea, posibilitatea de a scrie echilibrul pentru tronsonul 2-4-5.

In fig.2.49 este prezentată starea de eforturi a structurii cu tirant din fig.2.47.

a. calculation of the force in the tie-rod 3-4,  
fig.2.48.b:

In order to calculate the force in the tie-rod 3-4, the equilibrium of the part 2-4-5 can also be considered.

Fig.2.49 shows the internal forces in the structure with the tie-rod in fig.2.47.

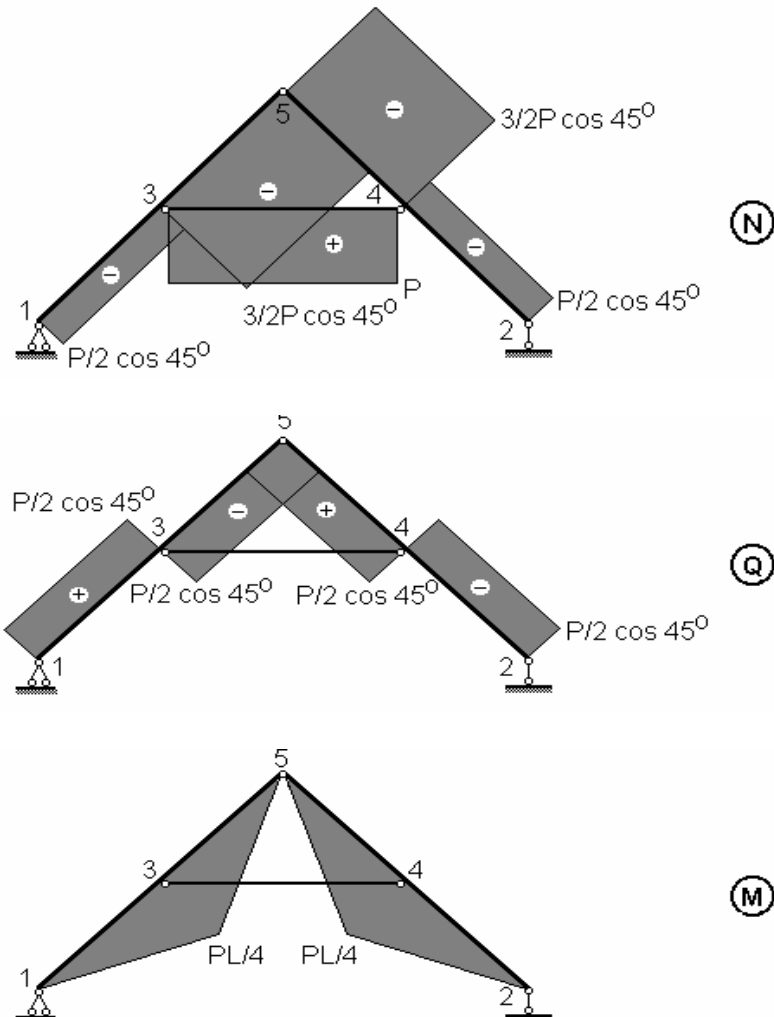


Fig.2.49

Eforturile din structura cu tirant din  
fig.2.47.

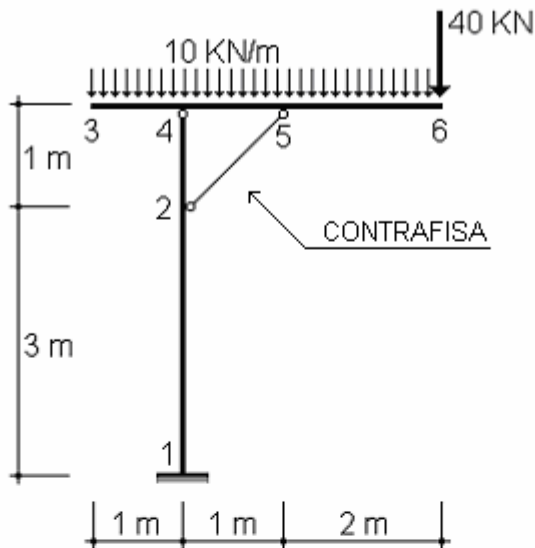
Internal forces in the structure with  
the tie-rod in fig 2.47.

E 2.10 ↗

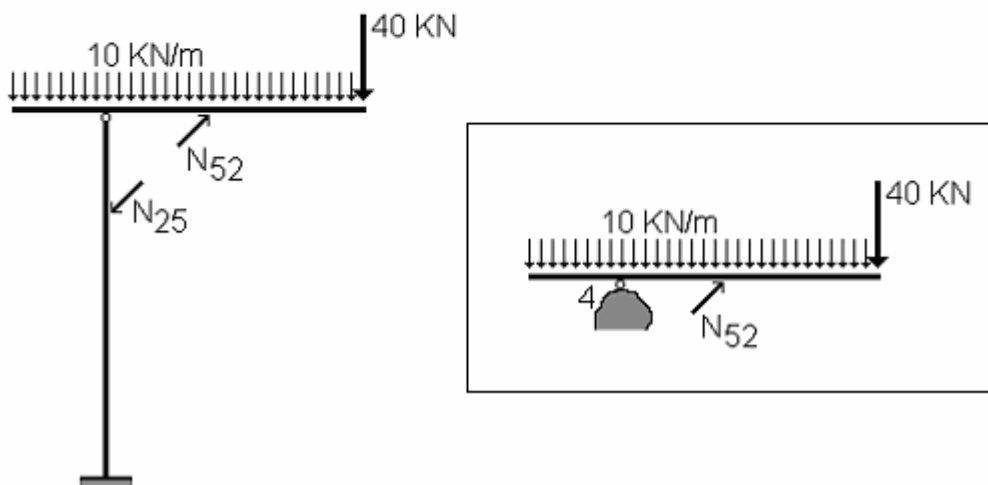
Exemplu / Example 2.11

Să se reprezinte starea de eforturi pentru structura cu o contrafișă din fig.2.50.a.

Draw the internal forces' diagrams for the structure with a strut shown in fig.2.50.a.



a.



b.

Structură cu contrafișă.  
Structure with strut.

Fig.2.50

Structure with strut.

a. calculul efortului din contrafișă 2-5,  
fig.2.50.b

a. calculation of the force in the strut 2-5,  
fig.2.50.b:

$$\sum M_{4(3-6)} = 0: \quad -10 \cdot 4 \cdot (2-1) - 40 \cdot 3 + N_{25} \cdot 1 \cdot \cos 45^\circ = 0 \\ N_{25} = 226.27417 \text{ KN}$$

In fig.2.51 este prezentată starea de eforturi din structura cu contrafișă din fig.2.50.

Fig.2.51 shows the internal forces in the structure with a strut in fig.2.50.

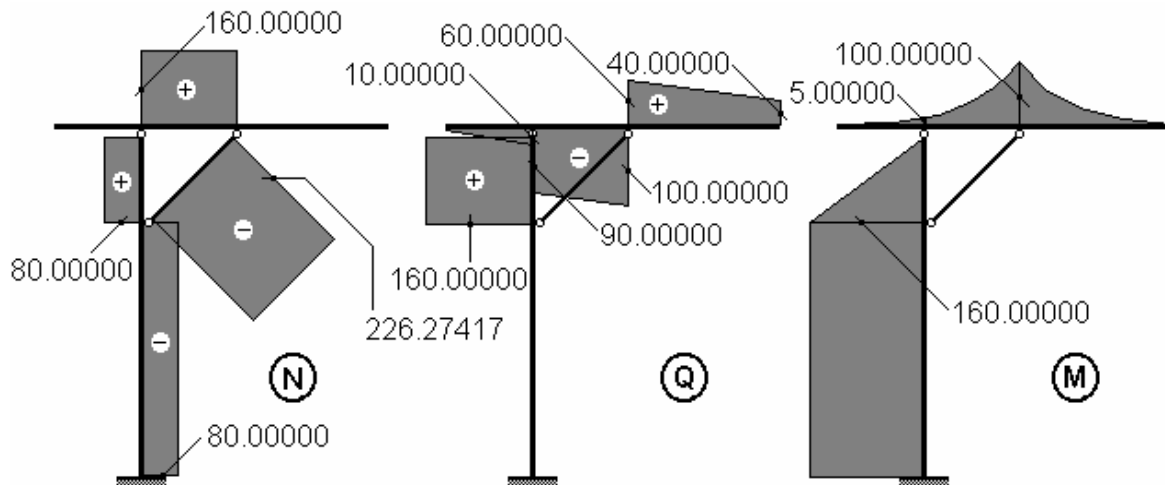


Fig.2.51

Eforturile structurii cu contrafișă din fig.2.50.

Internal forces in the structure with strut in fig 2.50.

### E 2.11 ⚡

#### Exemplu / Example 2.12

Să se reprezinte starea de eforturi pentru structura compusă din fig.2.52.

Pentru a determina forțele de legătură din structură, există două posibilități:

- descompunerea structurii în sisteme secundare și principale, fig.2.53;
- echilibrul ansamblului și echilibrul pentru toate substructurile sale, fig.2.54.

In primul caz, se determină reacțiunile pentru sistemul secundar (3-5-6) și apoi pentru sistemul principal (1-2-3-4), folosind următoarele ecuații de echilibru:

Draw the internal forces for the compound structure shown in fig.2.52.

There are two options to calculate the reactions in the structure:

- breaking up the structure in secondary and principal systems, fig.2.53;
- equilibrium of the whole structure and equilibrium of all its subsystems, fig.2.54.

In the first case, the reactions of the secondary system are calculated (3-5-6) followed by the reactions of the principal system (1-2-3-4), by using the following equations of equilibrium:

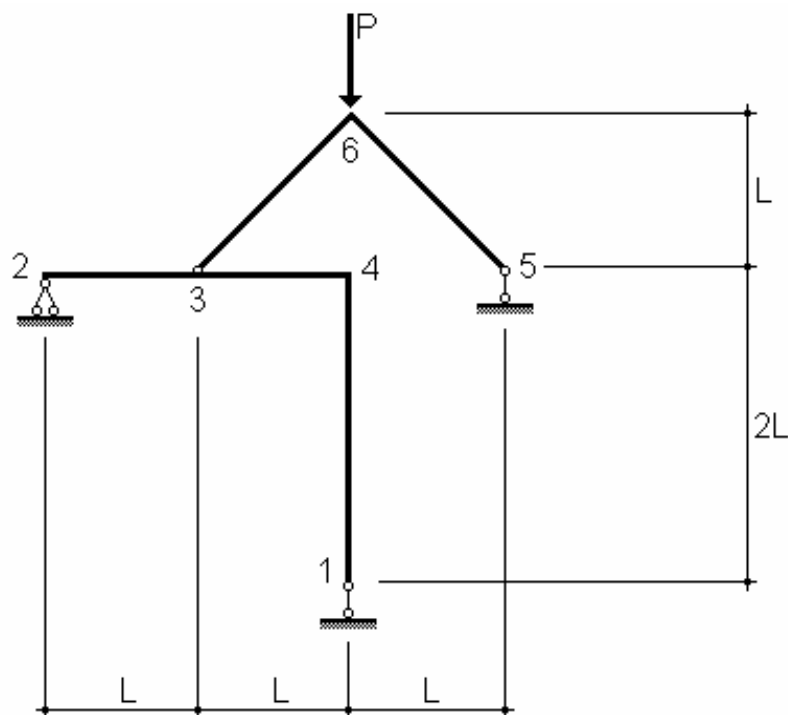
a. pentru sistemul secundar (3-5-6):

$$\sum M_3 = 0: \quad V_5 \cdot 2 \cdot L - P \cdot L = 0 \\ V_5 = P/2$$

$$\sum M_5 = 0: \quad V_3 \cdot 2 \cdot L + P \cdot L = 0 \\ V_3 = P/2$$

$$\sum F_x = 0: \quad H_3 = 0$$

a. for the secondary system (3-5-6):



**Structură compusă.**

**Fig.2.52**

**Compound structure.**

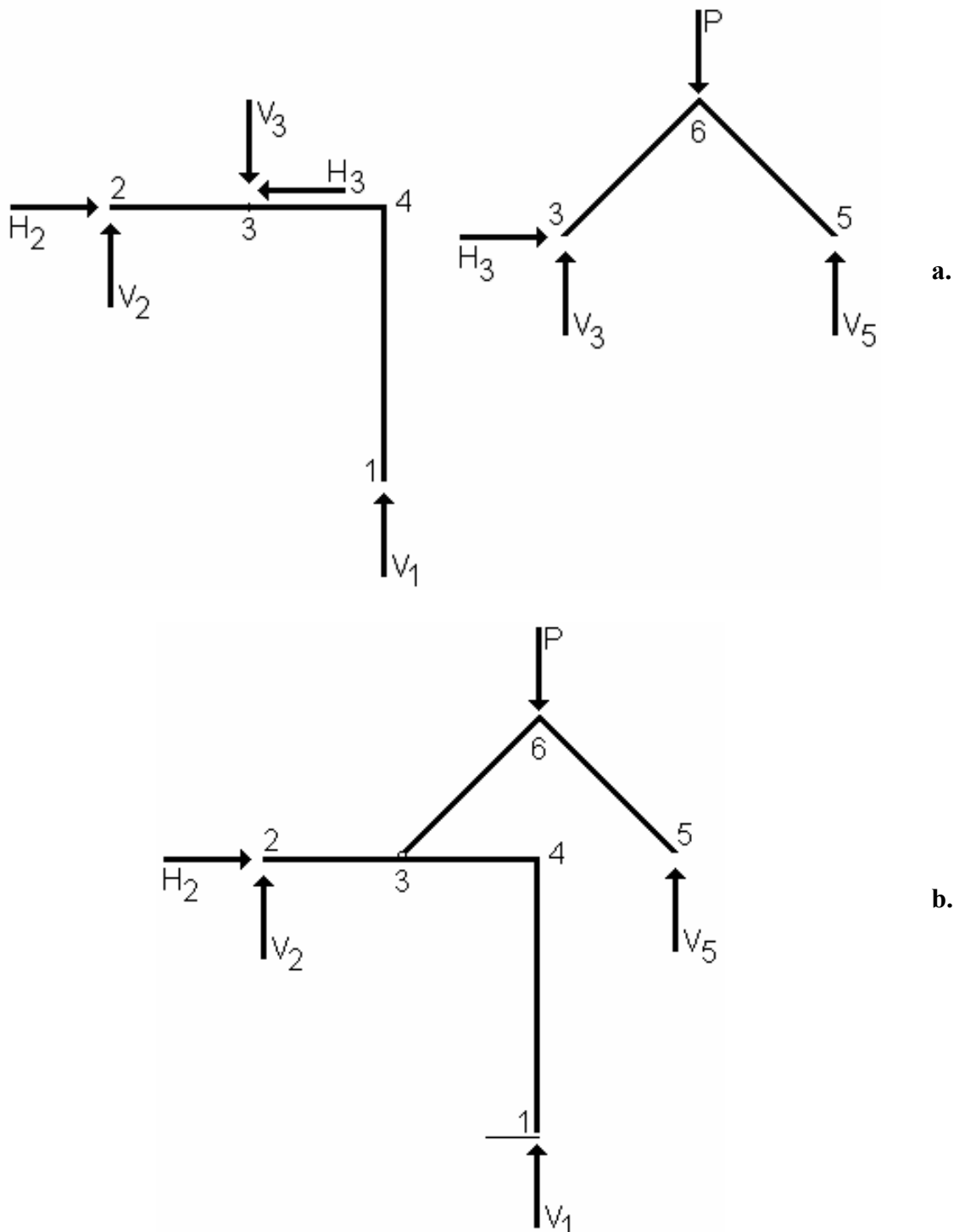
b. pentru sistemul principal (1-2-3-4) :

b. for the principal system (1-2-3-4):

$$\sum M_2 = 0: \quad V_1 \cdot 2 \cdot L - P/2 \cdot L = 0 \\ V_1 = P/4$$

$$\sum M_1 = 0: \quad -V_2 \cdot 2 \cdot L + P/2 \cdot L = 0 \\ V_2 = P/4$$

$$\sum F_x = 0: \quad H_2 = 0$$



**Fig.2.53**

**Calculul reacțiunilor pentru structura din fig.2.52.**

- a. - descompunerea structurii în sisteme secundare și principale, b. - echilibrul ansamblului și echilibrul pentru toate substructurile sale

**Calculation of the reactions of the structure in fig. 2.52.**

- a. - breaking up the structure in secondary and principal systems,
- b. - equilibrium of the whole structure and equilibrium of all its subsystems

**EFORȚURI STRUCTURI STATIC DETERMINATE / INTERNAL FORCES STATICALLY DETERMINATE STRUCTURES**

Pentru ansamblu, se utilizează următoarele ecuații de echilibru:

$$\sum M_3 = 0: \quad V_5 \cdot 2 \cdot L - P \cdot L = 0 \\ V_5 = P/2$$

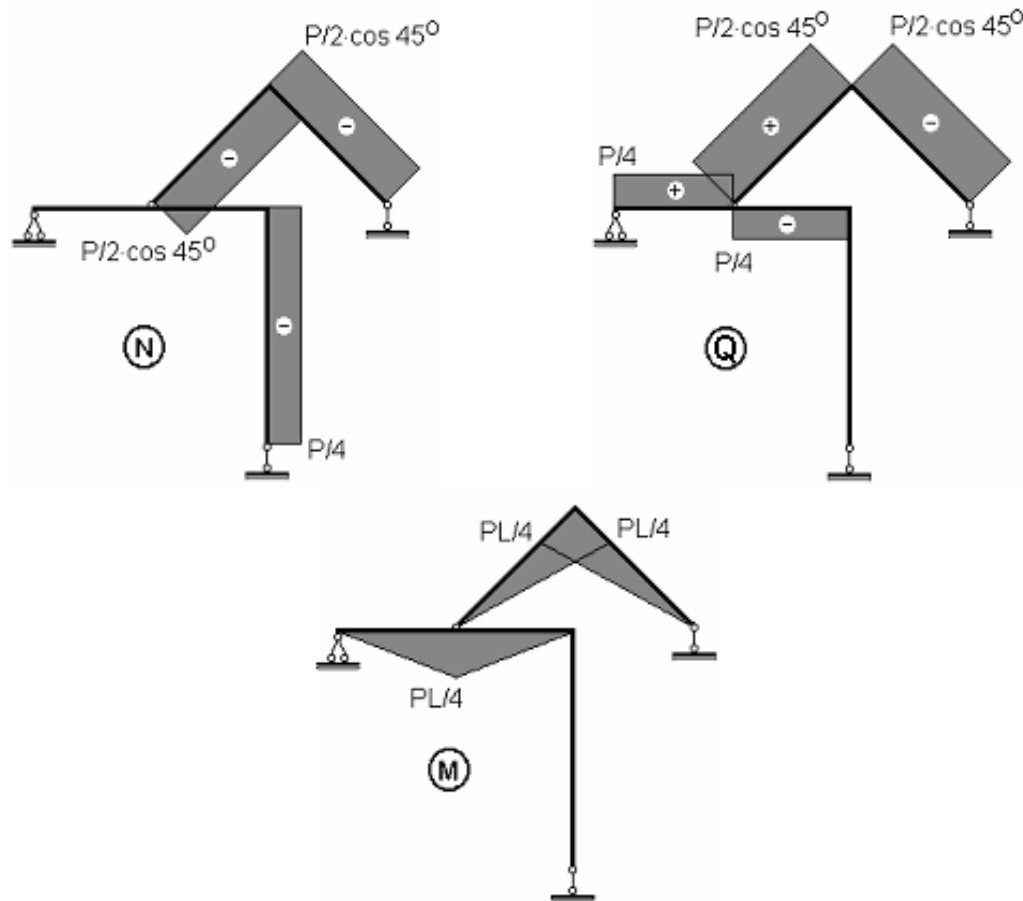
$$\sum M_2 = 0: \quad V_1 \cdot 2 \cdot L - P \cdot 2 \cdot L + P/2 \cdot 3 \cdot L = 0 \\ V_1 = P/4$$

$$\sum F_x = 0: \quad H_2 = 0$$

In fig.2.54 este prezentată starea de eforturi a structurii compusă din fig.2.52.

For the whole structure, the following equations of equilibrium can be used:

Fig.2.54 shows the internal forces in the compound structure in fig.2.52.



**Fig.2.54**

**Eforturile în structura compusă din fig.2.52.**

**Internal forces in the compound structure in fig.2.52.**

**E 2.12 ↗**

## 2.4 BARE CURBE SI ARCE

In raport cu alte structuri, la care dacă se cunosc eforturile la extremitățile barelor se pot reprezenta diagramele de eforturi, la barele curbe acest lucru este dificil, deoarece eforturile depind de încărcare și raza de curbură (vezi relațiile diferențiale 1.13 .... 1.14).

In consecință, vom diviza barele în tronsoane, numite **bolțari**, la extremitățile cărora vom calcula eforturile. Forma diagramei este aproximată, în lungul barei, printr-o linie dreaptă sau o curbă.

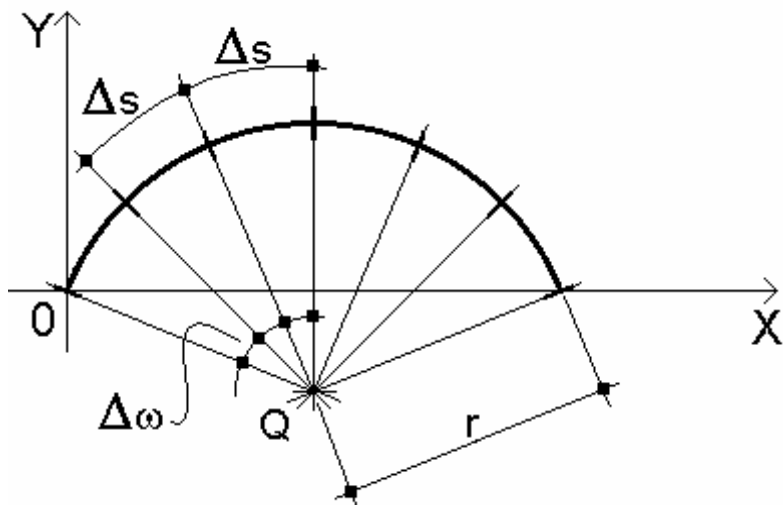
Divizarea în tronsoane se realizează pe axul curb în tronsoane echidistante, fig.2.55.

## 2.4 CURVED BARS AND ARCHES

Compared to other structures for which the internal forces' diagrams can be drawn if the internal forces at the end of the bars are known, in the case of curved bars this is difficult to perform since these forces depend on the loading and the radius of curvature (see the differential relationships 1.13...1.14).

Consequently, the bars are divided into elements, called **voussoirs**, at the ends of which the internal forces will be calculated. The shape of the internal forces' diagram is approximated along the bar by a straight line or a curve.

The division into elements is carried out on the curved axis, into equidistant elements, fig.2.55.



**Divizarea în tronsoane pe axul curb.**

**Fig.2.55**

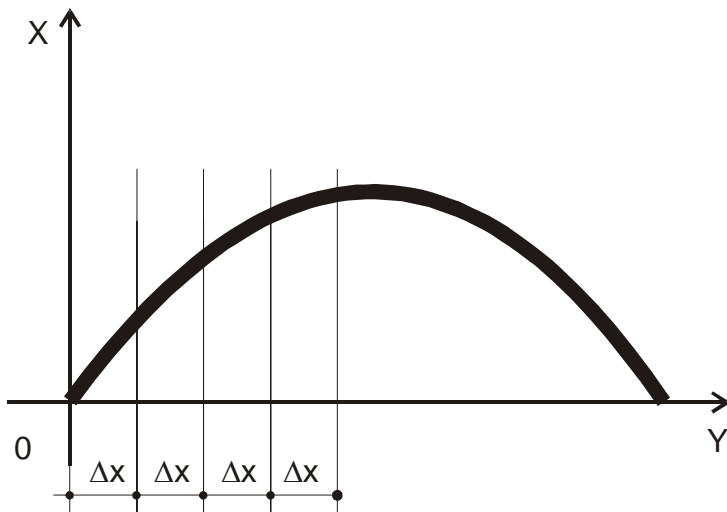
**Division in elements on the curved axis.**

La barele curbe care au o formă diferită de cea circulară, divizarea în bolțari egali pe axul curb este mai dificilă și, în consecință, se face divizarea în tronsoane cu pas egal în lungul abscisei, fig.2.56.

In the case of curved bars with a shape different from the circular one, the division into equal voussoirs on the curved axis is more difficult to be done, consequently the division into elements is carried out at equal steps along the abscissa, fig.2.56.

Această procedură este utilizată când axul curbat este dezvoltat în special în lungul axei OX.

This procedure is particularly used when the curved axis is developed along the OX axis.



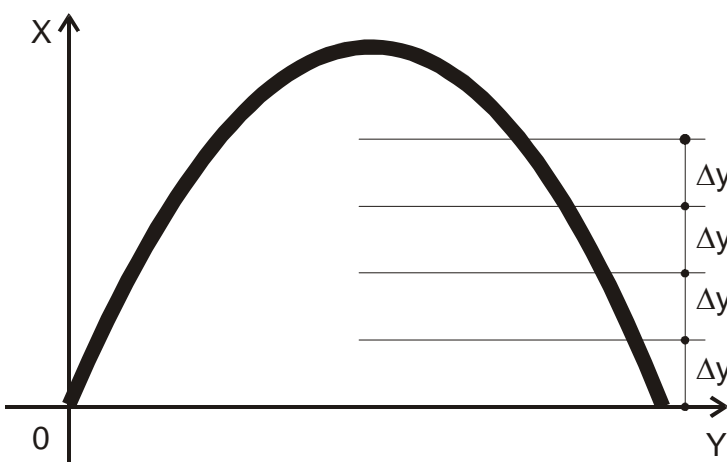
**Fig.2.56**

**Impărțirea în tronsoane - axul curbat este dezvoltat în lungul axei OX.**

**Division into elements - curved axis developed along the OX axis.**

Pentru barele curbe dezvoltate după axa OY, se poate utiliza împărțirea în tronsoane cu pas egal urmărind ordonata, fig.2.57.

In the case of curved bars developed along the OY axis, the division into sections can be carried out along the ordinate, fig.2.57.



**Fig.2.57**

**Impărțirea în tronsoane - axul curbat este dezvoltat în lungul axei OY.**

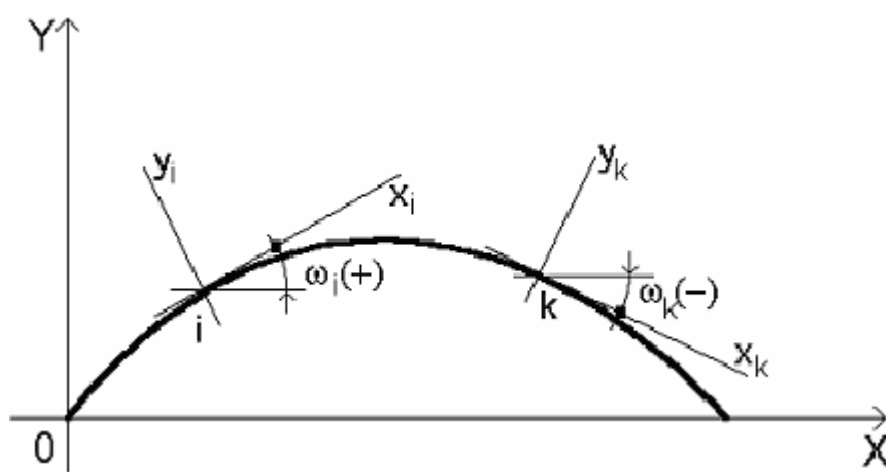
**Division into elements - curved axis developed along the OY axis.**

In domeniul construcțiilor, forma axei curbe a barelor este de obicei un arc de cerc sau o parabolă.

In ceea ce privește eforturile din barele curbe, ținând cont de definiția lor, în fiecare secțiune caracteristică a barei se stabilește un sistem de axe orientate în lungul tangentei la axul curb al barei, fig.2.58.

In civil engineering structures, the shape of the curved axis of bars is usually a circular arc or a parabola.

As regards to the internal forces in the curved bars, based on their definition, a coordinate system along the tangent to the axis of the curved bar is attached to each characteristic section of the bar, fig.2.58.



**Fig.2.58**

**Sistemul de axe atașat fiecărei secțiuni a unei axe curbe.**

**Coordinate system attached to each section of a curved axis.**

Sistemul de axe atașat fiecărei secțiuni face cu sistemul de axe general XOY un unghi  $\omega$ , care se consideră pozitiv când are sens trigonometric și este negativ când este măsurat în sens orar.

The coordinate system attached to each section forms an angle  $\omega$  with the global coordinate system XOY. This angle is considered positive when it is measured anticlockwise and negative when it is measured clockwise.

In aceste condiții, cea mai simplă metodă de a calcula eforturile este aceea a matricei de transformare unghiulară utilizată, de asemenea, și la alte structuri.

In this case, the simplest method to calculate the internal forces is the angular transformation matrix which is also used for other structures.

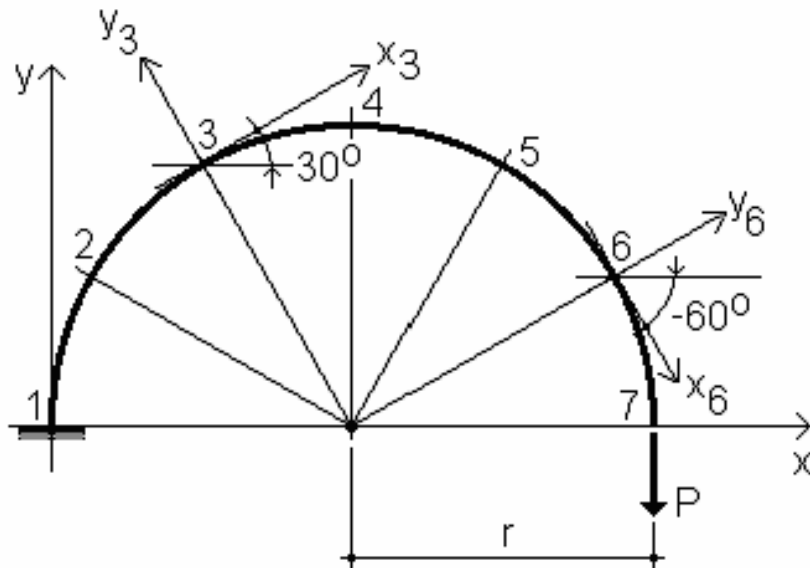
### Exemplu / Example 2.13

Să se determine starea de eforturi pentru bara curbă arc de cerc, prezentată în fig.2.59.

Determine the internal forces in the curved bar - circular arc shown in fig.2.59.

Bara a fost divizată în 6 tronsoane egale, corespunzător unui unghi de 30 de grade.

The bar is divided into 6 equal elements, corresponding to a 30 degree angle.



**Bară curbă încastrată.**

**Fig.2.59**

**Cantilever curved bar.**

Vectorii eforturilor  $N_x$  și  $Q_y$  în raport cu sistemul de axe  $XOY$  au aceeași valoare în toate secțiunile caracteristice:

The vectors of the normal force  $N_x$  and shear force  $Q_y$  with respect to the coordinate system  $XOY$  have the same value at all the characteristic sections:

$$\{E\}_{ij} = \begin{Bmatrix} 0 \\ P \\ M_{ij} \end{Bmatrix}$$

și momentele încovoietoare sunt următoarele:

and the bending moments are the following :

$$M_{76} = 0$$

$$M_{67} = -P \cdot (r - r \cdot \cos 30^\circ) = -0.13397 \cdot P \cdot r = M_{65}$$

$$M_{56} = -P \cdot (r - r \cdot \cos 60^\circ) = -0.50000 \cdot P \cdot r = M_{54}$$

$$M_{45} = -P \cdot r = M_{43}$$

$$M_{34} = -P \cdot (r + r \cdot \cos 60^\circ) = -1.50000 \cdot P \cdot r = M_{32}$$

$$M_{23} = -P \cdot (r + r \cdot \cos 30^\circ) = -1.86603 \cdot P \cdot r = M_{21}$$

$$M_{12} = -P \cdot 2 \cdot r = -2 \cdot P \cdot r$$

a. matricea de transformare unghiulară:

a. angular transformation matrix:

EFORTURI STRUCTURI STATIC DETERMINATE / INTERNAL FORCES STATICALLY  
DETERMINATE STRUCTURES

$$[t]_{07} = \begin{bmatrix} \cos(-90) & -\sin(-90) & 0 \\ \sin(-90) & \cos(-90) & 0 \\ 0 & 0 & 1 \end{bmatrix} = \begin{bmatrix} 0 & 1 & 0 \\ -1 & 0 & 0 \\ 0 & 0 & 1 \end{bmatrix}$$

$$[t]_{06} = \begin{bmatrix} \cos(-60) & -\sin(-60) & 0 \\ \sin(-60) & \cos(-60) & 0 \\ 0 & 0 & 1 \end{bmatrix} = \begin{bmatrix} 0.50000 & 0.86603 & 0 \\ -0.86603 & 0.50000 & 0 \\ 0 & 0 & 1 \end{bmatrix}$$

$$[t]_{05} = \begin{bmatrix} \cos(-30) & -\sin(-30) & 0 \\ \sin(-30) & \cos(-30) & 0 \\ 0 & 0 & 1 \end{bmatrix} = \begin{bmatrix} 0.86603 & 0.50000 & 0 \\ -0.50000 & 0.86603 & 0 \\ 0 & 0 & 1 \end{bmatrix}$$

$$[t]_{04} = \begin{bmatrix} \cos 0 & -\sin 0 & 0 \\ \sin(30) & \cos 0 & 0 \\ 0 & 0 & 1 \end{bmatrix} = \begin{bmatrix} 1 & 0 & 0 \\ 0 & 1 & 0 \\ 0 & 0 & 1 \end{bmatrix}$$

$$[t]_{03} = \begin{bmatrix} \cos(30) & -\sin(30) & 0 \\ \sin(30) & \cos(30) & 0 \\ 0 & 0 & 1 \end{bmatrix} = \begin{bmatrix} 0.86603 & -0.50000 & 0 \\ 0.50000 & 0.86603 & 0 \\ 0 & 0 & 1 \end{bmatrix}$$

$$[t]_{02} = \begin{bmatrix} \cos(60) & -\sin(60) & 0 \\ \sin(60) & \cos(60) & 0 \\ 0 & 0 & 1 \end{bmatrix} = \begin{bmatrix} 0.50000 & -0.86603 & 0 \\ 0.86603 & 0.50000 & 0 \\ 0 & 0 & 1 \end{bmatrix}$$

$$[t]_{01} = \begin{bmatrix} \cos(90) & -\sin(90) & 0 \\ \sin(90) & \cos(90) & 0 \\ 0 & 0 & 1 \end{bmatrix} = \begin{bmatrix} 0 & -1 & 0 \\ 1 & 0 & 0 \\ 0 & 0 & 1 \end{bmatrix}$$

**b.** vectorii eforturilor la extremitățile tronsoanelor:

$$\{e\}_{76} = [t]_{07} \cdot \{E\}_{76} = \begin{Bmatrix} P \\ 0 \\ 0 \end{Bmatrix}$$

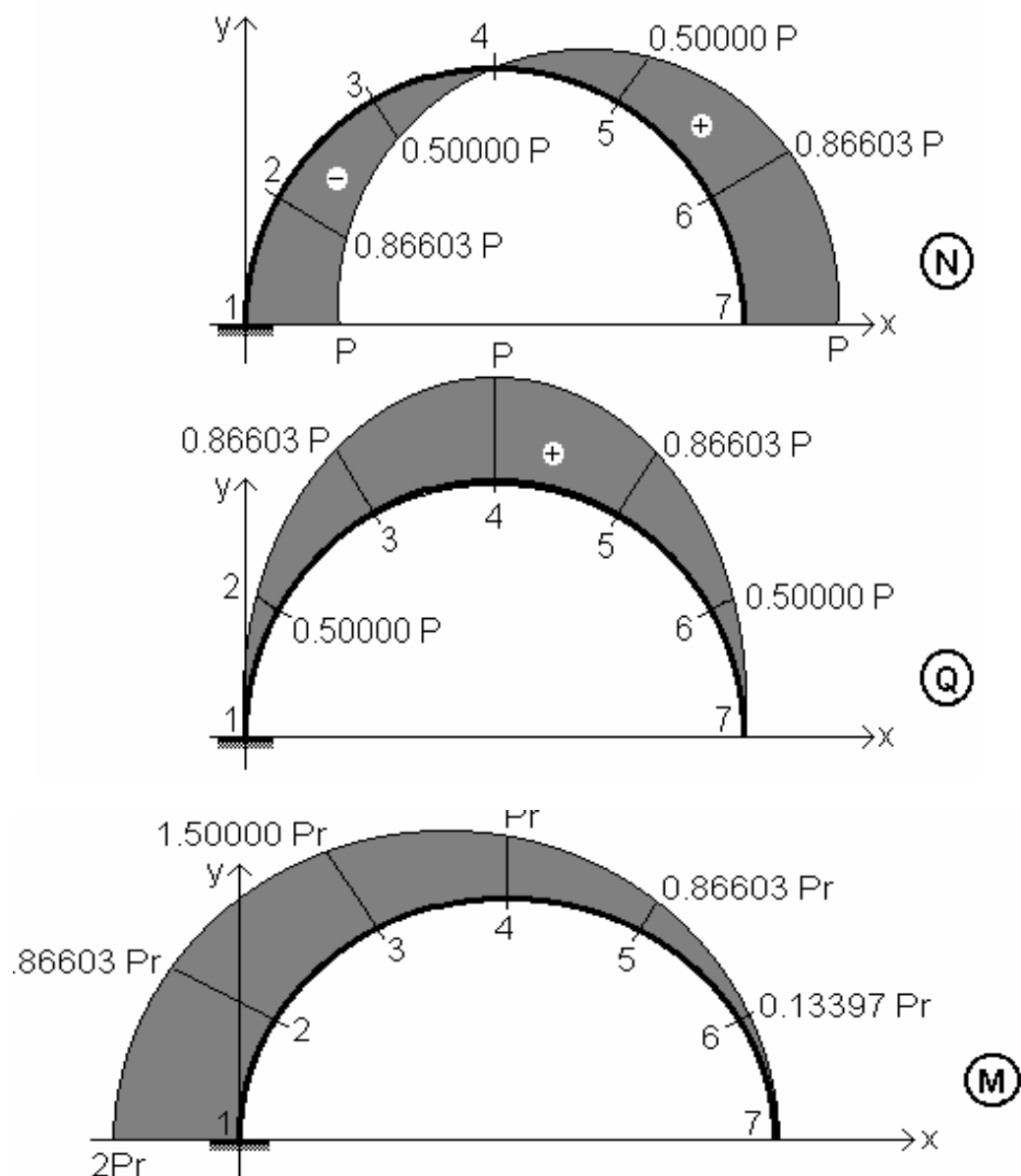
$$\{e\}_{67} = [t]_{06} \cdot \{E\}_{67} = \begin{Bmatrix} 0.86603 P \\ 0.50000 P \\ -0.13397 P \cdot r \end{Bmatrix} = \{e\}_{65}$$

**b.** vectors of the internal forces at the ends of the elements:

$$\{e\}_{56} = [t]_{05} \cdot \{E\}_{56} = \begin{Bmatrix} 0.50000 P \\ 0.86603 P \\ -0.50000 P \cdot r \end{Bmatrix} = \{e\}_{54}$$

In fig.2.60 sunt prezentate diagramele de eforturi, trasate pe axa barei curbe.

Figure 2.60 shows the internal forces' diagrams drawn on the axis of the curved bar.



Eforturile în bara curbă din fig.2.59.

Fig.2.60

Internal forces in the curved bar  
in fig.2.59.

$$\{e\}_{45} = [t]_{04} \cdot \{E\}_{45} = \begin{Bmatrix} 0 \\ P \\ -P \cdot r \end{Bmatrix} = \{e\}_{43}$$

$$\{e\}_{34} = [t]_{03} \cdot \{E\}_{34} = \begin{Bmatrix} -0.50000 P \\ 0.86603 P \\ -1.50000 P \cdot r \end{Bmatrix} = \{e\}_{32}$$

$$\{e\}_{23} = [t]_{02} \cdot \{E\}_{23} = \begin{Bmatrix} -0.86603 P \\ 0.50000 P \\ -1.86603 P \cdot r \end{Bmatrix} = \{e\}_{21}$$

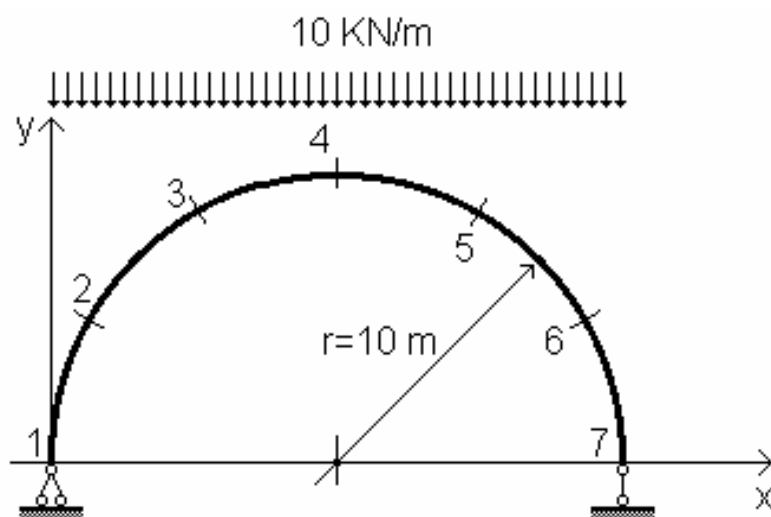
$$\{e\}_{12} = [t]_{01} \cdot \{E\}_{12} = \begin{Bmatrix} -P \\ 0 \\ -2 \cdot P \cdot r \end{Bmatrix} = \{e\}_{21}$$

**E 2.13 ↗**

**Exemplu / Example 2.14**

Să se determine starea de eforturi pentru arcul de cerc, simplu rezemat, prezentat în fig.2.61.

Determine the internal forces in the simply supported circular arc shown in fig. 2.61.



**Fig.2.61**

**Arc de cerc simplu rezemat.**

**Simply supported circular arc.**

Bara a fost împărțită în 6 tronsoane, ca în exemplul 2.13, ceea ce înseamnă că matricele de transformare sunt aceleași.

Cele două reacțiuni din articulația (1) și reazemul simplu (7) sunt egale cu jumătate din sarcina uniform distribuită ( $V_1=V_7=100$  KN).

Din suma proiecțiilor tuturor forțelor în lungul axei OX egală cu zero, rezultă că reacțiunea orizontală din articulație este nulă.

Vectorii eforturilor în raport cu sistemul de axe XOY sunt:

$$\{E\}_{12} = \begin{pmatrix} 0 \\ 100 \\ 0 \end{pmatrix}$$

$$\{E\}_{32} = \begin{pmatrix} 0 \\ 50 \\ 375 \end{pmatrix} = \{E\}_{34}$$

$$\{E\}_{54} = \begin{pmatrix} 0 \\ -50 \\ 375 \end{pmatrix} = \{E\}_{56}$$

$$\{E\}_{76} = \begin{pmatrix} 0 \\ -100 \\ 0 \end{pmatrix}$$

Inmulțind matricea de transformare cu vectorii eforturilor raportate la sistemul de axe XOY, rezultă vectorii eforturilor la extremitățile tronsoanelor:

$$\{e\}_{12} = \begin{pmatrix} -100 \\ 0 \\ 0 \end{pmatrix}$$

The bar was divided into 6 elements as in the example 2.13, which means that the transformation matrices are the same.

The two reactions at the pin support (1) and roller support (7) are equal to half of the total load ( $V_1=V_7=100$  KN).

By considering the summation of all forces along the OX axis equal to zero, the horizontal reaction at the pin support is zero.

The vectors of the internal forces with respect to the coordinate system XOY are:

$$\{E\}_{21} = \begin{pmatrix} 0 \\ 86.60254 \\ 0 \end{pmatrix} = \{E\}_{23}$$

$$\{E\}_{43} = \begin{pmatrix} 0 \\ 0 \\ 500 \end{pmatrix} = \{E\}_{45}$$

$$\{E\}_{65} = \begin{pmatrix} 0 \\ -86.60254 \\ 125 \end{pmatrix} = \{E\}_{67}$$

By multiplying the transformation matrix by the internal forces' vectors with respect to the coordinate system XOY, the internal forces' vectors at the end of the elements are obtained:

$$\{e\}_{21} = \begin{pmatrix} -75.00040 \\ 43.30127 \\ 125.0000 \end{pmatrix} = \{e\}_{23}$$

EFORTURI STRUCTURI STATIC DETERMINATE / INTERNAL FORCES STATICALLY  
DETERMINATE STRUCTURES

$$\{e\}_{32} = \begin{pmatrix} -25.00000 \\ 43.30150 \\ 325.0000 \end{pmatrix} = \{e\}_{34}$$

$$\{e\}_{43} = \begin{pmatrix} 0 \\ 0 \\ 500.00000 \end{pmatrix} = \{e\}_{45}$$

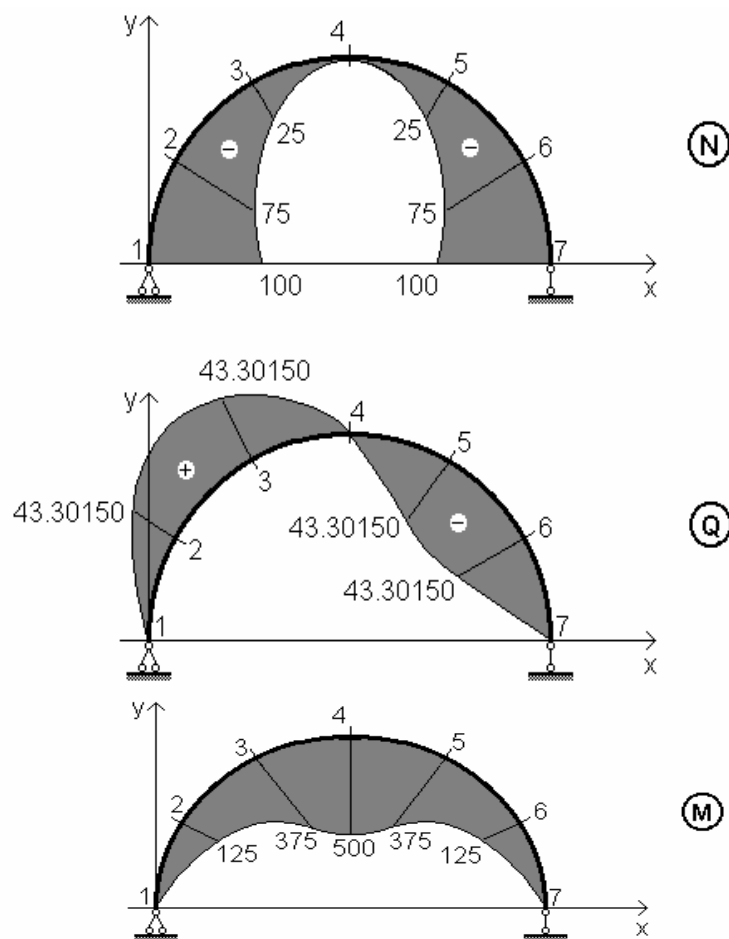
$$\{e\}_{54} = \begin{pmatrix} -25.00000 \\ -43.30150 \\ 375.0000 \end{pmatrix} = \{e\}_{56}$$

$$\{e\}_{65} = \begin{pmatrix} -75.00040 \\ -43.30150 \\ 125.0000 \end{pmatrix} = \{e\}_{67}$$

$$\{e\}_{76} = \begin{pmatrix} -100 \\ 0 \\ 0 \end{pmatrix}$$

In fig.2.62 sunt prezentate diagramele de eforturi pentru bara curbă din fig.2.61.

Fig.2.62 shows the internal forces' diagrams for the curved bar in fig. 2.61.



**Fig.2.62**

Eforturile barei curbe din fig.2.61.

Internal forces in the curved bar in fig.2.61.

**E 2.14 ↗**

De remarcat că:

- dacă o structură simetrică este încărcată cu o sarcină simetrică, diagramele de forță axială și moment încovoiator sunt, de asemenea, simetrice iar diagrama de forță tăietoare este antisimetrică;
- dacă o structură simetrică este încărcată cu o sarcină antisimetrică, diagramele de forță axială și moment încovoiator sunt antisimetrice iar diagrama de forță tăietoare este simetrică.

Barele curbe utilizate frecvent în construcții sunt **arcele**.

Arcele sunt structuri formate din una sau mai multe bare curbe, încărcate în planul lor și în reazemele cărora există componente orizontale ale reacțiunilor (împingeri), chiar în cazul când încărcările sunt verticale.

Terminologia specifică pentru arce este următoarea:

- **nașterile** - extremitățile arcului în punctele de legătură la teren;
- **linia nașterilor** - linia care leagă cele două nașteri;
- **deschiderea arcului (L)** - distanța dintre cele două nașteri;
- **cheia arcului** - secțiunea cea mai depărtată de linia nașterilor;
- **săgeata arcului (f)** - distanța dintre cheie și linia nașterilor;
- **intrados-extrados** - fața interioară și respectiv fața exterioară a arcului;

To be noticed that:

- if a symmetric structure is subjected to a symmetric load, the axial force and bending moment diagrams are also symmetric and the shear force diagram is antisymmetric;
- if a symmetric structure is subjected to an antisymmetric load, the axial force and bending moment diagrams are antisymmetric and the shear force diagram is symmetric.

The curved bars frequently used in civil engineering are the **arcs**.

Arches are structures formed by one or more curved bars, loaded in their plane and which have horizontal components of the reactions at their supports (thrusts) even in the case of vertical loads.

The specific terminology for arcs is as follows:

- **springings** - the ends of the arc at the points connected to the ground;
- **line of springings** - line which connects the two springings;
- **span of the arch (L)** - the distance between the two springings;
- **crown of the arch** - the highest section above the line of springings;
- **rise of the arch (f)** - the distance between crown and line of springings;
- **intrados-extrados** - the inner (soffit) and outer side of the arc;

- **pleoștirea arcului** - raportul  $f/L$ ; după valoarea acestui raport există arce cu săgeată mică ( $f/L \leq 1/5$ ) și arce cu săgeată mare ( $f/L > 1/5$ );
- **coeficientul de sveltețe** - raportul  $L/f$ .

De obicei, arcele utilizate în construcții civile, industriale și pentru poduri au axa parabolică.

Se consideră bara curbă din fig.2.63 care poate fi descrisă explicit prin polinomul:

$$y = a \cdot x^2 + b \cdot x + c \quad (2.11)$$

- **flattening of the arch** - ratio  $f/L$ ; depending on the value of this ratio, there are arcs with small flattening ( $f/L \leq 1/5$ ) and arcs with large flattening ( $f/L > 1/5$ );

- **slenderness coefficient** - ratio  $L/f$ .

Usually, the arches used in civil and industrial buildings and bridges have a parabolic axis.

Consider the curved bar shown in fig.2.63, explicitly described by the polynomial:

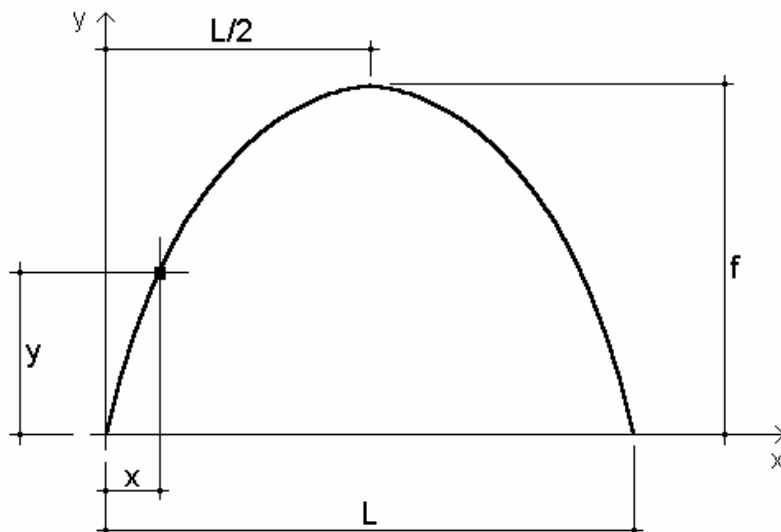


Fig.2.63

**Caracteristicile unei curbe parabolice după ecuația (2.13).**

**Characteristics of a curved bar using equation (2.13).**

Dacă se pun condițiile:

If the following conditions are imposed:

$$\begin{aligned} x = 0 \quad , \quad y = 0 &\Rightarrow c = 0 \\ x = L \quad , \quad y = 0 &\Rightarrow a \cdot L^2 + b \cdot L = 0 \\ x = \frac{L}{2} \quad , \quad y = f &\Rightarrow a \cdot \frac{L^2}{4} + b \cdot \frac{L}{2} = 0 \end{aligned} \quad (2.12)$$

și se introduc rezultatele în relația (2.11), se obține ecuația parbolei:

and the results are substituted into the relationship (2.11), the equation of a parabola is obtained:

$$y = \frac{4f}{L^2} \cdot x \cdot (L - x) \quad (2.13)$$

Unghiul  $\varphi_i$  în secțiunea  $x_i$  se calculează derivând expresia (2.13):

The angle  $\varphi_i$  at section  $x_i$  is calculated by differentiating the relationship (2.13):

$$\begin{aligned}\varphi_i &= \arctg(y'(x_i)) \\ \varphi_i &= \arctg\left(4f \cdot \frac{L - 2x_i}{L^2}\right)\end{aligned}\quad (2.14)$$

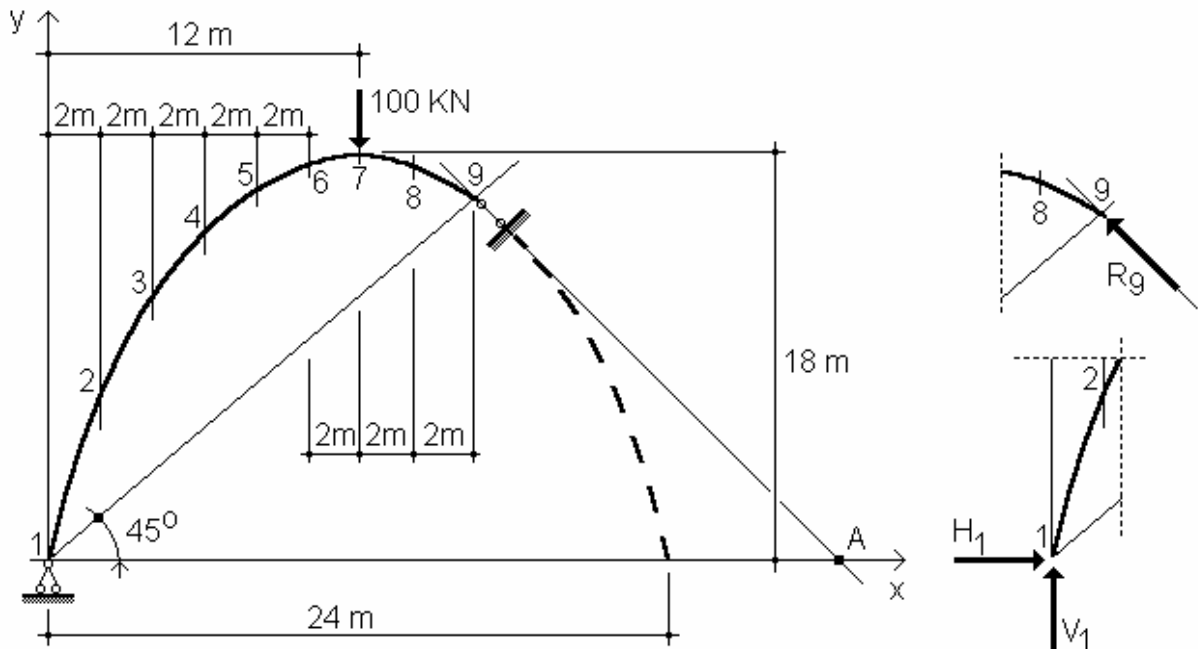
### Exemplu / Example 2.15

Să se determine starea de eforturi pentru arcul parabolic simplu rezemat din fig.2.64.

Arcul este împărțit în boltări având pasul după abscisă de 2m, rezultând notațiile prezentate în fig.2.64.

Determine the internal forces in the simply supported parabolic arch shown in fig.2.64.

The arch is divided in voussoirs whose projections along the abscissa is 2m, obtaining the notations shown in fig. 2.64.



**Arc parabolic simplu rezemat.**

**Simply supported parabolic arch.**

a. calculul reacțiunilor:

$$\sum M_1 = 0 \quad \frac{R_9 \cdot 16}{\cos 45^\circ} - 100 \cdot 12 = 0$$

a. calculation of the reactions:

EFORTURI STRUCTURI STATIC DETERMINATE / INTERNAL FORCES STATICALLY  
DETERMINATE STRUCTURES

$$R_9 = 53.03301 \text{ KN}$$

$$\sum M_A = 0 \quad -V_1 \cdot 16 \cdot 2 + 100 \cdot (16 \cdot 2 - 12) = 0$$

$$V_1 = 62.50000 \text{ KN}$$

$$\sum F_x = 0 \quad H_1 - R_9 \cdot \cos 45^\circ = 0$$

$$H_1 = 37.50000 \text{ KN}$$

**b.** verificarea reacțiunilor:

**b.** verification of the reactions:

$$\sum F_y = 0 : R_9 \cdot \cos 45^\circ + V_1 - 100 = 0 \quad (!)$$

Se notează:

One denotes:

$$q = \frac{4 \cdot f}{L^2} = \frac{4 \cdot 18}{24^2} = 0.12500$$

și rezultă caracteristicile secțiunilor considerate : obtaining the characteristics of the considered sections:

$$x_1 = 0 \quad y_1 = 0.12500 \cdot 0 \cdot (24 - 0) = 0$$

$$y'_1 = 0.12500 \cdot (24 - 2 \cdot 0) = 3.00000$$

$$\omega_1 = \arctg(3.00000) = 71.56505$$

$$\cos \omega_1 = 0.94868$$

$$x_2 = 2 \quad y_2 = 0.12500 \cdot 2 \cdot (24 - 2) = 5.50000$$

$$y'_2 = 0.12500 \cdot (24 - 2 \cdot 2) = 2.50000$$

$$\omega_2 = \arctg(2.50000) = 68.19859$$

$$\cos \omega_2 = 0.92848$$

$$x_3 = 4 \quad y_3 = 0.12500 \cdot 4 \cdot (24 - 4) = 10.00000$$

$$y'_3 = 0.12500 \cdot (24 - 2 \cdot 4) = 2.00000$$

$$\omega_3 = \arctg(2.00000) = 63.43495$$

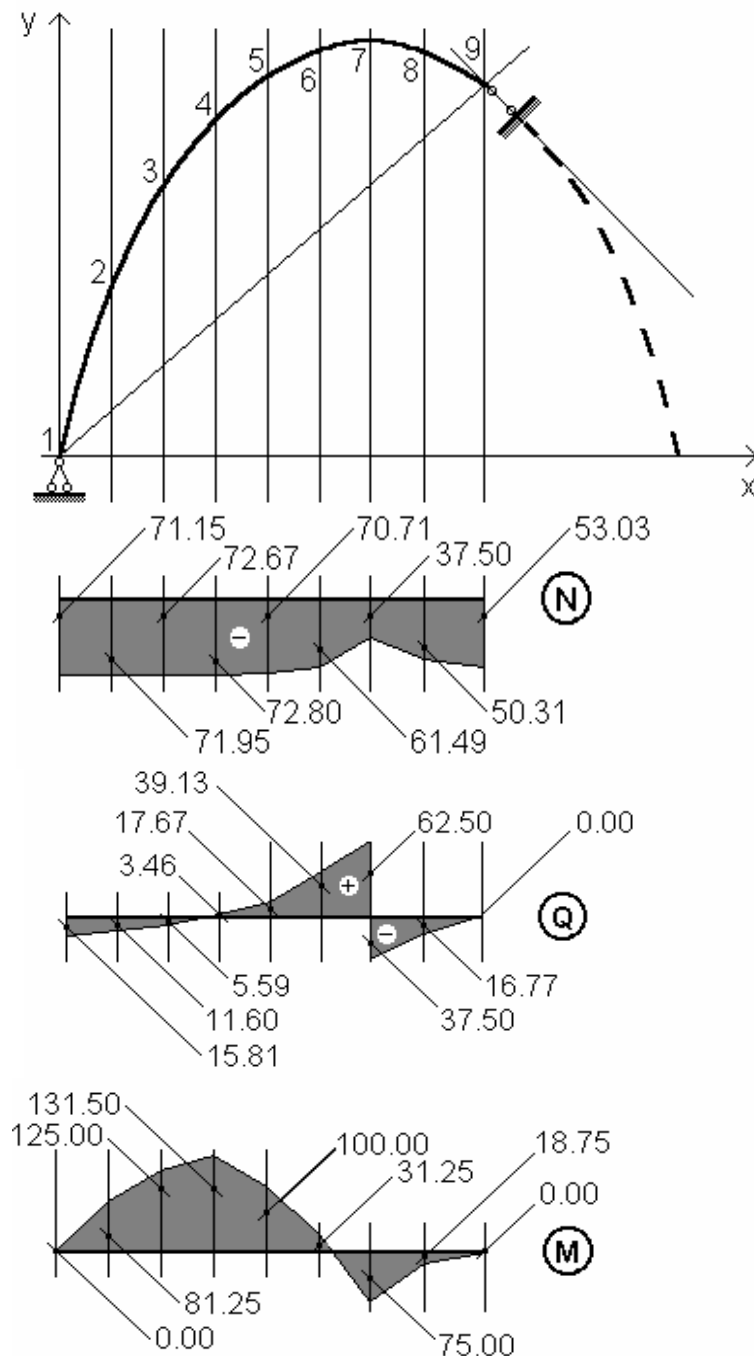
$$\cos \omega_3 = 0.89443$$

$$x_4 = 6 \quad y_4 = 0.12500 \cdot 6 \cdot (24 - 6) = 13.50000$$

$$y'_4 = 0.12500 \cdot (24 - 2 \cdot 6) = 1.50000$$

$$\omega_4 = \arctg(1.50000) = 56.30993$$

$$\cos \omega_4 = 0.83205$$



**Eforturile în arcul parabolic simplu rezemat din fig.2.64.**

**Internal forces in the simply supported parabolic arch in fig.2.64.**

$$x_5 = 8$$

$$y_5 = 0.12500 \cdot 8 \cdot (24 - 8) = 16.00000$$

$$y'_5 = 0.12500 \cdot (24 - 2 \cdot 8) = 1.00000$$

$$\omega_5 = \operatorname{arctg}(1.00000) = 45.00000$$

$$\cos \omega_5 = 0.70711$$

**EFORȚURI STRUCTURI STATIC DETERMINATE / INTERNAL FORCES STATICALLY DETERMINATE STRUCTURES**

$$\begin{aligned}x_6 &= 10 & y_6 &= 0.12500 \cdot 10 \cdot (24 - 10) = 17.50000 \\y'_6 &= 0.12500 \cdot (24 - 2 \cdot 10) = 0.50000 \\&\omega_6 = \arctg(0.50000) = 26.56505 \\&\cos \omega_6 = 0.44721\end{aligned}$$

$$\begin{aligned}x_7 &= 12 & y_7 &= 0.12500 \cdot 12 \cdot (24 - 12) = 18.00000 \\y'_7 &= 0.12500 \cdot (24 - 2 \cdot 12) = 0.00000 \\&\omega_7 = \arctg(0.00000) = 0.00000 \\&\cos \omega_7 = 0.00000\end{aligned}$$

$$\begin{aligned}x_8 &= 14 & y_8 &= 0.12500 \cdot 14 \cdot (24 - 14) = 17.50000 \\y'_8 &= 0.12500 \cdot (24 - 2 \cdot 14) = -0.50000 \\&\omega_8 = \arctg(-0.50000) = -26.56505 \\&\cos \omega_8 = -0.44721\end{aligned}$$

$$\begin{aligned}x_9 &= 16 & y_9 &= 0.12500 \cdot 16 \cdot (24 - 16) = 16.00000 \\y'_9 &= 0.12500 \cdot (24 - 2 \cdot 16) = -1.00000 \\&\omega_9 = \arctg(-1.00000) = -45.00000 \\&\cos \omega_9 = -0.70711\end{aligned}$$

In fig.2.65 sunt prezentate diagramele de eforturi în raport cu o axă orizontală pentru arcul din fig.2.64.

Fig.2.65 shows the internal forces' diagrams of the arch in fig. 2.64 with respect to a horizontal axis.

**E 2.15 ↗**

**Exemplu / Example 2.16**

Să se determine starea de eforturi pentru arcul parabolic cu trei articulații din fig.2.66.

Calculul reacțiunilor:

$$\begin{aligned}\sum M_1 &= 0 & V_{31} \cdot 30 - 1000 \cdot 10 - 10 \cdot 15 \cdot 22.5 &= 0 \\V_{31} &= 445.83333 \text{ KN} \\\sum M_{31} &= 0 & -V_{31} \cdot 30 + 1000 \cdot 20 + 10 \cdot 15 \cdot 7.5 &= 0 \\V_1 &= 704.16667 \text{ KN}\end{aligned}$$

$$\sum M_{16-1} = 0 \quad -704.16667 \cdot 15 + H_1 \cdot 5 + 1000 \cdot 5 = 0$$

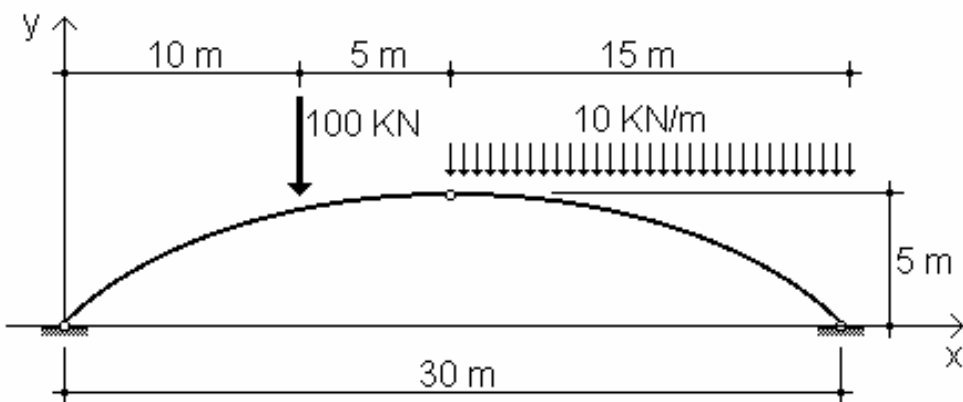
Determine the internal forces in the three pinned parabolic arch shown in fig.2.66.

Calculation of the reactions:

$$H_1 = 1112.50000 \text{ KN}$$

$$\sum M_{16-31} = 0 \quad 445.83333 \cdot 15 + H_{31} \cdot 5 - 10 \cdot 15 \cdot 7.5 = 0$$

$$H_{31} = -1112.50000 \text{ KN}$$



**Arc parabolic cu trei articulații.**

**Fig.2.66**

**Three pinned parabolic arch.**

Arcul este simetric, fiind împărțit în 30 de boltări egali cu 1 m. În tabelul 2.1 sunt prezentate caracteristicile secțiunilor considerate pentru o jumătate din arc.

The arch is symmetrical, being divided in 30 voussoirs of 1 m length. The characteristics of the considered sections are presented in Table 2.1 for half of the arch.

**Table.2.1.**

No.	x	y	y'	$\omega$	$\sin \omega$	$\cos \omega$
1	0	0.000	0.666	33.690	0.554	0.832
2	1	0.644	0.622	31.690	0.528	0.849
3	2	1.244	0.577	30.018	0.500	0.865
4	3	1.800	0.533	28.072	0.470	0.882
5	4	2.311	0.488	26.053	0.439	0.898
6	5	2.777	0.444	23.962	0.406	0.913
7	6	3.199	0.399	21.801	0.371	0.928
8	7	3.577	0.355	19.573	0.335	0.942
9	8	3.911	0.311	17.281	0.297	0.954
10	9	4.199	0.266	14.931	0.257	0.966
11	10	4.444	0.222	12.528	0.216	0.976
12	11	4.644	0.177	10.080	0.175	0.984
13	12	4.799	0.133	7.594	0.132	0.991
14	13	4.912	0.088	5.079	0.088	0.996
15	14	4.977	0.044	2.544	0.044	0.999
16	15	5.000	0.000	0.000	0.000	1.000

Efortul normal  $N_x$  este constant în toate secțiunile arcului iar valoarea sa este:

$$N_x = -1112.5000 \text{ KN}$$

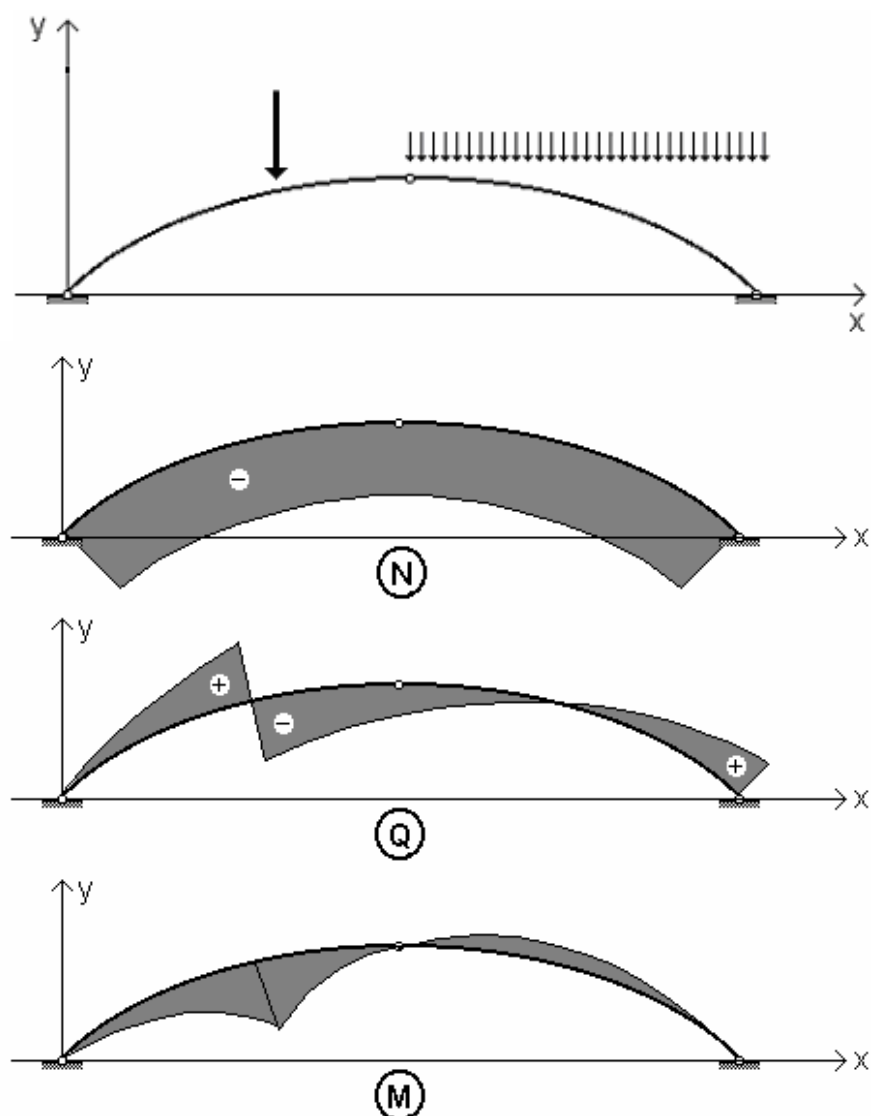
In tabelul 2.2 sunt date eforturile  $N$ ,  $Q$ ,  $M$  calculate în raport cu sistemul de axe  $XOY$  și valorile eforturilor  $Q_x$ ,  $M_x$  la extremitățile bolțarilor.

Diagramele de eforturi sunt prezentate în fig.2.67.

The axial force  $N_x$  is constant at all the sections of the arch and is equal to:

Table 2.2. shows the values of the internal forces  $N$ ,  $Q$ ,  $M$  calculated with respect to the coordinate system  $XOY$  and the internal forces  $Q_x$ ,  $M_x$  at the ends of the voussoirs.

The internal forces' diagrams are shown in fig.2.67.



**Fig.2.67**

**Eforturile în arcul cu trei articulații din fig.2.66.**

**Internal forces in the three pinned arch in fig.2.66.**

EFORTURI STRUCTURI STATIC DETERMINATE / INTERNAL FORCES STATICALLY  
DETERMINATE STRUCTURES

**Table.2.2.**

<b>No.</b>	<b>Qy</b>	<b>Mz</b>	<b>N</b>	<b>Q</b>	<b>M</b>
<b>1</b>	704.166	0.000	-1316.258	-31.202	0.000
<b>2</b>	704.166	704.166	-1316.588	10.144	-12.778
<b>3</b>	704.166	1408.333	-1315.554	53.154	23.888
<b>4</b>	704.166	2112.500	-1312.991	97.794	110.000
<b>5</b>	704.166	2816.666	-1308.730	143.990	245.555
<b>6</b>	704.166	3520.833	-1302.605	191.646	430.555
<b>7</b>	704.166	4225.000	-1294.452	240.630	665.000
<b>8</b>	704.166	4929.166	-1284.117	290.777	948.888
<b>9</b>	704.166	5633.333	-1271.463	341.891	1282.222
<b>10</b>	704.166	6337.499	-1256.374	393.740	1664.999
<b>11</b>	-295.833	7041.666	-1021.833	530.124	2097.222
<b>12</b>	-295.833	6745.833	-1043.546	-485.992	1578.888
<b>13</b>	-295.833	6450.000	-1063.643	-440.271	1110.000
<b>14</b>	-295.833	6154.166	-1081.938	-393.173	690.555
<b>15</b>	-295.833	5858.333	-1098.268	-344.938	320.555
<b>16</b>	-295.833	5562.499	-1112.500	-295.834	0.000
<b>17</b>	-305.833	5261.666	-1124.983	-256.137	-275.112
<b>18</b>	-315.833	4950.833	-1136.095	-216.893	-518.778
<b>19</b>	-325.833	4629.999	-1145.805	-175.944	-710.001
<b>20</b>	-335.833	4299.166	-1154.108	-135.925	-867.778
<b>21</b>	-345.833	3958.283	-1161.030	-96.263	-986.112
<b>22</b>	-355.833	3607.487	-1166.622	-57.169	-1065.001
<b>23</b>	-365.833	3246.653	-1170.956	-18.833	-1104.445
<b>24</b>	-375.833	2875.746	-1174.122	18.582	-1104.445
<b>25</b>	-385.833	2494.988	-1176.226	54.934	-1065.000
<b>26</b>	-395.833	2104.157	-1177.379	90.111	-986.112
<b>27</b>	-405.833	1703.331	-1177.699	124.026	-867.778
<b>28</b>	-415.833	1292.499	-1177.304	156.617	-710.001
<b>29</b>	-425.833	871.661	-1176.310	187.844	-512.778
<b>30</b>	-435.833	440.827	-1174.828	217.688	-276.112
<b>31</b>	445.833	0.000	-1172.960	246.148	0.00

**E 2.16 ↗**

In cazul particular în care forțele sunt verticale, fig.2.68.a, considerând pentru comparație grinda simplu rezemată din fig.2.68.b, se deduc relațiile următoare pentru:

i. reacții:

$$V_A = \frac{\sum_{k=1}^n F_k \cdot b_k}{L} = V_A^0 \quad (2.15)$$

$$V_B = \frac{\sum_{k=1}^n F_k \cdot a_k}{L} = V_B^0 \quad (2.16)$$

$$H_A = H_B = H = \frac{V_A \cdot \frac{L}{2} - \sum_A^C F_k \cdot d_k}{f} = \frac{M_C^0}{f} \quad (2.17)$$

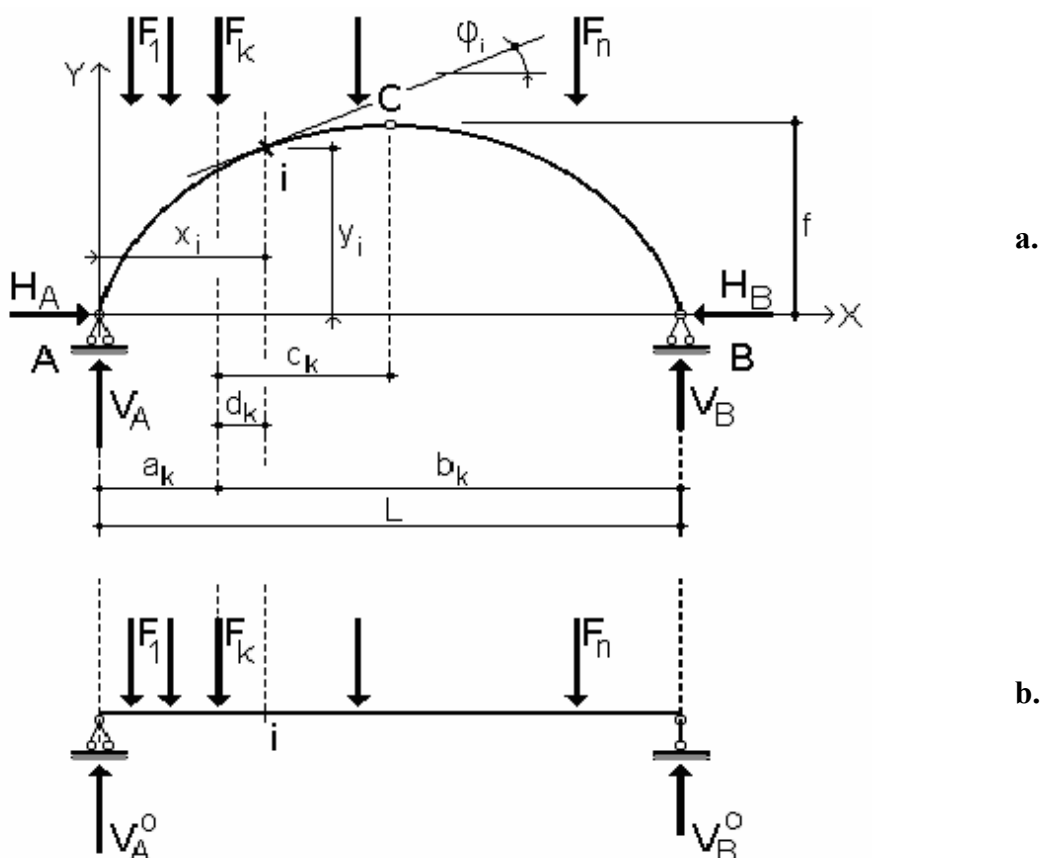


Fig.2.68

Arc cu trei articulații (a) și grinda simplu rezemată (b).

Three pinned arch (a) and simply supported beam (b).

Cu indicele "zero" s-au notat reacțiunile și eforturile de la grinda simplu rezemată.

The reactions and the internal forces for the simply supported beam are denoted by the index "zero".

**ii. eforturi:**

$$N_i = -(V_A - \sum_A^i F_k) \cdot \sin \varphi_i - H_A \cdot \cos \varphi_i \quad (2.18)$$

$$Q_i = (V_A - \sum_A^i F_k) \cdot \cos \varphi_i - H_A \cdot \sin \varphi_i \quad (2.19)$$

$$M_i = V_A \cdot x_i - \sum_A^i F_k \cdot d_k - H_A \cdot y_i \quad (2.20)$$

$$N_i = -Q_i^o \cdot \sin \varphi_i - H \cdot \cos \varphi_i \quad (2.21)$$

$$Q_i = Q_i^o \cdot \cos \varphi_i - H \cdot \sin \varphi_i \quad (2.22)$$

$$M_i = M_i^o - H \cdot y_i \quad (2.23)$$

$$Q_i^o = V_A^o - \sum_A^i F_k \quad (2.24)$$

$$M_i^o = V_A^o \cdot x_i - \sum_A^i F_k \cdot d_k \quad (2.25)$$

**In acest caz se observă că:**

- i. reacțiunile verticale sunt aceleași;
- ii. în reazemele arcului apar împingeri;
- iii. în arc apare ca efort suplimentar efortul normal, care este întotdeauna de compresiune - vezi relațiile (2.18) și (2.21);
- iv. forța tăietore și momentul încovoiator în arc sunt mai mici - vezi relația (2.22) și (2.23).

In fig.2.69 este reprezentată diagrama de moment încovoiitor într-un arc în raport cu grinda simplu rezemată.

**In this case, it is noticed that:**

- i. the vertical reactions are the same;
- ii. thrusts are produced at the supports of the arch;
- iii. the axial force is produced in the arch as additional force, which is always a compression force - see relationships (2.18) and (2.21);
- iv. the shear forces and the bending moments in the arch are smaller - see relationships (2.22 ) and (2.23).

Fig.2.69 shows the bending moment diagram in an arch with respect to a simply supported beam.

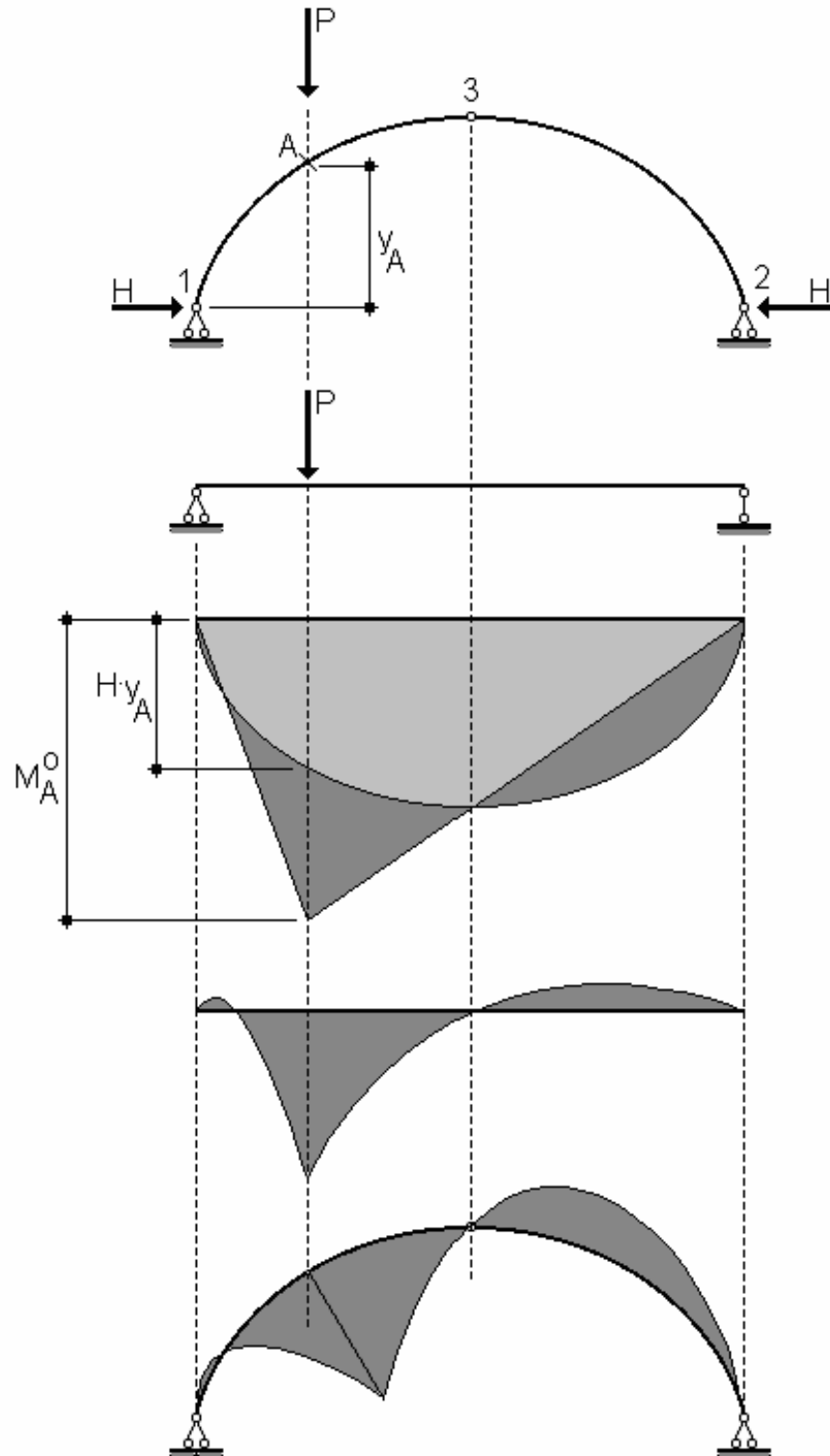


Fig.2.69

**Momentul încovoiector într-un arc în raport cu grinda simplu rezemată.**

- a. - suprapunerea diagramelor,
- b. și c. - diagrama raportată la o dreaptă și la arc

**Bending moment in an arch with respect to the simply supported beam**

- a. - superposition of diagrams
- b. and c. - diagram with respect to a straight line and the arch

## 25 STRUCTURI CU ZĂBRELE

Structurile cu zăbrele sunt structuri din bare articulate în noduri care, prin schematizare, rămân geometric indeformabile.

Structurile cu zăbrele pot fi considerate ca structuri la care inima plină este înlocuită printr-un sistem de bare triangulare care leagă tălpile.

O structură cu zăbrele se numește cu înălțime constantă sau cu înălțime variabilă, după cum tălpile sunt sau nu paralele. Tălpile pot fi rectilinii, curbilinii sau poligonale dar zăbrelele (diagonalele și montanții) sunt totdeauna rectilinii.

Structurile cu zăbrele pot fi clasificate în:

- i. structuri simple,
- ii. structuri complexe,
- iii. structuri compuse.

Sistemele de triangulație ale **structurilor cu zăbrele simple** sunt următoarele:

- sistemul Warren, în V, unde diagonalele succesive sunt simetric înclinate în raport cu verticala, fiind în consecință alternativ comprimate și întinse, fig.2.70;
- sistemul Pratt, în N, unde barele sunt alternativ verticale și înclinate, astfel încât montanții sunt comprimați, fig.2.71;
- sistemul Howe, în N invers, analog cu sistemul Pratt, dar la care montanții sunt întinși, fig.2.72;

## 2.5 TRUSSES

Trusses are structures composed of bars pinned at joints which, by virtue of their structural form, remain geometrically undeformable.

Trusses can be considered as structures at which the solid web is replaced by a system of triangular bars which connect the chords.

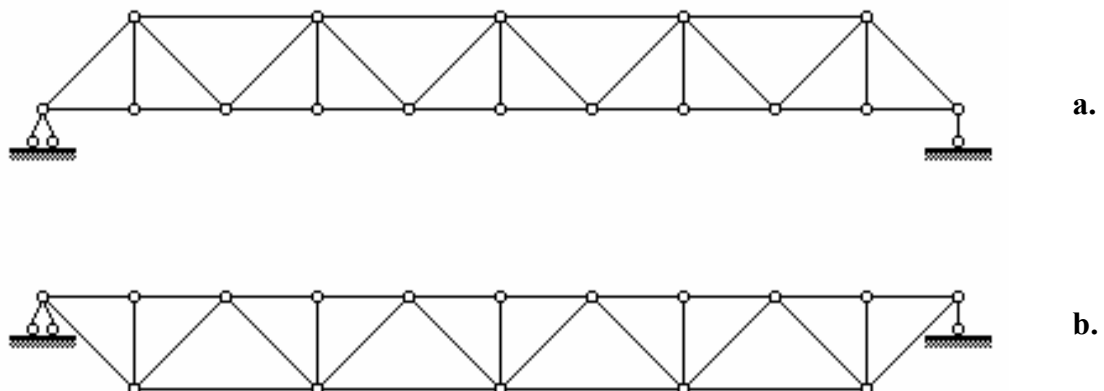
A truss has a constant or variable height if the chords are parallel or nonparallel, respectively. The chords can be straight, curved or polygonal while the internal bracing members (verticals and diagonal bars) are always straight.

Trusses can be classified into :

- i. simple trusses,
- ii. complex trusses,
- iii. compound trusses.

The triangular systems used for the **simple trusses** are the following :

- Warren system, in V, where the successive diagonals are symmetrically inclined with respect to the vertical direction; they are consequently alternatively in compression and tension, fig.2.70;
- Pratt system, in N, having alternating vertical and inclined bars in such a way that the verticals are in compression, fig.2.71;
- Howe system, in reversed N, similar to the Pratt system, but in which the verticals are in tension, fig.2.72;



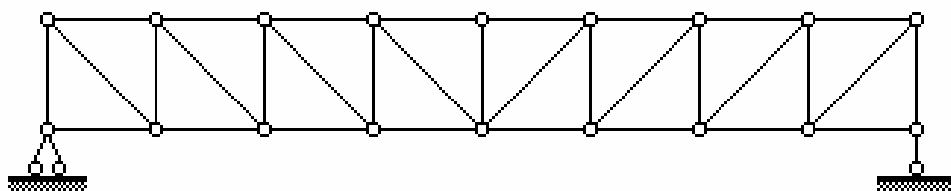
**Fig.2.70 .**

**Grinzi cu zăbrele cu triangulația în V,  
sistem Warren.**

a. - rezemare inferioară, b. - rezemare  
superioară

**Trusses with triangular system in V,  
Warren system.**

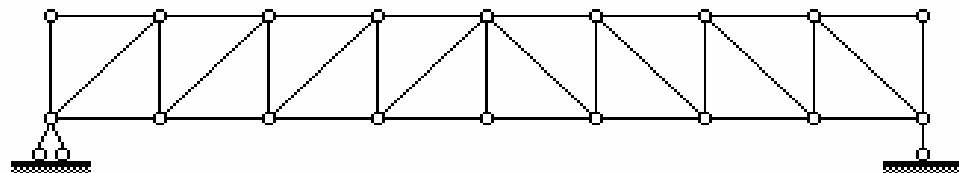
a. - lower support, b. - upper support



**Fig.2.71**

**Grindă cu zăbrele cu triangulația în N,  
sistem Pratt.**

**Truss with triangular system in N,  
Pratt system.**

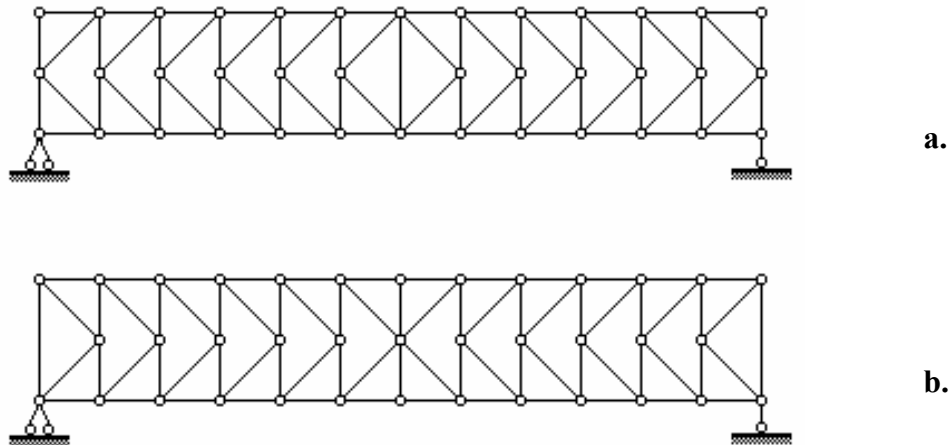


**Fig.2.72**

**Grindă cu zăbrele cu triangulația în N  
invers, sistem Howe.**

**Truss with triangular system in reversed  
N, Howe system.**

- sistem în K sau în K invers la care fiecare montant vertical întâlnește două diagonale în mijlocul lungimii sale, fig.2.73.
- K system or reversed K system in which each vertical meets two diagonals at its middle, fig.2.73.



**Fig.2.73**

**Grinzi cu triangulația în K.**

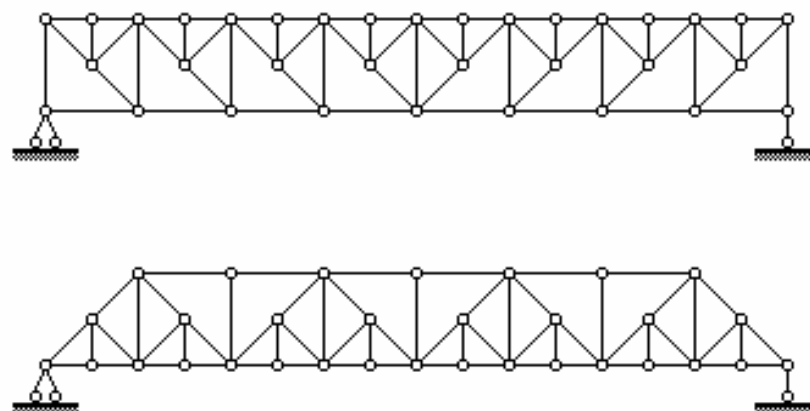
a. - în K, b. - în K invers

**Truss with triangular system in K.**

a. - K, b. - reversed K

**Structurile compuse cu zăbrele** sunt obținute plecând de la sisteme simple, la care se crează noduri secundare ce sunt legate între ele sau legate cu nodurile principale. Aceste structuri sunt mai puțin utilizate și numai pentru deschideri mari, fig.2.74.

**Compound trusses** are formed by using simple trusses, in which secondary joints are created. The secondary joints are connected to each other or to the main joints. These structures are less used in practice, being met only in the case of large spans, fig.2.74.



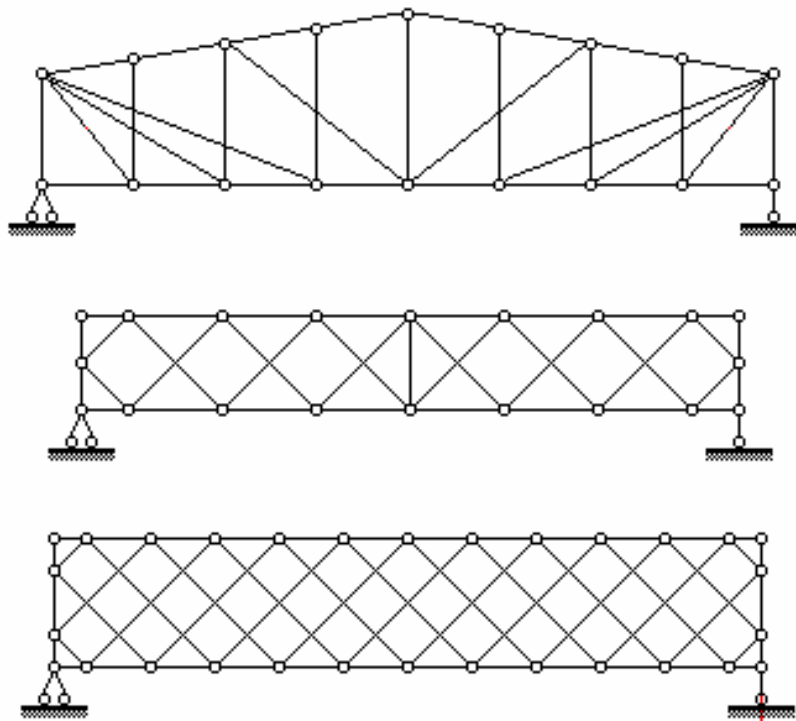
**Fig.2.74**

**Grinzi cu zăbrele compuse.**

**Compound trusses.**

**Structurile cu zăbrele complexe** sunt constituite din triangulații distincte care se petrec una peste alta dar nu au noduri comune, fig.2.75.

**Complex trusses** are formed by distinct triangular systems which are passing one over the other but without having common joints , fig.2.75.



**Fig.2.75**

**Grinzi cu zăbrele complexe.**

**Complex trusses.**

### 2.5.1 Principii generale

Pentru sistemele cu zăbrele static determinate, se admit următoarele ipoteze specifice:

- nodurile sunt articulații perfecte;
- forțele sunt aplicate numai în noduri;
- axele barelor în fiecare nod sunt toate concurente.

Ca o consecință a acestor ipoteze, **barele structurilor cu zăbrele sunt supuse numai la eforturi axiale de întindere sau compresiune.**

Făcând notațiile:

- b** - este numărul barelor (legături interioare);  
**r** - numărul legăturilor simple exterioare;

### 2.5.1 General principles

For the statically determinate trusses, the following specific assumptions are made:

- joints are perfect pins;
- loads are applied only to the joints;
- center lines of the jointing bars are concurrent at a point.

As a result of these assumptions, **the forces in the bars of trusses are only tension or compression axial forces.**

By making the notations:

- b** - is the number of bars (internal connections);  
**r** - number of simple external connections (support reactions);

**n** - numărul nodurilor.

și ținând seama de faptul că în plan fiecare nod trebuie fixat prin două legături, se poate scrie condiția generală:

$$(b + r) \geq 2 \cdot n \quad (2.26)$$

In cazul particular al structurilor static determinate rezultă:

$$(b + r) - 2 \cdot n = 0 \quad (2.27)$$

Relația (2.27) este numită **condiția de strictă invariabilitate geometrică și determinare statică** pentru structurile plane cu zăbrele.

### 2.5.2 Calculul structurilor cu zăbrele

In acest capitol vor fi dezvoltate principiile de calcul pentru structurile simple cu zăbrele și principiile valabile pentru alte tipuri de structuri cu zăbrele.

Elementele componente ale unei structuri cu zăbrele sunt:

- tălpile (superioară și inferioară), care pot fi paralele sau neparalele (poligonale);
- zăbrelele: diagonale (bare înclinate) și montanți (bare verticale sau orizontale).

Pentru analiza statică a structurilor cu zăbrele se utilizează relația (2.28):

$$h = (b + r) - 2 \cdot n \quad (2.28)$$

**Metodele generale** pentru calculul eforturilor în barele structurilor cu zăbrele sunt:

**n** - number of joints.

and considering that each node need to be constrained in plane by two connections, the general condition can be written:

In the particular case of the statically determinate structures, it results in:

The relationship (2.27) is called the **condition of strict geometrical invariability and statical determinancy** of the plane trusses.

### 2.5.2 Analysis of trusses

The analysis principles for simple trusses and other types of pin-jointed structures will be developed in this chapter.

The main components of trusses are:

- chords (top and bottom), which could be parallel or nonparallel (polygonal);
- internal bracing members: diagonals (inclined bars) and verticals (vertical bars).

For the static analysis of trusses, the relationship (2.28) is used:

**The general methods** for the calculation of the axial forces in the bars of trusses are:

- **metoda izolării nodurilor**, în două variante: analitică și grafică (epura Cremona);
- **metoda secțiunilor**, în două variante: analitică (metoda Ritter) și grafică (metoda Culmann).

Pentru structurile cu zăbrele simple se utilizează metodele generale (metoda izolării nodurilor sau metoda secțiunilor), separat sau combinate.

Pentru calculul structurilor cu zăbrele compuse, există două moduri de rezolvare: prin combinarea celor două metode generale sau prin descompunerea structurii în sisteme simple principale și secundare și suprapunerea efectelor.

### **2.5.2.a Metoda izolării nodurilor - analitic**

După calculul reacțiunilor, se fac secțiuni succesive în jurul nodurilor și se scriu câte două ecuații de echilibru de proiecție pentru fiecare sistem de forțe concurente obținut (forțe exterioare și eforturi axiale ale barelor secționate).

Condiția ca această metodă să poată fi practic aplicată este următoarea: **găsirea unei ordini de izolare a nodurilor, astfel încât în fiecare nod să fie numai două bare în care efortul axial este necunoscut.**

Echilibrul în jurul nodurilor trebuie scris cu forțele de legătură, fig.2.76.

- **method of joints**, in two versions: analytical and graphical (Cremona diagram) ;
- **method of sections**, in two versions: analytical (Ritter method) and graphical (Culman method).

For simple trusses, the general methods are used (method of joints or method of sections), either separately or combined.

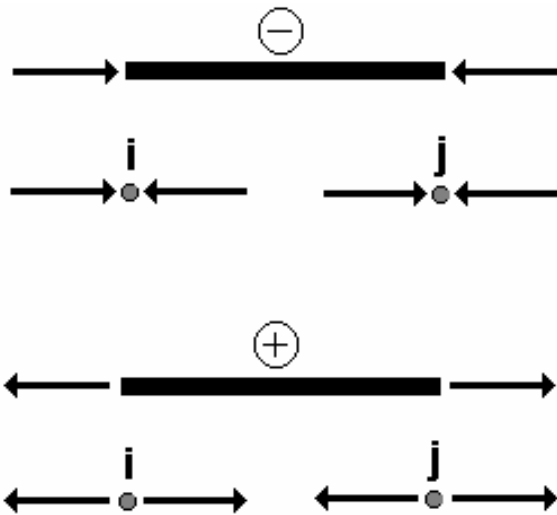
For compound trusses, there are two methods of analysis: combination of the two general methods or breaking down the structure in simple main and secondary systems and the superposition of the effects.

### **2.4.2.a Method of joints - analytical**

After the calculation of support reactions, successive “cuts” around the joints are performed and two equations of force equilibrium are written for each system of concurrent forces obtained (external loads and axial forces in the “cut” bars) .

In order to apply this method in practice, the following condition has to be satisfied: **the sequence in which the joints are isolated is chosen in such a way that at most two unknown axial forces should be at the joint.**

The equilibrium equations of the joints are written with the unknown axial forces, fig.2.76.



**Fig.2.76**

**Echilibru în jurul nodului.**

**Joint equilibrium.**

**Exemplu / Example 2.17**

Să se determine starea de eforturi pentru grinda cu zăbrele din fig.2.77.

După analiza statică ( $h=(b+r)-2n=25+3-2 \cdot 14=0$ ) și calculul reacțiunilor  $V_1$  și  $V_2$ , se face izolarea nodurilor în ordinea:

**a. nod 1:**

$$\sum F_x = 0 : \quad N_{13} = 0$$

$$\begin{aligned} \sum F_y = 0 : \quad N_{12} + V_1 &= 0 \\ N_{12} &= -V_1 \end{aligned}$$

**b. nod 2:**

$$\sum F_x = 0 : \quad N_{24} + N_{23} \cdot \cos\varphi = 0$$

$$\begin{aligned} \sum F_y = 0 : \quad -N_{23} \cdot \sin\varphi + N_{21} - F_2 &= 0 \\ N_{23} &= \frac{N_{21} - F_2}{\sin\varphi} \\ N_{24} &= -N_{23} \cdot \cos\varphi \\ N_{24} &= -(N_{21} - F_2) \cdot \operatorname{ctg}\varphi \end{aligned}$$

**c. nod 3:**

Determine the axial force in the bars of the truss shown in fig.2.77.

After the static analysis ( $h=(b+r)-2n=25+3-2 \cdot 14=0$ ) and calculation of the reactions  $V_1$  and  $V_2$ , the isolation of joints is carried out:

**a. joint 1:**

(bară inactivă / inactive bar)

(compresiune / compression)

**b. joint 2:**

(întindere deoarece / tension,  
because:  $N_{21} = |V_1| \cdot F_2$ )

(compresiune / compression)

**c. joint 3:**

$$\sum F_x = 0: \quad N_{35} - N_{32} \cdot \cos\varphi = 0$$

$$\sum F_y = 0: \quad N_{34} + N_{32} \cdot \sin\varphi = 0$$

$N_{35} = N_{32} \cdot \cos\varphi$  (întindere / tension)

$N_{34} = -N_{32} \cdot \sin\varphi$  (compresiune / compression)

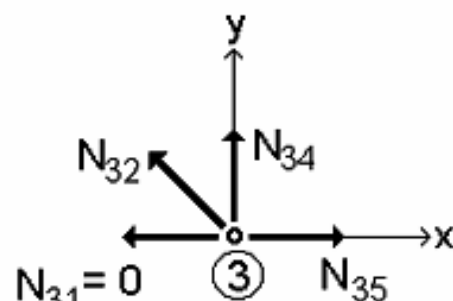
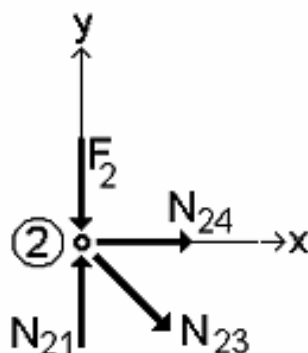
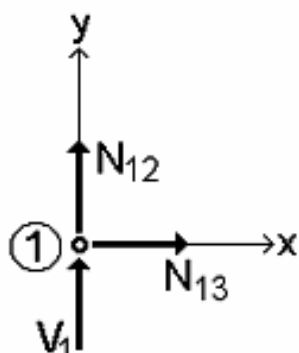
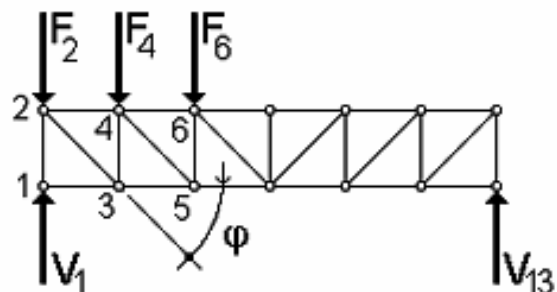
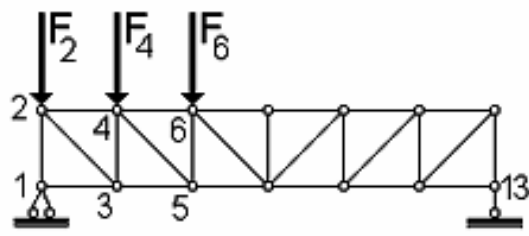


Fig.2.77

Metoda izolării nodurilor.

Method of joints.

E 2.17 ⚡

Observație:

In penultimul nod există un singur efort axial necunoscut iar în ultimul nod nu este nici un efort axial necunoscut, rezultă deci trei ecuații de verificare; **explicație:** trei ecuații de echilibru au fost utilizate pentru calculul reacțiunilor, deci rămân numai  $2n-3$  ecuații distincte de echilibru.

Note:

In the penultimate joint there is only one unknown axial force and at the last joint there is no unknown axial force, consequently it results in three equations of verification; **explanation:** three equations of equilibrium were used for the calculation of reactions, so there are remaining only  $2n-3$  distinct equations of equilibrium.

**2.4.2.b** Metoda izolării nodurilor - grafic (epura Cremona)

Este o construcție grafică, prin care se realizează succesiv un poligon al forțelor închis pentru fiecare nod al structurii.

Ordinea de izolare a nodurilor este impusă de condiția ca în fiecare din acestea trebuie să existe două bare cu efort axial necunoscut.

**Exemplu / Example 2.18**

Să se determine starea de eforturi pentru grinda cu zăbrele din fig.2.78, utilizând metoda izolării nodurilor, proceul grafic.

In fig.2.78 sunt prezentate etapele succesive de izolare a fiecarui nod și epura Cremona.

Epura Cremona este o construcție grafică care necesită stabilirea unei scări de reprezentare a forțelor și a unui sens de parcurgere a fiecarui nod (vezi indicația din fig.2.78).

Construirea epurii necesită împărțirea structurii în regiuni. Regiunile sunt delimitate de bare și forțe (acțiuni și reacțiuni). De obicei regiunile sunt notate cu litere, ajutând la depistarea efortului și sensului acestuia dintr-o bară.

**Observație:**

In penultimul nod există un singur efort axial necunoscut iar în ultimul nod nu este nici un efort axial necunoscut, rezultă deci trei ecuații de verificare; **explicație:** trei ecuații de echilibru au fost utilizate pentru calculul reacțiunilor, deci rămân numai  $2n-3$  ecuații distincte de echilibru.

**2.4.2.b** Method of joints - graphical (Cremona diagram)

This is a graphical construction, by which a closed polygon of forces is successively created for each joint of the structure.

The sequence in which the joints are isolated is imposed by the condition that only two bars with unknown axial forces should exist at each joint.

Determine the axial force in the bars of the truss shown in fig.2.78, by using the methods of joints, graphical method.

Fig.2.78 shows the successive steps for the isolation of each joint and the Cremona diagram.

The Cremona diagram is a graphical construction for which a scale has to be chosen in order to draw the forces and a sense in which each joint is analysed (see the instruction in fig.2.78).

The construction of the diagram requires the division of the structure into regions. The regions are delimited by bars and forces (actions and reactions). Usually these regions are denoted by letters, helping at the identification of the force and its sense in a bar).

**Note :**

In the penultimate joint there is only one unknown axial force and in the last joint there is no unknown axial force, consequently it results three equations of verification; **explanation:** three equations of equilibrium were used for the calculation of reactions, so there are remaining only  $2n-3$  distinct equations of equilibrium.

EFORȚU STRUCTURI STATIC DETERMINATE / INTERNAL FORCES STATICALLY  
DETERMINATE STRUCTURES

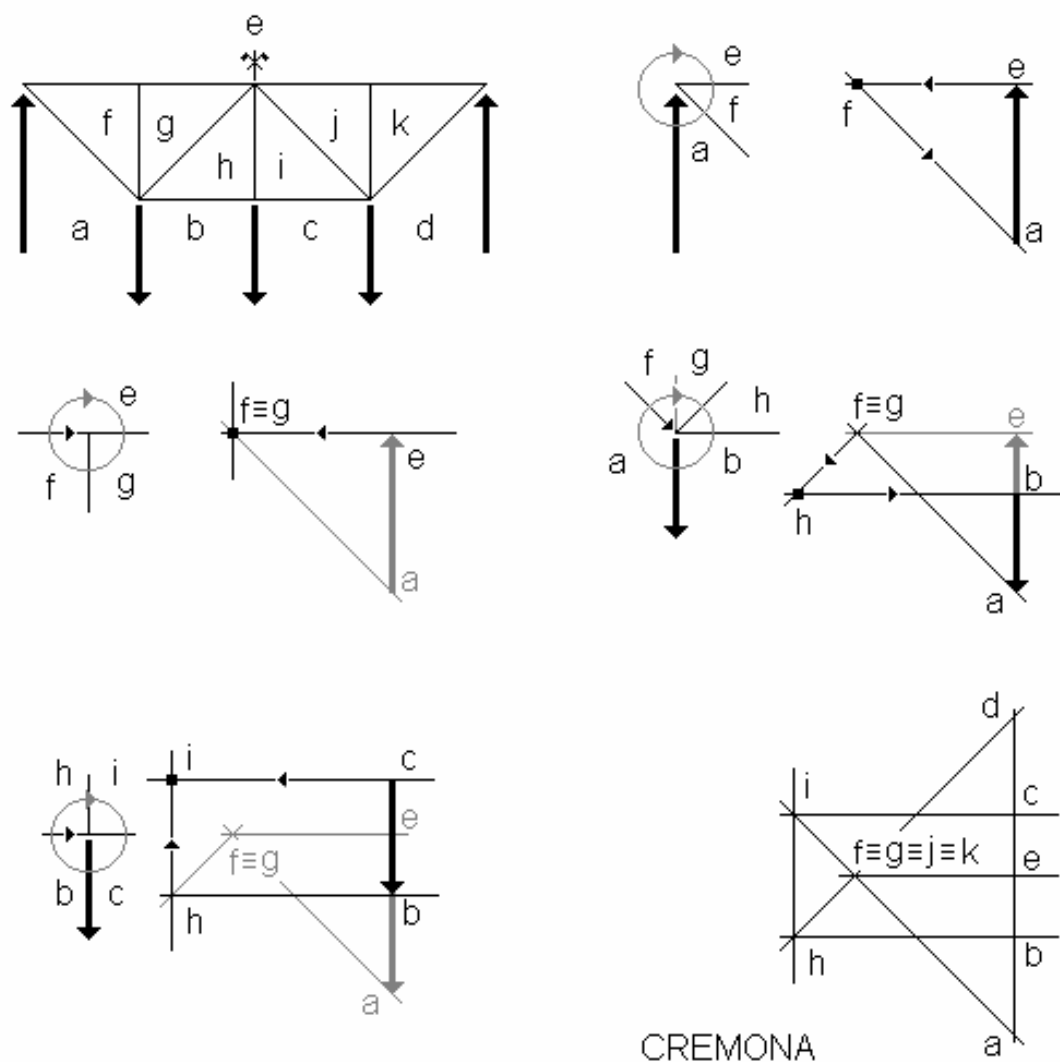
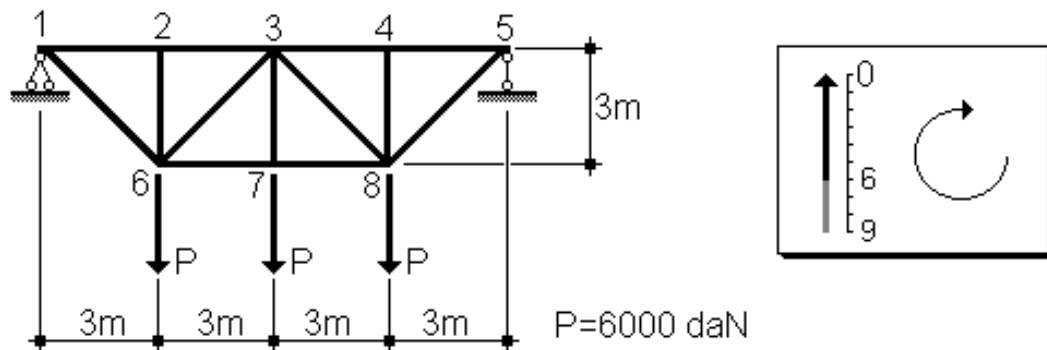


Fig.2.78

Grindă cu zăbrele - epura Cremona.

Truss - Cremona diagram.

E 2.18

**2.4.2.c Metoda secțiunilor - analitic (Ritter)**

După calculul reacțiunilor, se fac secțiuni care traversează grinda și apoi se scriu condițiile de echilibru pentru partea stângă sau dreaptă a fiecărei secțiuni, fig.2.79 și 2.80.

**Observație:**

Deoarece numărul ecuațiilor distincte de echilibru pentru un corp plan este 3, numărul de bare cu efort axial necunoscut în fiecare secțiune trebuie să fie, de asemenea, maxim 3; ecuațiile de echilibru (de moment sau de proiecție) pot fi alese astfel încât în fiecare din ele să apară un singur efort axial necunoscut.

**2.4.2.c Method of sections - analytical (Ritter)**

After the calculation of reactions, sections through the truss are performed and then the equations of equilibrium are written for the left or right part of each section, fig.2.79 and 2.80.

**Note:**

Since the number of distinct equations of equilibrium for a body in plane is 3, the number of bars with unknown axial forces in each section has also to be maximum 3; the equations of equilibrium (moment or forces) can be chosen in such a way that each equation should have only one unknown axial force.

**Exemplu / Example 2.19**

Să se determine starea de eforturi pentru grinda cu zăbrele cu tălpi paralele din fig.2.79.

**a. secțiunea I-I:**

$$N_{35} = N_{53}; \quad N_{46} = N_{64} \quad \text{și / et}$$

Ecuațiile convenabile pentru partea stângă a secțiunii sunt:

$$M_4^{(1-4)} = 0 :$$

din care:

$$N_{35} = \frac{V_1 \cdot a - F_2 \cdot a}{h}$$

Dacă se consideră grinda cu inimă plină din fig.2.79.b, încărcată cu aceleași forțe ca și grinda cu zăbrele, pentru care:

$$V_1^o = V_1, \quad V_2^o = V_{13}$$

Determine the axial force in the bars of the truss with parallel chords shown in fig.2.79.

**a. section I-I:**

$$N_{45} = N_{54}$$

The convenient equations of equilibrium for the left side of the section are :

$$N_{35} \cdot h - V_1 \cdot a + F_2 \cdot a = 0$$

resulting in:

If the solid web beam shown in fig.2.79.b is considered, loaded by the same forces as the truss, for which:

EFORTURI STRUCTURI STATIC DETERMINATE / INTERNAL FORCES STATICALLY  
DETERMINATE STRUCTURES

iar diagramele de eforturi  $Q^o$  și  $M^o$  sunt prezentate în fig.2.79, se poate scrie ecuația:

$$V_1 \cdot a - F_2 \cdot a = M_3^o = M_4^o$$

de unde rezultă:

$$N_{35} = \frac{M_4^o}{h}$$

Fiecare tronson care rezultă trebuie să fie în echilibru, fig.2.80.a și b:

$$M_5^{(1-4)} = 0 : \quad -N_{46} \cdot h - V_1 \cdot 2a + F_2 \cdot 2a + F_4 \cdot a = 0$$

deci:

$$N_{46} = -\frac{V_1 \cdot 2a - F_2 \cdot 2a - F_4 \cdot a}{h} = -\frac{M_5^o}{h} \quad (\text{compresiune / compression})$$

$$\sum F_y^{(1-4)} = 0 : \quad -N_{45} \cdot \sin \varphi + V_1 - F_2 - F_4 = 0$$

deci:

$$N_{45} = \frac{V_1 - F_2 - F_4}{\sin \varphi} = \frac{Q_{35}^o}{\sin \varphi} \quad (\text{întindere / tension})$$

$Q_{35}^o$  este forța tăietoare în al doilea panou al grinzi cu inimă plină.

**b. secțiunea II-II:**

Pentru a calcula efortul axial în montantul 5-6 se scrie ecuația:

$$\sum F_y^{(1-5)} = 0 : \quad N_{56} + V_1 - F_2 - F_4 = 0$$

deci:

$$N_{56} = -(V_1 - F_2 - F_4) = -Q_{35}^o \quad (\text{compresiune / compression})$$

and the diagrams  $Q^o$  and  $M^o$  are shown in fig.2.4, the following equation can be written:

resulting in:

$$(întindere / tension)$$

Each part of the truss has to be in equilibrium, fig.2.80.a and b:

thus:

thus:

$Q_{35}^o$  is the shear force in the second panel of the solid web beam.

**b. section II-II:**

In order to calculate the axial force in the vertical 5-6, the following equation can be written:

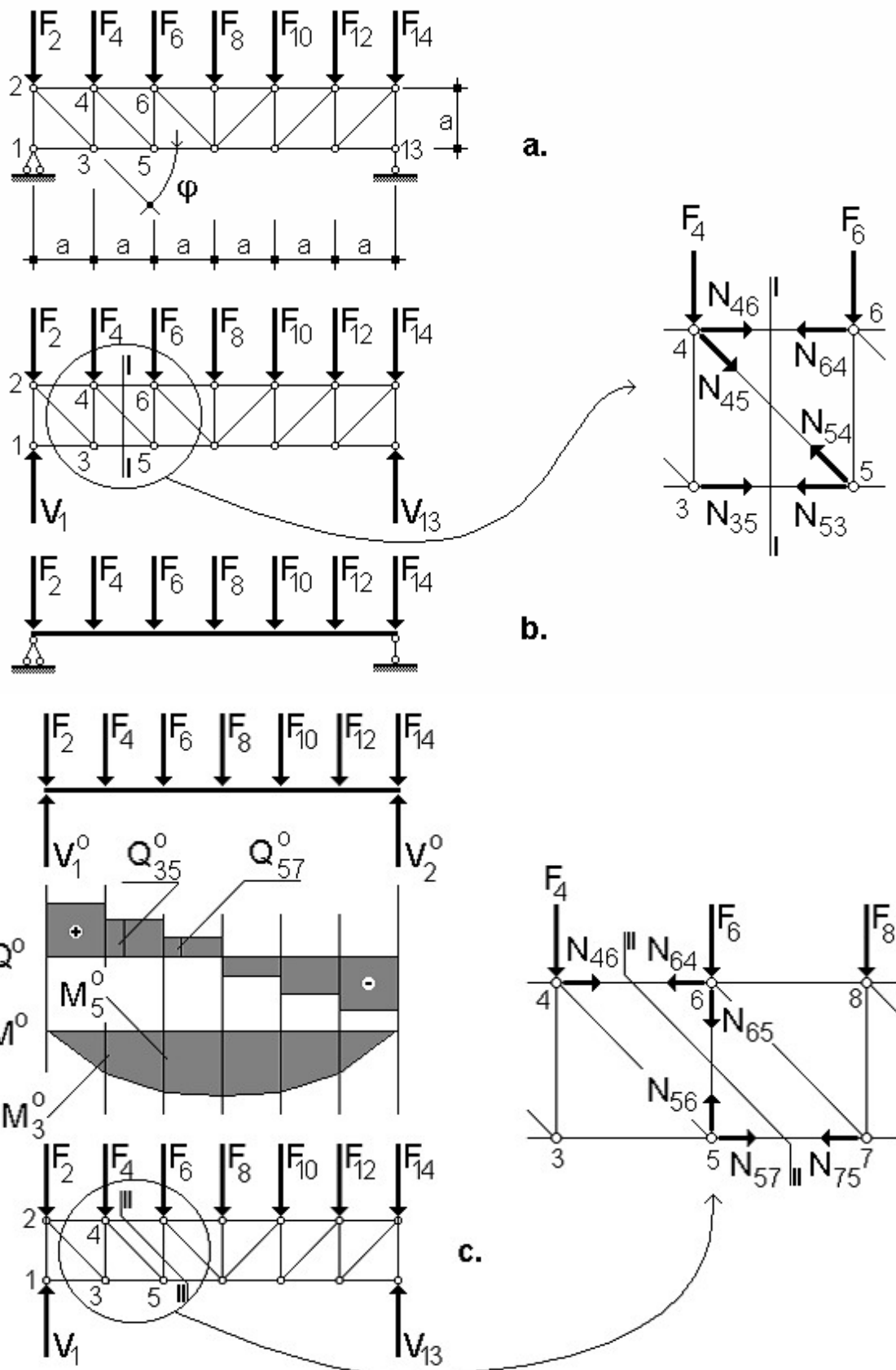
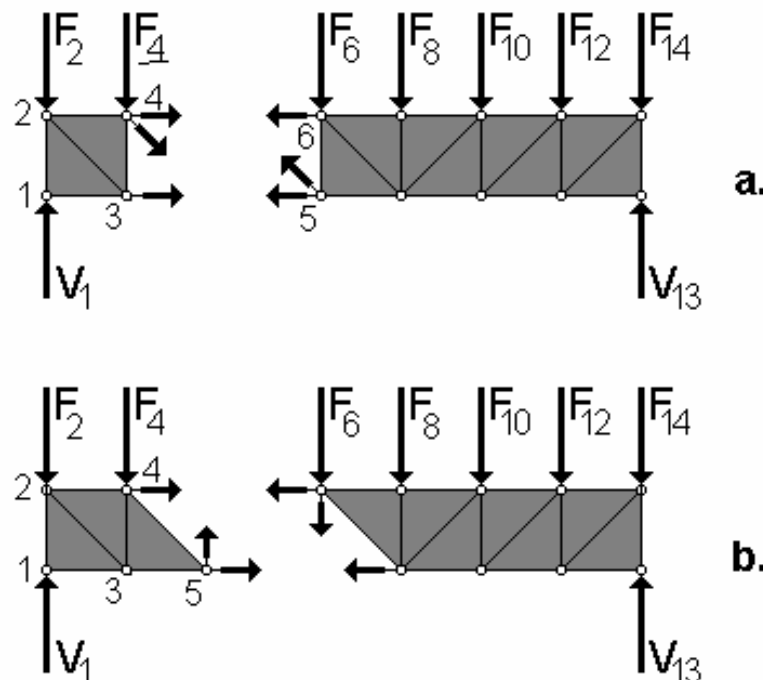


Fig.2.79

Metoda secțiunilor.

Method of sections.



**Fig.2.80**

**Echilibru tronsoanelor.**

**Equilibrium of parts.**

**E 2.19 ↗**

**2.5.2.d Metoda secțiunilor - grafic (Culman)**

**Principiu:** se descompune rezultanta tuturor forțelor din stânga sau din dreapta secțiunii pe cele trei direcții ale barelor secționate, componentele obținute cu semn schimbat reprezentând eforturile axiale în bare.

**2.5.2.d Method of sections - graphical (Culmann)**

**Principle:** the resultant of all the forces at the left or right of the section is resolved in the three directions of the sectioned bars, the components obtained, with opposite sign, represent the axial forces in the bars.

**2.5.3. Calculul structurilor cu zăbrele compuse**

Pentru calculul structurilor cu zăbrele compuse există două metode:

- a. combinarea celor două metode generale, metoda izolării nodurilor și metoda secțiunilor, ex.2.20;

**2.5.3. Analysis of compound trusses**

There are two methods for the analysis of the compound trusses:

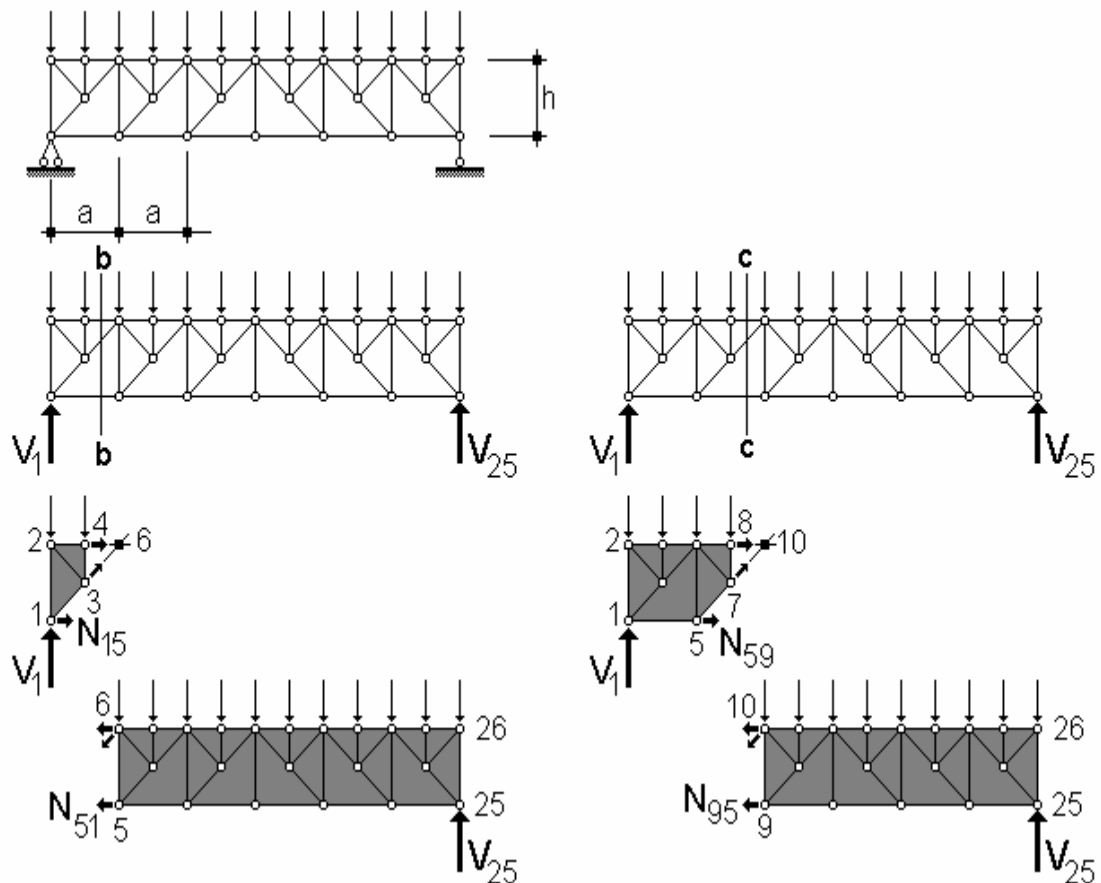
- a. combination of the two general methods, method of joints and method of sections, ex.2.20;

- b. descompunerea structurii în sisteme simple principale și secundare, rezolvarea acestora prin metodele generale și suprapunerea efectelor, ex.2.21.
- b. breaking down the structure in simple main and secondary systems and their analysis using general methods and the superposition of effects, ex.2.21.

**Exemplu / Example 2.20**

Să se determine starea de eforturi pentru grinda cu zăbrele, cu tâlpi paralele, din fig.2.81 - metoda izolării nodurilor și metoda secțiunilor.

Determine the axial force in the bars of the truss with parallel chords shown in fig.2.81 - method of joints and method of sections.



**Fig.2.81**

**Grindă cu zăbrele compusă.**

**Compound truss.**

- a. analiza statică a grinzelii:

- a. static analysis of the truss:

$$h = (b+r) - 2n = (49+3) - 2 \cdot 26 = 0$$

EFORTURI STRUCTURI STATIC DETERMINATE / INTERNAL FORCES STATICALLY  
DETERMINATE STRUCTURES

- b. calculul reacțiunilor :  $V_1$  și  $V_2$       b. calculation of the reactions:  $V_1$  and  $V_2$
- c. calculul eforturilor  $N_{15}$  și  $N_{51}$       c. calculation of the axial forces  $N_{15}$  and  $N_{51}$  (secțiunea b-b):

$$N_{15} = \frac{M_6^{(1-4)}}{h} = N_{51} = \frac{M_6^{(5-26)}}{h}$$

- d. izolarea nodurilor în ordinea următoare:      d. isolation of the joints in the following sequence:

- nodul / joint 1 - pentru a calcula / to calculate  $N_{13}, N_{12}$
- nodul / joint 2 - pentru a calcula / to calculate  $N_{23}, N_{24}$
- nodul / joint 3 - pentru a calcula / to calculate  $N_{34}, N_{36}$
- nodul / joint 4 - pentru a calcula / to calculate  $N_{46}$

- e. calculul eforturilor  $N_{59}$  și  $N_{95}$       e. calculation of the axial forces  $N_{59}$  and  $N_{95}$  (secțiunea b-b):

$$N_{59} = \frac{M_{10}^{(1-8)}}{h} = N_{95} = \frac{M_{10}^{(9-26)}}{h}$$

- f. izolarea nodurilor în ordinea următoare: **5, 6, 7, 8**      f. isolation of the joints in the following sequence: **5, 6, 7, 8**

și apoi mai departe.      and so on.

**E 2.20 ↗**

**Exemplu / Example 2.21**

Să se determine starea de eforturi pentru grinda cu zăbrele cu tălpi paralele din fig.2.82, prin descompunerea structurii în sisteme simple principale și secundare.

- a. analiza statică a grinzelii:

$$h=(b+r)-2n=(49+3)-2\cdot 26=0$$

- b. descompunerea structurii:

Determine the axial force in the bars of the truss with parallel chords shown in fig.2.82, by breaking down the truss in simple main and secondary systems.

- a. static analysis of the truss:

Structura este descompusă într-un sistem principal și mai multe sisteme secundare, simplu rezemate în nodurile sistemului principal.

**c. stabilirea încărcărilor:**

Fiecare sistem secundar este încărcat cu o forță  $F$  care dă reacțiuni egale cu  $F/2$ . În nodurile sistemului principal acționează forțele directe  $F$  și forțele  $F/2$  transmise de la sistemele secundare.

**d. verificarea:**

Suma încărcărilor structurii compuse trebuie să fie aceeași cu suma încărcărilor sistemului principal:

The truss is broken down in a main system and more secondary systems, simply supported at the joints of the main system.

**c. identification of the loads:**

Each secondary system is subjected to a force  $F$  which results in reactions equal to  $F/2$ . The joints of the main system are charged by direct forces  $F$  and forces  $F/2$  transmitted by the secondary systems.

**d. verification:**

The summation of the loads on the compound truss needs to be the same as the summation of loads on the main system:

$$\sum F_y^c = 11 \cdot F$$

$$\sum F_y^{(p)} = 5 \cdot F + 12 \cdot F / 2 = 11 \cdot F$$

**e. calculul eforturilor pentru fiecare sistem**

**f. suprapunerea efectelor:**

**e. calculation of the axial forces for each system**

**f. superposition of the effects:**

$$N_{12} = N_{12}^p$$

$$N_{13} = N_{15}^p + N_{13}^s$$

$$N_{35} = N_{15}^p + N_{35}^s$$

$$N_{34} = N_{34}^s$$

$$N_{45} = N_{25}^p + N_{45}^s$$

$$N_{24} = N_{25}^p$$

$$N_{26} = N_{26}^p$$

$$N_{56} = N_{56}^p$$

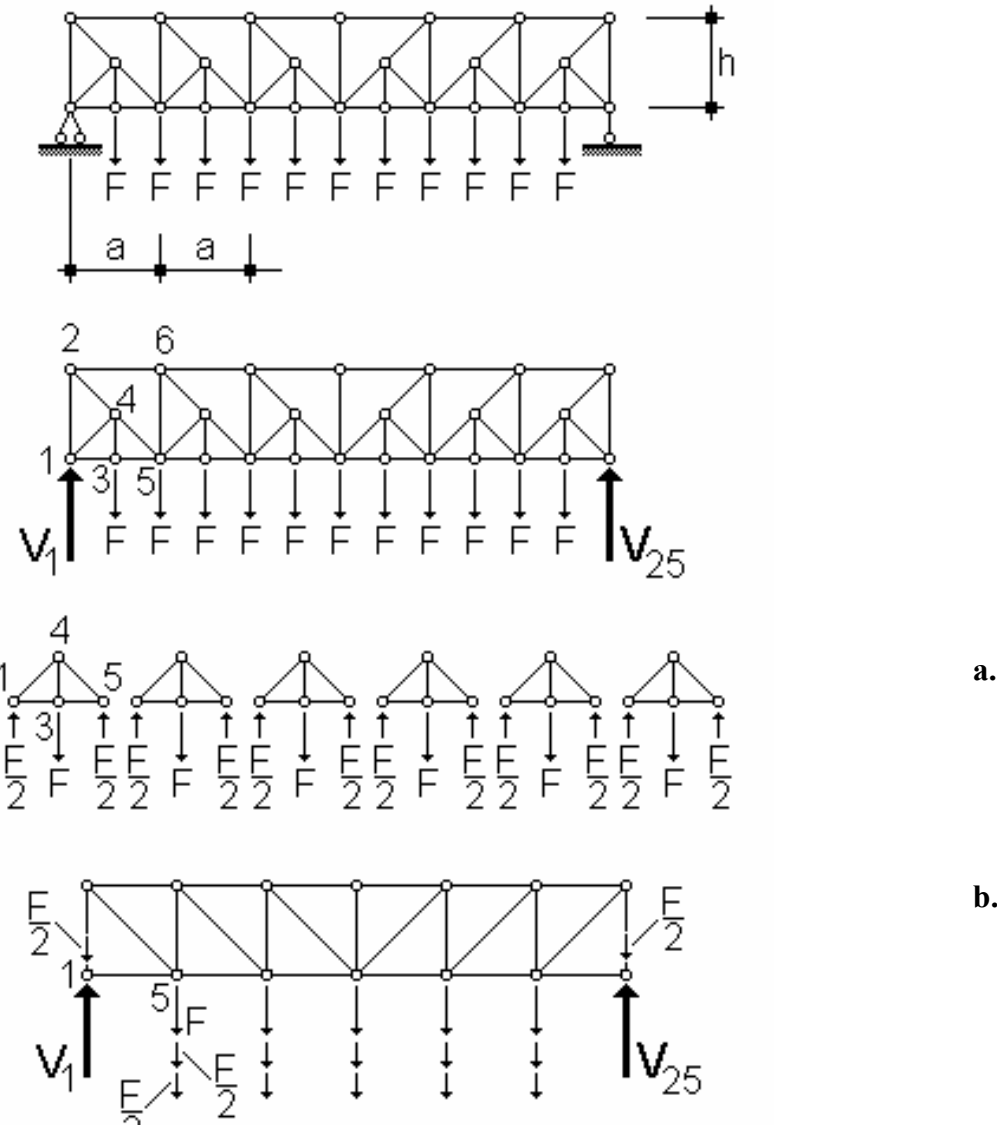


Fig.2.82

Grindă cu zăbrele compusă.

Compound truss.

**E 2.21**

#### 2.5.4 Calculul altor structuri cu zăbrele

Possibilitățile de calcul pentru structurile complexe sunt:

- metodele generale (separate sau combinate);

#### 2.5.4 Analysis of other types of pin-jointed structures

The methods for the analysis of complex trusses are :

- general methods (separate or combined);

- o metodă generală, combinată cu o metodă particulară (metoda secțiunilor duble, metoda înlocuirii barelor, metoda lucrului mecanic virtual).

De obicei, cu ajutorul metodelor particulare, se calculează efortul axial în una sau mai multe bare, în vederea utilizării unei metode generale pentru determinarea eforturilor în celelalte bare.

Pentru calculul altor structuri cu zăbrele (grinzi Gerber, cadre, arce) se aplică:

- principiile generale prezentate în paragrafele anterioare pentru schema statică și calculul reacțiunilor;
- metodele analizate anterior pentru calculul eforturilor axiale în bare, în raport cu sistemul de structură cu zăbrele (simplă, compusă sau complexă).

- a general method combined with a particular method (method of double sections, method of bar replacement, method of virtual work).

Usually the particular methods are used to calculate the axial force in one or more bars in order to use a general method for the calculation of the axial forces in the other bars.

For the analysis of other pin-jointed structures (Gerber beams, frames, arches), one uses:

- general principles presented in the previous paragraphs for the structural scheme and the calculation of reactions;
- methods previously presented for the calculation of the axial forces in the bars, depending on the type of pin-jointed structure (simple, compound or complex).

# 3

## PRINCIPIUL LUCRULUI MECANIC VIRTUAL STRUCTURI STATIC DETERMINATE

### PRINCIPLE OF VIRTUAL WORK DETERMINATE STRUCTURES

Principiul lucrului mecanic virtual se enunță astfel:

Condiția necesară și suficientă pentru ca un sistem de forțe (acțiuni și reacțiuni) să fie în echilibru este ca lucrul mecanic virtual produs de forțe cu deplasările virtuale, compatibile cu legăturile, trebuie să fie zero.

Caracteristicile deplasărilor virtuale sunt:

- infinit mici;
- direcția lor este normală pe raza măsurată în raport cu centrul absolut de rotație al corpului respectiv (deplasarea are aceeași direcție ca viteza instantanea), fig.3.1;
- proporționale cu razele, fig.3.1.

Pentru a aplica principiul lucrului mecanic virtual în vederea calculului unei reacțiuni sau al unui efort la o structură static determinată, trebuie parcursă etapele următoare:

The principle of virtual work is stated as follows:

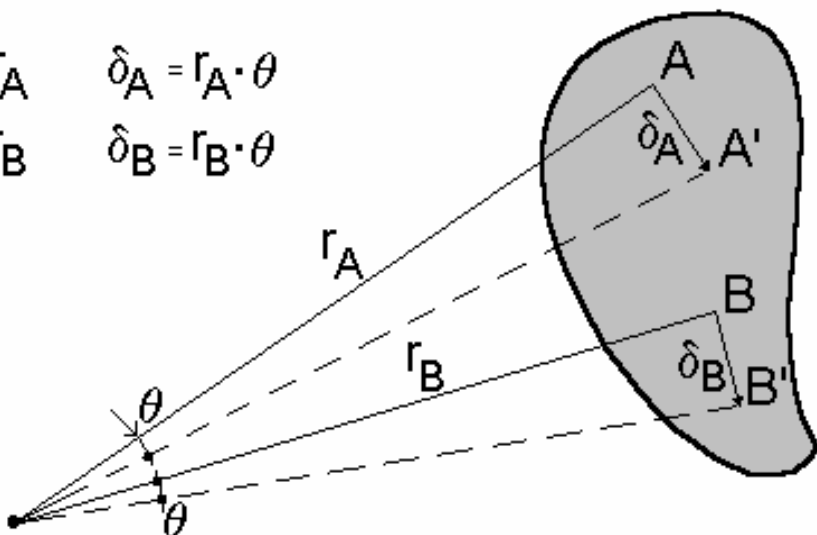
The condition necessary and sufficient for a system of forces (actions and reactions) to be in equilibrium is that the virtual work produced by the forces with the virtual displacements, compatible with the connections, needs to be equal to zero.

The characteristics of the virtual displacements are:

- infinitisimally small;
- their direction is perpendicular to the radius measured with respect to the absolute centre of rotation of that body (the displacement has the same direction as the instantaneous velocity), fig.3.1;
- proportional with the radii, fig.3.1.

In order to use the principle of virtual work to calculate the reactions or the internal forces in a statically determinate structure, the next steps have to be followed:

$$\begin{aligned}\delta_A \perp r_A & \quad \delta_A = r_A \cdot \theta \\ \delta_B \perp r_B & \quad \delta_B = r_B \cdot \theta\end{aligned}$$



**Relația între deplasări și raze.**

**Relationship between displacements and radii.**

- a. Eliminarea legăturii exterioare (pentru o reacțiune) sau interioare (pentru un efort) necesare, în modul indicat în fig.3.2 și 3.3, pentru:
- reacțiunea dintr-un reazem simplu, fig.3.2.a;
  - componente V și H dintr-o articulație, fig.3.2.b;
  - componente V, H și M dintr-o încastrare, fig.3.2.c;
  - forță tăietoare dintr-o secțiune oarecare, fig.3.3.a;
  - momentul încovoietor dintr-o secțiune oarecare, fig.3.3.b;
  - efortul axial dintr-o secțiune oarecare, fig.3.3.c.
- a. Release the corresponding external connection (for reaction) or internal connection (for internal load), as shown in fig.3.2. and 3.3, for:
- reaction in a roller support, fig.3.2.a;
  - components V and H in a pin support (fig.3.2.b);
  - components V, H and M in a built-in support, fig.3.2.c;
  - shear force at a certain section, fig.3.3.a;
  - bending moment at a certain section, fig.3.3.b;
  - axial force at a certain section, fig.3.3.c.

Legătura eliminată este înlocuită prin reacțiunea sau efortul corespunzător, astfel încât sistemul rămâne echivalent cu structura inițială static determinată dar devine un mecanism pentru deplasări virtuale (fictive).

The released connection is replaced by the corresponding reaction or interal force so that the system remains equivalent to the initial statically determinate structure but becomes a mechanism for the virtual (imaginary) displacements.

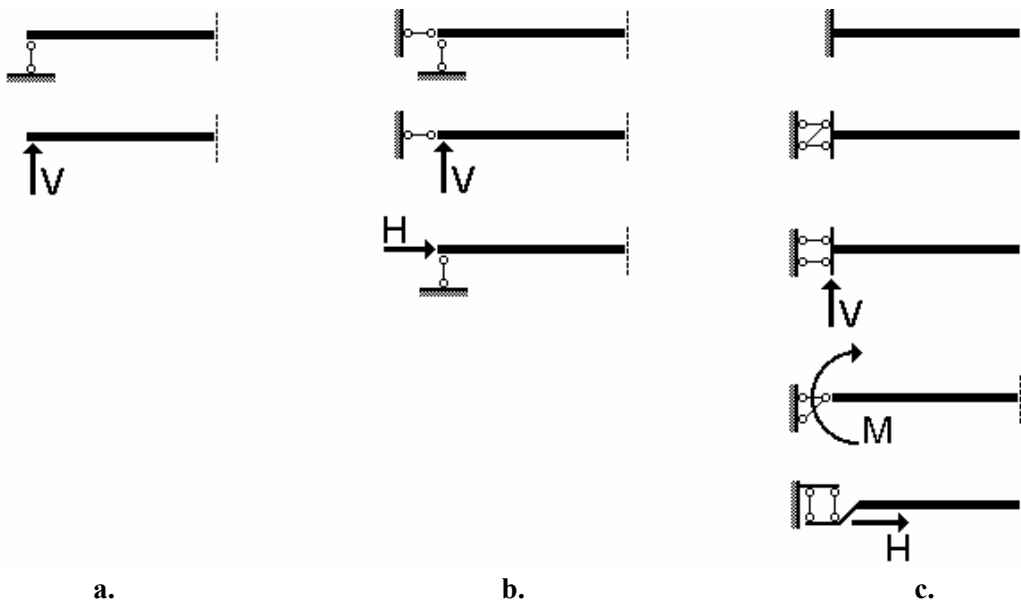


Fig.3.2

**Legături exterioare diverse și reacțiunile.**

- a. - rezem simplu, b. - articulație,
- c. - încastrare

**Different external connections and reactions.**

- a. - roller support, b. - pin support,
- c. - built-in support

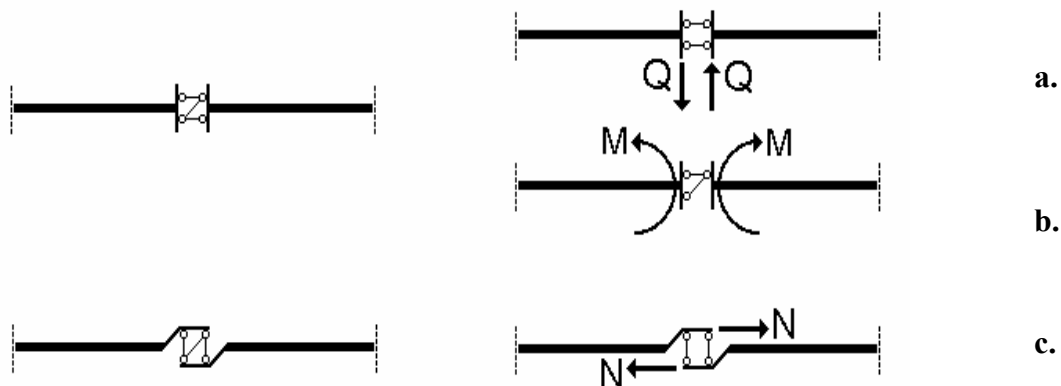


Fig.3.3

**Legături interioare diverse și eforturi.**

- a. - forță tăietoare, b. - moment încovoiator, c. - efort axial

**Different internal connections and internal forces.**

- a. - shear force, b. - bending moment,
- c. - axial force

**b.** Analiza cinematică a mecanismului obținut. Această etapă constă în:

**b.** kinematic analysis of the mechanism obtained. This step consists of:

- stabilirea numărului de corpu componentă (numerotate I, II, ...);
- identificarea eventualelor corpu fixe;

- establish the number of component bodies (denoted by I, II, ...);
- identify the likely fixed bodies;

- stabilirea centrelor instantanee de rotație: centre absolute (care au viteza nulă, deci deplasarea nulă), notate cu  $(1,T)$ ,  $(2,T)$ , ... și centre relative (care au viteza relativă nulă și sunt puncte comune în jurul cărora un corp se rotește în raport cu altul), notate  $(1,2)$ ,  $(2,3)$ , ....
- establish the instantaneous centres of rotation : absolute centers (which have zero velocity, thus zero displacement), denoted by  $(1,T)$ ,  $(2,T)$ , ... and relative centres (which have zero relative velocity, being common points around which a body is rotating relative to the other), denoted by  $(1,2)$ ,  $(2,3)$ , ....

Acese centre de rotație se găsesc:

- direct: articulațiile exterioare sunt centre absolute, articulațiile interioare sunt centre relative;
- utilizând direcțiile cunoscute ale deplasărilor unor puncte (de obicei reazemele simple);
- utilizând teorema de coliniaritate a centrelor instantanee de rotație în două variante:

### **Teorema I**

Pentru două coruri I și II ale unui mecanism, cele două centre absolute și centrul lor relativ de rotație sunt coliniare, fig.3.4.

### **Teorema II**

Pentru trei coruri I, II și III ale unui mecanism, cele trei centre relative de rotație sunt coliniare, fig.3.5.

Un caz frecvent este cel prezentat în fig.3.6, având două coruri I și II, legate cu două bare articulate. În acest caz, aplicând de două ori teorema II, rezultă:

$$\begin{array}{ccc} (13),(23) & \rightarrow & (12) \\ (13),(14) & \rightarrow & (34) \end{array}$$

deci centrul relativ  $(12)$  se găsește la intersecția celor două bare articulate.

- establish the instantaneous centres of rotation : absolute centers (which have zero velocity, thus zero displacement), denoted by  $(1,T)$ ,  $(2,T)$ , ... and relative centres (which have zero relative velocity, being common points around which a body is rotating relative to the other), denoted by  $(1,2)$ ,  $(2,3)$ , ....

These centres can be found:

- directly: external pins are absolute centres, the internal pins are relative centres;
- by using the known displacement directions of certain points (usually the rollers);
- by using the collinearity theorem of the instantaneous centres of rotation in two versions:

### **Theorem I**

For two bodies I and II of a mechanism, the two absolute centres and their relative centre of rotation are collinear, fig.3.4.

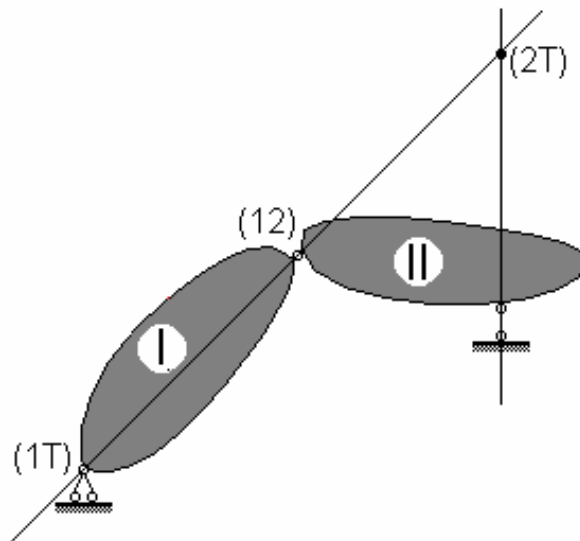
### **Theorem II**

For three bodies I, II and III of a mechanism, the three relative centres of rotation are collinear, fig.3.5.

A frequently met case is the one shown in fig.3.6, having two bodies I and II, connected by two pinned bars. In this case, by applying the theorem II, it results:

$$\begin{array}{ccc} (14),(24) & \rightarrow & (12) \\ (23),(24) & \rightarrow & (34) \end{array}$$

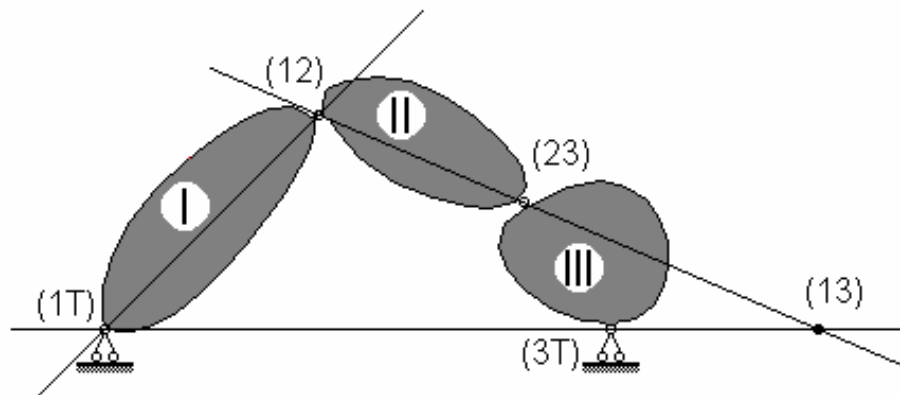
thus the relative center  $(12)$  lies at the intersection of the two pinned bars.



**Fig.3.4.**

**Teorema I de coliniaritate.**

**Theorem I of colinearity.**



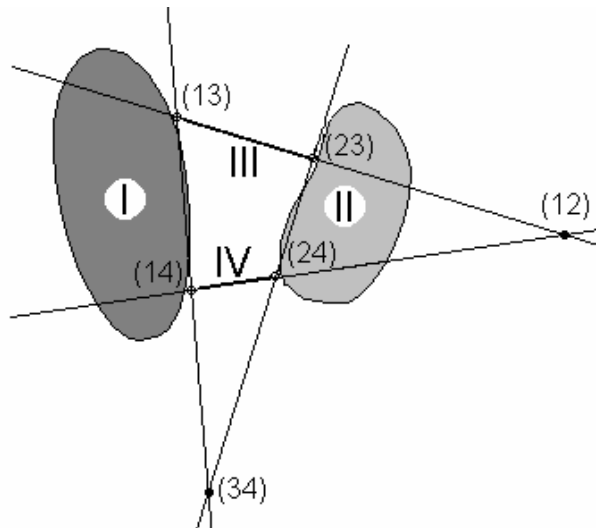
**Fig.3.5**

**Teorema II de coliniaritate.**

**Theorem II of colinearity.**

In cazul particular din fig.3.7, unde cele două bare sunt paralele, centrul (1,2) se găsește la infinit pe direcția celor două bare.

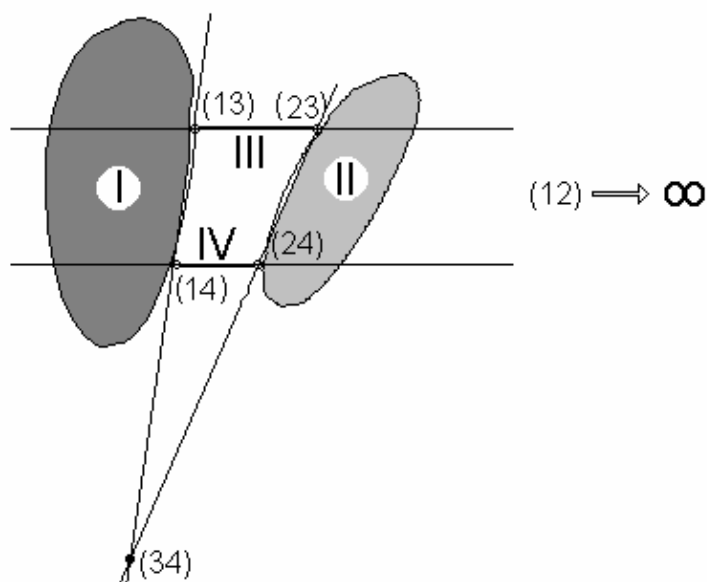
For the particular case shown in fig.3.7, where the two bars are parallel, the centre (1,2) lies at infinity, in the direction of the two bars.



**Fig.3.6**

**Centrele instantanee relative de rotație pentru două corpuri.**

**Instantaneous relative centres of rotation for two bodies.**



**Fig.3.7**

**Centrul relativ de rotație la infinit.**

**Relative centre of rotation at infinity.**

- c. Determinarea diagramelor de deplasări virtuale pe direcție verticală, fig.3.8.b, și pe direcție orizontală, fig.3.8.c, pentru mecanismul din fig.3.8.a, având în vedere că:
- c. Draw the virtual displacement diagrams in the vertical direction, fig.3.8.b, and horizontal direction, fig.3.8.c, for the mechanism shown in fig.3.8.a, considering that:

- deplasările și proiecțiile lor au variații liniare;
- diagramele au puncte de deplasare zero unde centrele absolute se proiectează pe cele două axe ;
- deplasarea unui centru relativ este aceeași pentru cele două corpurile corespunzătoare;
- axele de referință fiind perpendiculare și unghiul  $\theta$  fiind același, diagramele unui corp sunt la rândul lor perpendiculare; aceasta este, de fapt, o metodă de verificare pentru diagramele de deplasări, fig.3.8.b și fig.3.8.c;
- se pot calcula deplasările și unghiurile de rotație a corpurilor, fig.3.8.a, prin raportarea la un parametru cunoscut oarecare; de exemplu, considerând ca parametru unghiul de rotație  $\theta_1$ , fig.3.8.b, putem calcula:

$$\delta_{23}^h = (h_4 + h_5) \cdot \theta_2 = (h_4 + h_5) \cdot \frac{d_1}{d_2} \cdot \theta_1$$

d. Scrierea condiției de echilibru prin lucru mecanic virtual:

$$\bar{W} = \sum \pm F_i \cdot \delta_i + \sum \pm M_k \cdot \theta_k + \sum \pm p_j \cdot A_j \quad (3.1)$$

de unde, simplificând parametrul arbitrar considerat, vom deduce mărimea statică căutată (reacțune sau efort).

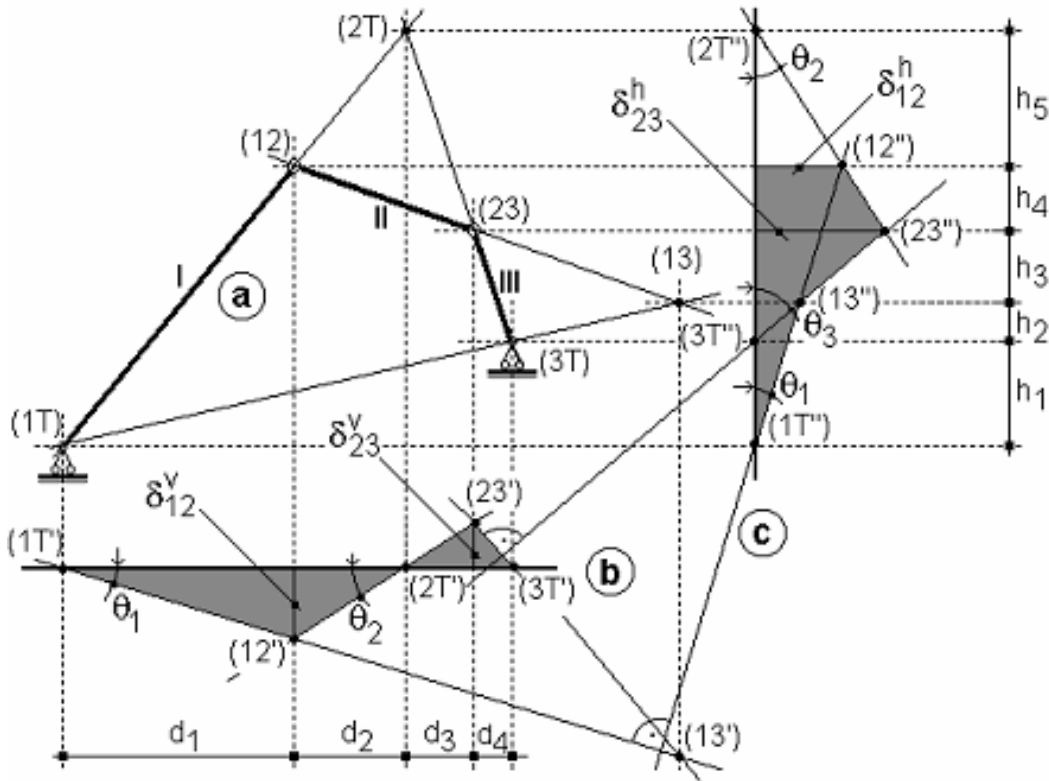
In relația (3.1), ultimul termen corespunde încărcărilor uniform distribuite,  $A_j$  fiind ariile diagramele de deplasări (se pot, de asemenea, înlocui încărcările distribuite cu rezultantele lor concentrate pe tronsoane având diagramele de deplasări continue).

- the displacements and their projections have linear variations;
- the diagrams have points of zero displacement where the absolute centres are projected on the two axes;
- the displacement of a relative centre is the same for the two corresponding bodies;
- since the reference axes are perpendicular to each other and the  $\theta$  angle is the same, the diagrams of a body are also perpendicular to each other; this is actually a verification method for the displacement diagrams, fig.3.8.b and fig.3.8.c;
- the displacements and angles of rotation of the bodies can be calculated as a function of a certain known parameter, fig.3.8.a; for example, considering as a parameter the angle of rotation  $\theta_1$ , fig.3.8.b, one can calculate:

d. Write the equilibrium condition by virtual work:

in which, by simplifying the arbitrary parameter considered, one can calculate the static quantity sought (reaction or internal force).

In the relationship (3.1), the last term corresponds to the uniformly distributed load;  $A_j$  are the areas of the displacement diagrams (the distributed loads can also be replaced by their resultant forces, as point loads in regions with continuous displacement diagrams).


**Fig.3.8**

**Diagrame de deplasări virtuale.**  
a. - mecanism, b. - pe direcție verticală, c. - pe direcție orizontală

**Diagrams of virtual displacements.**  
a. - mechanism, b. - vertical direction,  
c. - horizontal direction

### Exemplu / Example 3.1

Să se determine reacțiunea  $V_1$  pentru grinda simplu rezemată din fig.3.9.a.

Se elimină reazemul simplu 1 și se înlocuiește cu reacțiunea  $V_1$ , obținând mecanismul din fig.3.9.b, pentru care (1T) se determină direct, fig.3.9.c.

Din diagrama de deplasări virtuale pe direcție verticală din fig.3.9.c, rezultă:

$$\delta_{V_1} = \mathbf{L} \cdot \theta_1$$

$$\delta_p = \frac{3}{4} \mathbf{L} \cdot \theta_1$$

Determine the reaction  $V_1$  for the simply supported beam shown in fig.3.9.a.

The roller support 1 is removed, being replaced by the reaction  $V_1$ , resulting in the mechanism shown in fig.3.9.b, for which (1T) is directly determined, fig.3.9.c.

From the diagram of virtual displacements in the vertical direction in fig.3.9.c, one obtains:

$$\bar{\mathbf{W}} = -\mathbf{V}_1 \cdot \delta_{V_1} + \mathbf{P} \cdot \delta_p = 0$$

de unde:

resulting in:

$$V_1 = P \cdot \frac{\delta_p}{\delta_{v_1}} = P \cdot \frac{3/4 \cdot L \cdot \theta_1}{L \cdot \theta_1} = \frac{3}{4} P$$

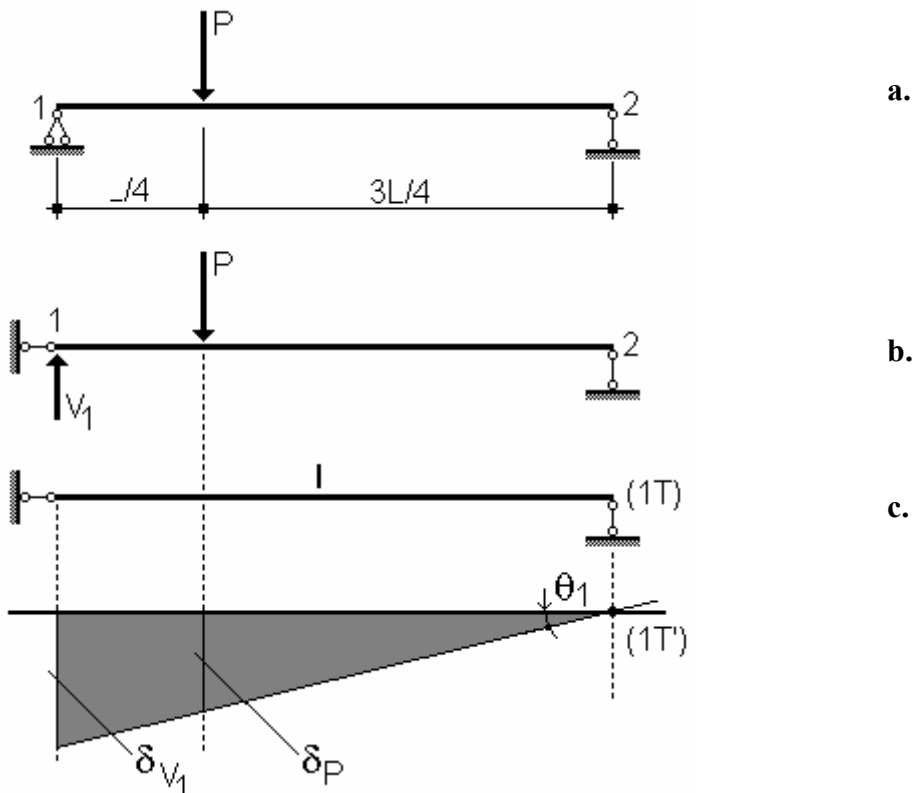


Fig.3.9

**Diagrama de deplasări virtuale pentru o grindă cu două reazeme simple.**

**Diagram of virtual displacements for a beam with two rollers.**

### E 3.1 ↗

#### Exemplu / Example 3.2

Să se determine efortul  $M_2$  pentru grinda Gerber din fig.3.10.a.

Introducând o articulație pe reazemul 2 și perechea de momente  $M_2$ , se obține mecanismul din fig.3.10.b și diagrama de deplasări din fig.3.10.c, unde:

Determine the bending moment  $M_2$  for the Gerber beam shown in fig.3.10.a.

By introducing a pin and the couple moments  $M_2$  at support 2, the mechanism shown in fig.3.10.b and the displacement diagram shown in fig.3.10.c are obtained, resulting in:

$$\delta_3 = 2 \cdot \theta_2 = 8 \cdot \theta_3$$

deci / thus:

$$\theta_3 = 0.25 \cdot \theta_2$$

$$\delta_5 = 2 \cdot \theta_3 = 0.5 \cdot \theta_2$$

Ecuația de echilibru este:

The equation of equilibrium is:

$$\bar{W} = -M_2 \cdot \theta_2 + 80 \cdot \delta_5 = 0$$

de unde / resulting in:  $M_2 = 40 \text{ KN}$

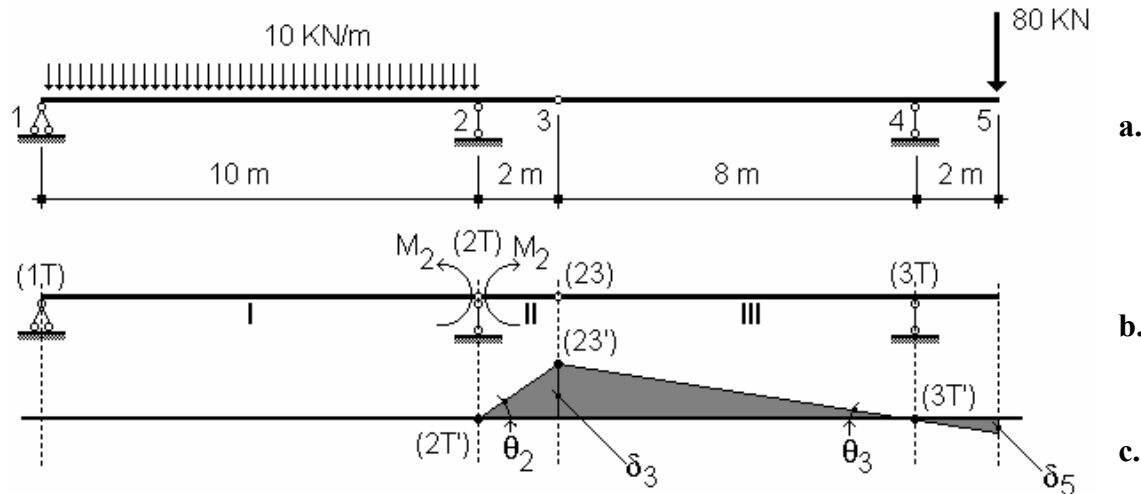


Fig.3.10

a. - Grinda Gerber, b. - analiza cinematică, c. - diagrama de deplasări virtuale pentru  $M_2$

a. - Gerber beam, b. - kinematic analysis, c. - diagram of virtual displacements for  $M_2$

### E 3.2 ↗

#### Exemplu / Example 3.3

Să se determine eforturile  $Q_2$  la stânga și la dreapta reazemului 2 pentru grinda Gerber din fig.3.10.a.

Pentru calculul forței tăietoare la stânga reazemului 2, mecanismul este cel din fig.3.11.a și se obține diagrama de deplasări virtuale din fig.3.11.b, unde:

$\theta_1 = \theta_2$  - deplasările barelor I și II sunt paralele / the displacements of the bars I and II are parallel)

Determine the shear force  $Q_2$  to the left and right of support 2 for the Gerder beam shown in fig.3.10.a.

Fig.3.11.a shows the mechanism for the calculation of the shear force to the left of support 2. The corresponding diagram of virtual displacements is shown in fig.3.11.b, where:

$$\delta_2 = 10 \cdot \theta_1$$

$$\delta_3 = 2 \cdot \theta_2 = 2 \cdot \theta_1 = 8 \cdot \theta_1$$

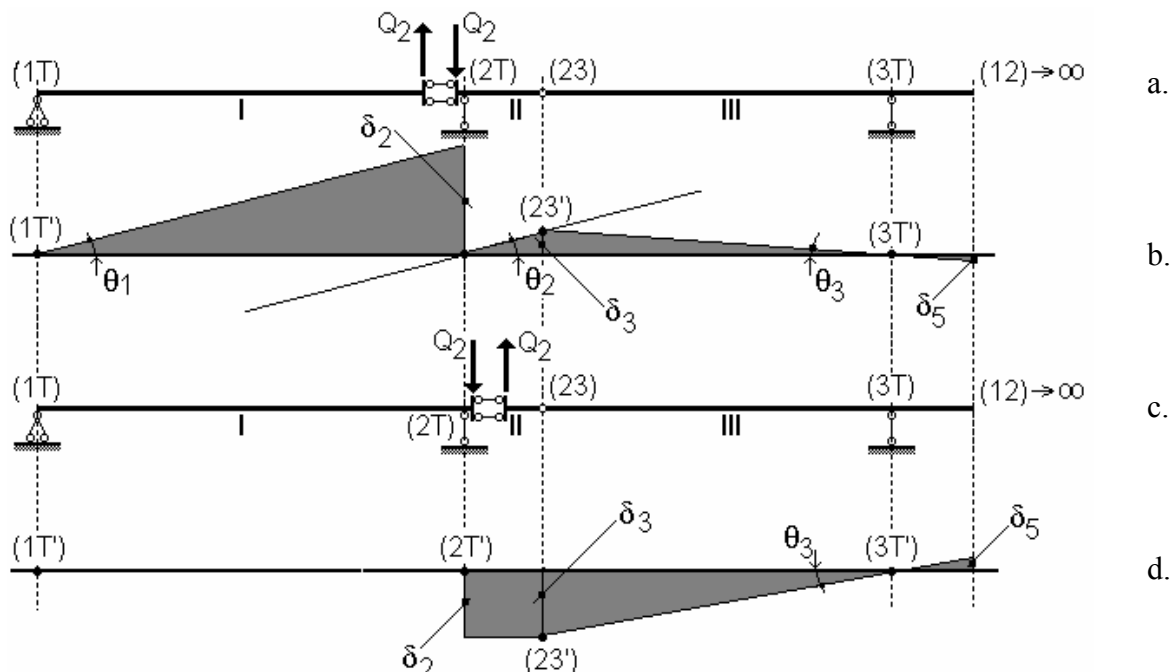
deci / thus:  $\theta_3 = 0.25 \cdot \theta_1$

$$\delta_5 = 2 \cdot \theta_3 = 0.5 \cdot \theta_1$$

Ecuația de lucru mecanic virtual este:

$$-Q_2 \cdot \delta_2 - 10 \cdot \frac{1}{2} \cdot 10 \cdot \delta_2 + 80 \cdot \delta_5 = 0 \quad \text{de unde / resulting in: } Q_2 = -46 \text{ KN}$$

The equation of virtual work is:



**Fig.3.11**

- a. și c. - analiza cinematică,
- b. și d. -diagramele de deplasări virtuale pentru Q - grinda Gerber din fig.3.10a.

- a. and c. - kinematic analysis,
- b. and d. -diagrams of virtual displacements for Q - Gerber beam in fig.3.10.a.

Pentru a calcula forța tăietoare la dreapta reazemului 2, mecanismul este cel din fig.3.11.c și se obține diagrama de deplasări virtuale din fig.3.11.d, unde:

$$\delta_2 = \delta_3 = 8 \cdot \theta_3$$

$$\delta_5 = 2 \cdot \theta_3$$

și:

Fig.3.11.c shows the mechanism for the calculation of the shear force to the right of support 2. The corresponding diagram of virtual displacements is shown in fig.3.11.d, where:

and:

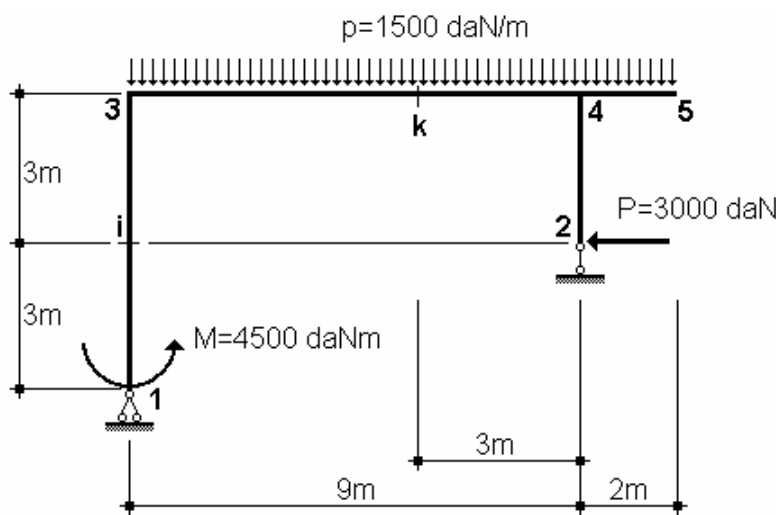
$$\bar{W} = -Q_2 \cdot \delta_2 - 80 \cdot \delta_5 = 0$$

de unde / resulting in:  $Q_2 = -20 \text{ KN}$

**E 3.3 ↗**
**Exemplu / Example 3.4**

Să se determine reacțiunile  $V_1$ ,  $H_1$  și eforturile  $N_i$ ,  $Q_k$ ,  $M_k$  pentru cadrul din fig.3.12.

Determine the reactions  $V_1$ ,  $H_1$  and the internal forces  $N_i$ ,  $Q_k$ ,  $M_k$  for the frame shown in fig.3.12.



**Cadru static determinat.**

**Fig.3.12**

**Statically determinate frame.**

Pentru calculul reacțiunii  $V_1$ , mecanismul și diagrama de deplasări virtuale sunt cele din fig.3.13. Se poate scrie:

For the calculation of reaction  $V_1$ , the mechanism and the diagram of virtual displacements are shown in fig.3.13. One can write:

$$\bar{W} = -V_1 \cdot \delta_1^V + p \cdot \frac{1}{2} \cdot \delta_1^V \cdot 9 - p \cdot \frac{1}{2} \cdot \delta_5^V \cdot 2 + P \cdot \delta_2^h + M \cdot \theta_1 = 0$$

dar:

but:

$$\delta_1^V = 9 \cdot \theta_1$$

$$\delta_5^V = 2 \cdot \theta_1$$

$$\delta_2^h = 3 \cdot \theta_1$$

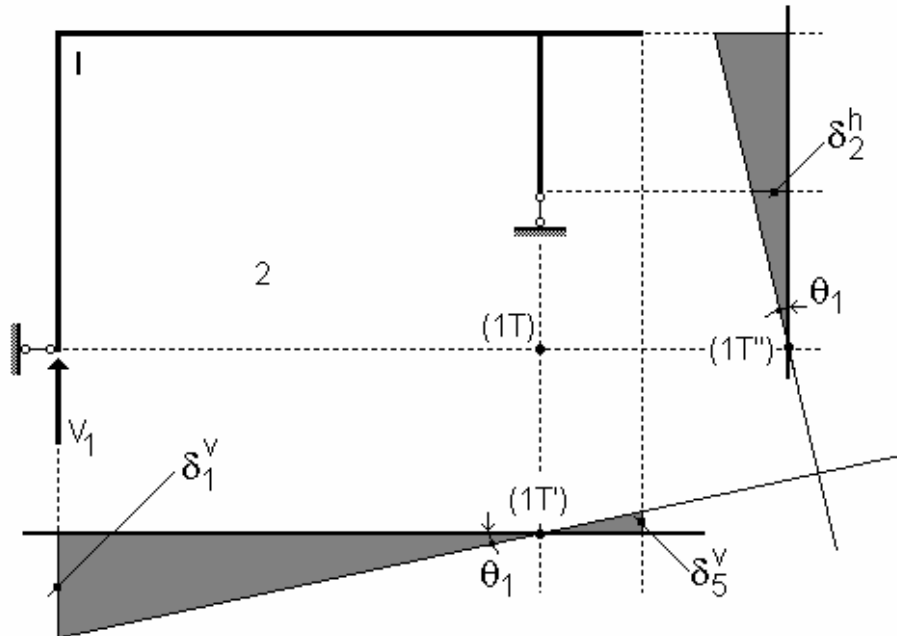
deci:

thus:

$$-V_1 \cdot 9 \cdot \theta_1 + 1500 \cdot \frac{1}{2} \cdot 9 \cdot \theta_1 \cdot 9 - 1500 \cdot \frac{1}{2} \cdot 2 \cdot \theta_1 \cdot 2 + 3000 \cdot 3 \cdot \theta_1 + 4500 \cdot \theta_1 = 0$$

de unde / resulting in:

$$V_1 = 7917 \text{ daN}$$



**Fig.3.13**

**Analiza cinematică și diagramele de deplasări virtuale pentru  $V_1$  - cadrul din fig.3.12.**

**Kinematic analysis and diagrams of virtual displacements for  $V_1$  - frame shown in fig.3.12.**

Pentru calculul reacției  $H_1$ , mecanismul și diagramele de deplasări virtuale sunt cele din fig.3.14. Se poate scrie:

For the calculation of reaction  $H_1$ , the mechanism and the diagrams of virtual displacements are shown in fig.3.14. One can write:

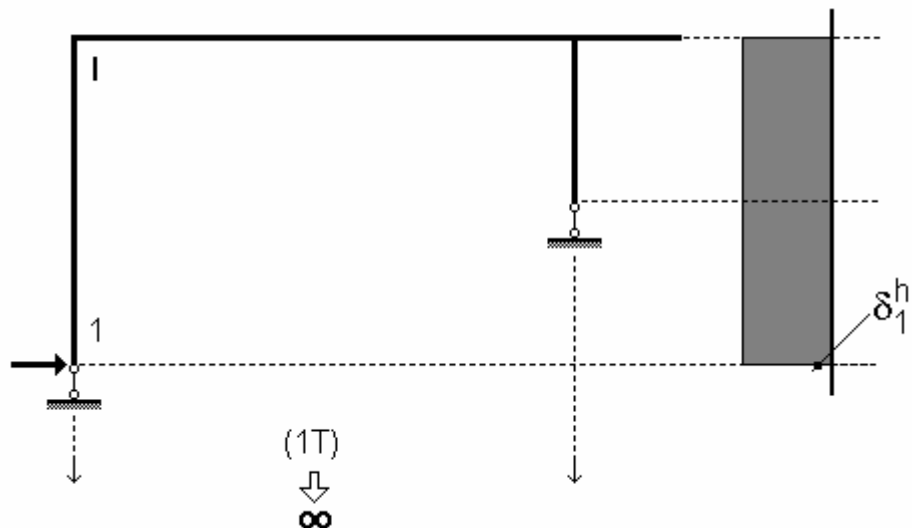
$$-H_1 \cdot \delta_1^h + P \cdot \delta_1^h = 0$$

de unde / resulting in:

$$H_1 = P = 3000 \text{ daN}$$

Pentru calculul efortului  $N_i$ , mecanismul și diagrama de deplasări virtuale sunt cele din fig.3.15. Se poate scrie:

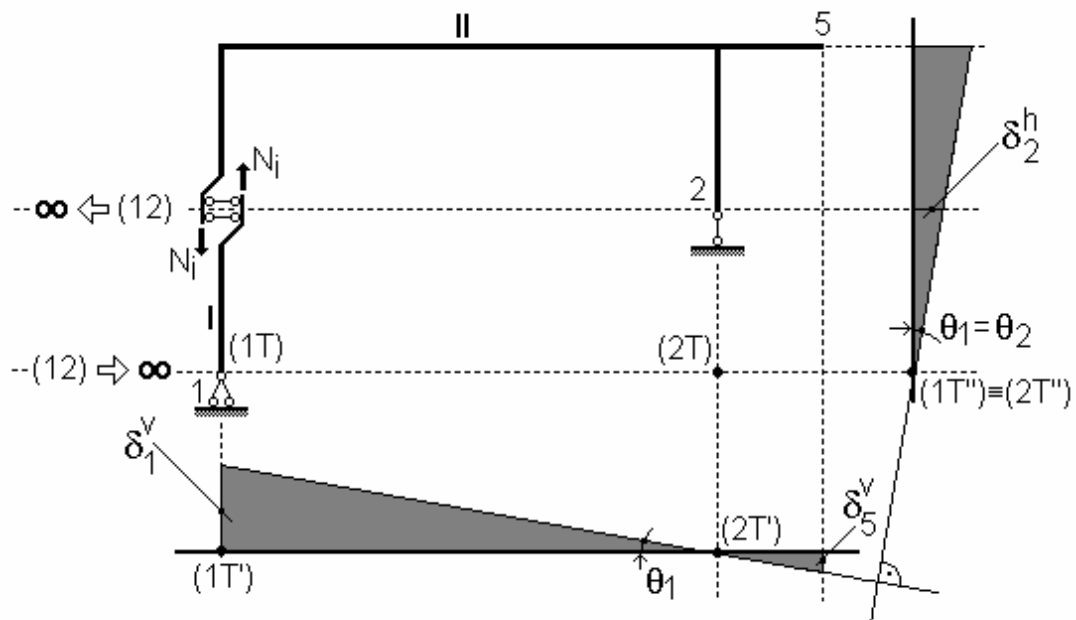
For the axial force  $N_i$ , the mechanism and the diagram of virtual displacements are shown in fig.3.15. One can write:



**Fig.3.14**

**Analiza cinematică și diagrama de deplasări virtuale pentru  $H_1$  - cadrul din fig.3.12.**

**Kinematic analysis and diagram of virtual displacements for  $H_1$  - frame shown in fig.3.12.**



**Fig.3.15**

**Analiza cinematică și diagramele de deplasări virtuale pentru  $N_i$  - cadrul din fig.3.12.**

**Kinematic analysis and diagrams of virtual displacements for  $N_i$  - frame shown in fig.3.12.**

$$-N_i \cdot \delta_1^v - p \cdot \frac{1}{2} \cdot \delta_1^v \cdot 9 + p \cdot \frac{1}{2} \cdot \delta_5^v \cdot 2 - P \cdot \delta_2^h - M \cdot \theta = 0$$

Se vede că:

It can be noticed that:

$$\theta_1 = \theta_2 = \theta$$

deoarece centrul (12) este la infinit.

since the centre (12) is at infinity.

$$\delta_1^v = 9 \cdot \theta_1 \quad \delta_5^v = 2 \cdot \theta_1 \quad \delta_2^h = 3 \cdot \theta_1$$

deci:

thus:

$$-N_i \cdot 9 \cdot \theta - 1500 \cdot \frac{1}{2} \cdot 9 \cdot \theta \cdot 9 + 1500 \cdot \frac{1}{2} \cdot 2 \cdot \theta \cdot 2 - 3000 \cdot 3 \cdot \theta - 4500 \cdot \theta = 0$$

de unde / resulting in:

$$N_i = -7916 \text{ daN}$$

Pentru calculul efortului  $Q_k$ , mecanismul și diagrama de deplasări virtuale sunt cele din fig.3.16. Se poate scrie:

For the calculation of the shear force  $Q_k$ , the mechanism and the diagram of virtual displacements are shown in fig.3.16. One can write:

$$-Q_k \cdot \delta_{kg}^v - Q_k \cdot \delta_{kr}^v - p \cdot \frac{1}{2} \cdot \delta_{kg}^v \cdot 6 + p \cdot \frac{1}{2} \cdot \delta_{kr}^v \cdot 3 - p \cdot \frac{1}{2} \cdot \delta_5^h \cdot 2 + P \cdot \delta_2^h + M \cdot \theta_2 = 0$$

Se vede că:

It can be noticed that:

$$\theta_1 = \theta_2 = \theta$$

deoarece centrul (12) este la infinit;

since the centre (12) is at infinity;

$$\delta_{kg}^v = 6 \cdot \theta_1 \quad \delta_{kr}^v = 3 \cdot \theta_2 \quad \delta_5^v = 2 \cdot \theta_2 \quad \delta_2^h = 3 \cdot \theta_1$$

deci:

thus:

$$-Q_k \cdot (6 \cdot \theta + 3 \cdot \theta) - 1500 \cdot \frac{1}{2} \cdot 6 \cdot \theta \cdot 6 + 1500 \cdot \frac{1}{2} \cdot 3 \cdot \theta \cdot 3 - 1500 \cdot \frac{1}{2} \cdot 2 \cdot \theta \cdot 2 + 3000 \cdot 3 \cdot \theta + 4500 \cdot \theta = 0$$

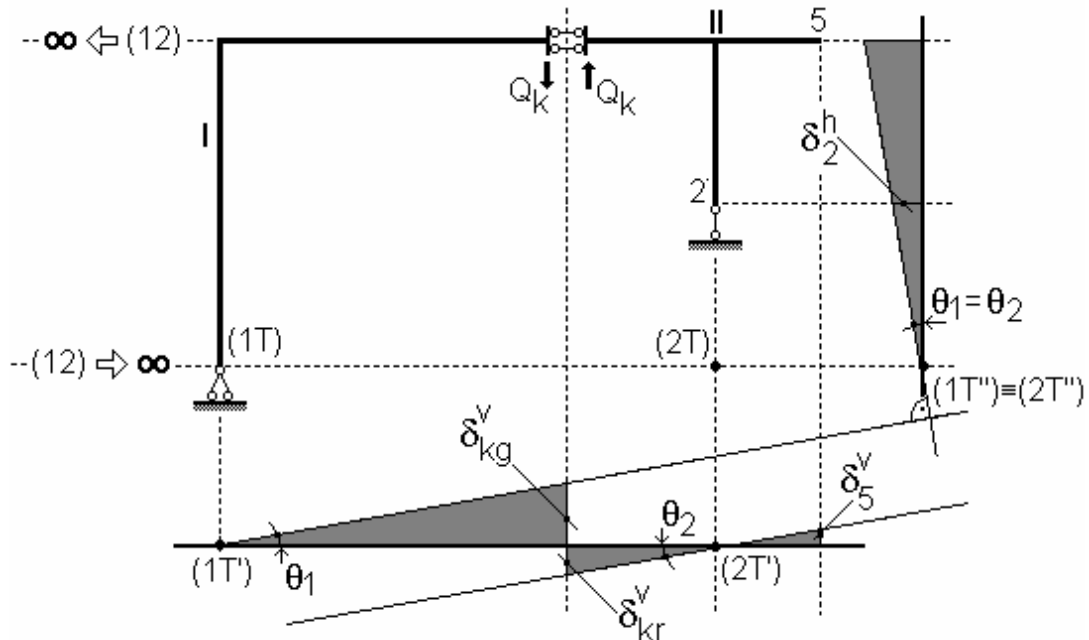


Fig.3.16

**Analiza cinematică și diagramele de deplasări virtuale pentru  $Q_k$  - cadrul din fig.3.12.**

**Kinematic analysis and diagrams of virtual displacements for  $Q_k$  - frame shown in fig.3.12.**

de unde / resulting in:

$$Q_k = -1083 \text{ daN}$$

Pentru calculul efortului  $M_k$ , mecanismul și diagrama de deplasări virtuale sunt cele din fig.3.17. Se poate scrie:

For the calculation of the bending moment  $M_k$ , the mechanism and the diagram of virtual displacements are shown in fig.3.17. One can write:

$$-M_k \cdot \theta_1 - M_k \cdot \theta_2 + p \cdot \frac{1}{2} \cdot \delta_k^v \cdot 6 + p \cdot \frac{1}{2} \cdot \delta_k^v \cdot 3 - p \cdot \frac{1}{2} \cdot \delta_5^v \cdot 2 - P \cdot \delta_2^h - M \cdot \theta_1 = 0$$

dar:

but:

$$\delta_k^v = 6 \cdot \theta_1 = 3 \cdot \theta_2$$

deci / thus:

$$\theta_2 = 2 \cdot \theta_1$$

$$\delta_5^v = 2 \cdot \theta_2 = 4 \cdot \theta_1$$

$$\delta_2^h = 6 \cdot \theta_2 = 12 \cdot \theta_1$$

Inlocuind în ecuație:

By substituting into the following equation:

$$-M_k(\theta_1 + 2 \cdot \theta_1) + 1500 \frac{1}{2} \cdot 6 \cdot \theta_1 \cdot 6 + 1500 \frac{1}{2} \cdot 6 \cdot \theta_1 \cdot 3 - 1500 \frac{1}{2} \cdot 4 \cdot \theta_1 \cdot 2 - 3000 \cdot 12 \cdot \theta_1 - 4500 \cdot \theta_1 = 0$$

se obține:

one obtains:

$$M_k = -2000 \text{ daN} \cdot \text{m}$$

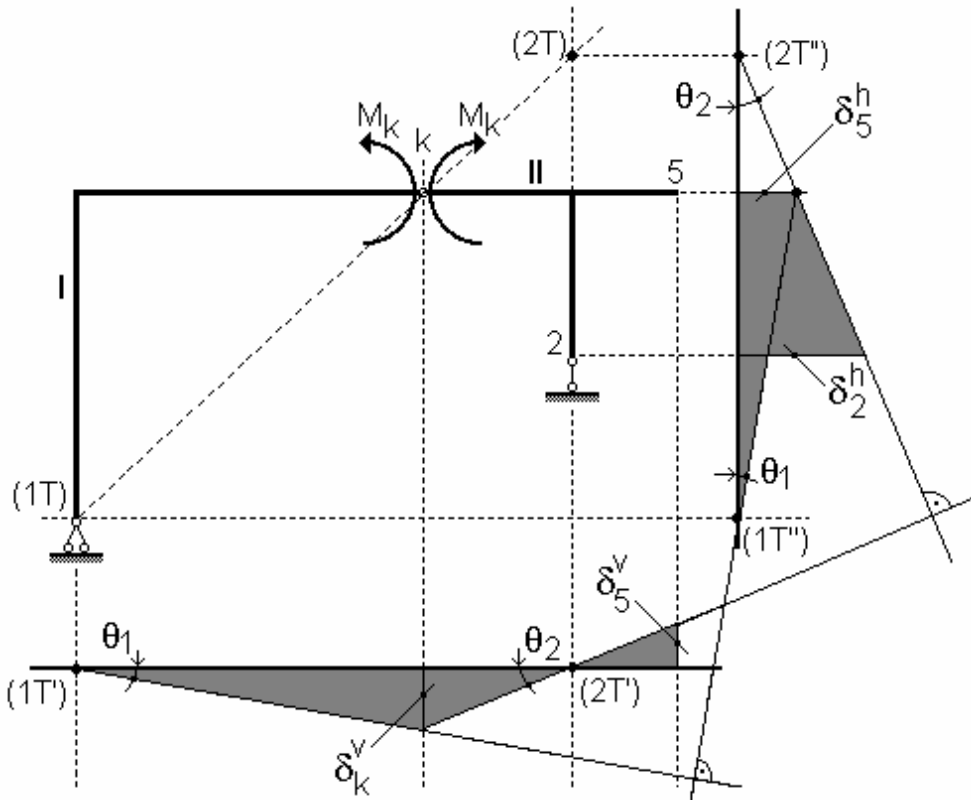


Fig.3.17

**Analiza cinematică și diagramele de deplasări virtuale pentru  $M_k$  - cadrul din fig.3.12**

**Kinematic analysis and diagrams of virtual displacements for  $M_k$  - frame shown in fig.3.12.**

E 3.4 ↗

# 4

## INCARCARI MOBILE STRUCTURI STATIC DETERMINATE

## MOVING LOADS STATICALLY DETERMINATE STRUCTURES

Incărcările mobile sunt specifice pentru calculul grinzelor de rulare ale podurilor din construcțiile industriale și ale podurilor de șosele și căi ferate.

Convoaiele de încărcări sunt schematizate în general ca succesiuni de încărcări concentrate, având valorile și distanțele dintre ele date.

In raport cu încărcările fixe, sub acțiunea forțelor mobile, reacțiunile, eforturile și deplasările structurii își schimbă în mod continuu valorile și uneori chiar sensul.

Pentru a calcula o structură supusă la încărcări moving este deci necesar să se studieze variația reacțiunilor și a eforturilor produse prin deplasarea acestor încărcări pe **linia de încărcare** (portiunea din structură pe care acționează forțele mobile), pentru a stabili valoarea maximă (și minimă) a mărimilor statice corespunzătoare.

Pentru a rezolva această problemă, se folosește un instrument general denumit **"linie de influență"**.

The moving loads are specific to the analysis of gantry girders in the construction industry and girders of roadway and railway bridges.

The trains of loads are generally represented as successive point forces, having the magnitude and the distance between them known.

Compared to the fixed loads, the reactions, internal forces and displacements in a structure change continuously their magnitude and sometimes their sense under moving loads.

In order to analyse a structure subjected to moving loads, it is necessary to study the variation of reactions and internal forces due to the movement of such loads on the **loading line** (region of the structure on which the moving loads are acting). The maximum (and minimum) value of the corresponding static quantities are thus determined.

In order to resolve this problem, a general means is used, called "**influence line**".

Considerând convoiul de încărcare într-o poziție oarecare pe structură, fig.4.1.a, orice mărime statică  $S_i$  (reacție sau efort) poate fi exprimată, prin suprapunere de efecte, astfel:

$$S_i = S_i^{(F_1)} + S_i^{(F_2)} + \dots + S_i^{(F_i)} + \dots + S_i^{(F_n)} \quad (4.1)$$

sau:

or :

$$S_i = s_{i1} \cdot F_1 + s_{i2} \cdot F_2 + \dots + s_{in} \cdot F_n = \sum_{j=1}^n s_{ij} \cdot F_j \quad (4.2)$$

unde s-a notat cu  $s_{ij}$  valoarea mărimii statice  $S_i$  produsă de o forță  $F_j = 1$ .

$s_{ij}$  is the value of the static quantity  $S_i$  produced by a force  $F_j = 1$ .

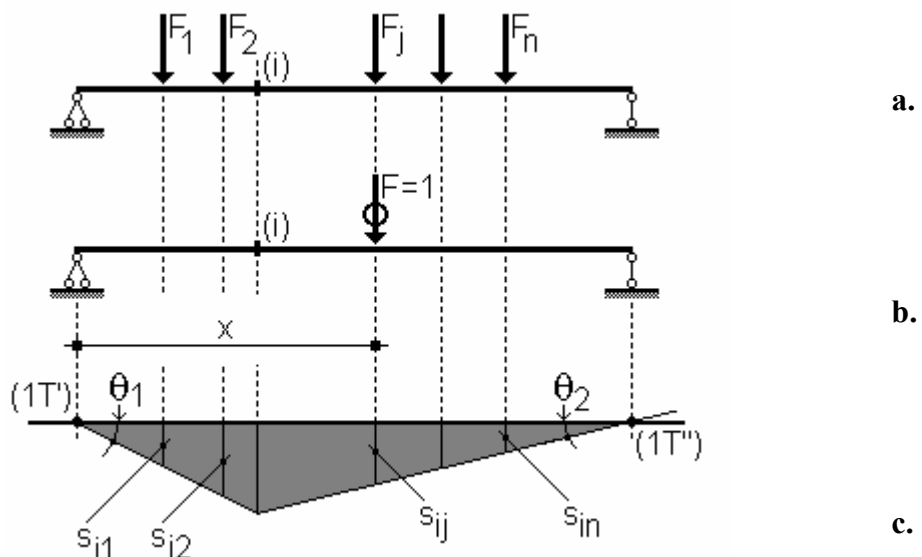


Fig.4.1

**Linia de influență pentru o grindă simplu rezemată.**

**Influence line for a simply supported beam.**

Mărimile  $s_{ij}$  sunt denumite **coeficienți de influență** deoarece reprezintă efectul (deci influența) unei forțe egale cu unitatea asupra mărimii statice considerate  $S_i$ .

The quantities  $s_{ij}$  are called **influence coefficients** since they represent the effect (thus the influence) of a unit force on the magnitude of the static quantity  $S_i$  under consideration.

Tinând cont de faptul că un convoi de încărcări poate avea o infinitate de poziții pe linia de încărcare a structurii, trebuie să se cunoască toate valorile coeficienților de influență pentru fiecare mărime statică  $S_i$  analizată. De aceea se consideră o forță mobilă, egală cu unitatea, pe linia de încărcare a structurii, fig.4.1.b, și se reprezintă grafic variația mărimii statice studiate  $S_i$ , obținând astfel o diagramă care este denumită "linie de influență".

### Definiție:

Linia de influență statică este o diagramă care reprezintă variația unei reacțiuni sau a unui efort, produsă de o forță egală cu unitatea (de obicei verticală), care se deplasează pe linia de încărcare a structurii.

Intr-o linie de influență oarecare pentru  $S_i$ , fig.4.1.c:

- $S_{i1}$  - mărimea statică  $S_i$  produsă de o forță  $F = 1$  care acționează în secțiunea 1;
- $S_{i2}$  - mărimea statică  $S_i$  produsă de o forță  $F = 1$  care acționează în secțiunea 2;
- $S_{in}$  - mărimea statică  $S_i$  produsă de o forță  $F = 1$  care acționează în secțiunea n;
- $S_{ij}$  - mărimea statică  $S_i$  produsă de o forță  $F = 1$  care acționează în secțiunea j;

și așa mai departe.

În general, o ordonată  $S_{ij}$  a unei linii de influență pentru  $S_i$  reprezintă valoarea lui  $S_i$  când  $F = 1$  se găsește în dreptul secțiunii j.

### 4.1 METODE PENTRU TRASAREA LINIILOR DE INFLUENTA

Există două metode pentru a trasa liniile de influență:

Considering that a train of loads can have an infinity of positions on the loading line of the structure, all the values of the influence coefficients must be known for each analysed static quantity  $S_i$ . Therefore, a unit force moving across the loading line of the structure is considered, fig.4.1.b and the variation of the static quantity  $S_i$  is represented graphically, obtaining a diagram called "**influence line**".

### Definition :

The static influence line is a diagram representing the variation of a reaction or internal force, produced by a unit force (usually vertical) which moves across the loading line of the structure.

In any inflece line for  $S_i$ , fig.4.1.c:

- $S_{i1}$  - the static quantity  $S_i$  produced by a force  $F = 1$  acting at section 1;
- $S_{i2}$  - the static quantity  $S_i$  produced by a force  $F = 1$  acting at section 2;
- $S_{in}$  - the static quantity  $S_i$  produced by a force  $F = 1$  acting at section n;
- $S_{ij}$  - the static quantity  $S_i$  produced by a force  $F = 1$  acting at section j;

and so on.

Generally, an ordinate  $S_{ij}$  of an influence line for  $S_i$  represents the value of  $S_i$  when  $F = 1$  is acting at the section j.

### 4.1 METHODS CONSTRUCTING INFLUENCE LINES

There two methods for the construction of the influence lines :

- i. analitică
- ii. cinematică

#### 4.1.1 Metoda analitică

Ca principiu, considerând acțiunea forței mobile  $F=1$ , se scrie expresia mărimii  $S_i$  pentru fiecare poziție distinctă a forței și, reprezentând grafic expresiile obținute, rezultă linia de influență.

- i. analytical
- ii. kinematic

#### 4.1.1 Analytical method

In principle, considering the action of the moving load  $F=1$ , the expression of the quantity  $S_i$  is written for each distinct position of the load and, by representing graphically these expressions, the influence line is constructed.

##### **Exemplu / Example 4.1**

Să se traseze linia de influență pentru reacțiunile  $V_1$  și  $V_2$  ale grinzelii simplu rezemate din fig. 4.2.a.

Expresia reacțiunii  $V_1$  este unică și rezultă astfel:

$$\sum M_1 = 0 : \quad V_1 \cdot L - 1 \cdot (L - x) = 0$$

de unde:

$$V_1 = \frac{1 \cdot (L - x)}{L}$$

Deci  $V_1$  variază după o lege liniară și avem:

- pentru / for  $x = 0$  ( $F = 1$  în secțiunea 1 / at section 1)  $V_1 = 1 = v_{11}$
- pentru / for  $x = L$  ( $F = 1$  în secțiunea 2 / at section 2)  $V_1 = 0 = v_{21}$

rezultând linia de influență din fig.4.2.b.

Draw the influence line for the reactions  $V_1$  and  $V_2$  of the simply supported beam in fig.4.2.a.

The expression of the reaction  $V_1$  is unique and has the form:

resulting in:

Consequently,  $V_1$  has a linear variation, resulting in :

resulting in the influence line shown in fig.4.2.b.

a.

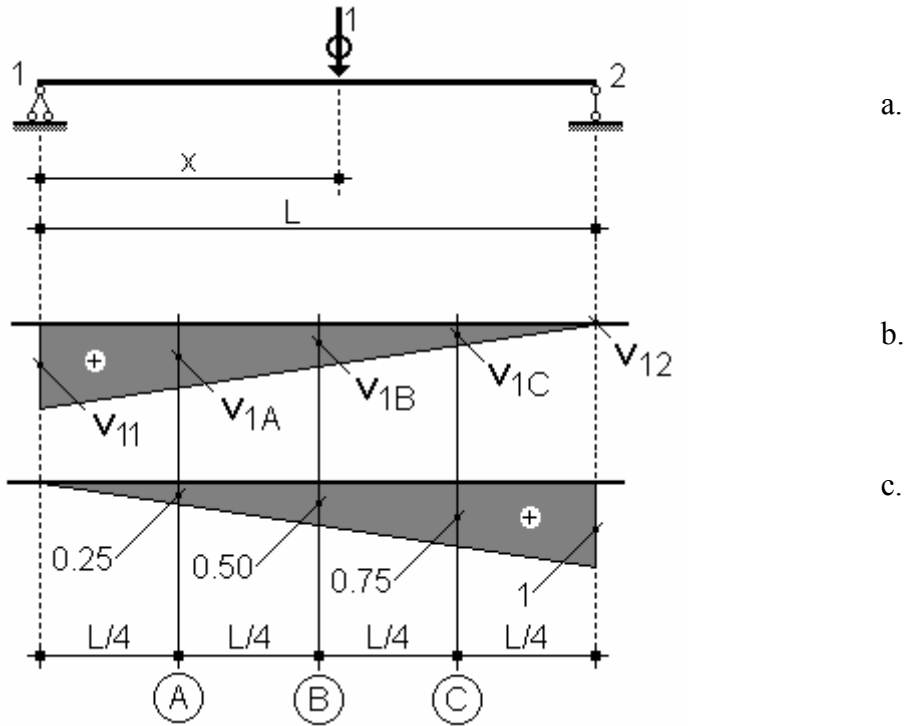


Fig.4.2

**Influence line for reactions of a simply supported beam**

- a. - grinda simplu rezemată,
- b. - reacțiunea  $V_1$ ,
- c. - reacțiunea  $V_2$

**Liniile de influență ale reacțiunilor pentru o grindă simplu rezemată**

- a. - grinda simplu rezemată,
- b. - reacțiunea  $V_1$ ,
- c. - reacțiunea  $V_2$

Pentru  $F=1$  în secțiunile A, B, C, se obține:

$$v_{1A} = 0.75$$

$$v_{1B} = 0.50$$

$$v_{1C} = 0.25$$

In fig.4.2.c este reprezentată direct linia de influență pentru reacțiunea  $V_2$ , având ordonatele caracteristice:

$$v_{21} = 0.00$$

$$v_{2A} = 0.25$$

$$v_{2B} = 0.50$$

$$v_{2C} = 0.75$$

$$v_{22} = 1.00$$

For  $F=1$  at sections A, B, C, one obtains:

Fig.4.2.c shows directly the influence line for the reaction  $V_2$ , having the characteristic ordinates:

Se notează cu  $v_{ij}$  **coeficientul de influență**, reprezentând valoarea reacțiunii  $V_i$  produsă de o forță  $F = 1$  ce acționează în secțiunea  $j$ .

One denotes by  $v_{ij}$  **the influence coefficient**, which represents the value of the reaction  $V_i$  due to a load  $F = 1$  acting at section  $j$ .

#### E 4.1

### 4.1.2 Metoda cinematică

Se utilizează principiul lucrului mecanic virtual în etapele analizate în **cap. 3**, deci:

- eliminarea legăturii exterioare sau interioare corespunzătoare reacțiunii sau efortului  $S_j$ , care este înlocuită cu mărimea statică respectivă;
- analiza cinematică a mecanismului obținut;
- construirea diagramei deplasărilor după direcția verticală (deoarece  $F = 1$  este întotdeauna verticală); această diagramă reprezintă forma liniei de influență (se face convenția următoare: deplasarea mecanismului este dată întotdeauna în sens contrar în raport cu sensul pozitiv al lui  $S_j$ );
- scriind condiția de lucru mecanic virtual egal cu zero, se obțin **semnele și scara liniei de influență**.

### 4.1.2 Kinematic method

The principle of virtual work is used following the steps shown in **chapter 3**, thus:

- remove the external or internal connection corresponding to the reaction or the internal load  $S_j$  and replace it by the corresponding static quantity;
- kinematic analysis of the mechanism obtained;
- draw the displacement diagram in the vertical direction (since the  $F = 1$  is always vertical); this diagram represents the shape of the influence line (the following convention is made: the displacement of the mechanism is always given in the opposite sense to the positive sense of  $S_j$ );
- by writing the condition of virtual work equals zero, **the signs and the scale** of the influence line are obtained.

#### Exemplu / Example 4.2

Să se traseze linia de influență pentru reacțiunea  $V_2$  a grinzi simplu rezemate din fig.4.3.a.

Eliminând rezemul simplu 2, se obține mecanismul din fig. 4.3.b, compus dintr-un singur corp având centrul absolut de rotație în 1. Diagrama deplasărilor după direcția verticală este prezentată în fig.4.3.c.

Draw the influence line for the reaction  $V_2$  of the simply supported beam shown in fig.4.3.a.

By removing the roller support 2, the mechanism in fig.4.3.b is obtained. This is composed of a single body having the absolute centre of rotation at 1. The displacement diagram in the vertical direction is shown in fig.4.3.c.

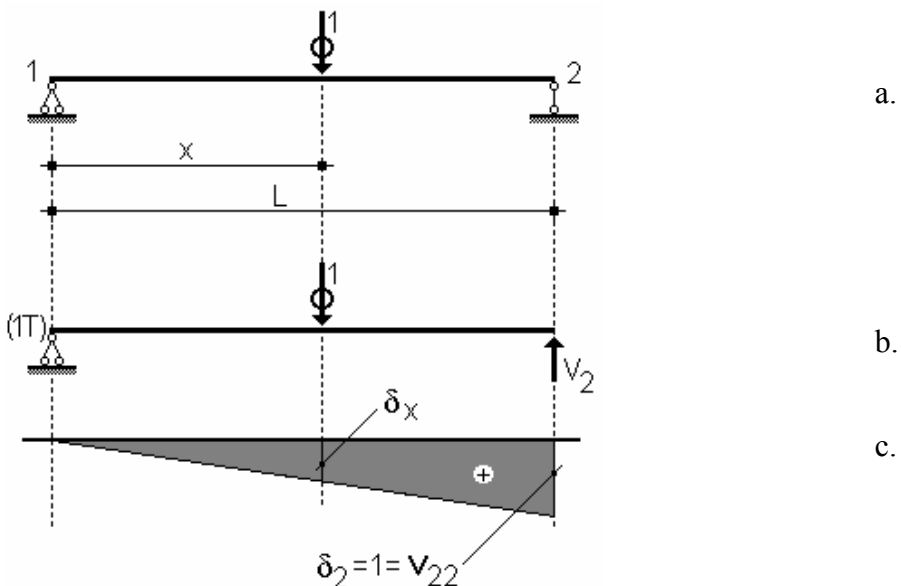


Fig.4.3

**Linia de influență a reacțiunii  $V_2$  pentru o grindă simplu rezemată**

- a. - grinda simplu rezemata,
- b. - mecanismul, c - linia de influență a reacțiunii  $V_2$

**Influence line for the reaction  $V_2$  of a simply supported beam**

- a. - simply supported beam,
- b. - mechanism, c. - influence line for reaction  $V_2$

Ecuația de echilibru prin lucru mecanic virtual este:

$$-V_2 \cdot \delta_2 + 1 \cdot \delta_x = 0 \quad \text{de unde / resulting in:} \quad V_2 = \frac{1 \cdot \delta_x}{\delta_2}$$

Deci semnul liniei de influență pentru  $V_2$  este plus.

Pentru ca ordonatele  $\delta_x$  ale diagramei deplasărilor să fie valorile reacțiunii  $V_2$  (deci pentru  $\delta_x = V_2 = v_{2x}$ ), este necesar ca:

$$\delta_2 = 1$$

condiție care dă scara liniei de influență, celelalte ordonate rezultând printr-un calcul simplu.

The equilibrium equation using the virtual work is :

Thus the sign of the influence line for  $V_2$  is plus.

In order for the ordinates  $\delta_x$  of the displacement diagram to become the values of the reaction  $V_2$  (thus for  $\delta_x = V_2 = v_{2x}$ ), it is necessary to set:

condition which gives the scale of the influence line, the other ordinates in the diagram resulting from simple calculations.

#### E 4.2 ↗

Construirea unei linii de influență prin metoda cinematică implică stabilirea următoarelor trei elemente:

- **forma**, care este dată de diagrama deplasărilor după direcția verticală a mecanismului obținut eliminând legătura corespunzătoare reacțiunii sau efortului  $S_i$  propus;
- **semnele** liniei de influență;
- **scara** liniei de influență.

Ultimele două elemente rezultă scriind ecuația de lucru mecanic virtual produs de  $S_i$  și forța  $F = 1$ .

In general, metoda cinematică este mai simplă decât metoda analitică. De aceea se va utiliza mai departe numai această metodă.

## 4.2 LINII DE INFLUENTA PENTRU DIVERSE TIPURI DE STRUCTURI STATIC DETERMINATE

### 4.2.1 Grinzi simplu rezemate

**4.2.1.a Liniile de influență pentru reacțiuni** au fost analizate în par.4.1. (vezi figurile 4.2 și 4.3).

**4.2.1.b Linia de influență pentru forță tăietoare** într-o secțiune oarecare i.

Eliminând legătura corespunzătoare forței tăietoare, se obține mecanismul din fig.4.4b, pentru care centrele de rotație sunt:

(1T) în articulația 1;

The following three elements need to be determined in order to construct the influence line by the kinematic method:

- **the shape**, which is given by the displacement diagram in the vertical direction of the mechanism obtained by releasing the connection corresponding to the reaction or internal force  $S_i$ ;
- **the signs** of the influence line;
- **the scale** of the influence line.

The last two elements are obtained by writing the equation of virtual work produced by  $S_i$  and the load  $F = 1$ .

Generally, the kinematic method is more simple than the analytical method. Therefore, only the kinematic method will be used in the following calculations.

## 4.2 INFLUENCE LINES FOR DIFFERENT TYPES OF STATICALLY DETERMINATE STRUCTURES

### 4.2.1 Simply supported beams

**4.2.1.a The influence lines for reactions** were studied in par.4.1. (see fig.4.2 and 4.3).

**4.2.1.b The influence lines for the shear force** at a certain section i.

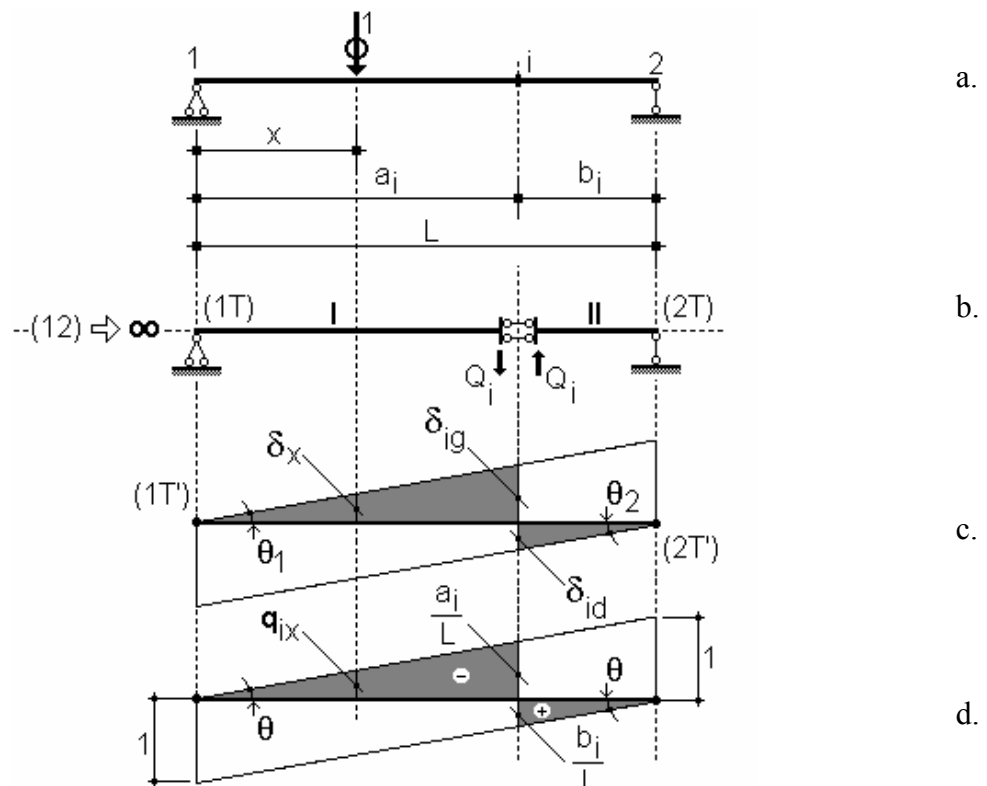
By releasing the connection corresponding to the shear force, the mechanism shown in fig.4.4.b is obtained, for which the rotation centres are:

(1T) at pin support 1;

(12) la infinit (corpurile I și II rămân legate prin două bare paralele) și:

$$(12 \rightarrow \infty)(1T) \rightarrow \perp (2) \Rightarrow (2T)$$

(12) at infinity (the bodies I and II remain connected by two parallel bars) and:



**Fig.4.4**

**Linia de influență a forței tăietoare  $Q_i$  pentru o grindă simplu rezemată**

- a. - grinda simplu rezemată,
- b. - mecanismul, c. - diagrama de deplasări virtuale, d. - linia de influență

**Influence line for the shear force of a simply supported beam**

- a. - simply supported beam,
- b. - mechanism, c. - virtual displacement diagrams, d. - influence line

Considerând deplasări de sens invers eforturilor  $Q_i$ , se obține diagrama deplasărilor virtuale din fig. 4.4.c, unde  $\theta_1 = \theta_2$  (deplasările corpurilor I și II fiind paralele deoarece (12) este la  $\infty$ ).

Pentru ecuația de lucru mecanic virtual există două poziții distincte ale forței  $F = 1$ , la stânga și la dreapta punctului  $i$ , deci:

By considering displacements in an opposite sense to  $Q_i$ , one obtains the diagram of virtual displacements in fig. 4.4.c, where  $\theta_1 = \theta_2$  (the displacements of bodies I and II are parallel because (12) is at  $\infty$ ).

For the equation of virtual work there are two distinct positions of the load  $F = 1$  to the left and to the right of the point  $i$ , thus:

$$-Q_i \cdot \delta_{ig} - Q_i \cdot \delta_{id} \mp 1 \cdot \delta_x = 0 \quad \text{de unde / resulting in: } Q_i = \mp \frac{1 \cdot \delta_x}{\delta_{ig} + \delta_{id}}$$

deci semnele din fig.4.4d și condiția de scară:

$$\delta_x = Q_i = q_{ix} \quad \text{pentru / for} \quad \delta_{ig} + \delta_{id} = \delta_{i(Q)}^{\text{rel}} = 1$$

Ordonatele  $\delta_{ig}$  și  $\delta_{id}$  sunt calculate în raport cu  $a_i, b_i$ , rezultând:

$$\delta_{ig} = q_{ii}^{(g)} = \frac{a_i}{L}$$

$$\delta_{id} = q_{ii}^{(d)} = \frac{b_i}{L}$$

Celelalte ordonate rezultă din relații de proporționalitate.

#### 4.2.1.c Linia de influență pentru momentul încovoiator într-o secțiune oarecare i.

Eliminând legătura corespunzătoare lui  $M_i$  se obține mecanismul din fig. 4.5.b, unde (1T), (12) sunt determinate direct și:

$$(1T)(12) \rightarrow (2T)$$

$$(12)(1T) \rightarrow \perp (2) \Rightarrow (2T)$$

Diagrama deplasărilor după direcția verticală este prezentată în fig.4.5c iar ecuația de lucru mecanic virtual este:

$$-M_i \cdot \theta_1 - M_i \cdot \theta_2 + 1 \cdot \delta_x = 0 \quad \text{de unde / resulting in: } M_i = + \frac{1 \cdot \delta_x}{\theta_1 + \theta_2}$$

Deci semnul liniei de influență este plus și condiția de scară este:

$$\delta_x = M_i \quad \text{pentru / for} \quad \theta_1 + \theta_2 = \theta_{12}^{\text{rel}} = 1$$

thus the signs in fig.4.4.d and the scale condition:

The coordinates  $\delta_{ig}$  and  $\delta_{id}$  are calculated with regard to  $a_i, b_i$ , resulting in:

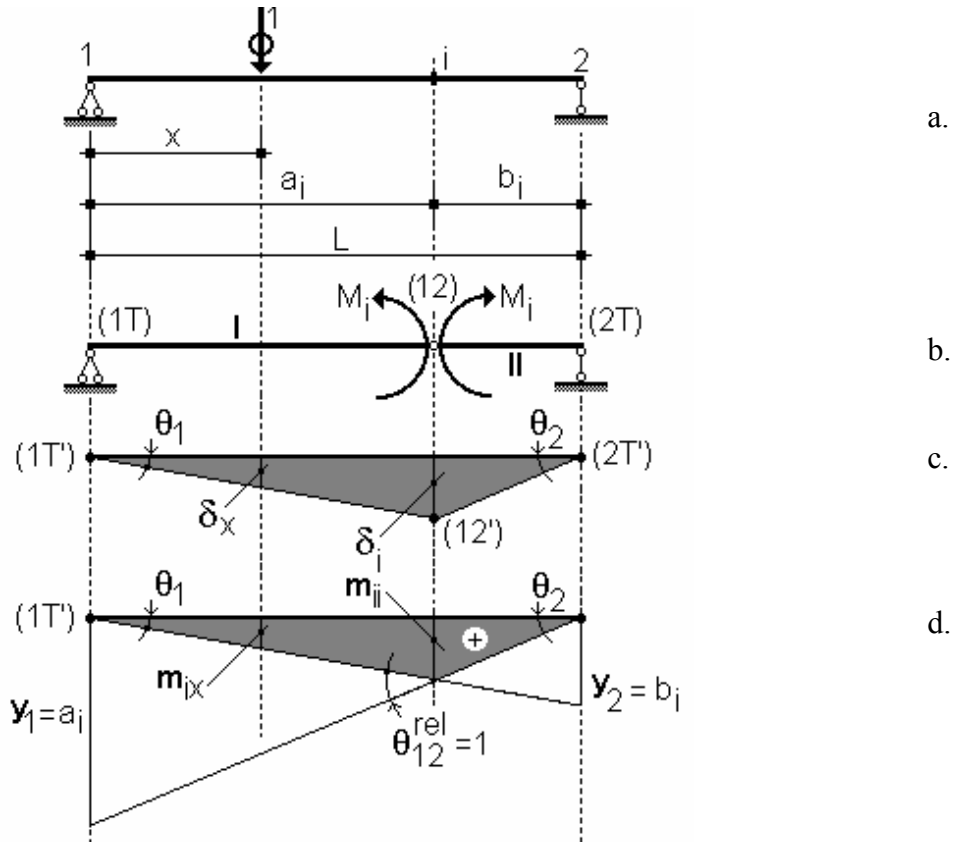
The other ordinates are obtained from proportionality relationships.

#### 4.2.1.c Influence line for the bending moment at a certain section i.

By releasing the connection corresponding to  $M_i$ , the mechanism in fig.4.5.b is obtained, where (1T), (12) are determined directly and:

The displacement diagram in the vertical direction is shown in fig.4.5.c and the equation of virtual work is:

Thus the sign of the influence line is plus and the scale condition is:


**Fig.4.5**

**Linia de influență a momentului încovoiector  
M<sub>i</sub> pentru o grindă simplu rezemată**

- a. - grinda simplu rezemată,
- b. - mecanismul, c. - diagrama deplasărilor virtuale, d. - linia de influență

**Influence line for the bending moment M<sub>i</sub> of  
a simply supported beam**

- a. - simply supported beam,
- b. - mechanism, c. - diagram of virtual displacements, d. - influence line

$\theta_{12}^{\text{rel}}$  este rotirea relativă între corpurile I și II.

$\theta_{12}^{\text{rel}}$  is the relative rotation between bodies I and II.

In fig. 4.5.c se vede că:

Fig.4.5.c. shows that:

$$y_2 = \theta_{12}^{\text{rel}} \cdot b_i = b_i \quad \text{deci / thus:} \quad \theta_1 = \frac{b_i}{L}$$

$$y_1 = \theta_{12}^{\text{rel}} \cdot a_i = a_i \quad \text{deci / thus:} \quad \theta_2 = \frac{a_i}{L}$$

și / and:

$$\frac{m_{ii}}{a_i} = \frac{b_i}{L} \quad \text{de unde / resulting in:} \quad m_{ii} = \frac{a_i \cdot b_i}{L}$$

Celelalte ordonate rezultă din relații de proporționalitate.

The other ordinates are obtained from proportionality relationships.

### 4.2.2 Grinda în consolă

**4.2.2.a Linia de influență pentru forță tăietoare într-o secțiune oarecare i.**

Pentru mecanismul din fig. 4.6.b, având corpul I fix și centrul de rotație (2T) la **infinit**, se obține diagrama deplasărilor din fig. 4.6.c și ecuația de lucru mecanic virtual:

$$-Q_i \cdot \delta_i + 1 \cdot \delta_x = 0 \quad \text{de unde / resulting in:} \quad Q_i = +\frac{1 \cdot \delta_x}{\delta_i}$$

care indică semnul "plus" și dă condiția de scară:

$$\delta_x = Q_i \quad \text{pentru / for:} \quad \delta_i = 1$$

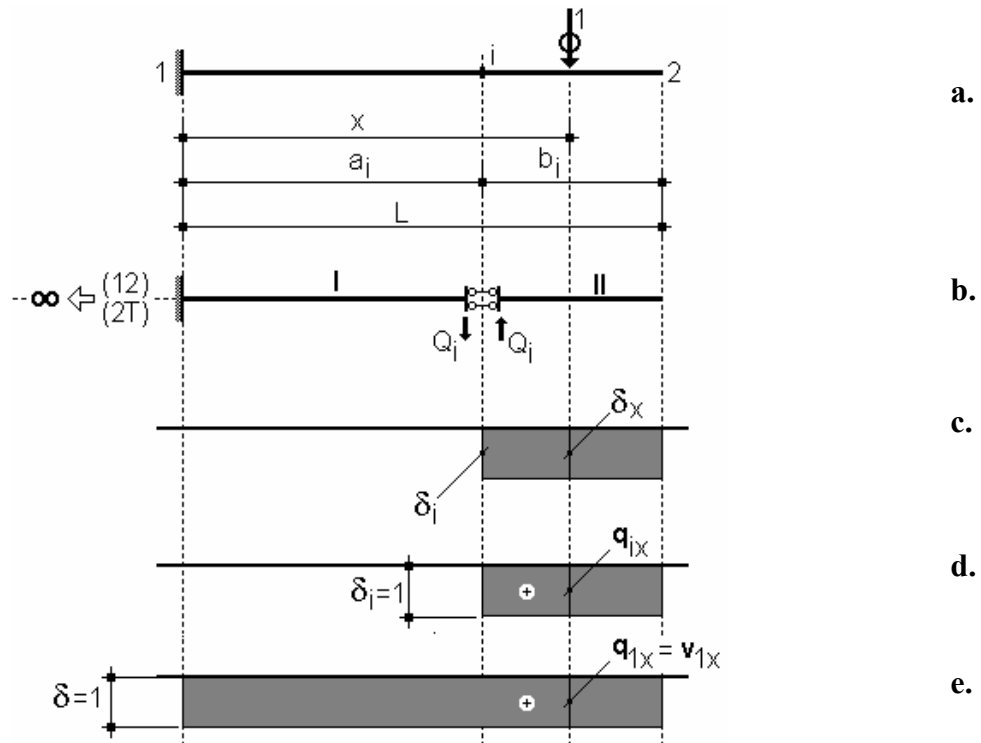


Fig.4.6

**Linia de influență a forței tăietoare  $Q_i$  pentru o consolă**

- a. - grinda în consolă, b. - mecanismul,
- c. - diagrama deplasărilor virtuale,
- d. - linia de influență pentru  $Q_i$ ,
- e. - linia de influență pentru  $Q_1 = V_1$

### 4.2.2 Cantilever beam

**4.2.2.a Influence line for the shear force at a certain section i.**

For the mechanism in fig.4.6.b, having the body I fixed and the rotation centre (2T) at **infinity**, the displacement diagram in fig.4.6.c and the equation of virtual work are obtained:

$$Q_i = +\frac{1 \cdot \delta_x}{\delta_i}$$

which shows the sign "plus" and gives the scale condition:

**Influence line for the shear force  $Q_i$  of a cantilever beam**

- a. - cantilever beam, b. - mechanism,
- c. - virtual displacement diagram,
- d. - influence line for  $Q_i$ , e. - influence line for  $Q_1 = V_1$

**Observație:**

Deplasând secțiunea **i** până la încastrarea **1**, se obține linia de influență pentru  $Q_1 = V_1$ , fig.4.6.e.

**4.2.2.b Linia de influență pentru momentul încovoietor într-o secțiune oarecare **i**.**

Cu mecanismul din fig.4.7.b (corful **I** fix și centrul (2T) în secțiunea **i**) și diagrama deplasărilor din fig.4.7.c, se poate scrie ecuația de lucru mecanic virtual:

$$-\mathbf{M}_i \cdot \theta_2 - 1 \cdot \delta_x = 0 \quad \text{de unde / resulting in:}$$

$$\mathbf{M}_i = -\frac{1 \cdot \delta_x}{\theta_2}$$

deci semnul este "minus" și condiția de scară:

$$\delta_x = \mathbf{M}_i \quad \text{pentru / for:} \quad \theta_2 = 1$$

Ordonata maximă a liniei de influență:

The maximum ordinate of the influence line:

$$m_{i2} = b_i \cdot \theta_2 = b$$

este valoarea lui  $\mathbf{M}_i$  când  $F = 1$  se găsește în extremitatea **2** a grinzelii.

represents the value of  $\mathbf{M}_i$  when  $F = 1$  is acting at the end **2** of the beam.

**Observație:**

Deplasând secțiunea **i** până la încastrarea **1**, se obține linia de influență pentru  $M_1$ , care este reacțiunea moment, fig.4.7.e.

**Note:**

By moving the section **i** up to the fully-fixed end **1**, the influence line for  $M_1$ , which is the moment reaction at section **i**, is obtained, fig.4.7.e.

**4.2.3 Grinzi Gerber**

In fig.4.8 sunt prezentate liniile de influență pentru reacțiunea  $V_B$  și câteva eforturi ale unei grinzi Gerber, obținute prin metoda cinematică. Schema statică a grinzelii Gerber este prezentată în fig.4.8.b.

**4.2.3 Gerber beams**

Fig.4.8 shows the influence lines for the reaction  $V_B$  and several internal forces of a Gerber beam, obtained by the kinematic method. The static scheme of the Gerber beam is shown in fig.4.8.b.

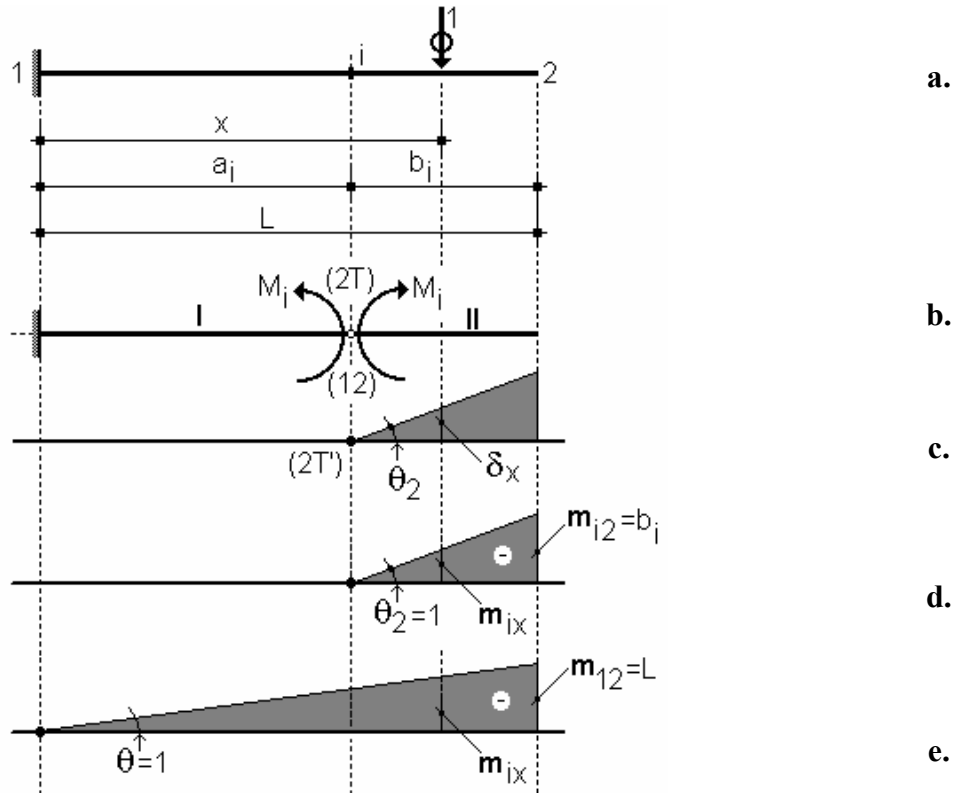


Fig.4.7

**Linia de influență a momentului încovoiitor  $M_i$  pentru o consolă**

- a. - grinda în consolă,
- b. - mecanismul,
- c. - diagrama deplasărilor virtuale,
- d. - linia de influență pentru  $M_i$ ,
- e. - linia de influență pentru  $M_1$

**Influence line for the bending moment  $M_i$  of a cantilever beam**

- a. - cantilever beam,
- b. - mechanism,
- c. - virtual displacement diagram,
- d. - influence line for  $M_i$ ,
- e. - influence line for  $M_1$

Considerând principiile generale cunoscute, se scriu numai ecuațiile de lucru mecanic virtual care dau semnele și scara liniei de influență.

Ordonatele caracteristice ale liniilor de influență au fost calculate plecând de la scara liniei de influență și prin relații de proporționalitate. Deci:

By considering the known general principles, only the equations of virtual work which provide the signs and the scale of the influence line are written.

The characteristic ordinates of the influence lines were calculated using the scale of the influence line and the proportionality relationships. Thus:

- **linia de influență pentru reacțunea  $V_2$  (fig.4.8.c,d):**

- **influence line for the reaction  $V_2$  ( fig.4.8.c,d):**

$$-V_2 \cdot \delta_2 \pm 1 \cdot \delta_x = 0 \quad \text{de unde / resulting in:} \quad V_2 = \pm \frac{1 \cdot \delta_x}{\delta_2}$$

și:

$$\delta_x = V_2$$

and:

pentru / for

$$\delta_2 = 1$$

- linia de influență pentru momentul încovoiator  $M_2$  (fig.4.8.e):

$$-M_2 \cdot \theta_2 \mp 1 \cdot \delta_x = 0$$

de unde / resulting in:

$$M_2 = \mp \frac{1 \cdot \delta_x}{\theta_2}$$

și:

and:

$$\delta_x = M_2$$

pentru / for

$$\theta_2 = 1$$

- linia de influență pentru forță tăietoare  $Q_A$  (fig.4.8. f):

$$-Q_A \cdot \delta_1 - Q_A \cdot \delta_2 \mp 1 \cdot \delta_x = 0$$

de unde / resulting in:

$$Q_A = \mp \frac{1 \cdot \delta_x}{\delta_1 + \delta_2}$$

și:

and:

$$\delta_x = Q_A$$

pentru / for

$$\delta_1 + \delta_2 = \delta_A^{(rel)} = 1$$

- linia de influență pentru momentul încovoiator  $M_A$  (fig.4.8.g):

$$-M_A \cdot \theta_1 - M_A \cdot \theta_2 \mp 1 \cdot \delta_x = 0$$

de unde / resulting in:

$$M_A = \mp \frac{1 \cdot \delta_x}{\theta_1 + \theta_2}$$

și:

and:

$$\delta_x = M_A$$

pentru / for

$$\theta_1 + \theta_2 = \theta_{12}^{(rel)} = 1$$

### Observație:

Schema statică din fig.4.8.b justifică faptul că liniile de influență pentru eforturile unui sistem principal ( $Q_A$ ,  $M_A$ ) au ordinatice diferite de zero pentru  $F=1$  pe sistemul respectiv și pe sistemele secundare aferente, în timp ce pentru sistemul secundar  $S_2$  liniile de influență au ordinatice diferite de zero numai pentru  $F=1$  pe sistemul respectiv.

### Note:

The static scheme in fig.4.8.b justifies that the influence lines for the internal forces of a main system ( $Q_A$ ,  $M_A$ ) have ordinates different from zero for  $F=1$  acting on that system and the corresponding secondary systems, while the influence lines of the secondary system  $S_2$  have ordinates different from zero only for  $F=1$  acting on that system.

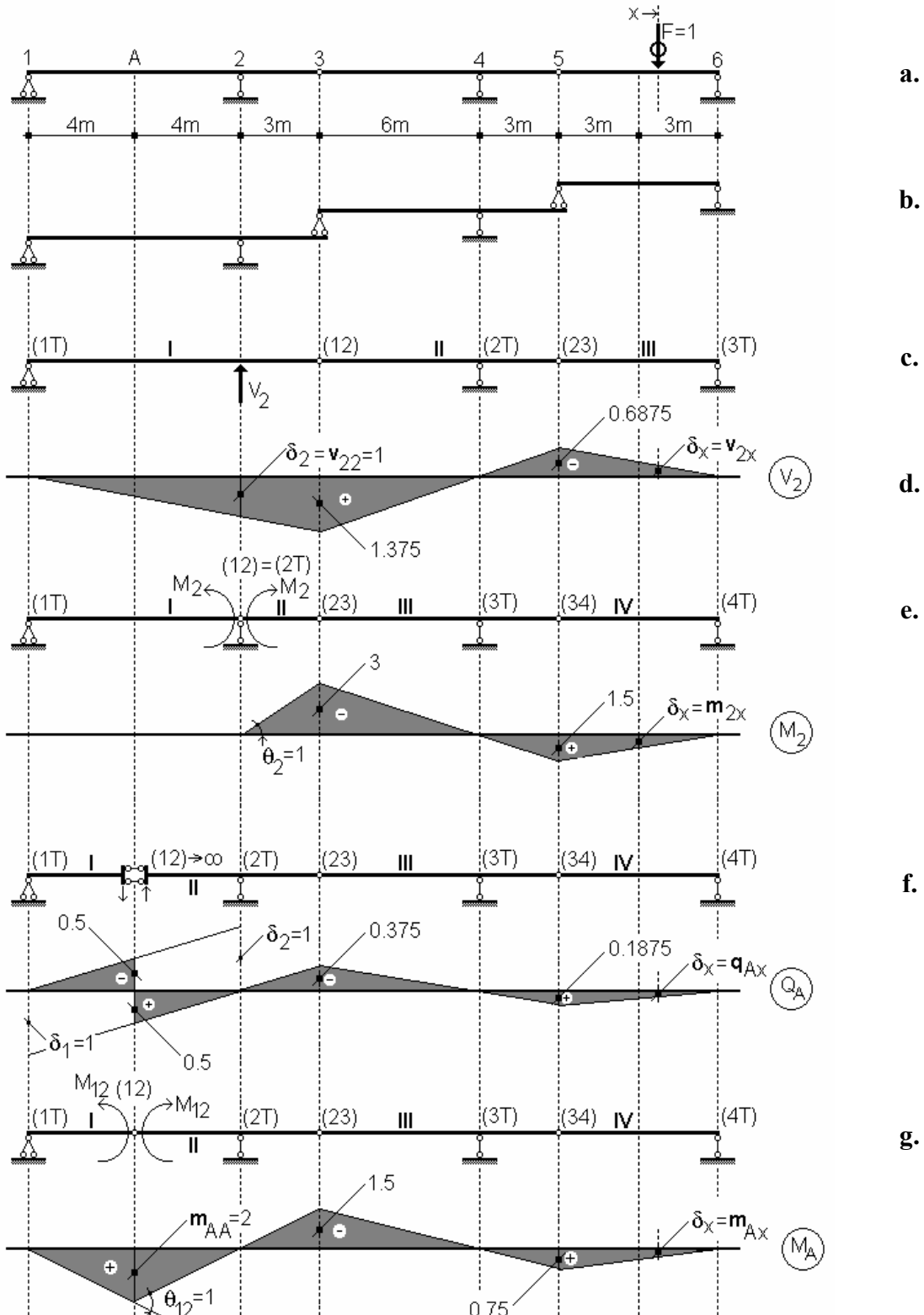


Fig.4.8

Linii de influență pentru o grindă Gerber.

a. - grinda Gerber, b. - schema statică,  
c. - mecanismul, d. - reacțiunea, e. și g. -  
momentul încovoiector, f. - forța tăietoare

Influence lines of a Gerber beam.

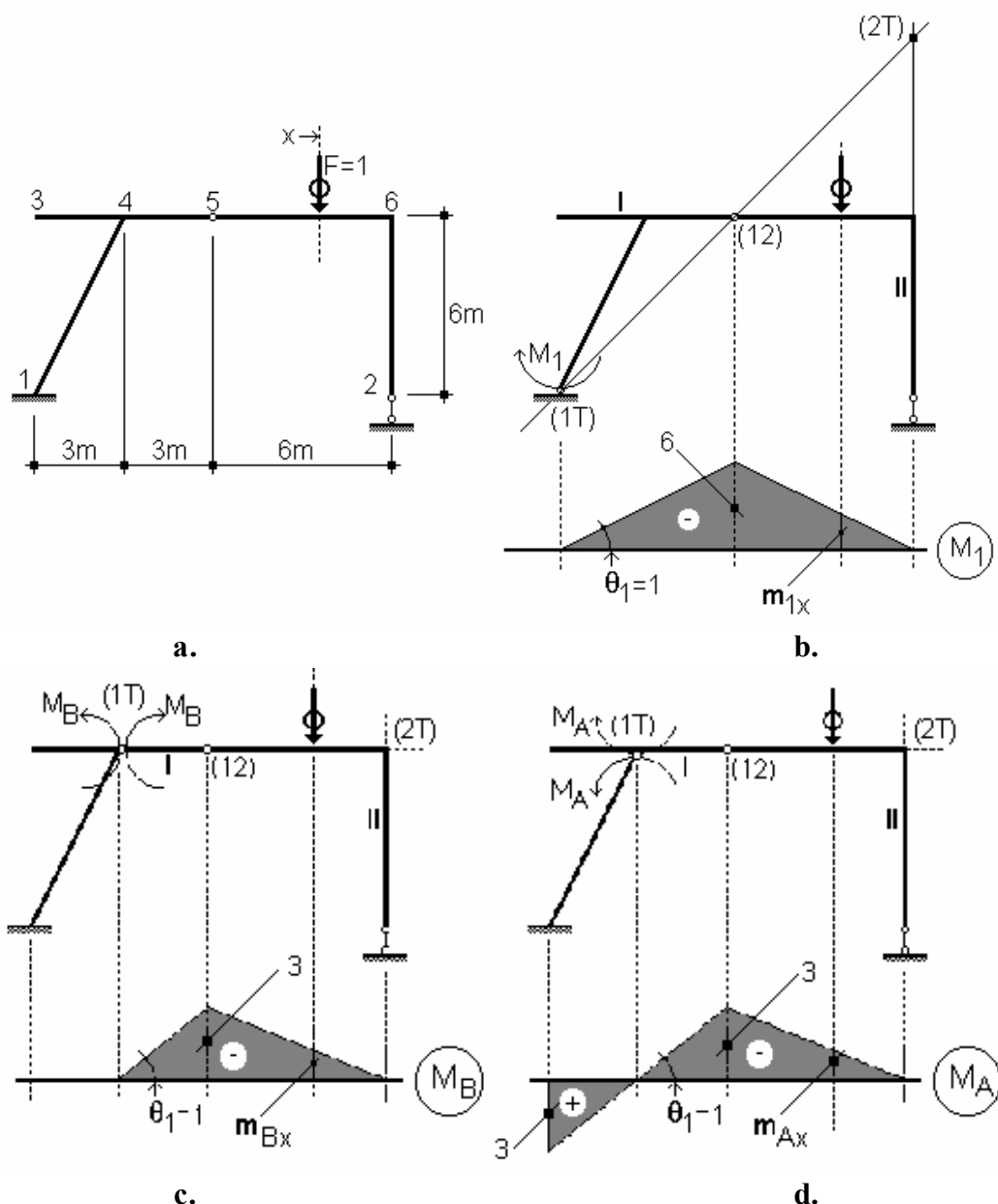
a. - Gerber beam, b. - static scheme,  
c. - mechanism, d. - reaction, e. and  
g. - bending moment, f. - shear force

#### 4.2.4 Cadre

Se dă ca exemplu cadrul din fig.4.9.a, având linia de încărcare 3-4-5-6. Se prezintă câteva linii de influență obținute prin metoda cinematică și pentru fiecare din ele este indicată condiția de scară:

#### 4.2.4 Frames

Consider as example the frame in fig.4.9.a, having the loading line 3-4-5-6. Several influence lines obtained by the kinematic method are presented next and the scale condition is shown for each one of them:



**Linii de influență pentru momente încovoietoare la un cadru.**

**Fig.4.9**  
Influence lines for the bending moments of a frame.

- $\theta_1 = 1$  pentru momentul încovoiector  $M_1$  / for the bending moment  $M_1$  (fig.4.9.b.);
- $\theta_1 = 1$  pentru momentele încovoietoare  $M_B, M_A$  / for the bending moments  $M_B, M_A$  (fig.4.9.c,d).

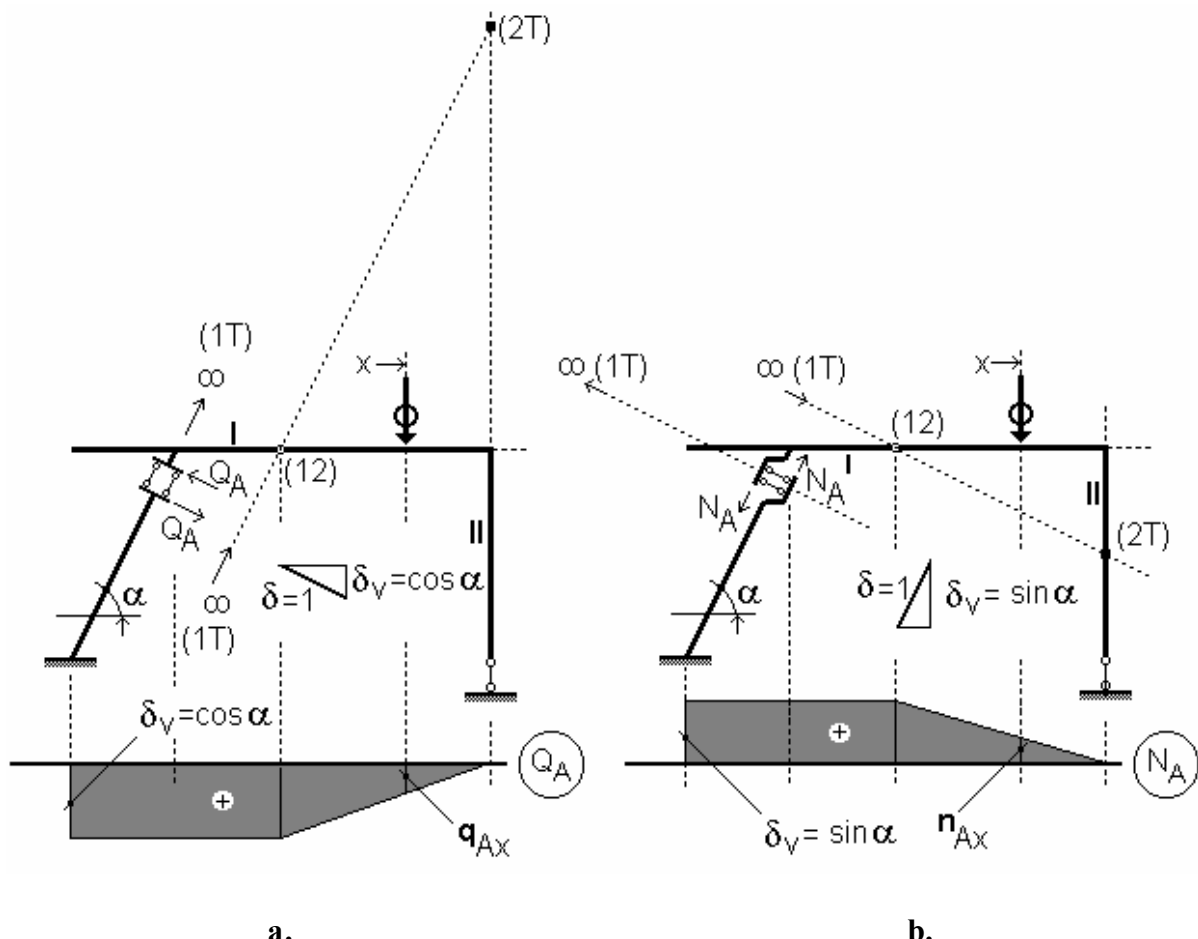


Fig.4.10

Liniile de influență pentru cadrul din  
fig.4.9.a.

a. - forță tăietoare, b. - forță axială

Influence lines for the frame in fig.4.9.a.

a. - shear force, b. - axial force

$\delta = 1$  ( $\delta_V = \cos \alpha$ ) pentru forță tăietoare  $Q_A$  / for the shear force  $Q_A$  (fig.4.10.a);

$\delta = 1$  ( $\delta_V = \sin \alpha$ ) pentru forță axială  $N_A$  / for the axial force  $N_A$  (fig.4.10.b).

Plecând de la aceste condiții de scară, au fost calculate ordonatele caracteristice liniilor de influență.

Using these scale conditions, the characteristic ordinates of the influence lines were calculated.

#### 4.2.4 Arce

Pentru arcul cu trei articulații din fig.4.11. și fig.4.12, sunt prezentate trei linii de influență.

- **linia de influență pentru reacțiunea  $V_1$**

Pentru mecanismul din fig.4.11.b, având centrele absolute de rotație (1,T), (2,T) în articulația 2, se obține diagrama deplasărilor din fig.4.11.c și ecuația de lucru mecanic virtual:

$$-V_1 \cdot \delta_1 + 1 \cdot \delta_x = 0$$

de unde / resulting in:

$$V_1 = +\frac{1 \cdot \delta_x}{\delta_1}$$

deci condiția de scară este:

$$\delta_x = V_1$$

pentru / for:

$$\delta_1 = v_{11} = 1$$

- **linia de influență pentru reacțiunea  $H_1$**

Pentru mecanismul din fig.4.11.d și diagrama deplasărilor din fig.4.11.e, ecuația de lucru mecanic virtual este următoarea:

$$-H_1 \cdot \delta_1^{(H)} + 1 \cdot \delta_x = 0$$

de unde / resulting in:

$$H_1 = +\frac{1 \cdot \delta_x}{\delta_1^{(H)}}$$

deci condiția de scară este:

$$\delta_x = H_1 = v_{1x}$$

pentru / for

$$\delta_1^{(H)} = 1$$

$\delta_1^{(H)}$  este deplasarea pe orizontală a secțiunii 1 și se poate scrie:

$$\delta_1^{(H)} = y_{1T} \cdot \theta_1 = 1$$

deci / thus

$$\theta_1 = \frac{1}{y_{1T}}$$

dar/but:

$$\frac{y_{1T}}{L} = \frac{f}{L/2}$$

de unde / resulting in

$$\frac{1}{y_{1T}} = \frac{1}{2f}$$

și ordonata maximă este / and the maximum ordinate is

$$\delta_3 = \theta_1 \cdot \frac{L}{2} = \frac{L}{4f}$$

#### 4.2.4 Arches

Three influence lines are presented for the three-pinned arch shown in fig.4.11. and fig.4.12.

- **influence line for the reaction  $V_1$**

For the mechanism shown in fig.4.11.b, having the absolute rotation centres (1,T), (2,T) at pin support 2, the displacement diagram in fig.4.11.c and the equation of virtual work are obtained:

$$V_1 = +\frac{1 \cdot \delta_x}{\delta_1}$$

thus, the scale condition is:

$$\delta_1 = v_{11} = 1$$

- **influence line for the reaction  $H_1$**

For the mechanism in fig.4.11.d and the displacement diagram in fig.4.11.e, the equation of virtual work is the following:

$$H_1 = +\frac{1 \cdot \delta_x}{\delta_1^{(H)}}$$

thus, the scale condition is:

$$\delta_1^{(H)} = 1$$

$\delta_1^{(H)}$  is the horizontal displacement at section 1. One can write:

deci / thus

$$\theta_1 = \frac{1}{y_{1T}}$$

de unde / resulting in

$$\frac{1}{y_{1T}} = \frac{1}{2f}$$

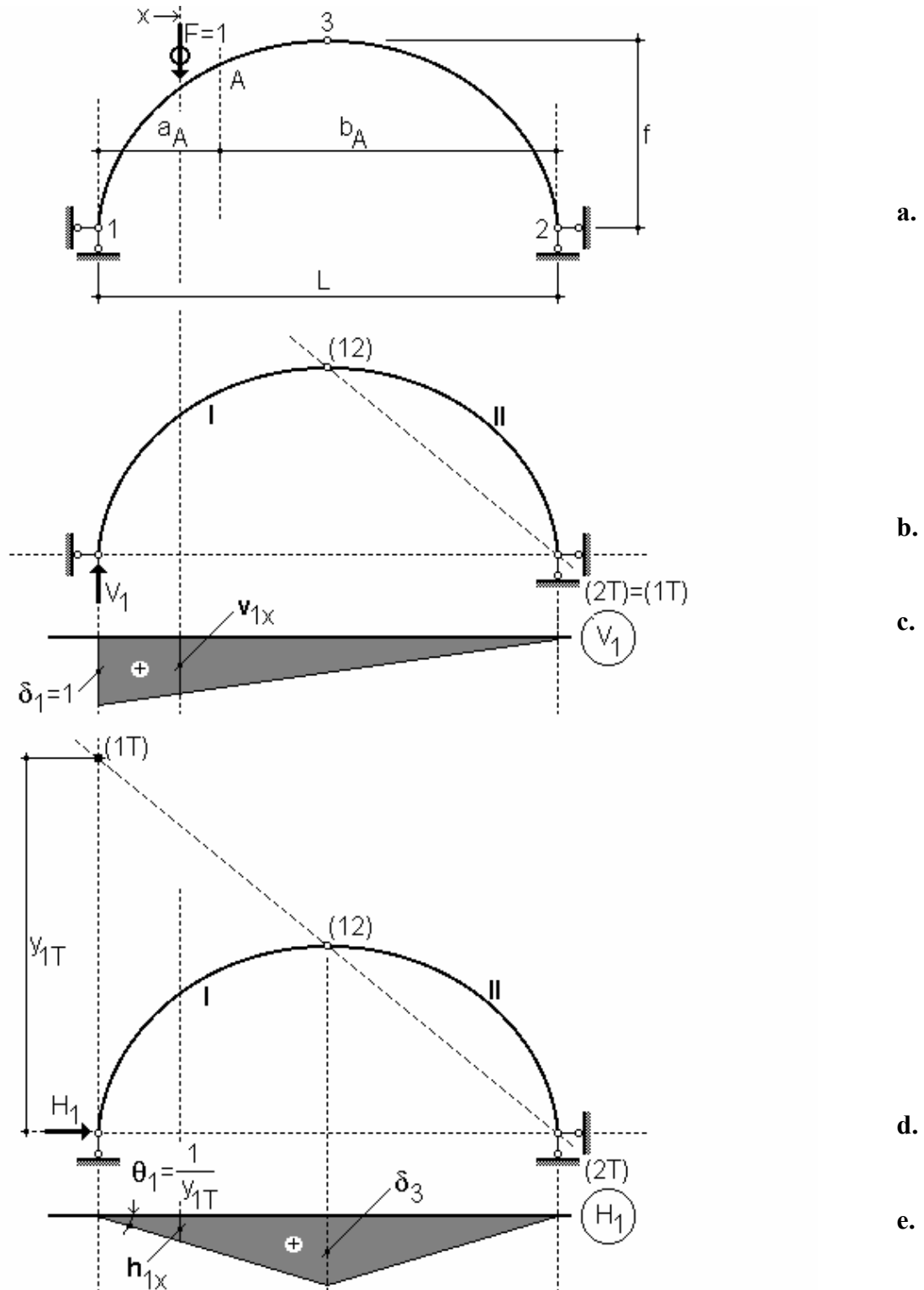


Fig.4.11

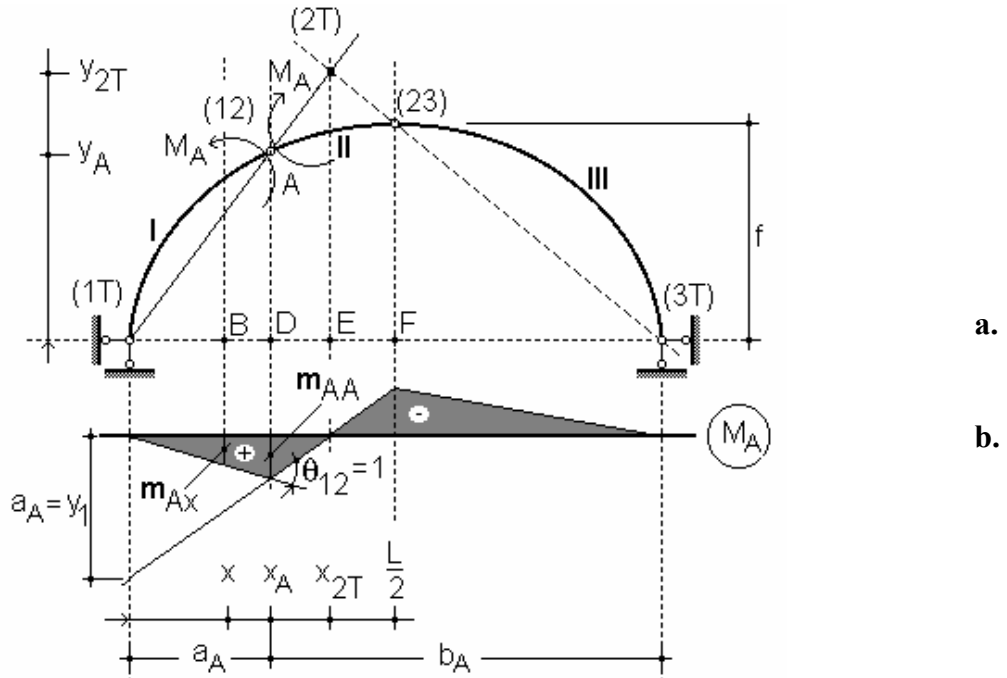
**Linii de influență pentru reacțiuni la un arc cu trei articulații.**

a. - arcul, b. și d. - mecanismele,  
c. și e. - liniile de influență pentru V<sub>1</sub> și H<sub>1</sub>

**Influence lines for reactions of a three-pinned arch**

a. - arch, b. and d. - mechanisms,  
c. and e. - influence lines for V<sub>1</sub> and H<sub>1</sub>

- linia de influență pentru momentul încovoiator  $M_A$  dintr-o secțiune oarecare A, fig.4.12:
- influence line for the bending moment  $M_A$  at a certain section A, fig.4.12:



**Linia de influență pentru momentul încovoiitor  $M_A$  al arcului cu trei articulații din fig.4.11.a.**

a. - mecanismul, b. - linia de influență pentru  $M_A$

**Influence line for the bending moment  $M_A$  of the three-pinned arch in fig.4.11.a.**

a. - mechanism, b. - influence line for  $M_A$

Pentru mecanismul din fig.4.12.a, se obține diagrama deplasărilor din fig.4.12.b și se poate scrie ecuația de lucru mecanic virtual:

$$-M_A \cdot \theta_1 - M_A \cdot \theta_2 \pm 1 \cdot \delta_x = 0 \quad \text{de unde / resulting in:}$$

$$M_A = \pm \frac{1 \cdot \delta_x}{\theta_1 + \theta_2}$$

și / and:

$$\delta_x = M_A = m_{Ax}$$

pentru / for

$$\theta_1 + \theta_2 = \theta_{12}^{(rel)} = 1$$

ceea ce dă ordonata pe reazemul 1:

which result in the ordinate at support 1:

$$y_1 = \theta_{12} \cdot a_A = a_A$$

Pentru a stabili ordonatele liniei de influență, trebuie să se determine poziția centrului (2T), fig.4.12.a., astfel:

$$\Delta(1T)(2T)E \approx \Delta(1T)(12)D \Rightarrow$$

$$\frac{y_{2T}}{y_A} = \frac{x_{2T}}{a_A}$$

de unde / resulting in:

$$\Delta(3T)(2T)E \approx \Delta(3T)(23)F \Rightarrow$$

$$y_{2T} = \frac{x_{2T} \cdot y_A}{a_A}$$

$$\frac{y_{2T}}{f} = \frac{L - x_{2T}}{\frac{L}{2}}$$

deci:

thus:

$$\frac{x_{2T} \cdot y_A}{a_A} = \frac{2 \cdot (L - x_{2T}) \cdot f}{L}$$

de unde / resulting in:

$$x_{2T} = \frac{2 \cdot (L - x_{2T}) \cdot f \cdot a_A}{L \cdot y_A}$$

și apoi:

and then:

$$\frac{m_{AA}}{x_{2T} - a_A} = \frac{y_1}{x_{2T}}$$

sau / or:

$$\frac{m_{AA}}{x_{2T} - a_A} = \frac{a_A}{x_{2T}}$$

și rezultă:

resulting in:

$$m_{AA} = \frac{a_A(x_{2T} - a_A)}{x_{2T}}$$

și / and

$$m_{Ax} = \frac{m_{AA}}{a_A} \cdot x$$

## 4.2.5 Structuri cu zăbrele

In fig.4.13 sunt prezentate liniile de influență pentru forțele axiale ale câtorva bare ale unei grinzi cu zăbrele simple, obținute prin metoda cinematică.

Pentru a respecta ipoteza că încărcările sunt aplicate numai în noduri, se consideră că  $F=1$  acționează indirect, pe elementele simplu rezemate în noduri, fig.4.13.a.

## 4.2.5 Trusses

Fig.4.13 shows the influence lines for the axial forces in certain bars of a simple truss, obtained by the kinematic method.

In order to satisfy the assumption that the loads are applied only to the joints, the load  $F=1$  is considered acting indirectly on members simply supported at the joints, fig.4.13.a.

Cu mecanismul din fig.4.13.b și diagrama deplasărilor din fig.4.13.c, se poate scrie:

$$-N_{78} \cdot d_7^{(N)} - N_{87} \cdot d_8^{(N)} - 1 \cdot \delta_x = 0 \quad \text{de unde / resulting in:}$$

By using the mechanism in fig.4.13.b and the displacement diagram in fig.4.13.c, one can write:

$$N_{78} = -\frac{1 \cdot \delta_x}{d_7^{(N)} + d_8^{(N)}}$$

deci condiția de scară este:

thus, the scale condition is:

$$\delta_7^{(N)} + \delta_8^{(N)} = \delta_{78}^{\text{rel}(N)} = 1$$

Deplasarea relativă  $\delta_{78}^{\text{rel}(N)}$  poate fi scrisă:

The relative displacement  $\delta_{78}^{\text{rel}(N)}$  can be written as :

$$\delta_{78}^{\text{rel}(N)} = \theta_{12}^{\text{rel}} \cdot h = 1$$

de unde / resulting in:

$$\theta_{12}^{\text{rel}} = \frac{1}{h}$$

Ordonatele pe reazeme sunt:

The ordinates at supports:

$$y_1 = y_2 = \theta_{12}^{\text{rel}} \cdot 2a = \frac{2a}{h}$$

- linia de influență pentru forță axială  $N_{37}$

- influence line for the axial force  $N_{37}$

Pentru mecanismul din fig.4.13.d și diagrama deplasărilor din fig.4.13.e, ecuația de lucru mecanic virtual este:

For the mechanism in fig.4.13.d and the displacement diagram in fig.4.13.e, the equation of virtual work is:

$$-N_{37} \cdot \delta_3^{(N)} - N_{73} \cdot \delta_7^{(N)} \mp 1 \cdot \delta_x = 0 \quad \text{de unde / resulting in:}$$

$$N_{37} = \mp \frac{1 \cdot \delta_x}{\delta_3^{(N)} + \delta_7^{(N)}}$$

deci condiția de scară este:

thus, the scale condition is:

$$\delta_3^{(N)} + \delta_7^{(N)} = \delta_{37}^{\text{rel}(N)} = 1$$

și se poate scrie:

and one can write:

$$\delta_{37}^{\text{rel}(N)} = \theta_{23}^{\text{rel}} \cdot d = 1$$

de unde / resulting in:

$$\theta_{23}^{\text{rel}} = \frac{1}{d}$$

- linia de influență pentru forță axială  $N_{83}$

- influence line for the axial force  $N_{83}$

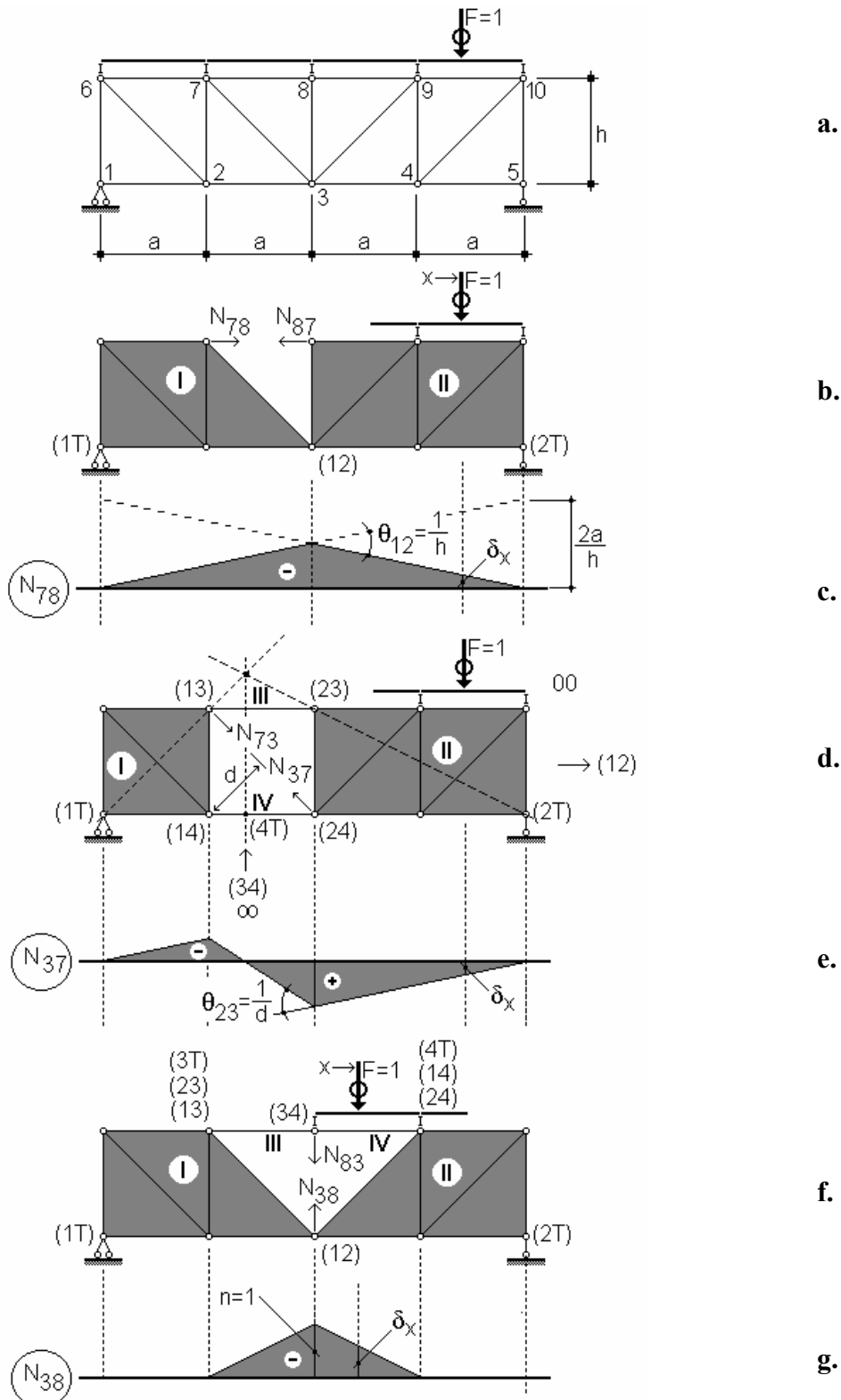


Fig.4.13

**Linii de influență pentru o grindă cu zăbrele**

- a. - grinda cu zăbrele,
- b., d. și f. - mecanismele, c., e. și g. - liniile de influență

**Influence lines for a truss**  
 a. -truss, b., d. and f. - mechanisms,  
 c., e. and g. - influence lines

Centrele de rotație se determină astfel:

$$(1T), (12), (13), (34), (24)$$

The rotation centres are determined as follows :

direct / directly,

$$(1T)(12) \rightarrow (2T)$$

$$\perp \text{dépl. B} \rightarrow (2T)$$

$$\Rightarrow (2T)$$

$$(12)(13) \rightarrow (23)$$

$$(24)(34) \rightarrow (23)$$

$$\Rightarrow (23)$$

$$(12)(24) \rightarrow (14)$$

$$(13)(34) \rightarrow (14)$$

$$\Rightarrow (14)$$

$$(1T)(13) \rightarrow (3T)$$

$$(2T)(23) \rightarrow (3T)$$

$$\Rightarrow (3T)$$

$$(2T)(24) \rightarrow (4T)$$

$$(1T)(14) \rightarrow (4T)$$

$$\Rightarrow (4T)$$

Rezultă astfel că I și II sunt corpuri fixe (pe fiecare din ele există două centre absolute) și se obține diagrama din fig.4.13.g și ecuația de lucru mecanic virtual:

$$-N_{83} \cdot \delta_8^{(v)} - 1 \cdot \delta_x = 0$$

de unde / resulting in:

$$N_{83} = -\frac{1 \cdot \delta_x}{\delta_8^{(v)}}$$

are condiția de scară / has the scale condition:

$$\delta_8^{(v)} = 1$$

### Observație:

Pentru  $F=1$  pe talpa inferioară (calea inferioară), linia de influență este în totalitate nulă, deci efortul  $N_{38}=0$  pentru orice încărcare pe talpa inferioară.

### Note:

For  $F=1$  acting on the bottom chord, the influence line is entirely zero. Consequently, the axial force  $N_{38}=0$  for any load acting on the bottom chord.

## 4.3 REACTIUNI SI EFORTURI MAXIME PRODUSE DE INCARCARI MOBILE

După trasarea liniei de influență a unei **mărimi statice**  $S_i$ , determinarea valorii maxime (sau a valorilor maxime) a lui  $S_i$  produsă de acțiunea unui convoi de încărcări se face prin încercări, utilizând încărcările echivalente sau printr-un calcul analitic.

## 4.3 REACTIONS AND INTERNAL FORCES PRODUCED BY MOVING LOADS

After the construction of the influence line of a **static quantity**  $S_i$ , the calculation of the maximum value (or maxima values) of  $S_i$  produced by a train of loads is carried out by trials, using the equivalent loads or by analytical calculations.

### 4.3.1. Prin încercări

Se știe că utilizând coeficienții de influență  $s_{ij}$ ,  $S_i$  poate fi scris prin suprapunerea efectelor, fig.4.1, conform relației (4.2) care arată că, pentru a obține o valoare cât mai mare, trebuie ca:

- încărcările mari să fie în dreptul ordonatelor mari ale liniei de influență;
- o încărcare să fie întotdeauna în dreptul ordonatei maxime a liniei de influență.

Aceste reguli permit, prin câteva încercări, să se determine poziția cea mai defavorabilă a convoiului de încărcări (care conduce la valoarea maximă a lui  $S_i$ ).

#### Observație:

Trebuie precizat că în cazul în care linia de influență are zone cu **semnul plus** și cu **semnul minus**, este necesar să se calculeze o valoare maximă pozitivă și o valoare maximă negativă (denumită valoare minimă) pentru aceeași mărime statică  $S_i$ .

### 4.3.2. Utilizând încărcările "echivalente"

Utilizând încărcările "echivalente", uniform distribuite, care sunt date în normele de calcul, fig.4.14, rezultă:

$$S_{i(+)}^{\max} = q_1 \cdot A_{(+)} = q_1 \cdot \frac{L_1 \cdot s_{i1}}{2} \quad (4.5)$$

$$S_{i(-)}^{\max} = S_i^{\min} = -q_2 \cdot A_{(-)} = -q_2 \cdot \frac{L_2 \cdot s_{i2}}{2} \quad (4.6)$$

$A_{(+)}$  și  $A_{(-)}$  sunt aria zonei pozitive și respectiv a zonei negative a liniei de influență.

### 4.3.1. By trials

It is known that by using the coefficients of the influence line  $s_{ij}$ ,  $S_i$  can be written by the superposition of the effects, fig.4.1, according to the relationship (4.2). In order to get a value as large as possible for  $S_i$ :

- the large loads must act at sections with large ordinates of the influence line;
- a load must always be at the section where the ordinate of the influence line is a maximum.

These rules allow, by a few trials, to determine the most unfavourable position of the train of loads (which leads to the maximum value of  $S_i$ ).

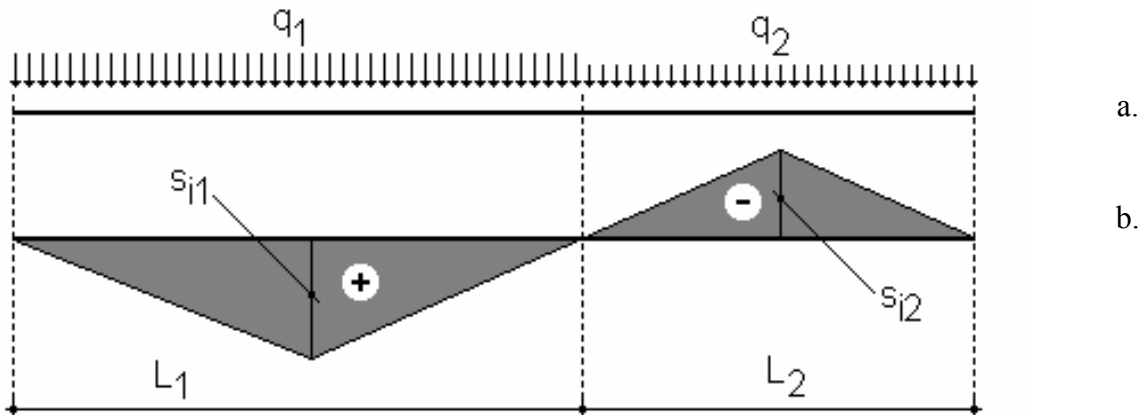
#### Note:

It has to be mentioned that in the case when the influence line has regions with the **plus** and **minus sign**, it is necessary to calculate a positive maximum value and a negative maximum value (called minimum value) for the same static quantity  $S_i$ .

### 4.3.2. By using the “equivalent” loads

By using the uniformly distributed “equivalent” loads given in the codes of practice, fig.4.14, one obtains:

$A_{(+)}$  and  $A_{(-)}$  are the areas of the positive region and negative region, respectively, of the influence line.

**Fig.4.14**

**Incărcări echivalente.**  
a. - încărcările echivalente, b. - linia de influență

**Equivalent loads.**  
a. - equivalent loads, b. - influence line

### 4.3.3. Prin calcul analitic

Calculul analitic conduce la anumite criterii ce permit determinarea pozițiilor celor mai defavorabile ale convoiului de incărcări pentru efortul studiat, după cum se va vedea în paragraful următor pentru o grindă simplu rezemată.

#### 4.3.3.a. Forță tăietoare maximă

Se consideră grinda simplu rezemată din fig.4.15. și o secțiune oarecare i.

Pentru o poziție oarecare a convoiului de încărcări mobile pe grindă, fig.4.14.a, utilizând ordonatele liniei de influență, fig.4.14.b, se poate scrie următoarea relație prin suprapunerea efectelor:

### 4.3.3. By analytical calculations

The analytical calculations lead to certain criteria to determine the most unfavourable position of the the train of loads for the internal force sought, as it will be shown in the next paragraph for a simply supported beam.

#### 4.3.3.a. Maximum shear force

Consider the simply supported beam in fig.4.15. and a certain section i.

For a certain position of the train of loads acting on the beam, fig.4.14.a and using the coordinates of the influence line, fig.4.14.b, the following relationship can be written using the superposition of effects:

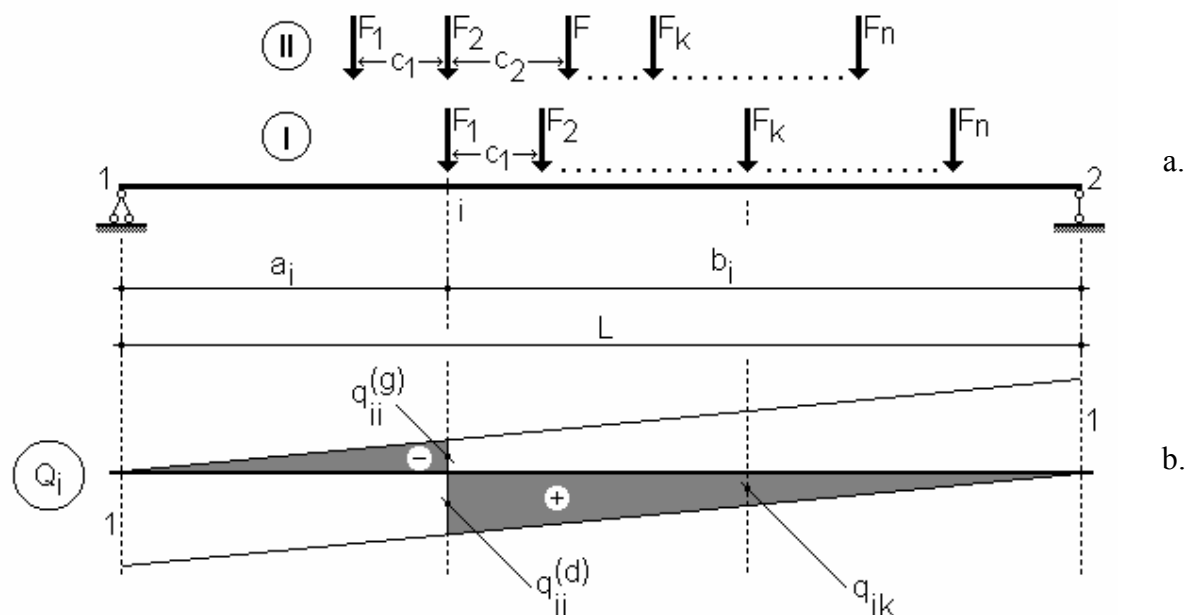
$$Q_i = q_{i1} \cdot F_1 + q_{i2} \cdot F_2 + \dots + q_{in} \cdot F_n = \sum_{j=1}^n q_{ij} \cdot F_j \quad (4.7)$$

relație care arată că, pentru a obține efortul  $Q_i$  cât mai mare, trebuie ca:

- să se încarce prima dată numai zona cu ordonatele mai mari (în cazul nostru, zona pozitivă);
- pentru fiecare încercare, o forță să fie în dreptul secțiunii  $i$ .

relationship which shows that, in order to obtain the shear force  $Q_i$  as large as possible, one has:

- to load firstly only the region with larger ordinates (in our case, the positive zone);
- for each trial, one force must act at the section  $i$ .



**Fig.4.14**

**Forță tăietoare maximă într-o secțiune "i".**

a. - încărcarea, b. - linia de influență

**Maximum shear force at a section "i".**

a. - load, b. - influence line

Practic (fără a prezenta demonstrația, foarte simplă, de altfel) se procedează astfel:

- pentru poziția (I) -  $F_1$  în secțiunea  $i$ , fig.4.14.a, se calculează raporturile:

Practically (without showing the demonstration, which is very simple), one has:

- for position (I) -  $F_1$  at section  $i$ , fig.4.14.a, the following ratios are calculated:

$$\frac{F_1}{c_i} \quad \text{și / and}$$

$$\frac{\sum_{k=1}^n F_k}{L} \quad \text{dacă / if}$$

$$\frac{F_1}{c_i} > \frac{\sum_{k=1}^n F_k}{L}$$

poziția ( I ) este poziția de forță tăietoare maximă;

- dacă:

$$\frac{F_1}{c_1} < \frac{\sum_{k=1}^n F_k}{L}$$

convoiul încărcării se consideră deplasat în poziția ( II ) -  $F_2$  în secțiunea  $i$ , fig.4.14.a și se calculează raporturile:

$$\frac{F_2}{c_2}$$

and

$$\frac{\sum_{k=1}^n F_k}{L}$$

pentru a compara valorile lor.

the train of loads is moved to position ( II ) -  $F_2$  at section  $i$ , fig.4.14.a and one calculates the ratios:

in order to compare their values.

- se efectuează astfel de încercări până când se obține:

$$\frac{F_j}{c_j} > \frac{\sum_{k=1}^n F_k}{L} \quad (4.8)$$

relație care indică faptul că poziția convoiului de încărcări cu  $F_j$  în secțiunea  $i$  produce **forță tăietoare maximă**, care se calculează astfel:

relationship which shows that the position of the train of loads with  $F_j$  at section  $i$  produces **the maximum shear force**, which is calculated as follows:

$$Q_i^{\max} = \pm \sum_{k=1}^n q_{ik} \cdot F_k \quad (4.9)$$

sau, ca pentru încărcări fixe :

or, as for fixed loads:

$$Q_i^{\max} = V_1 - \sum_{k=1}^{j-1} F_k \quad (4.10)$$

**Observație:**

Este necesar ca prin deplasările convoiului de încărcări pe grindă, structura acestuia să rămână aceeași ( $F_1, F_2 \dots F_n$ ), dar se poate utiliza o metodă grafică prin care restricția anterioară este eliminată.

**4.3.3.b Momentul încovoiector maxim**

Pentru o poziție oarecare a convoiului de încărcări mobile pe grindă, fig.4.15.a, cu ordonatele liniei de influență, fig.4.15.b, se poate scrie următoarea relație prin suprapunerea efectelor:

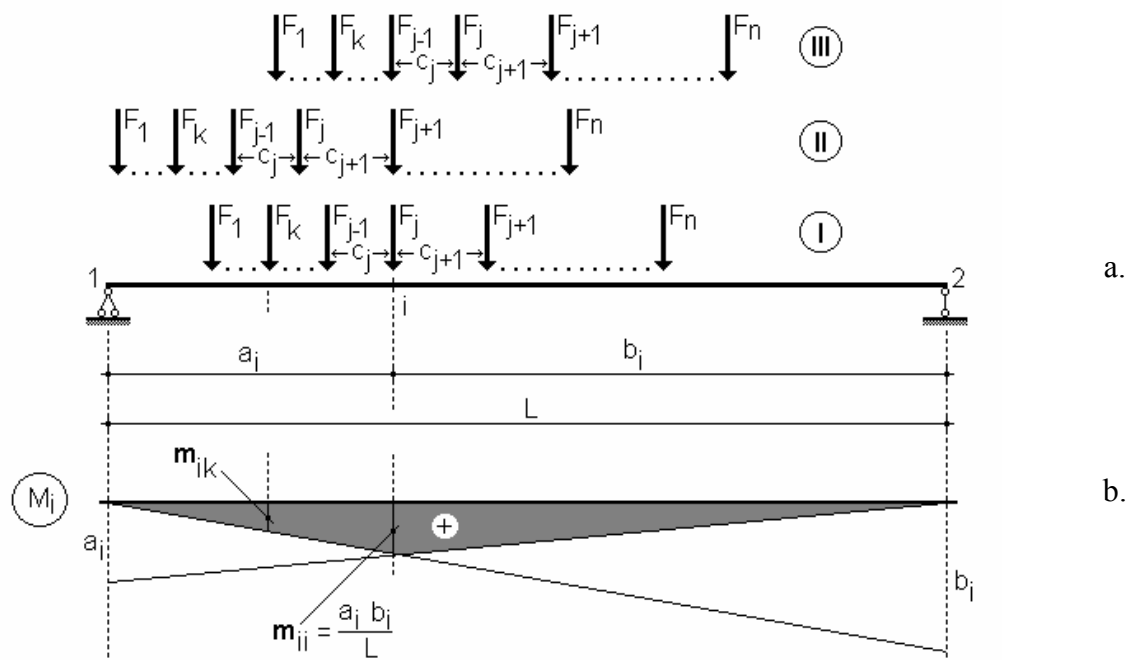
**Note:**

The structure of the train of loads has to remain the same ( $F_1, F_2 \dots F_n$ ) when moving across the beam but a graphical method can be used in order to eliminate this restriction.

**4.3.3.b Maximum bending moment**

For a certain position of the train of loads on the beam, fig.4.15.a, the following relationship can be written by the superposition of effects, using the ordinates of the influence line, fig.4.15.b:

$$M_i = m_{i1} \cdot F_1 + m_{i2} \cdot F_2 + \dots + m_{in} \cdot F_n = \sum_{j=1}^n m_{ij} \cdot F_j \quad (4.11)$$

**Fig.4.15**

**Momentul încovoiector maxim într-o secțiune "i".**

a. - încărcarea, b. - linia de influență

**Maximum bending moment at a section "i".**

a. - loading, b. - influence line

Relația (4.11) arată că, pentru a obține efortul  $M_i$  cât mai mare, trebuie ca:

- încărcările  $F_j$  cu valori mari să fie în dreptul ordonatelor mari  $m_{ij}$  ale liniei de influență;
- o forță să fie întotdeauna în secțiunea  $i$ , pentru a se înmulți cu valoarea maximă  $m_{ij}$  a liniei de influență.

Practic (fără a prezenta demonstrația simplă, de altfel), se procedează astfel: pentru poziția (I) -  $F_j$  în secțiunea  $i$ , fig.4.15.a, se calculează trei raporturi:

$$p_a = \sum_{k=1}^n \frac{F_k}{a_i} \quad p = \sum_{k=1}^n \frac{F_k}{L} \quad p_b = \sum_{k=1}^n \frac{F_k}{b_i} \quad (4.12)$$

Există trei posibilități:

- $p_a < p < p_b$  caz în care convoiul de încărcări trebuie deplasat la stânga (poziția II, cu  $F_{j+1}$  în secțiunea  $i$ );
- $p_a > p > p_b$  caz în care convoiul de încărcări trebuie deplasat la dreapta (poziția III, cu  $F_{j-1}$  în secțiunea  $i$ );
- $p_a > p < p_b$  caz care indică poziția de moment încovoiator maxim în secțiunea  $i$ .

Deci se fac încercări până se obține o relație de tip (c), calculându-se momentul încovoiator maxim:

The relationship (4.11) shows that, in order to obtain the moment  $M_i$  as large as possible, one has:

- the large loads  $F_j$  have to be at sections with large ordinates  $m_{ij}$  of the influence line;
- a load must always be at section  $i$ , to be multiplied by the maximum ordinate  $m_{ij}$  of the influence line.

Practically (without showing the demonstration, which is very simple), one has: for position (I) -  $F_j$  at section  $i$ , fig.4.15.a, three ratios are calculated:

There are three situations:

- $p_a < p < p_b$  case in which the train of loads has to be moved to the left (position II, with  $F_{j+1}$  at section  $i$ );
- $p_a > p > p_b$  case in which the train of loads has to be moved to the right (position III, with  $F_{j-1}$  at section  $i$ );
- $p_a > p < p_b$  case which indicates the position for the maximum bending moment at section  $i$ .

Thus, trials are carried out until a relationship of type (c) is obtained. The maximum bending moment is calculated as follows:

$$M_i^{\max} = \sum_{j=1}^n F_j \cdot m_{ij} \quad (4.13)$$

sau, ca pentru încărcările fixe:

or, as for fixed loads:

$$M_i^{\max} = V_1 \cdot a_i - \sum_{k=1}^{j-1} F_k \cdot (a_i - a_k) \quad (4.14)$$

**Observațiile anterioare pentru forța tăietoare maximă sunt valabile și pentru momentul încovoiector maxim.**

#### 4.3.3.c. Momentul încovoiector maxim-maximorum

Este momentul cel mai mare dintre toate momentele încovoietoare maxime corespunzătoare tuturor secțiunilor unei grinzi simplu rezemate pe care se deplasează un anumit convoi de încărcări mobile.

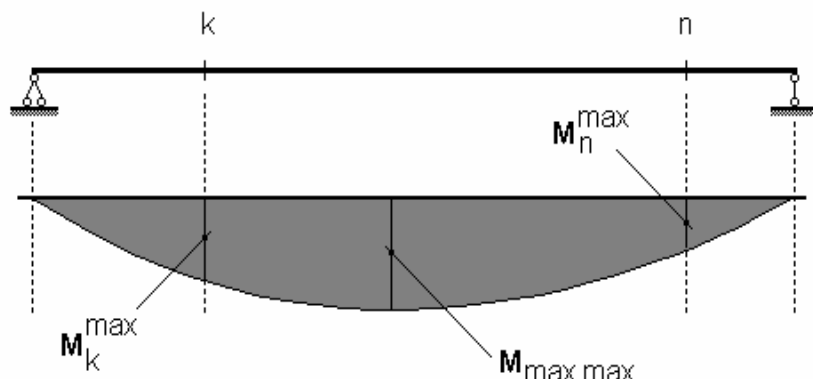
In fig.4.16. este prezentată o înfășurătoare a momentelor încovoietoare maxime, a cărei valoare maximă reprezintă momentul încovoiector maxim-maximorum (notat  $M_{\max \max}$  sau, mai simplu,  $M_{mm}$ ).

The previous observations for the maximum shear force are also valid for the maximum bending moment.

#### 4.3.3.c. Maximum-maximorum (absolute maximum) bending moment

This is the largest bending moment of all the maxima bending moments corresponding to all the sections of a simply supported beam which is subjected to a certain train of moving loads.

Fig.4.16. shows the envelope of the maxima bending moments, whose maximum value represents the maximum-maximorum bending moment (denoted by  $M_{\max \max}$ , or, more simple,  $M_{mm}$ ).



Infășurătoarea momentelor încovoietoare maxime.

Fig.4.16

Envelope of the maxima bending moments.

Se consideră o poziție oarecare pe grindă a convoiului de încărcări mobile, a cărui rezultantă este  $R$  și se presupune că  $M_{mm}$  se produce în dreptul forței  $F_h$ . Cu notațiile din fig.4.17.a, se poate scrie:

$$a_r + b_r = L \quad (4.15)$$

$$M_{(F_h)} = V_1 \cdot (a_r - c) - \sum_{j=1}^{n-1} F_j \cdot d_j \quad (4.16)$$

sau:

or:

$$M_{(F_h)} = \frac{R \cdot b_r}{L} \cdot (a_r - c) - \sum_{j=1}^{n-1} F_j \cdot d_j \quad (4.17)$$

și, ținând cont de (4.15):

and considering the relationship (4.15):

$$M_{(F_h)} = \frac{R}{L} \cdot (L - a_r) \cdot (a_r - c) - \sum_{j=1}^{n-1} F_j \cdot d_j \quad (4.18)$$

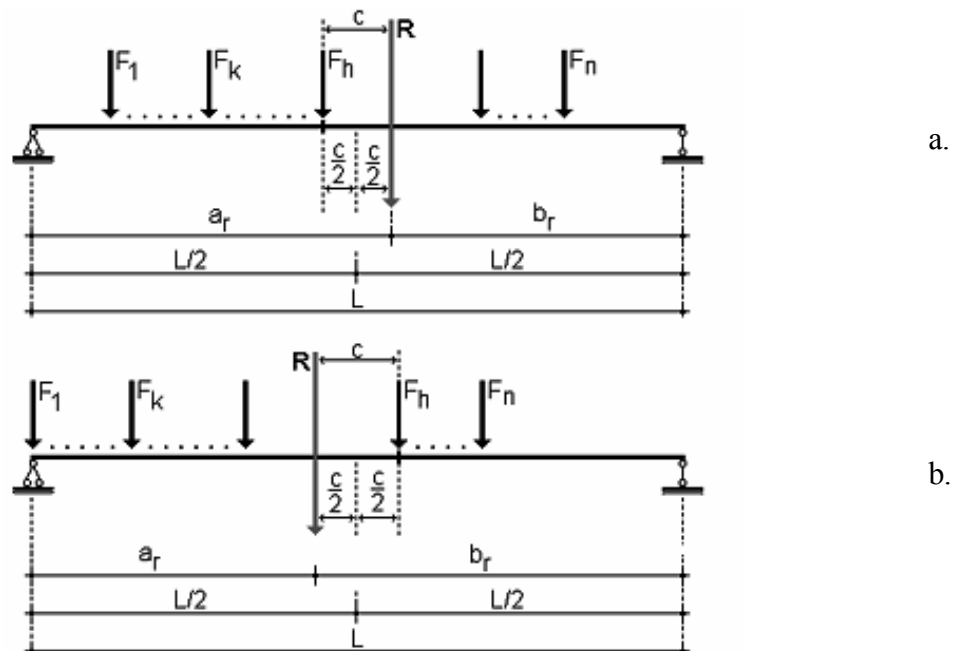


Fig.4.17

**Poziția momentului încovoielor maxim-maximorum.**

**Position of the maximum-maximum bending moment.**

Condiția de moment maxim:

The condition of maximum bending moment:

$$\frac{\partial M_{(F_h)}}{\partial a_r} = \frac{R}{L} \cdot (-2 \cdot a_r + c + L) = 0 \quad (4.19)$$

conduce la:

resulting in:

$$a_r = \frac{L}{2} + \frac{c}{2} \quad (4.20)$$

relație care indică condiția: pentru ca în dreptul lui  $F_n$  să fie secțiunea de moment maxim-maximorum, mijlocul grinzelii trebuie să împartă în două segmente egale distanța  $c$  dintre  $F_n$  și rezultanta  $R$  (vezi fig..4.17.).

relationship which indicates the condition: in order to have the maximum-maximorum bending moment at the section with  $F_n$ , the middle of the beam must divide the distance  $c$  between  $F_n$  and the resultant  $R$  in two equal distances (see fig.4.17.).

Relația (4.20) înlocuită în (4.19) conduce la:

The relationship (4.20) is substituted into (4.19) and it results in:

$$M_{mm} = \frac{R}{4L} \cdot (L - c)^2 - \sum_{j=1}^{n-1} F_j \cdot d_j \quad (4.21)$$

Relațiile (4.20) și (4.21) au fost obținute pentru  $F_n$  la stânga lui  $R$ . Pentru  $F_n$  la dreapta lui  $R$  se obține:

The relationships (4.20) and (4.21) are obtained for  $F_n$  to the left of  $R$ . For  $F_n$  to the left of  $R$ , one obtains:

$$a_r = \frac{L}{2} - \frac{c}{2} \quad (4.22)$$

$$M_{mm} = \frac{R}{4L} \cdot (L + c)^2 - \sum_{j=1}^{n-1} F_j \cdot d_j \quad (4.23)$$

Practic, pentru a determina momentul încovoietor maxim-maximorum, se parcurg următoarele etape:

Practically, in order to determine the maximum-maximorum bending moment, the following steps are followed:

- i. stabilirea poziției convoiului încărcărilor pentru care momentul maxim este la mijlocul grinzelii;

- i. determine the position of the train of loads for which the maximum bending moment is at the middle of the beam;

- ii. determinarea poziției rezultantei  $\mathbf{R}$  în raport cu forțele convoiului încărcărilor, deci a distanței  $c$  dintre  $\mathbf{R}$  și forța  $F_n$  care, în etapa (i), era la mijlocul grinziei;
- iii. presupunând că momentul maxim-maximorum se produce în dreptul lui  $F_n$  (găsit în etapa i), trenul încărcărilor se deplasează la stânga sau la dreapta cu  $c/2$ , pentru a fi satisfăcută condiția de moment maxim-maximorum:

$$a_r = \frac{L}{2} \pm \frac{c}{2} \quad (4.24)$$

- iv. verificarea din nou a condiției de moment încovoiator maxim în dreptul lui  $F_n$ :
- iv. verify again the condition of maximum bending moment at the section with  $F_n$ :

$$p_a = \frac{\sum_{j=1}^n F_j}{\frac{L}{2} \mp \frac{c}{2}} \quad p = \frac{\sum_{j=1}^n F_j}{L} \quad p_b = \frac{\sum_{j=h}^n F_j}{\frac{L}{2} \pm \frac{c}{2}} \quad (4.25)$$

- v. se calculează  $V_1$  și se verifică dacă în dreptul lui  $F_n$  forța tăietoare își schimbă semnul;
- v. calculate  $V_1$  and verify if the shear force changes its sign at the section with  $F_n$ ;
- vi. se calculează valoarea momentului încovoiator maxim-maximorum - relația (4.18) sau:
- vi. calculate the value of the maximum-maximorum bending moment - relationship (4.18) or:

$$M_{mm} = \frac{R}{4L} \cdot (L \mp c)^2 - \sum_{j=1}^n F_j \cdot d_j \quad (4.26)$$

sau, ca pentru încărcările fixe:

or, as for the fixed loads:

$$M_{mm} = V_1 \cdot a_i - \sum_{j=1}^{n-1} F_j \cdot d_j \quad (4.27)$$

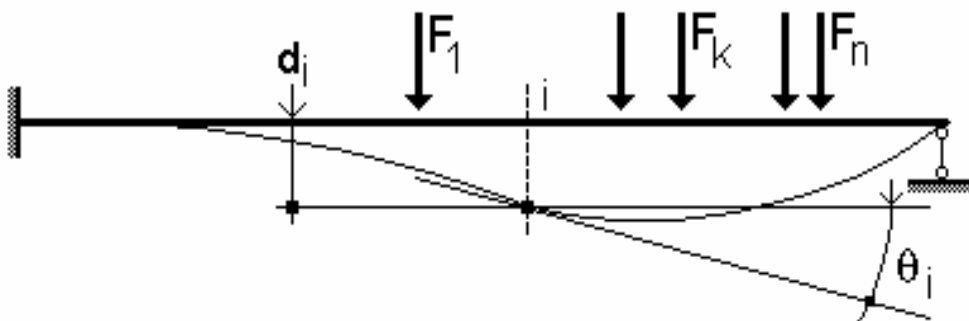
# 5

## DEPLASARI ELASTICE

## ELASTIC DISPLACEMENTS

Datorită acțiunilor exterioare (încărcări, variații de temperatură, cedări de rezemă), elementele de rezistență și structurile se deformă astfel încât secțiunile transversale își schimbă poziția lor inițială. Aceste modificări de poziții sunt denumite "deplasări punctuale". Există două tipuri de deplasări: deplasări liniare  $d$  (săgeți) și deplasări unghiulare  $\theta$  (rotiri), fig.5.1

Due to the external loading (loads, changes in temperature, settlements), the structural members and the structures themselves deform in such a way that the cross sections change their initial position. These changes in position are called "**point displacements**". There are two types of displacements: linear displacements  $d$  (**deflections**) and angular displacements  $\theta$  (**rotations**), fig.5.1.

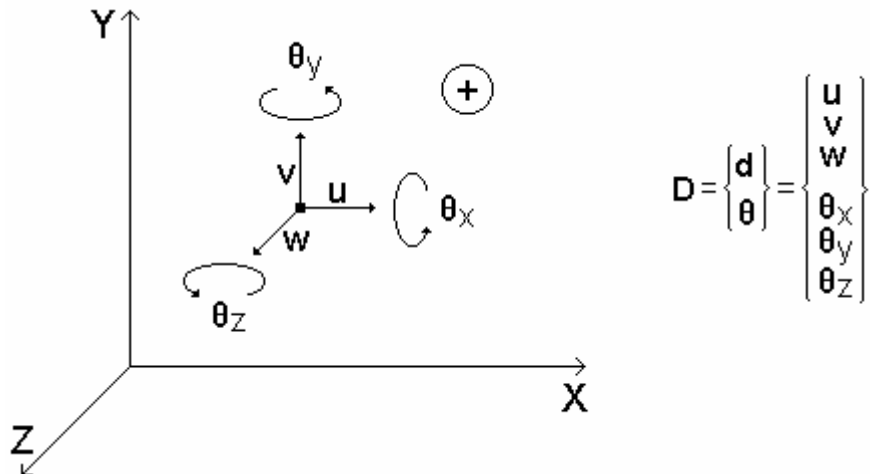


**Deplasări liniare  $d$  și unghiulare  $\theta$ .**

**Fig.5.1 Linear  $d$  and angular  $\theta$  displacements.**

Deoarece există deplasări în toate direcțiile, se fac următoarele notații în raport cu un sistem spațial, fig.5.2.

Since there are displacements in all directions, the following notations are made with respect to a spatial system, fig.5.2.



**Notarea deplasărilor.**

**Fig.5.2**

**Notation of displacements.**

Se presupune că ipotezele enunțate în capitolul 1 sunt valabile, deci aici vor fi prezentate numai **metodele de calcul a deplasărilor elastice**.

Acste metode sunt importante pentru:

- calculul de rigiditate al structurilor (evaluarea deplasărilor maxime, pentru ca valorile lor să rămână în limitele admisibile);
- calculul structurilor static nedeterminate.

Pentru calculul deplasărilor elastice există următoarele metode generale:

a. metode bazate pe integrarea ecuației diferențiale a fibrei medii deformate la încovoiere, prin:

a.1. ecuația diferențială de ordinul doi în următoarele variante:

- integrarea directă ;
- procedeul grinzii conjugate ;
- procedeul grafic.

It is assumed that the assumptions made in chapter 1 are valid, thus only the **methods for the calculation of the elastic displacements** will be presented next.

These methods are important for:

- the stiffness analysis of structures (calculation of the maxima displacements, in order to keep them within the permissible limits);
- the analysis of the statically indeterminate structures.

The following general methods can be used for the calculation of elastic displacements:

a. methods based on the integration of the differential equation of the medium deformed fibre in bending by:

a.1. second order differential equation, in the following versions:

- direct integration ;
- conjugate beam procedure ;
- graphical procedure.

- a.2.** ecuația diferențială de ordinul patru (metoda parametrilor inițiali);
- b.** metoda momentelor factoriale, elaborată de profesorul Anton Sesan, în care se stabilesc relații directe între funcțiile statice (acțiuni și eforturi) și funcțiile elastice (deplasările elastice) ale încovoierii, utilizând ca operatori "momentele factoriale";
- c.** metoda energetică, bazată pe teorema lui Castigliano;
- d.** metoda bazată pe principiul lucrului mecanic virtual.

Metodele **a** sunt dezvoltate la disciplina "Rezistența materialelor" și sunt practice pentru elemente sau structuri liniare (grinzi), dar pot fi generalizate și pentru alte tipuri de structuri. De exemplu, prima metoda este generalizată sub forma sistemelor conjugate sau a încărcărilor elastice și este utilizată pentru determinarea "liniei elastice a structurilor" (forma deformată a axei structurilor).

Trebuie remarcat că metoda parametrilor inițiali, ca și metoda momentelor factoriale, care, formal, sunt echivalente, pot fi exprimate sub formă matricială, practic pentru un calcul automat (în literatura de specialitate este prezentată sub denumirea de "metoda matricelor de transfer").

#### Observație:

In continuare se va dezvolta numai ultima metodă, bazată pe principiul lucrului mecanic virtual, ținând seama de generalitatea sa și de utilitatea sa în calculul structurilor static nedeterminate.

- a.2.** fourth order differential equation (the method of initial parameters);
- b.** method of factorial moments, developed by Professor Anton Sesan, in which direct relationships between the static functions (external loads and internal forces) and the elastic functions (elastic displacements) in bending are formulated, by using as operators "factorial moments";
- c.** energy method, based on Castiglian's method;
- d.** method based on the principle of virtual work.

The methods **a** are discussed at "Strength of materials", being practical for linear members or structures (beams) but they can be generalized for other types of structures. For example, the first method is generalized in the form of the conjugate systems or elastic loads and it is used for the determination of the "elastic line of structures" (the deflected shape of the axis of structures).

It has to be mentioned that the method of initial parameters and the method of factorial moments, which formally are equivalent, can be expressed in the matrix form in order to be used in computational calculations (this method is met in the literature as "the transfer matrix method").

#### Note:

Only the last method will be presented next. This is based on the principle of virtual work, having a general character and being used in the analysis of the statically indeterminate structures.

## 5.1 LUCRUL MECANIC AL INCARCARILOR EXTERIOARE

In domeniul Mecanicii solidelor deformabile se pot distinge două situații în definirea expresiei lucrului mecanic:

- a. Încărcări și deplasări independente (deplasarea din punctul de aplicare al fiecarei încărcări este produsă de o altă acțiune). În acest caz, lucrul mecanic este egal cu:

$$\mathbf{W} = \sum \pm \mathbf{F}_i \cdot \mathbf{d}_i + \sum \pm \mathbf{M}_k \cdot \theta_k \quad (5.1)$$

- b. Încărcări și deplasări dependente (deplasarea din punctul de aplicare al fiecarei încărcări este produsă de încărcarea respectivă). În acest caz, fig.5.3, relația în domeniul elastic între  $\mathbf{F}$ ,  $\mathbf{M}$  și  $\mathbf{d}$ ,  $\theta$  este:

$$\mathbf{F} = k_d \cdot \mathbf{d} \quad \text{sau / or}$$

$$\mathbf{M} = k_\theta \cdot \theta \quad (5.2)$$

Generalizat, se poate scrie:

Generalized, it can be written that :

$$\mathbf{F} = \mathbf{k} \cdot \mathbf{D} \quad (5.2')$$

unde:  $k_d$ ,  $k_\theta$  și  $\mathbf{k}$  sunt constante elastice.

where:  $k_d$ ,  $k_\theta$  and  $\mathbf{k}$  are elastic constants.

Lucrul mecanic elementar este:

The elementary work is:

$$d\mathbf{W} = \mathbf{F} \cdot d\mathbf{D} \quad (5.3)$$

iar lucrul mecanic total pentru  $F_0$  și  $D_0$  este:

and the total work for  $F_0$  and  $D_0$  is:

$$\mathbf{W} = \int_0^{F_0} \mathbf{F} \cdot d\mathbf{D} = \int_0^{F_0} \mathbf{F} \cdot \frac{1}{k} \cdot d\mathbf{F} = \frac{\mathbf{F}_0^2}{2 \cdot k} \quad (5.4)$$

Tinând seama de relația (5.2), rezultă:

Taking into account the relationship (5.2), it results in:

$$W = \frac{F_0^2}{2 \cdot k} = \frac{F_0 \cdot D_0}{2} \quad (5.5)$$

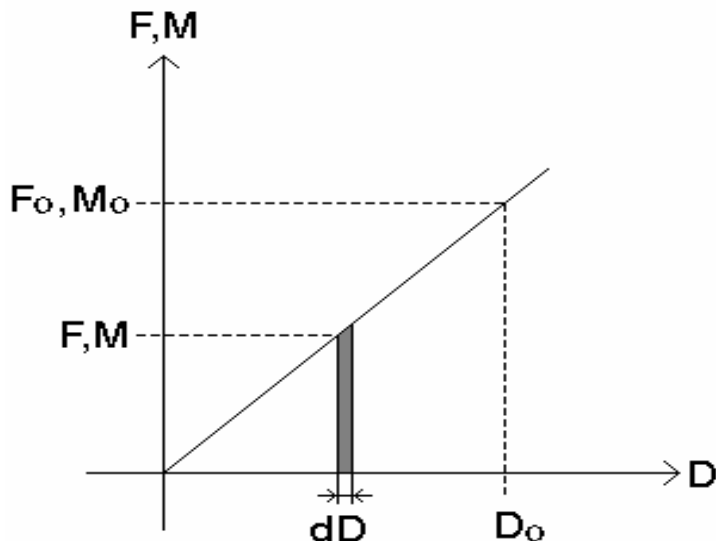


Fig.5.3

**Relația între forță sau moment și deplasare.**

**Relationship between force or moment and displacement.**

Deci, pentru mai multe acțiuni:

Thus, for more loads:

$$W = \frac{1}{2} \left( \sum F_i \cdot d_i + \sum M_k \cdot \theta_k \right) \quad (5.6)$$

## 5.2 TEOREME DE RECIPROCITATE

## 5.2 THEOREMS OF RECIPROCITY

### 5.2.1 Teorema reciprocității lucrului mecanic

Se consideră un sistem elastic acționat de două grupe de acțiuni:  $F_i, M_i$  (prima stare) și  $F_k, M_k$  (a doua stare), fig.5.4.

Se scrie lucrul mecanic în două ipoteze, vezi (5.1) și (5.6):

a. acționează la început  $F_i, M_i$  și apoi  $F_k, M_k$ , fig 5.5:

### 5.2.1 Theorem of reciprocal work

Consider an elastic system subjected to two groups of loads :  $F_i, M_i$  (first state of loads) and  $F_k, M_k$  (second state of loads) , fig.5.4.

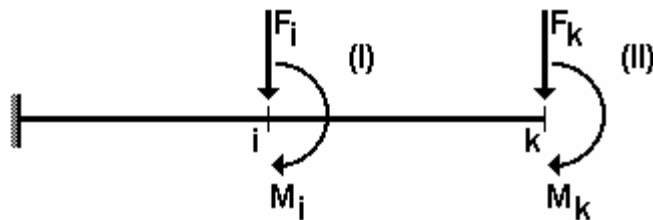
The work is written in two situations, see (5.1) and (5.6):

a.  $F_i, M_i$  are acting first, followed by  $F_k, M_k$ , fig 5.5:

$$W_{i,k} = \frac{F_i \cdot d_i}{2} + \frac{M_i \cdot \theta_i}{2} + \frac{F_k \cdot d_k}{2} + \frac{M_k \cdot \theta_k}{2} + F_i \cdot d_{ik} + M_i \cdot \theta_{ik} \quad (5.7)$$

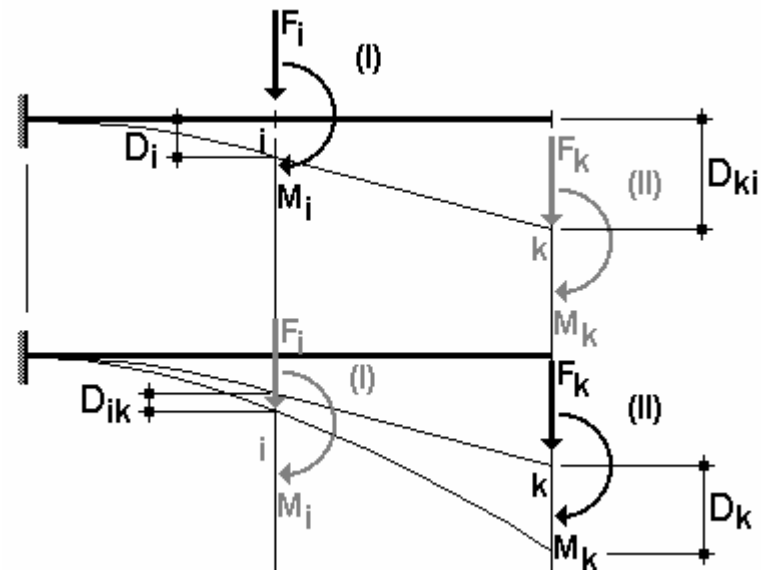
unde  $d_{ik}$ ,  $\theta_{ik}$  sunt deplasarea și rotirea produse în  $i$  de acțiunile din  $k$ , deci independent de  $F_i, M_i$ .

where  $d_{ik}$ ,  $\theta_{ik}$  are the displacement and rotation at  $i$  produced by the loads at  $k$ , thus independent from  $F_i, M_i$ .



**Sistem elastic acționat de două grupe de acțiuni.**

Elastic system subjected to two groups of loads.



**Sistem elastic acționat la început de  $F_i, M_i$  și apoi de  $F_k, M_k$ .**

Elastic system subjected firstly to  $F_i, M_i$ , followed by  $F_k, M_k$ .

b. acționează la început  $F_k, M_k$  și apoi  $F_i, M_i$ , fig.5.6:

b.  $F_k, M_k$  are acting first, followed by  $F_i, M_i$ , fig.5.6:

$$W_{k,i} = \frac{F_k \cdot d_k}{2} + \frac{M_k \cdot \theta_k}{2} + \frac{F_i \cdot d_i}{2} + \frac{M_i \cdot \theta_i}{2} + F_k \cdot d_{ki} + M_k \cdot \theta_{ki} \quad (5.8)$$

unde  $d_{ki}$ ,  $\theta_{ki}$  sunt deplasarea și rotirea produse în  $k$  de acțiunile din  $i$ , așadar independent de  $F_k, M_k$ .

In domeniul elastic  $W_{i,k} = W_{k,i}$ , deci egalând (5.7) cu (5.8) se obține:

$$F_i \cdot d_{ik} + M_i \cdot \theta_{ik} = F_k \cdot d_{ki} + M_k \cdot \theta_{ki} \quad (5.9)$$

Relația (5.9) sintetizează teorema reciprocității lucrului mecanic (**teorema lui Betti**) și are enunțul:

**Pentru două stări I și II de încărcări și deplasări, lucrul mecanic al încărcărilor din prima stare cu deplasările din cea de a doua stare este egal cu lucrul mecanic al încărcărilor din cea de a doua stare cu deplasările din prima stare.**

where  $d_{ki}$ ,  $\theta_{ki}$  are the displacement and rotation at  $k$  produced by the loads at  $i$ , thus independent from  $F_k, M_k$ .

In the elastic range  $W_{i,k} = W_{k,i}$ , thus by equating (5.7) to (5.8), one obtains:

The relationship (5.9) summarises the theorem of reciprocal work (**Betti's theorem**), which is stated as follows:

**For two states of loading and displacements I and II, the work done by the loads of the first state of loads on the displacements of the second state of loads is equal to the work done by the loads of the second state of loads on the displacements of the first state of loads.**

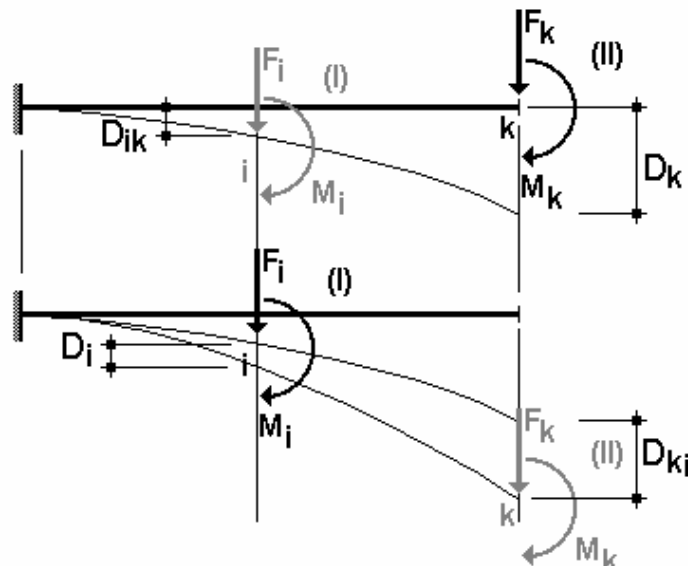


Fig.5.6

Sistem elastic acționat la început de  $F_k, M_k$  și apoi de  $F_i, M_i$ .

Elastic system subjected firstly to  $F_k, M_k$ , followed by  $F_i, M_i$ .

Atunci, simbolic:

Thus, symbolically:

$$\mathbf{W}_{i,II} = \mathbf{W}_{II,i} \quad (5.10)$$

### 5.2.2 Teoremele de reciprocitate a deplasărilor

Considerând succesiv în (5.9) forțe egale cu 1, rezultă:

### 5.2.2 Theorems of reciprocal displacements

By considering successively forces equal to 1 in (5.9), one obtains:

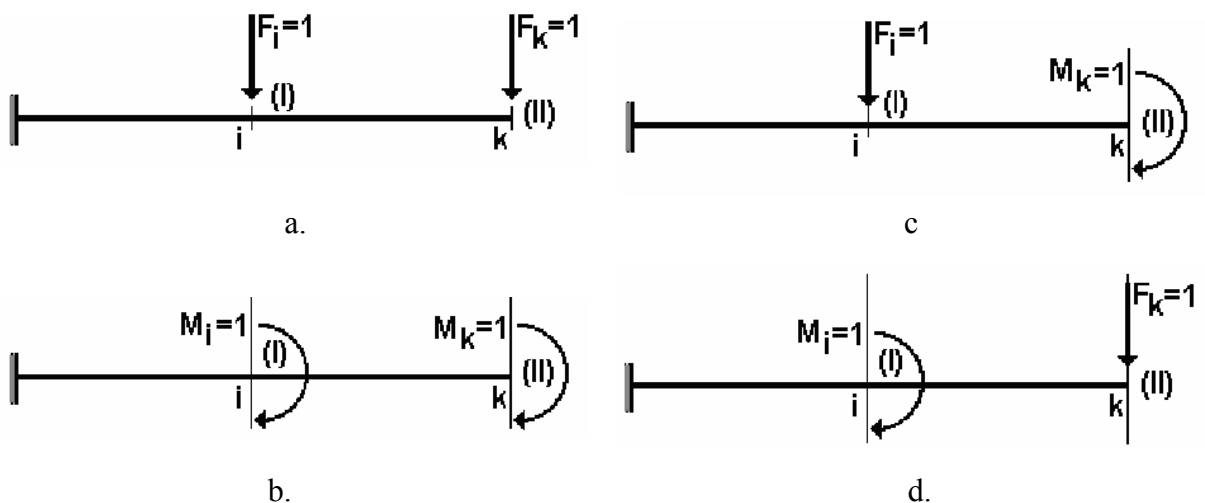


Fig.5.6

Sistem elastic supus la acțiuni egale cu unitatea.

Elastic system subjected to unit loads.

a. pentru / for  $F_i = 1$ ,  $F_k = 1$  și / and  $M_i = M_k = 0$ , fig. 5.6.a:

$$d_{ik}^F = d_{ki}^F \quad (5.11)$$

care indică **reciprocitatea deplasărilor liniare** (săgeți);

which indicates **the reciprocity of linear displacements** (deflections);

b. pentru / for  $M_i = 1$ ,  $M_k = 1$  și / and  $F_i = F_k = 0$ , fig.5.6.b:

$$\theta_{ik}^M = \theta_{ki}^M \quad (5.12)$$

care indică **reciprocitatea rotirilor**;

which indicates **the reciprocity of rotations**;

c. pentru / for  $F_i = 1$ ,  $M_k = 1$  și / and  $M_i = F_k = 0$ , fig.5.6.c:

$$d_{ik}^M = \theta_{ki}^F \quad (5.13)$$

d. pentru / for  $M_i = 1$ ,  $F_k = 1$  și / and  $F_i = M_k = 0$ , fig.5.6.d:

$$\theta_{ik}^F = d_{ki}^M \quad (5.14)$$

Relațiile (5.13) și (5.14) indică reciprocitatea mixtă.

The relationships (5.13) and (5.14) indicate the mixed reciprocity.

### Observații:

- Pentru deplasări și forțe egale cu 1, se obține reciprocitatea combinată între mărimile statice (forțe, momente) și mărimile elastice (deplasări liniare, rotații).
- Pentru deplasări egale cu 1, se obține reciprocitatea forțelor, a momentelor și mixtă.
- Aceste reciprocități vor fi întâlnite în metodele de calcul a structurilor static nedeterminate.

### Note:

- For displacements and forces equal to 1, the combined reciprocity between static quantities (forces, moments) and elastic quantities (deflections, rotations) is obtained.
- For displacements equal to 1, the forces, moments or mixed reciprocity, respectively, are obtained.
- These reciprocities will be encountered in the analysis of statically indeterminate structures.

## 5.3 CALCULUL DEPLASARILOR BAZAT PE PRINCIPIUL LUCRULUI MECANIC VIRTUAL

### 5.3.1 Relația Mohr-Maxwell

Se utilizeaza teorema de reciprocitate a lucrului mecanic considerând următoarele două stări:

- o stare reală: structura acționată de sarcini exterioare, unde există de asemenea cedări de reazeme  $D_k$  și pentru care se calculează deplasarea  $D_i$  (liniară  $d_i$  sau rotirea  $\theta_i$ ), fig.5.7.a;
- o stare virtuală (fictivă): aceeași structură, acționată numai de o forță  $F = \bar{1}$  (dacă  $D_i$  este o deplasare liniară) sau de un moment  $M = \bar{1}$  (dacă  $D_i$  este o rotire), fig.5.7.b.

## 5.3 CALCULATION OF DISPLACEMENTS USING VIRTUAL WORK

### 5.3.1 Mohr-Maxwell law

The theorem of reciprocal work is used in the following two states:

- a real state: the structure is subjected to external loads, including also settlements  $D_k$ , for which the displacement  $D_i$  is calculated (deflection  $d_i$  or rotation  $\theta_i$ ), fig.5.7.a;
- a virtual (imaginary) state : the same structure subjected only to a force  $F = \bar{1}$  (if  $D_i$  is a deflection) or a moment  $M = \bar{1}$  (if  $D_i$  is a rotation), fig.5.7.b.

Eforturile produse de forțele exterioare în structura reală sunt noteate  $N_p, M_p, Q_p, T_p$ :

Reacțiunile produse de acțiunile egale cu  $\bar{1}$  sunt noteate  $\bar{R}_k^i$  iar deformațiile interioare în situația virtuală sunt:  $\bar{dL}$  (deformație axială),  $\bar{d\theta}$  (rotație din încovoiere),  $\bar{dy}$  (deformație de forfecare) și  $\bar{d\theta_t}$  (rotație din torsion). Aceste deformații au expresiile cunoscute și indicate în fig.5.7.

The internal forces in the real structure produced by the external loads are denoted by  $N_p, M_p, Q_p, T_p$ :

The reactions produced by the loads equal to  $\bar{1}$  are denoted by  $\bar{R}_k^i$  and the internal deformations in the virtual state are:  $\bar{dL}$  (axial deformation),  $\bar{d\theta}$  (rotation due to bending),  $\bar{dy}$  (shear deformation) and  $\bar{d\theta_t}$  (rotation due to torsion). These deformations have the known expressions shown in fig.5.7.

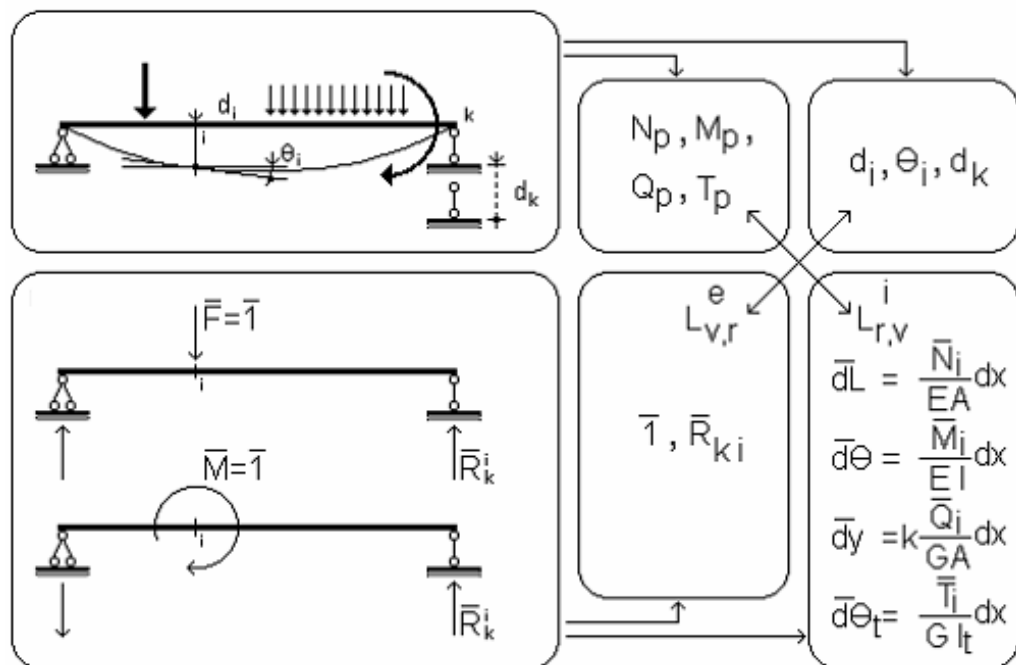


Fig.5.7

**Starea reală (a.) și starea virtuală (b.).**

**Real state (a.) and virtual state (b.).**

### Observație:

$k$  este coeficientul de neuniformitate pentru repartiția tensiunilor tangențiale ( $k=1.2$  pentru secțiunea rectangulară,  $k=2 \dots 2.5$  pentru secțiuni laminate T,  $k=32/27$  pentru secțiunea circulară, etc.).

### Note:

$k$  is the nonuniformity coefficient for the shear stresses ( $k=1.2$  for rectangular section,  $k=2 \dots 2.5$  for T sections,  $k=32/27$  for circular sections, etc.).

Teorema reciprocității lucrului mecanic se aplică aici sub forma:

$$\mathbf{W}_{v,r}^e = \mathbf{W}_{r,v}^i \quad (5.15)$$

unde:

$\mathbf{W}_{v,r}^e$  este lucrul mecanic exterior al acțiunilor și reacțiunilor din situația virtuală cu deplasările din situația reală;

$\mathbf{W}_{r,v}^i$  - lucrul mecanic interior al eforturilor din situația reală cu deformațiile din situația virtuală.

Așadar (vezi fig.5.7):

$$\begin{aligned} & \bar{\mathbf{l}} \cdot \mathbf{D}_i + \sum \pm \bar{\mathbf{R}}_{ki} \cdot \mathbf{D}_k = \\ & = \sum \int \mathbf{N}_p \frac{\bar{\mathbf{N}}_i \cdot d\mathbf{x}}{E \cdot A} + \sum \int \mathbf{M}_p \frac{\bar{\mathbf{M}}_i \cdot d\mathbf{x}}{E \cdot I} + \sum k \cdot \int \mathbf{Q}_p \frac{\bar{\mathbf{Q}}_i \cdot d\mathbf{x}}{G \cdot A} + \sum \int \mathbf{T}_p \frac{\bar{\mathbf{T}}_i \cdot d\mathbf{x}}{G \cdot I_t} \end{aligned} \quad (5.16)$$

Relația de mai sus este **relația Mohr-Maxwell** pentru calculul deplasărilor elastice punctuale a structurilor plane formate din bare drepte, supuse la sarcini și cedări de rezeme.

### Observații:

- Pentru a calcula o deplasare relativă între două puncte, acțiunea din starea virtuală este o pereche de forțe egale cu  $\bar{\mathbf{l}}$  pe direcția respectivă (fig.5.8.a) iar pentru a calcula o rotație relativă (într-o articulație), acțiunea din situația virtuală este o pereche de momente egale cu  $\bar{\mathbf{l}}$  (fig.5.8.b).

- Făcând notațiile generice:

$$\begin{aligned} \mathbf{S}_p &= \{\mathbf{N}_p, \mathbf{M}_p, \mathbf{Q}_p, \mathbf{T}_p\} \\ \bar{\mathbf{S}}_i &= \{\bar{\mathbf{N}}_i, \bar{\mathbf{M}}_i, \bar{\mathbf{Q}}_i, \bar{\mathbf{T}}_i\} \\ \mathbf{B} &= \{EA, EI, GA/k, GI_t\} \end{aligned} \quad (5.17)$$

202

The theorem of reciprocal work is used here in the form:

where:

$\mathbf{W}_{v,r}^e$  is the external work done by the loads and reactions in the virtual state on the displacements in the real state;

$\mathbf{W}_{r,v}^i$  - the internal work done by the internal forces in real state on the deformations in the virtual state.

Thus (see fig.5.7):

The above relationship is the **Mohr-Maxwell law** for the calculation of elastic point displacements of plane structures composed of straight bars, subjected to external loads and settlements.

### Note:

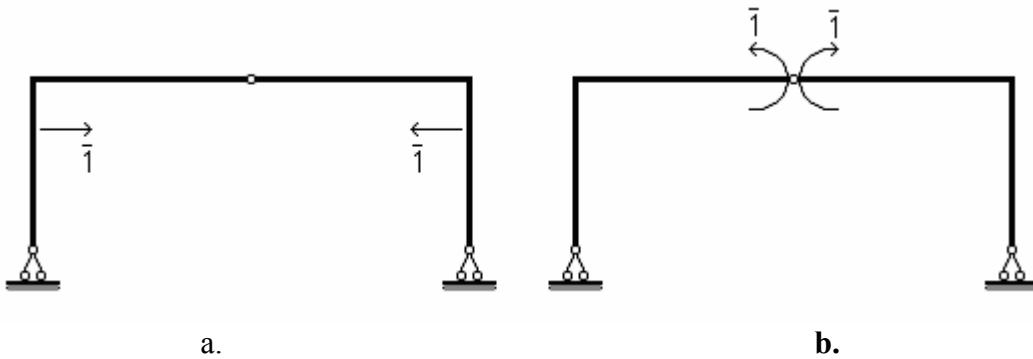
- In order to calculate the relative displacement between two points, the load in the virtual state is a pair of forces equal to  $\bar{\mathbf{l}}$  acting in the corresponding direction (fig.5.8.a). In order to calculate a relative rotation (in a hinge), the load in the virtual state is a pair of moments equal to  $\bar{\mathbf{l}}$  (fig.5.8.b).

- By using the general notations:

fiecare termen din al doilea membru din (5.16) poate fi scris:

each term in the right hand side of the relationships (5.16) can be written as:

$$\sum \int S_p \frac{S_i}{B} dx \quad (5.18)$$



**Fig.5.8.**

## **Calculul deplasărilor relative dintre două puncte.**

### **Calculation of the relative displacement between two points.**

- In unele cărți, efortul produs de acțiunile din starea virtuală ( $\bar{N}_i$ ,  $\bar{M}_i$ ,  $\bar{Q}_i$ ,  $\bar{T}_i$ ) sunt notate:

- In some textbooks, the internal force produced by the loads in the virtual state ( $\bar{N}_i, \bar{M}_i, \bar{Q}_i, \bar{T}_i$ ) are denoted as:

$$n_j, m_j, q_j, t_j$$

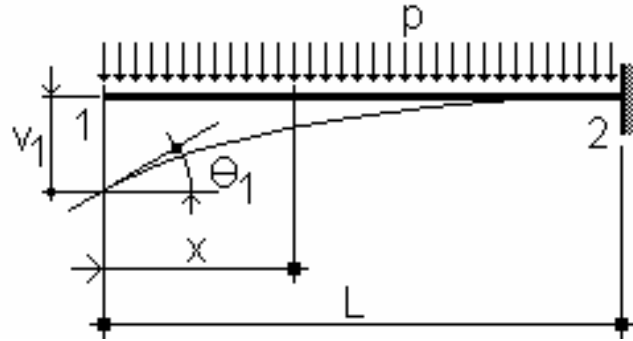
- Dacă semnul deplasării calculat cu relația Mohr-Maxwell este "minus", aceasta înseamnă că deplasarea se produce în sens invers acțiunii  $\bar{I}$  din starea virtuală.

- If the sign of the displacement calculated using the Mohr-Maxwell law is “minus”, it means that the displacement takes place in opposite sense to the load  $\bar{1}$  in the virtual state.

### **Exemplu / Example 5.1**

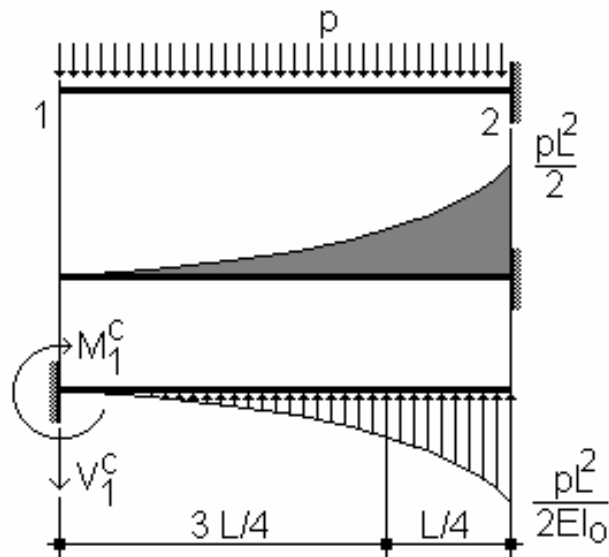
Calculați  $\theta_1$  și  $v_1$  pentru grinda cu secțiunea constantă din fig.5.9 (ținând seama numai de efectul momentului încovoyer).

Calculate  $\theta_1$  and  $v_1$  for the beam with constant cross section shown in fig.5.9 (taking into account only the effect of the bending moment).



**Fig.5.9**

- a. prin metoda grinzii conjugate fig.5.10:      a. using the method of the conjugate beam, fig.5.10:



**Fig.5.10**

**Grinda conjugată.**

**Conjugate beam.**

Rezultă :

One obtains :

$$\theta_1^r = Q_1^c = \frac{1}{3} \frac{pL^2}{2EI_0} L = \frac{pL^3}{6EI_0}$$

$$v_1^r = M_1^c = \frac{1}{3} \frac{pL^2}{2EI_0} L \cdot \frac{3}{4} L = \frac{pL^4}{8EI_0}$$

- b. prin relația Mohr-Maxwell:

- b.1** calculul rotirii  $\theta_1$ , fig.5.11:

- b. using the Mohr-Maxwell law:

- b.1** calculation of rotation  $\theta_1$ , fig.5.11:

- efortul din starea reală,  $M_p$ :

- internal moment in the real state,  $M_p$ :

$$M(x) = M_p = -\frac{p \cdot x^2}{2}$$

- efortul din starea virtuală,  $\bar{M}_i$ :

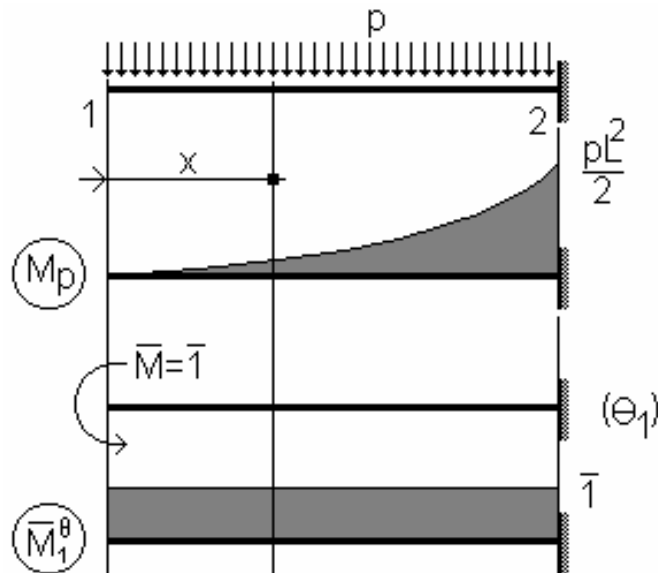
- internal moment in the virtual state,  $\bar{M}_i$ :

$$\bar{M}_i^\theta(x) = -1$$

aşadar:

thus:

$$\bar{1} \cdot D_1 = \theta_1 = \int_0^L \frac{M_p \cdot M_i^\theta}{E \cdot I} dx = \frac{1}{E \cdot I_0} \int_0^L \left( -p \cdot x \cdot \frac{x}{2} \right) \cdot \bar{1} \cdot dx = \frac{p \cdot L^3}{6 \cdot E \cdot I_0}$$



**Fig.5.11**

**b.2** calculul săgeții  $v_1$ , fig.5.12:

- efortul din starea reală,  $M_p$ :

**b.2** calculation of deflection  $v_1$ , fig.5.12:

- internal moment in the real state,  $M_p$ :

$$M(x) = M_p = -\frac{p \cdot x^2}{2}$$

- efortul din starea virtuală,  $\bar{M}_i$ :
- internal moment in the virtual state,  $\bar{M}_i$ :

$$\bar{M}_i^d(x) = -1 \cdot x$$

aşadar:

thus:

$$\bar{1} \cdot D_1 = v_1 = \int_0^L \frac{M_p \cdot M_i^d}{E \cdot I} dx = \frac{1}{E \cdot I_0} \cdot \int_0^L (-p \cdot x \cdot \frac{x}{2}) \cdot (-1 \cdot x) dx = \frac{p \cdot L^4}{8 \cdot E \cdot I_0}$$

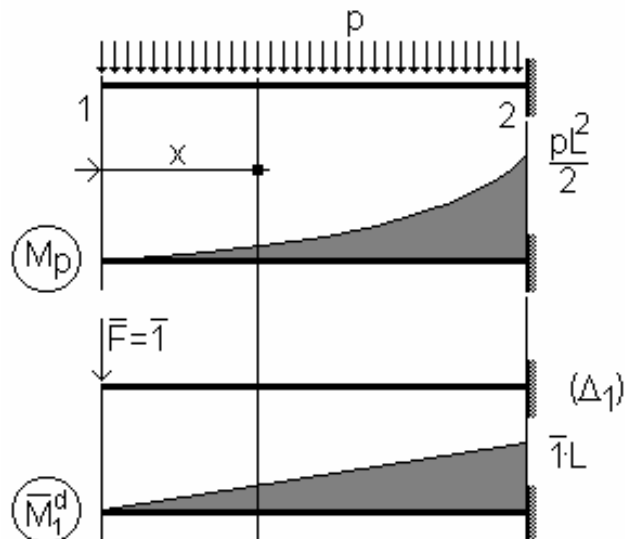


Fig.5.12

E 5.1 ↗

### 5.3.2 Soluție practică de integrare a relației Mohr-Maxwell pentru bare drepte cu secțiune constantă

In acest caz eforturile din starea virtuală au întotdeauna o variație liniară, în timp ce eforturile din starea reală au variații liniare sau parabolice (de gradul doi sau trei).

### 5.3.2 Practical solution for the integration of the Mohr-Maxwell law for straight bars with constant cross section

In this case, the internal forces in the virtual state always have a linear variation while the internal forces in the real state have linear or parabolic variations (second or third degree).

Cu notăriile generice (5.17) și considerând că pe intervalul  $x_1 - x_2$  (fig.5.13) atât  $S_p$  cât și  $\bar{S}_i$  sunt **funcții continue**, că  $\bar{S}_i$  are o variație liniară ( $\bar{S}_i = a \cdot x + b$ ) și că  $B$  este constant, integrala (5.18) poate fi scrisă după cum urmează:

$$\begin{aligned} \int_{x_1}^{x_2} S_p \frac{\bar{S}_i}{B} dx &= \frac{1}{B} \int_{x_1}^{x_2} S_p \bar{S}_i dx = \frac{1}{B} \int_{x_1}^{x_2} S_p (ax + b) dx = \\ &= \frac{1}{B} \left( a \int_{x_1}^{x_2} S_p x dx + b \int_{x_1}^{x_2} S_p dx \right) = \frac{1}{B} \left( a \int_{x_1}^{x_2} dS_{S_p} + b \int_{x_1}^{x_2} dA_{S_p} \right) \end{aligned} \quad (5.19)$$

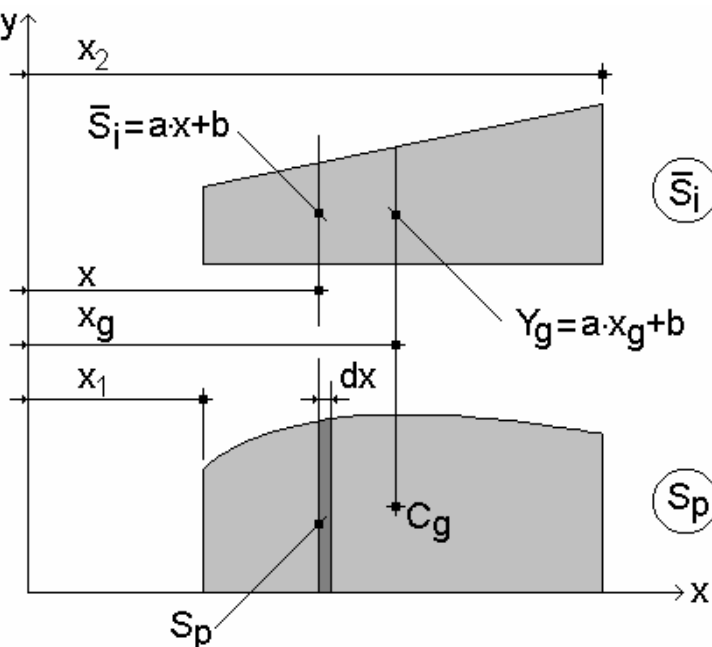


Fig.5.13

Variațiile funcțiilor  $S_p$  și  $\bar{S}_i$ .

Variation of functions  $S_p$  and  $\bar{S}_i$ .

unde:

where:

$$dA_{S_p} = S_p \cdot dx \quad (5.20)$$

este aria elementară a diagramei  $S_p$ ,

is the elementary area of the diagram  $S_p$ ,

$$dS_{S_p} = S_p \cdot x \cdot dx = x \cdot dA_{S_p} \quad (5.21)$$

este momentul static al ariei elementare  $dA_{S_p}$  în raport cu originea sistemului de axe.

is the static moment of the elementary area  $dA_{S_p}$  with respect to the origin of the coordinate system.

Făcând integrarea , (5.19) devine:

$$\int_{x_1}^{x_2} S_p \frac{S_i}{B} dx = \frac{1}{B} (a \cdot S_p + b \cdot A_{S_p}) \quad (5.22)$$

unde  $S_p$  și  $A_{S_p}$  sunt momentul static în raport cu originea sistemului de axe și respectiv aria diagramei  $S_p$ .

Dar:

By integrating, (5.19) becomes:

where  $S_p$  and  $A_{S_p}$  are the static moment with respect to the origin of the coordinate system and the area of the diagram  $S_p$ , respectively.

But :

$$S_p = A_{S_p} \cdot x_G \quad (5.23)$$

deci:

thus:

$$\int_{x_1}^{x_2} S_p \frac{S_i}{B} dx = \frac{1}{B} A_{S_p} (a \cdot x_G + b) \quad (5.24)$$

Deoarece  $a \cdot x_G + b = \bar{y}_{C_g}$  , în final se obține:

Since  $a \cdot x_G + b = \bar{y}_{C_g}$  , finally one obtains:

$$\int_{x_1}^{x_2} S_p \frac{S_i}{B} dx = \frac{1}{B} A_{S_p} \bar{y}_{C_g} \quad (5.25)$$

unde:

where:

**$A_{S_p}$  este aria diagramei  $S_p$  pe intervalul de integrare;**

**$A_{S_p}$  is the area of the diagram  $S_p$  over the integration interval;**

**$\bar{y}_{C_g}$  este ordonata din diagrama  $\bar{S}_i$  din dreptul centrului de greutate a diagramei  $\bar{S}_i$ .**

**$\bar{y}_{C_g}$  is the ordinate in the  $\bar{S}_i$  diagram at the centroid of the  $\bar{S}_i$  diagram.**

O estimare ușoară a expresiei (5.18) este posibilă dacă considerăm reprezentarea grafică din fig.5.14. Valoarea integrală este dată de volumul prismei din figură:

An easy estimation of the expression (5.18) is possible if the graphical representation in fig.5.14 is considered. The value of the integral is given by the volume of the prism shown in the figure:

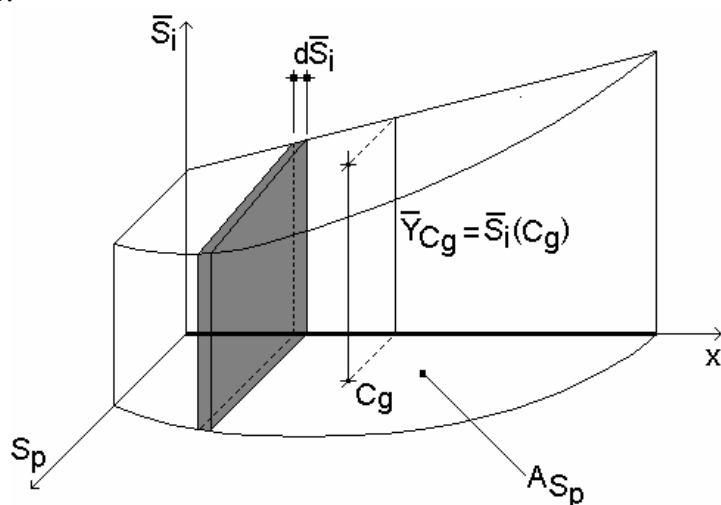
$$\int S_p \frac{\bar{S}_i}{B} dx = \frac{1}{B} \int S_p \bar{S}_i dx = V = \frac{1}{B} \cdot A_{S_p} \cdot \bar{y}_{C_g} = \frac{1}{B} \cdot A_{S_p} \cdot \bar{S}_i(C_g) \quad (5.26)$$

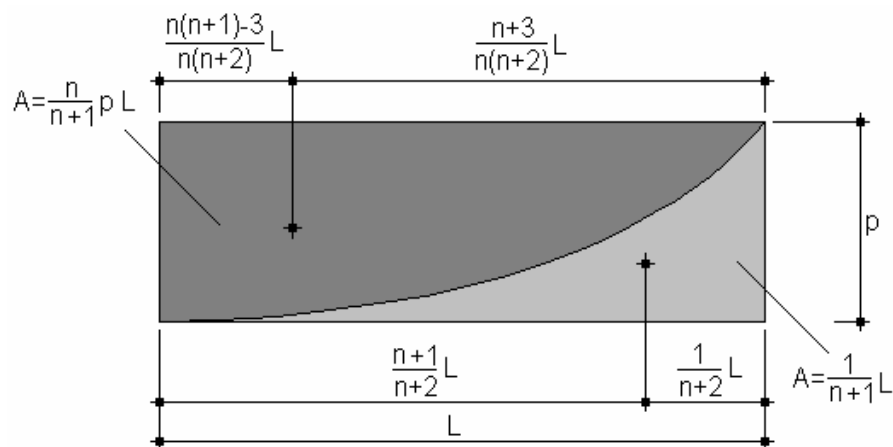
**Observații:**

- Semnul ( $\pm$ ) depinde de semnele relative ale diagramelor  $S_p$  și  $\bar{S}_i$ .
- Pentru diagramele de ordinul  $k$ , expresiile ariilor și ale pozițiilor centrelor de greutate sunt prezentate în fig.5.15 și sunt particularizate pentru  $k=2$  în fig.5.16.

**Note:**

- The sign ( $\pm$ ) depends on the relative sign of the  $S_p$  and  $\bar{S}_i$  diagrams.
- For diagrams of  $k$  order, the expressions of the areas and the positions of the centroids are shown in fig.5.15. Fig.5.16 shows the particular case for  $k=2$ .


**Fig.5.14**
**Volumul**  $\int S_p \bar{S}_i dx$ .

**Volume**  $\int S_p \bar{S}_i dx$ .

**Fig.5.15**
**Ariile și pozițiile centrului de greutate  
pentru diagrame de ordinul  $k$ .**
**Arias and positions of centroid for  
diagrams of  $k$  order.**

- Orice diagramă, oricără de complicată, poate fi descompusă în diagrame simple conform fig.5.17. Aceasta este "regula grinzi simplu rezemate", care constă în suprapunerea efectelor, considerând că diagrama respectivă aparține unei grinzi simplu rezemate, încărcată conform diagramei în discuție.

- Any diagram, regardless of its complexity, can be broken up in simple diagrams, as shown in fig.5.17. This is the "simply supported beam rule", based on the superposition of effects. It is considered that the diagram belongs to a simply supported beam, loaded according to the corresponding diagram.

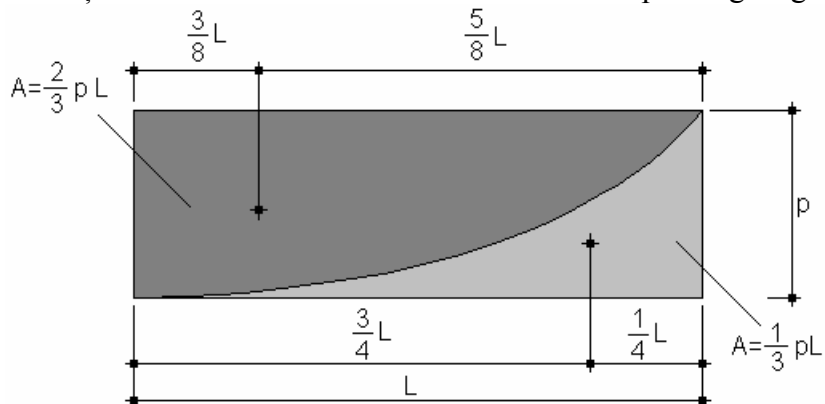


Fig.5.16

Ariile și pozițiile centrului de greutate pentru diagrame de ordinul 2.

Areas and positions of the centroid for the second order diagrams.

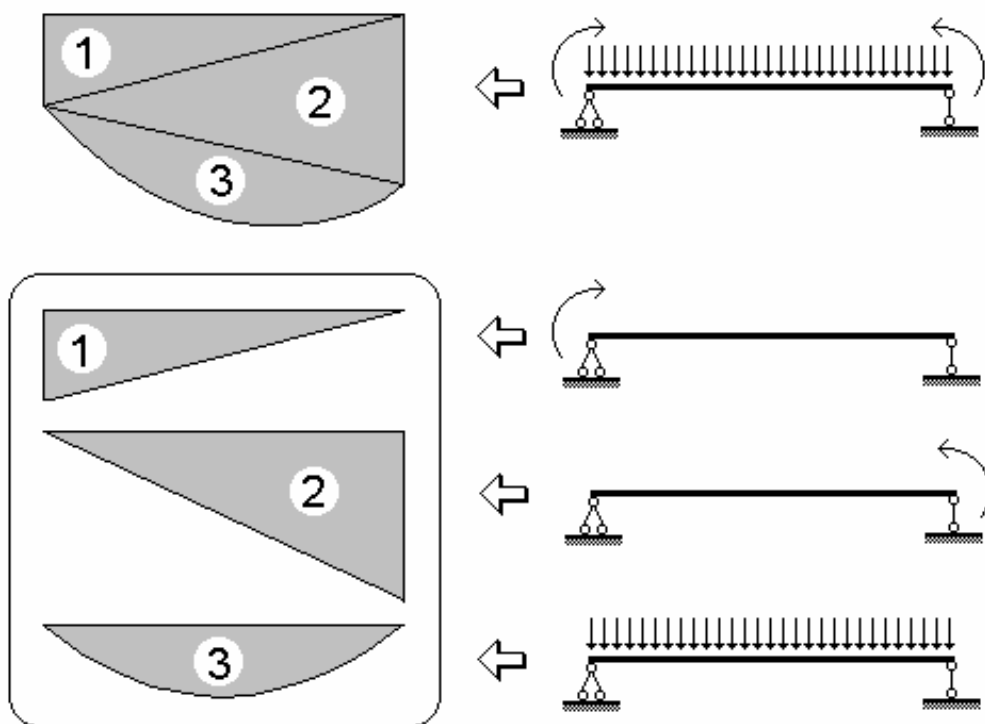
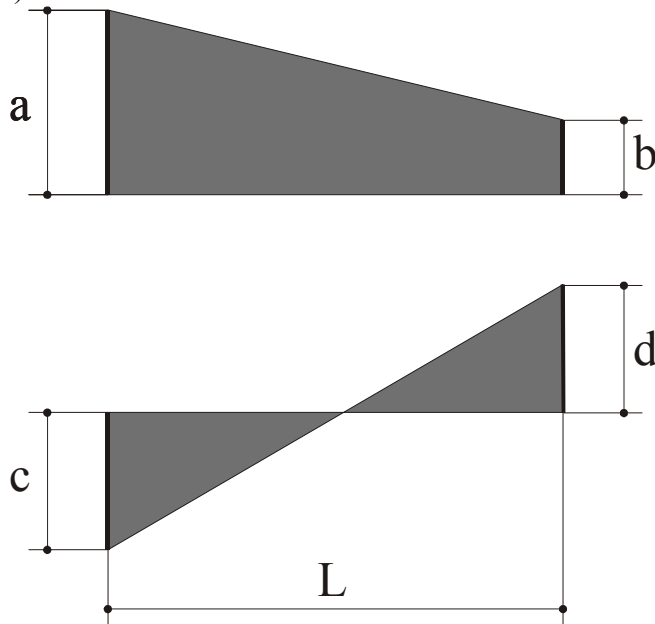


Fig.5.17

**Descompunerea în diagrame simple.****Braking up in simple diagrams.**

- In cazul în care ambele diagrame  $S_p$  și  $\bar{S}_i$  sunt trapeze, prin descompunerea în patru diagrame simple, fig.5.18, obținem relația (5.27).

- In the case when both  $S_p$  and  $\bar{S}_i$  diagrams are trapezia, by braking them up in four simple diagrams, fig.5.18, the relationship (5.27) is obtained.

**Fig.5.18.****Cazul în care diagramele sunt trapeze.****Case when the diagrams are trapezia.**

$$\int S_p \frac{S_i}{B} dx = \frac{L}{6 \cdot B} (\pm 2 \cdot a \cdot c \pm 2 \cdot b \cdot d \pm a \cdot d \pm c \cdot b) \quad (5.27)$$

Semnele ( $\pm$ ) depind de semnele relative ale factorilor fiecarui termen.

The signs ( $\pm$ ) depend on the relative signs of the factors of each term.

**Exemplu / Example 5.2**

Să se calculeze  $\theta_1$  și  $v_1$  pentru grinda cu secțiunea constantă din fig.5.19 (se consideră numai efectul momentului încovoiator).

- rotirea  $\theta_1$ :

Calculate  $\theta_1$  and  $v_1$  for the beam with constant cross section in fig.5.19 (only the effect of the bending moment is considered).

- rotation  $\theta_1$ :

$$\bar{l} \cdot D_1 = \theta_1 = \sum \int \frac{M_p \bar{M}_1^\theta}{EI} dx = \frac{1}{EI_0} \left( \frac{1}{3} \cdot 20 \cdot 2 \cdot \bar{l} + \frac{1}{2} \cdot 20 \cdot 8 \cdot \frac{2}{3} \cdot \bar{l} \right) = \frac{200}{3EI_0}$$

- săgeata  $v_1$ :
- deflection  $v_1$ :

$$\bar{l} \cdot D_1 = v_1 = \sum \int \frac{M_p \bar{M}_1^v}{EI} dx = \frac{1}{EI_0} \left( \frac{1}{3} \cdot 20 \cdot 2 \cdot \frac{3}{4} \cdot \bar{l} + \frac{1}{2} \cdot 20 \cdot 8 \cdot \frac{2}{3} \cdot \bar{l} \right) = \frac{380}{3EI_0}$$

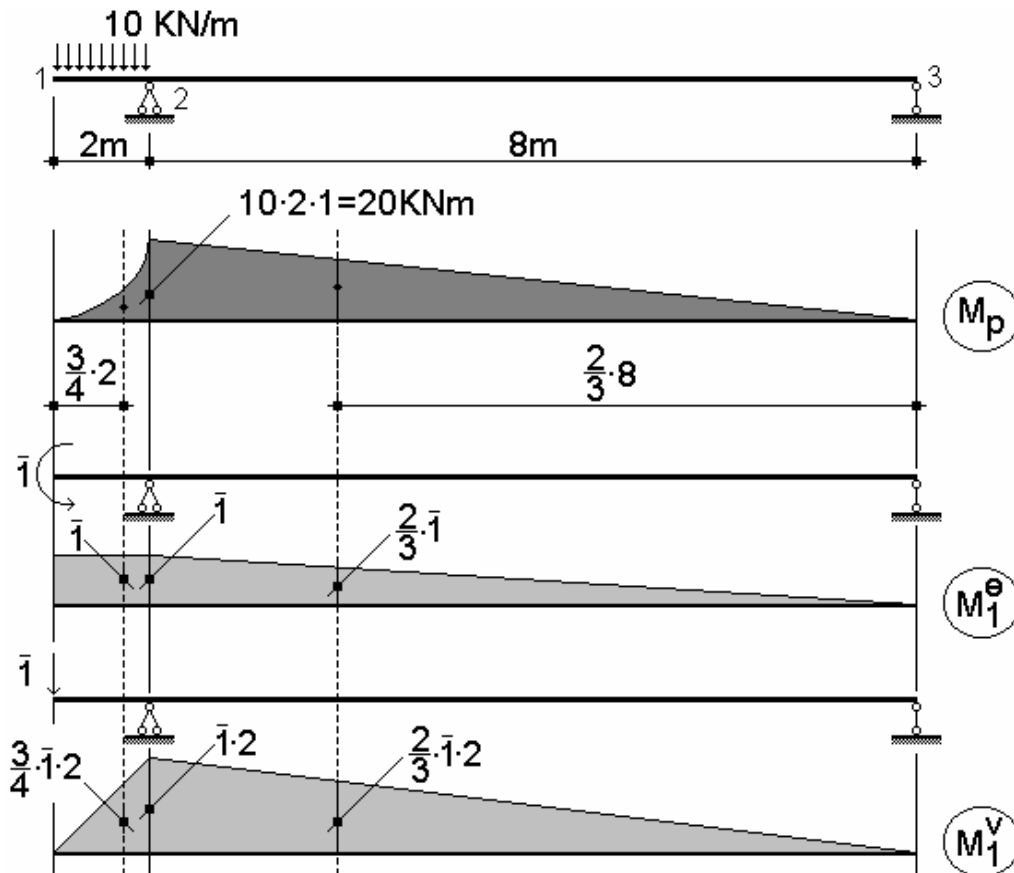


Fig.5.19

Numeric, pentru  $EI_0 = 2.16 \times 10^5 \text{ kNm}^2$ , se obține:

$$\theta_1 = \frac{200}{3 \cdot 2.1 \cdot 10^5} = 30.864 \times 10^{-5} \text{ rad}$$

$$v_1 = \frac{380}{3 \cdot 2.16 \cdot 10^5} = 58.642 \times 10^{-5} \text{ m} = 0.0586 \text{ cm}$$

## E 5.2 ↗

## Exemplu / Example 5.3

Să se calculeze  $v_2$  pentru grinda cu secțiune variabilă din fig.5.20 (se consideră numai efectul momentului încovoiitor).

Calculate  $v_2$  for the beam with variable cross section in fig.5.20 (only the effect of the bending moment is considered).

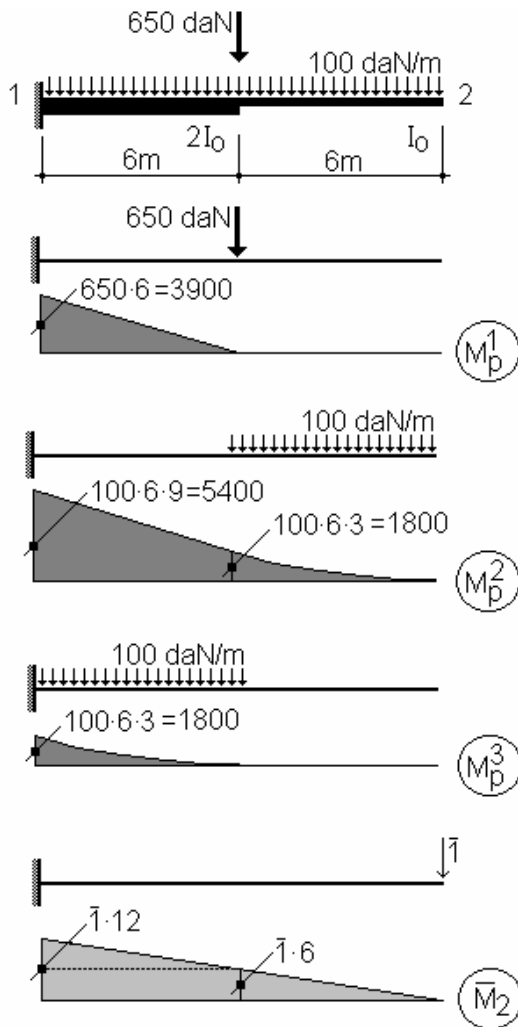


Fig.5.20

- săgeata  $v_2$ :

- deflecțion  $v_2$ :

$$\begin{aligned}
 \bar{l} \cdot D_2 = v_2 &= \int \frac{M_p^1 \bar{M}_2}{EI} dx + \int \frac{M_p^2 \bar{M}_2}{EI} dx + \int \frac{M_p^3 \bar{M}_2}{EI} dx = \\
 &= \frac{6}{6 \cdot 2EI_0} \cdot (3900 \cdot \bar{l} \cdot 12 + 2 \cdot 0 \cdot \bar{l} \cdot 6 + 3900 \cdot \bar{l} \cdot 6 + 0 \cdot \bar{l} \cdot 12) + \\
 &\quad + \frac{1}{EI_0} \cdot \frac{1}{3} \cdot 1800 \cdot 6 \cdot \frac{3}{4} \cdot \bar{l} \cdot 6 + \\
 &\quad + \frac{6}{6 \cdot 2EI_0} \cdot (2 \cdot 5400 \cdot \bar{l} \cdot 12 + 2 \cdot 1800 \cdot \bar{l} \cdot 6 + 5400 \cdot \bar{l} \cdot 6 + 1800 \cdot \bar{l} \cdot 12) + \\
 &\quad + \frac{1}{2EI_0} \cdot \frac{1}{3} \cdot 1800 \cdot 6 \cdot (\bar{l} \cdot 6 + \frac{3}{4} \cdot \bar{l} \cdot 6) = \frac{202500}{EI_0}
 \end{aligned}$$

**E 5.3**
**Exemplu / Example 5.4**

Să se calculeze  $u_3$  și  $\theta_4^{(rel)}$  pentru cadrul din fig.5.21 (se consideră numai efectul momentului încovoiator).

Calculate  $u_3$  and  $\theta_4^{(rel)}$  for the frame in fig.5.21 (only the effect of the bending moment is considered).

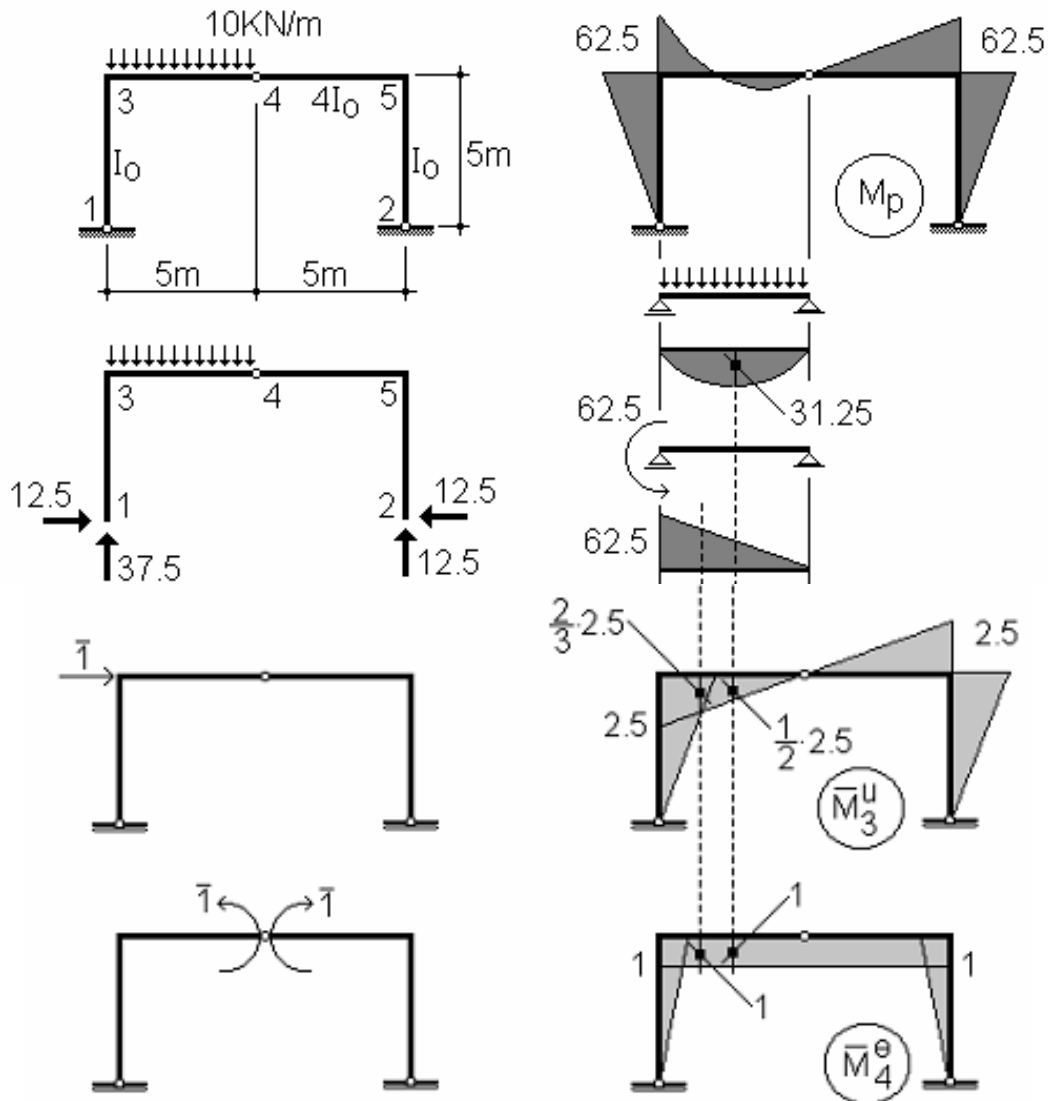


Fig.5.21

- săgeata  $v_4$ :

- deflecție  $v_4$ :

$$\bar{1} \cdot D_3 = u_3 = \sum \int \frac{M_p \bar{M}_3^u}{EI} dx =$$

$$= -\frac{1}{EI_0} \cdot \frac{1}{2} \cdot 62.5 \cdot 5 \cdot \frac{2}{3} \cdot 2.5 + \frac{1}{4EI_0} \cdot \left( -\frac{1}{2} \cdot 62.5 \cdot 5 \cdot \frac{2}{3} \cdot 2.5 + \frac{2}{3} \cdot 31.25 \cdot 5 \cdot \frac{1}{2} \cdot 2.5 + \frac{1}{2} \cdot 62.5 \cdot 5 \cdot \frac{2}{3} \cdot 2.5 \right) - \\ - \frac{1}{EI_0} \cdot \frac{1}{2} \cdot 62.5 \cdot 5 \cdot \frac{2}{3} \cdot 2.5 = 32.55208 \frac{1}{EI_0}$$

- rotirea  $\theta_4$ :

- rotația  $\theta_4$ :

$$\bar{1} \cdot D_4 = \theta_4^{(rel)} = \sum \int \frac{M_p \bar{M}_4^\theta}{EI} dx = -2 \cdot \frac{1}{EI_0} \left( \frac{1}{2} \cdot 62.5 \cdot 5 \cdot \frac{2}{3} \cdot 1 \right) + \\ + \frac{1}{4EI_0} \left( \frac{2}{3} \cdot 31.25 \cdot 5 \cdot 1 - \frac{1}{2} \cdot 62.5 \cdot 5 \cdot 1 - \frac{1}{2} \cdot 62.5 \cdot 5 \cdot 1 \right) = -\frac{260.41666}{EI_0}$$

Semnul "minus" indică că rotirea  $\theta_4^{(rel)}$  se produce în sens invers față de momentele  $\bar{1}$  din starea virtuală.

Numeric, pentru  $EI_0 = 2.16 \times 10^5 \text{ kNm}^2$ , se obține:

$$u_3 = \frac{32.55208}{2.16 \cdot 10^5} = 15.07041 \cdot 10^{-5} \text{ m} = 0.01507041 \text{ cm}$$

$$\theta_4^{(rel)} = -\frac{260.41666}{2.16 \cdot 10^5} = -120.56326 \cdot 10^{-5} \text{ rad}$$

The sign "minus" shows that the rotation  $\theta_4^{(rel)}$  is produced in the opposite sense to the moments  $\bar{1}$  in the virtual state.

Numerically, for  $EI_0 = 2.16 \times 10^5 \text{ kNm}^2$ , one obtains:

#### E 5.4 ↗

#### Exemplu / Example 5.5

Să se calculeze  $u_2$ ,  $v_2$  și  $\theta_2$  pentru bara curbă din fig.5.22 (se consideră efectul tuturor eforturilor).

- eforturile în secțiunea indicată din fig.5.22:

$$N_p(\omega) = -P \cdot \sin \omega$$

$$Q_p(\omega) = P \cdot \cos \omega$$

$$M_p(\omega) = -P \cdot r \cdot \sin \omega$$

Calculate  $u_2$ ,  $v_2$  and  $\theta_2$  for the curved bar in fig.5.22 (only the effect of all the internal forces is considered).

- internal forces at the section shown in fig.5.22:

$$\bar{N}_2^u(\omega) = \bar{1} \cdot \cos \omega$$

$$\bar{Q}_2^u(\omega) = \bar{1} \cdot \sin \omega$$

$$\bar{M}_2^u(\omega) = -\bar{1}(r \cdot r \cdot \cos \omega)$$

$$\bar{N}_2^v(\omega) = -\bar{1} \cdot \sin \omega$$

$$\bar{N}_2^\theta(\omega) = 0$$

$$\bar{Q}_2^v(\omega) = \bar{1} \cdot \cos \omega$$

$$\bar{Q}_2^\theta(\omega) = 0$$

$$\bar{M}_2^v(\omega) = -\bar{1} \cdot r \cdot \sin \omega$$

$$\bar{M}_2^\theta(\omega) = \bar{1}$$

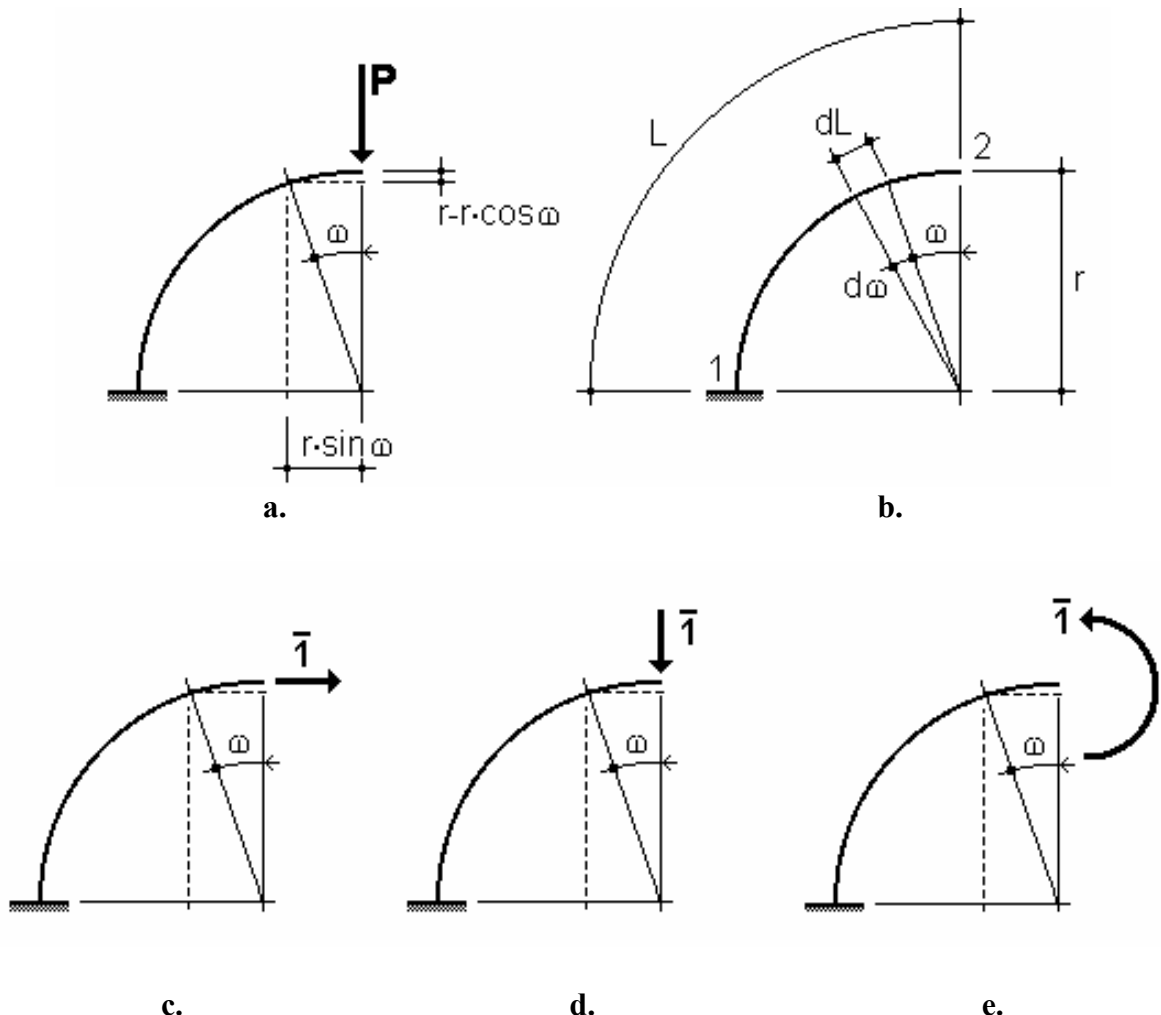


Fig.5.22

- săgeata  $u_2$ :

- deflection  $u_2$ :

$$\begin{aligned} \bar{1} \cdot D_2 = u_2 &= \int_0^L \frac{N_p \cdot \bar{N}_2^u}{EA} ds + \int_0^L k \frac{Q_p \cdot \bar{Q}_2^u}{GA} ds + \int_0^L \frac{M_p \cdot \bar{M}_2^u}{EI} ds = \\ &= \int_0^{\frac{\pi}{2}} \frac{N_p \cdot \bar{N}_2^u}{EA} r \cdot d\omega + \int_0^{\frac{\pi}{2}} k \frac{Q_p \cdot \bar{Q}_2^u}{GA} r \cdot d\omega + \int_0^{\frac{\pi}{2}} \frac{M_p \cdot \bar{M}_2^u}{EI} r \cdot d\omega = \end{aligned}$$

$$\begin{aligned}
 &= \int_0^{\frac{\pi}{2}} \frac{1}{EA} (-P \cdot \sin \omega) \cdot \bar{l} \cdot \cos \omega \cdot r \cdot d\omega + \int_0^{\frac{\pi}{2}} \frac{k}{GA} P \cdot \cos \omega \cdot \bar{l} \cdot \sin \omega \cdot r \cdot d\omega + \\
 &+ \int_0^{\frac{\pi}{2}} \frac{1}{EI} (P \cdot r \cdot \sin \omega) \cdot \bar{l} \cdot (r - r \cdot \cos \omega) \cdot r \cdot d\omega = \frac{Pr}{2} \left( -\frac{1}{EA} + \frac{k}{GA} + \frac{r^2}{EI} \right)
 \end{aligned}$$

• săgeata  $v_2$ :

• deflection  $v_2$ :

$$v_2 = \int_0^{\frac{\pi}{2}} \frac{N_p \cdot \bar{N}_2^v}{EA} r \cdot d\omega + \int_0^{\frac{\pi}{2}} k \frac{Q_p \cdot \bar{Q}_2^v}{GA} r \cdot d\omega + \int_0^{\frac{\pi}{2}} \frac{M_p \cdot \bar{M}_2^v}{EI} r \cdot d\omega = \frac{\pi Pr}{4} \left( \frac{1}{EA} + \frac{k}{GA} + \frac{r^2}{EI} \right)$$

• rotirea  $\theta_2$ :

• rotation  $\theta_2$ :

$$\theta_2 = \int_0^{\frac{\pi}{2}} \frac{N_p \cdot \bar{N}_2^\theta}{EA} r \cdot d\omega + \int_0^{\frac{\pi}{2}} k \frac{Q_p \cdot \bar{Q}_2^\theta}{GA} r \cdot d\omega + \int_0^{\frac{\pi}{2}} \frac{M_p \cdot \bar{M}_2^\theta}{EI} r \cdot d\omega = -\frac{Pr^2}{EI}$$

### E 5.5 ↗

#### 5.3.3 Calculul deplasărilor elastice produse de cedările de reazeme

Considerând în (5.16) numai acțiunea cedărilor de reazeme, se obține:

#### 5.3.3 Calculation of the elastic displacements produced by settlements

Considering only the action of the settlements in the relationship (5.16), one obtains:

$$\bar{l} \cdot D_i = - \sum \bar{R}_k^i \cdot D_k \quad (5.28)$$

unde:

where:

$\bar{R}_k^i$  sunt reacțiunile în starea virtuală (structura încărcată cu o forță egală cu  $\bar{l}$ );

$\bar{R}_k^i$  are the reactions in the virtual state (structure charged by a force equal to  $\bar{l}$ );

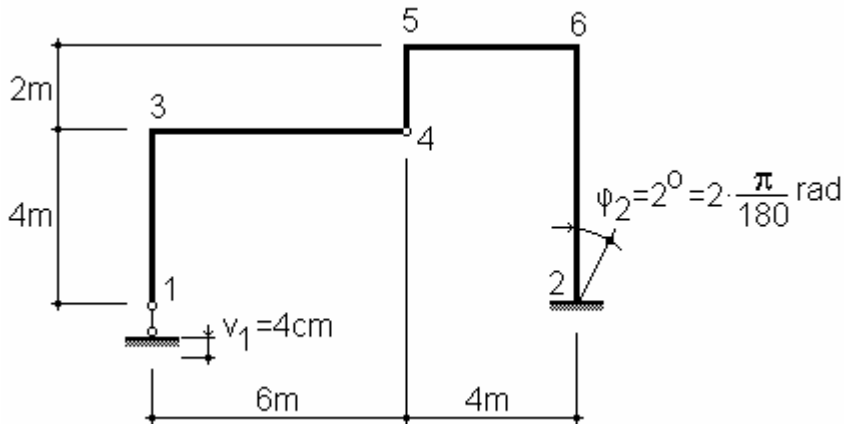
$D_k$  sunt cedările de reazeme din starea reală corespunzătoare reacțiunilor  $\bar{R}_k^i$ .

$D_k$  are the settlements in the real state corresponding to reactions  $\bar{R}_k^i$ .

**Exemplu / Example 5.6**

Să se calculeze deplasările elastice  $d_{3-5}^{(rel)}$  și  $\theta_1$  pentru structura din fig.5.23 având cedările de reazeme  $v_1$  și  $\varphi_2$  indicate în figură.

Calculate the elastic displacements  $d_{3-5}^{(rel)}$  and  $\theta_1$  for the structure in fig.5.23, having the settlements  $v_1$  and  $\varphi_2$  shown in the figure.

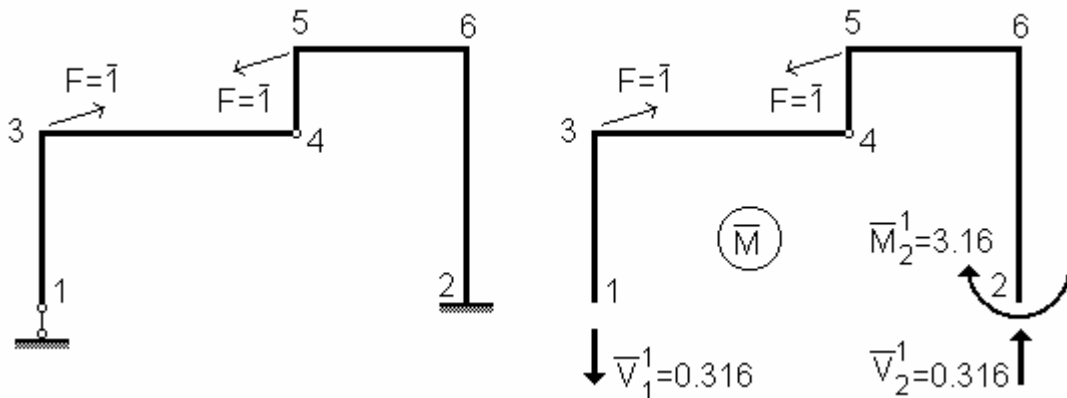
**Fig.5.23**

- deplasarea relativă  $d_{3-5}^{(rel)}$ :

Acțiunea în starea virtuală, fig.5.24, este o pereche de forțe  $F=\bar{1}$  care dă reacțiunile  $\bar{R}_k^1$  indicate în figură.

- relative displacements  $d_{3-5}^{(rel)}$ :

The load in the virtual state, fig.5.24, is a pair of forces  $F=\bar{1}$  which produce the reactions  $\bar{R}_k^1$  shown in the figure.

**Fig.5.24**

Așadar:

Thus:

$$\bar{1} \cdot D_i = D_{3-5}^{(rel)} = -\sum \bar{R}_k^1 \cdot D_k = -(\bar{V}_1^1 \cdot v_1 + \bar{V}_2^1 \cdot 0 + \bar{M}_2^1 \cdot \varphi_2) = \\ = -(0.316 \cdot 0.04 + 3.16 \cdot 2 \cdot 3.14/180) = -0.12289 \text{ m} = -12.289 \text{ cm}$$

- rotirea  $\theta_1$ :

In fig.5.25 (starea virtuală) sunt indicate reacțiunile  $\bar{R}_k^2$  produse de acțiunea virtuală  $M = \bar{1}$ .

- rotation  $\theta_1$ :

Fig.5.245 (virtual state) shows the reactions  $\bar{R}_k^2$  produced by the virtual load  $M = \bar{1}$ .

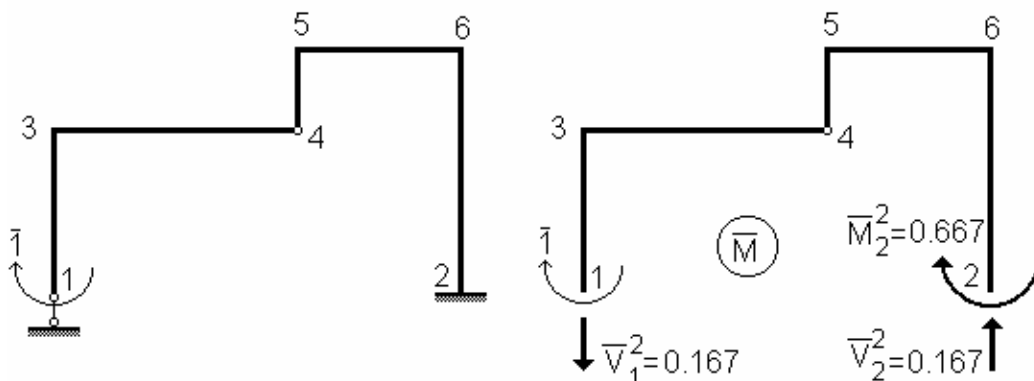


Fig.5.25

Așadar:

Thus:

$$\bar{1} \cdot D_i = \theta_1 = -\sum \bar{R}_k^2 \cdot D_k = -(\bar{V}_1^2 \cdot v_1 + \bar{V}_2^2 \cdot 0 + \bar{M}_2^2 \cdot \varphi_2) = \\ = -(0.167 \cdot 0.04 + 0.667 \cdot 2 \cdot 3.14/180) = -0.02995 \text{ rad}$$

Deplasarea relativă  $d_{3-5}^{(rel)}$  și rotirea  $\theta_1$  se produc în sens invers acțiunilor virtuale.

The relative displacement  $d_{3-5}^{(rel)}$  and the rotation  $\theta_1$  are produced in the opposite sense to the virtual loads.

#### E 5.6 ↗

### 5.3.4 Calculul deplasărilor elastice ale structurilor cu zăbrele

Admitând ipoteza că nodurile sunt articulate și de asemenea ipoteza că forțele sunt aplicate în noduri, în bare există numai eforturi axiale, deci, fără cedări de rezemă, (5.16) devine:

### 5.3.4 Calculation of the elastic displacements for trusses

Considering the assumption that the joints are pinned and the external loads are applied to joints, the bars will have only axial forces, thus, without settlements, the relationship (5.16) becomes :

$$\bar{\mathbf{l}} \cdot \mathbf{D}_i = \sum \int \frac{\mathbf{N}_p \cdot \bar{\mathbf{N}}_i}{EA} dx \quad (5.29)$$

In cazul în care barele au secțiunea constantă și ținând cont că  $N_p$  și  $\bar{N}_i$  sunt constante pe fiecare bară, rezultă:

In the case when the bars have constant cross section and considering that  $N_p$  and  $\bar{N}_i$  are constant in each bar, it results in:

$$\int_0^L dx = L,$$

Relația (5.29) poate fi scrisă:

The relationship (5.29) can be written as:

$$\bar{\mathbf{l}} \cdot \mathbf{D}_i = \sum_i^b \frac{\mathbf{N}_p^{mn} \cdot \bar{\mathbf{N}}_i^{mn}}{EA_{mn}} L_{mn} \quad (5.30)$$

unde:

$N_p^{mn}$  sunt eforturile axiale produse în starea reală de acțiunea încărcărilor exterioare;

$\bar{N}_i^{mn}$  eforturile axiale produse în starea virtuală de acțiunea  $\bar{l}$ ;

$L_{mn}$  - lungimea barelor;

$A_{mn}$  - ariile secțiunilor barelor;

E - modulul de elasticitate (același pentru toate barele);

b - numărul barelor structurii.

In fig.5.26 sunt indicate acțiunile din starea virtuală pentru a calcula:

- a. deplasarea absolută într-un nod;
- b. deplasarea relativă între două noduri;
- c. rotirea absolută a unei bare;
- d. rotirea relativă dintre două bare.

where:

$N_p^{mn}$  are the axial forces produced in the real state by the external loads;

$\bar{N}_i^{mn}$  the axial forces produced in the virtual state by the load  $\bar{l}$ ;

$L_{mn}$  - length of bars;

$A_{mn}$  - areas of the cross sections of the bars;

E - modulus of elasticity (the same for all the bars);

b - number of bars in the structure.

Fig.5.26 shows the loads in the virtual state in order to calculate:

- a. absolute displacement at a joint;
- b. relative displacement between two joints;
- c. absolute rotation of a bar;
- d. relative rotation between two bars.

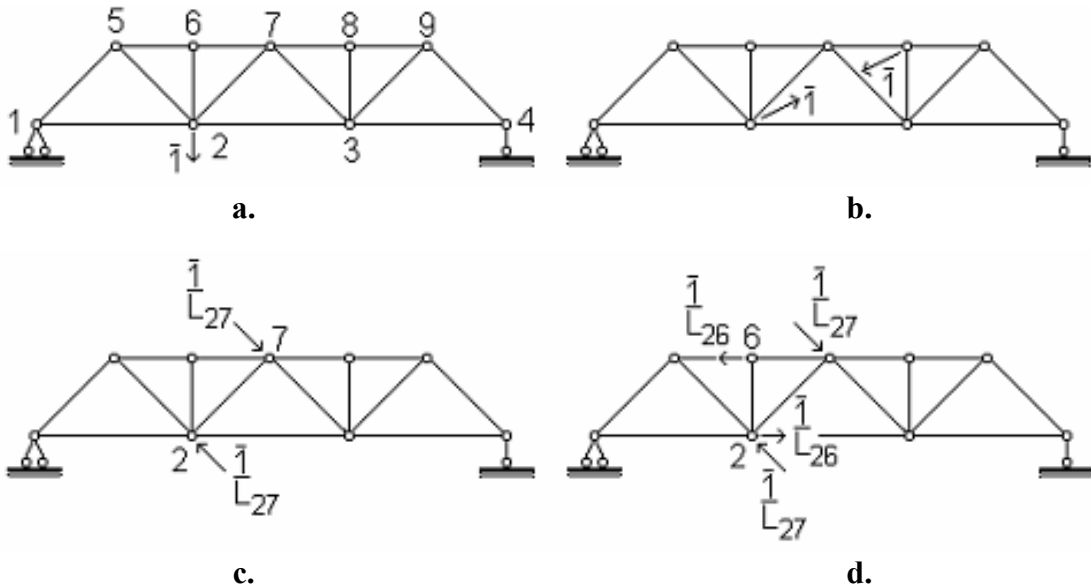


Fig.5.26

**Exemplu / Example 5.7**

Să se calculeze deplasările orizontale  $u_3$  și  $u_5$  pentru structura din fig.5.27.

Calculate the horizontal displacements  $u_3$  and  $u_5$  for the structure in fig.5.27.

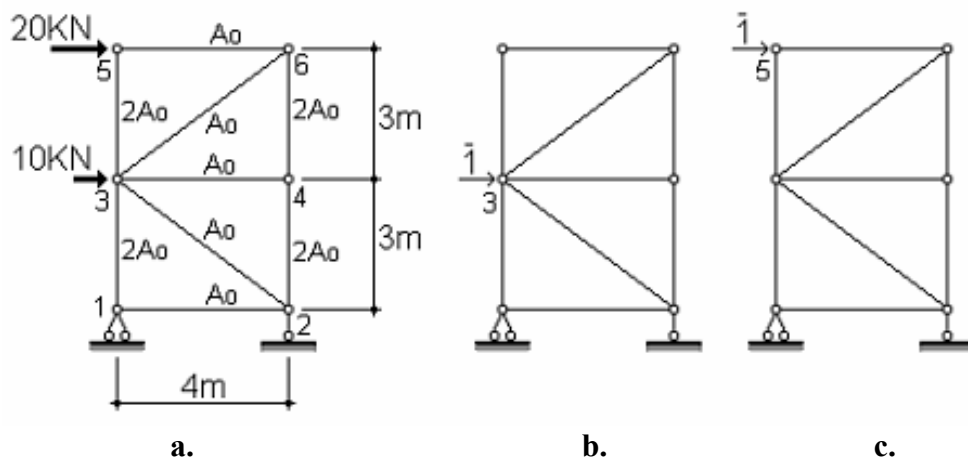


Fig.5.27

Rezultatele calculului sunt sistematizate în tabelul 5.1, astfel:

The results of the calculations are shown in table 5.1, as follows:

- coloana (3): eforturile  $N_p^{mn}$  produse în starea reală, fig.5.26.a;
- column (3): the axial forces  $N_p^{mn}$  produced in the real state, fig.5.26.a;

- coloana (4): eforturile  $\bar{N}_1^{mn}$  produse în starea virtuală, fig.5.26.b ( $F=\bar{1}$  în nodul 3);
- coloana (6): eforturile  $\bar{N}_2^{mn}$  produse în starea virtuală, fig.5.26.c ( $F=\bar{1}$  în nodul 5).
- column (4): axial forces  $\bar{N}_1^{mn}$  produced in the virtual state, fig.5.26.b ( $F=\bar{1}$  at joint 3);
- column (6): axial forces  $\bar{N}_2^{mn}$  produced in the virtual state, fig.5.26.c ( $F=\bar{1}$  at joint 5).

Utilizând relația (5.30), se calculează termenii coloanelor (5) și respectiv (7), se face suma acestor termeni și, în final, se obține:

Using the relationship (5.30), the terms in columns (5) and (7) are calculated, they are summed up, finally obtaining:

$$\bar{1} \cdot D_i = u_3 = \frac{1}{E} \sum_{1}^9 \frac{N_p^{mn} \cdot \bar{N}_1^{mn}}{A_{mn}} L_{mn} = \frac{396.5625}{EA_o}$$

$$\bar{1} \cdot D_i = u_5 = \frac{1}{E} \sum_{1}^9 \frac{N_p^{mn} \cdot \bar{N}_2^{mn}}{A_{mn}} L_{mn} = \frac{708.7500}{EA_o}$$

Numeric, pentru:

Numerically, for:

$$E = 3 \cdot 10^5 \text{ daN/cm}^2 = 3 \cdot 10^7 \text{ KN/m}^2 \quad A_0 = 900 \text{ cm}^2 = 0.09 \text{ m}^2$$

Se obține:

One obtains:

$$u_3 = 0.0147 \text{ cm} \quad u_5 = 0.0262 \text{ cm}$$

**TAB.5.1**

BAR.	L	A	N <sub>p</sub>	N <sub>1</sub>	N <sub>p</sub> N <sub>1</sub> L / A	N <sub>2</sub>	N <sub>p</sub> N <sub>2</sub> L / A		
0	1	2	3	4	5	6	7		
1-3	3	2Ao	37.5	0.75	42.1875/Ao	1.5	84.375/Ao		
3-5	3	2Ao	22.5	0	0	0	0		
2-4	3	2Ao	- 15.0	0	0	- 0.75	16.875/Ao		
4-6	3	2Ao	- 15.0	0	0	- 0.75	0		
1-2	4	Ao	30.0	1.00	120.0000/Ao	1.00	120.000/Ao		
3-4	4	Ao	0	0	0	0	0		
5-6	4	Ao	- 20.0	0	0	- 1.00	80.000/Ao		
2-3	5	Ao	- 37.5	- 1.25	234.3750/Ao	- 1.25	234.375/Ao		
3-6	5	Ao	25.0	0	0	1.25	156.250/Ao		
$d_3 = \sum$				396.5625/Ao	$d_5 = \sum$				708.750/Ao

**E 5.7 ↗**

### 5.3.5 Calculul deplasărilor elastice datorate variațiilor de temperatură

Vom considera două stări de acțiuni și deplasări:

- a. starea reală: structura supusă la o variație neuniformă de temperatură pentru care se calculează deplasarea elastică  $D_{it}$  (deplasare liniară sau rotire), fig.5.28;
- b. starea virtuală: structura încărcată cu acțiunea  $\bar{l}$  corespunzătoare deplasării  $D_i$  din starea reală, unde există eforturile  $\bar{N}_i$  și  $\bar{M}_i$ .

Vom considera un element de lungime infinit mică "dx", fig.5.28, detasat dintr-o bară cu secțiunea transversală simetrică și înălțimea  $h$ . Se notează cu  $\alpha_t$  coeficientul de dilatare termică liniară și se consideră că  $t_1 > t_2$ . În aceste condiții există două tipuri de deformații:

### 5.3.5 Claculation of the elastic displacements due to changes in temperature

Consider two states of loads and displacements:

- a. real state: the structure subjected to a nonuniform change in temperature for which the elatic displacement  $D_{it}$  (deflection or rotation) will be calculated, fig.5.28;
- b. virtual state: the structure subjected to the load  $\bar{l}$  corresponding to the displacement  $D_i$  in the real state, where the internal forces  $\bar{N}_i$  and  $\bar{M}_i$  occur.

Consider an infinitisimally small element "dx", fig.5.28, detached from a bar with symmetric cross section and the depth  $h$ . The coefficient of linear thermal expansion is denoted by  $\alpha_t$  and it is considered that  $t_1 > t_2$ . In this case, there are two types of deformations:

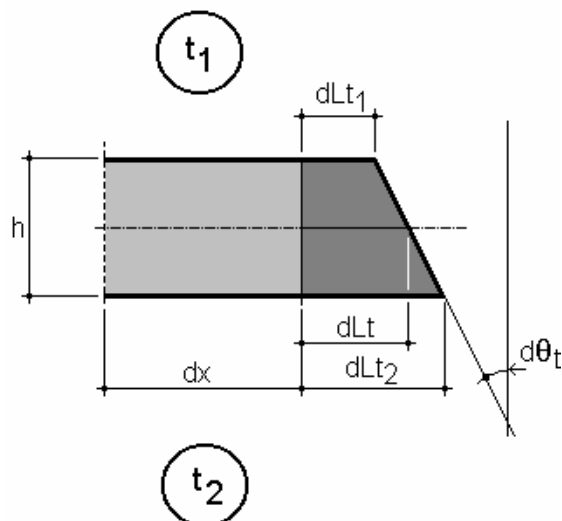


Fig.5.28

**Element infinit mic supus unei variații de temperatură.**

- o deformație axială:

**Infinitisimally small element subjected to changes in temperature.**

- an axial deformation:

$$dLt = \frac{dLt_1 + dLt_2}{2} = \frac{\alpha_t \cdot t_1 \cdot dx + \alpha_t \cdot t_2 \cdot dx}{2} \quad (5.31)$$

sau:

or:

$$dLt = \alpha_t \frac{t_1 + t_2}{2} dx = \alpha_t t_m dx \quad (5.31')$$

unde:

where:

$$t_m = \frac{t_1 + t_2}{2} \quad (5.32)$$

este temperatura medie.

is the average temperature.

- o rotație a secțiunii:

- one rotation of the section:

$$d\theta_t = \frac{dLt_1 - dLt_2}{h} = \frac{\alpha_t \cdot t_1 \cdot dx - \alpha_t \cdot t_2 \cdot dx}{h} \quad (5.33)$$

sau:

or:

$$d\theta_t = \alpha_t \frac{t_1 - t_2}{h} dx = \frac{\alpha_t \cdot \Delta_t}{h} \quad (5.33')$$

unde:

where:

$$\Delta_t = t_1 - t_2 \quad (5.34)$$

este diferența de temperatură.

is the difference in temperature.

Se poate scrie egalitatea dintre lucrul mecanic exterior și lucrul mecanic interior, fiecare dintre ele cu acțiunile (eforturile) stării virtuale și deplasările (deformațiile) stării reale ( $W_{v,r}^e = W_{v,r}^i$ ):

The identity between the external and internal work can be written, each of them with the loads (internal forces) in the virtual state and displacements (deformations) in the real state ( $W_{v,r}^e = W_{v,r}^i$ ):

$$\bar{\mathbf{1}} \cdot \mathbf{D}_{it} = \sum \int \bar{\mathbf{N}}_i \cdot dLt + \sum \int \bar{\mathbf{M}}_i \cdot d\theta_t \quad (5.35)$$

unde, înlocuind (5.31') și (5.33'), rezultă:

where, by substituting (5.31') and (5.33'), it results:

$$\bar{\mathbf{1}} \cdot \mathbf{D}_{it} = \sum \int \bar{\mathbf{N}}_i \cdot \alpha_t \cdot \mathbf{t}_m \cdot dx + \sum \int \bar{\mathbf{M}}_i \cdot \frac{\alpha_t \cdot \Delta_t}{h} dx \quad (5.36)$$

In cazul în care  $\alpha_t$ ,  $t_m$ ,  $\Delta_t$  și  $h$  sunt constante pe anumite zone (bare), (5.36) devine:

$$\begin{aligned} \bar{\mathbf{1}} \cdot \mathbf{D}_{it} &= \sum \alpha_t \cdot t_m \int_0^L \bar{\mathbf{N}}_i \cdot dx + \sum \frac{\alpha_t \cdot \Delta_t}{h} \int_0^L \bar{\mathbf{M}}_i \cdot dx = \\ &= \sum \pm \alpha_t \cdot t_m^k \cdot A_{\bar{N}_i}^k + \sum \pm \frac{\alpha_t \cdot \Delta_t^k}{h_k} \cdot A_{\bar{M}_i}^k \end{aligned} \quad (5.37)$$

unde:

$t_m^k$  este variația medie de temperatură pe zona (bara) "k";

$\Delta_t^k$  - diferența variațiilor de temperatură pe zona (bara) "k";

$h_k$  - înălțimea secțiunii transversale pe zona (bara) "k";

$A_{\bar{N}_i}^k$  - aria diagramei  $\bar{\mathbf{N}}_i$  pe zona (bara) "k";

$A_{\bar{M}_i}^k$  - aria diagramei  $\bar{\mathbf{M}}_i$  pe zona (bara) "k".

### Observații:

- Semnul  $\pm$  depinde de sensul relativ dintre deformațiile produse de variația de temperatură din starea reală și eforturile  $\bar{\mathbf{N}}_i$ ,  $\bar{\mathbf{M}}_i$  ale stării virtuale.
- In cazul în care variația de temperatură este uniformă,  $t_1 = t_2$ , deci  $\Delta_t = 0$  iar în relația (5.37) rămân numai termenii de primul tip.

In the case when  $\alpha_t$ ,  $t_m$ ,  $\Delta_t$  and  $h$  are constant over certain regions (bars), (5.36) becomes:

where:

$t_m^k$  is the average change in temperature over the region (bar) "k";

$\Delta_t^k$  - the difference of the changes in temperature over the region (bar) "k";

$h_k$  - the depth of the cross section over the region (bar) "k";

$A_{\bar{N}_i}^k$  - the area of the diagram  $\bar{\mathbf{N}}_i$  over the region (bar) "k";

$A_{\bar{M}_i}^k$  - the area of the diagram  $\bar{\mathbf{M}}_i$  over the region (bar) "k".

### Note:

- The sign  $\pm$  depends on the relative sense between the deformations produced by the temperature change in the real state and the internal forces  $\bar{\mathbf{N}}_i$ ,  $\bar{\mathbf{M}}_i$  in the virtual state.
- In the case when there is a uniform change in temperature,  $t_1 = t_2$ , thus  $\Delta_t = 0$  and the relationship (5.37) includes only the first order terms.

- Pentru secțiuni nesimetrice, fig.5.29,  $t_m$  se înlocuiește cu:
- For nonsymmetric cross-sections, fig.5.29,  $t_m$  is replaced by:

$$t_p = \frac{t_1 \cdot h_2 + t_2 \cdot h_1}{h} \quad (5.38)$$

- Contrația betonului poate fi assimilată cu o variație uniformă de temperatură de circa  $-15^\circ$ .
- The concrete contraction can be considered as a uniform change in temperature of about  $-15^\circ$ .

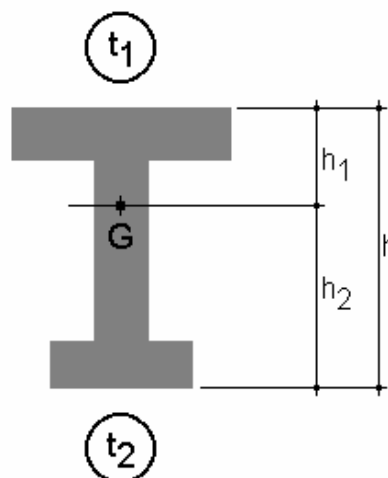


Fig.5.29

**Secțiune transversală nesimetrică ( $t_p$ ).**

**Nonsymmetric cross section ( $t_p$ ).**

#### Exemplu / Example 5.8

Să se calculeze deplasarea orizontală  $u_4$  pentru cadrul din fig.5.30, considerând aceleași caracteristici secționale pentru toate barele.

Pentru starea virtuală se obțin diagramele  $\bar{N}$ ,  $\bar{M}$  din fig.5.31.

Calculate the horizontal displacement  $u_4$  for the frame in fig.5.30, considering the same cross section characteristics for all the bars.

For the virtual state, the  $\bar{N}$ ,  $\bar{M}$  diagrams shown in fig.5.31 are obtained.

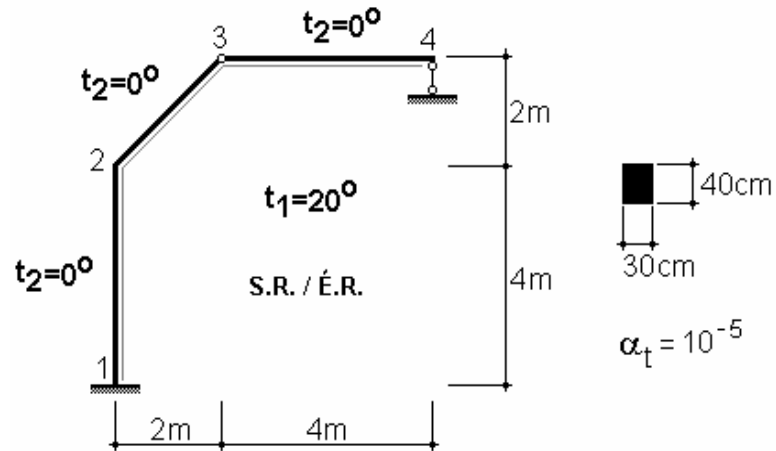


Fig.5.30

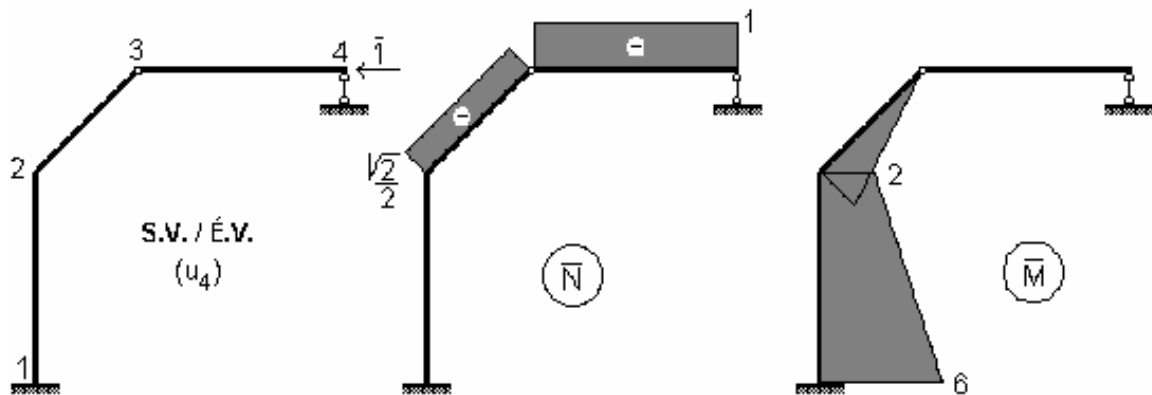


Fig.5.31

Pentru toate barele :

For all the bars:

$$t_m = \frac{t_1 + t_2}{2} = 10^\circ; \Delta_t = t_1 - t_2 = 20^\circ; h = 0.4 \text{ m}$$

Deci, cu (5.37) și ținând cont de semnele lucrului mecanic virtual, rezultă:

Thus, with (5.37) and taking into account the signs of the virtual work, one obtains:

$$\begin{aligned} \bar{1} \cdot D_4 = u_4 &= -10^{-5} \cdot 10 \cdot \left( 1 \cdot 400 + \frac{\sqrt{2}}{2} \cdot 200 \cdot \sqrt{2} \right) + \\ &+ 10^{-5} \cdot \frac{20}{40} \cdot \left( \frac{1}{2} \cdot 200 \cdot 200 \cdot \sqrt{2} + \frac{200 + 600}{2} \cdot 400 \right) = 0.88142 \text{ cm} \end{aligned}$$

Deci reazemul 4 se deplasează spre stânga.

Thus the support 4 moves to the left.

**E 5.8**



**Editura Societatii Academice „Matei-Teiu Botez” IASI**

**ISBN 973-7962-29-X**

**Colectia: ANALIZA STATICĂ SI DINAMICĂ**

